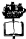
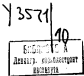


М. В. АЛЕКСАНДРОВ

СУДОВЫЕ УСТРОЙСТВА

Документ Министерства науки и промышленности
социалистического образования СССР о завершении учебного
факультета мореходо-технических курсов и факультета



Надпись на книге: «Студенческая
выставка.
1968»

Учебник по судовым устройствам написан в соответствии с действующей программой 80-дневного курса.

В учебнике отражены принципы проектирования, конструирования и технологические особенности изготавливания рулевого, спасательного, грузового, пакетного и бурового устройств современных морских транспортных судов. Особое внимание уделено расчетной конструированию и расчетах рулей различных типов (в том числе и активных); рулевых приводов; элементами в индивидуальных спасательных средствах (шлюпок, лодок). Шлюпбаки; грузовых спряток, также, судовые краны, грузовых механизмов широкого действия; люксового устройства (люксы, люксы, створки, клапаны, заслонки, шланги, тяжики); пакетных устройств (швартовка, кранеты, кранзы, киповы, зажимы, подъемы); буровых устройств. Отдельная глава посвящена использованию в судовых устройствах различных типов гибких связей.

По всем судовым устройствам в их элементах приведены примеры практического численных расчетов.

Учебник предназначается для студентов кораблестроительных институтов и факультетов, а также может быть использован специалистами в области проектирования, конструирования и изготовления судовых устройств.

Стр. 372 таблиц 33 рисунков 202 библиография 31 названий

ОТ АВТОРА

Курс «Судовые устройства» охватывает разнообразные разделы корабельной архитектуры: рулевое, спасательное и якорное устройства, средства для выполнения грузовых операций, пакетное оборудование и т. д. В последние 10–15 лет появилось большое количество новых конструкций судовых устройств широко применяются новые материалы, внедряются средства механизации и автоматизации. Однако все это еще не нашло достаточного отражения в учебной литературе.

Из имеющихся пособий наиболее полным является Сборник работ по судовым устройствам и системам академика В. Л. Позднякова, изданный в 1961 г. Глубокий научный анализ и большой инженерный опыт автора делают эту книгу и до настоящего времени весьма ценным пособием. Однако сборник базируется на материалах дооцененных лет и не отражает современного состояния этой отрасли судостроения.

Ряд содержательных монографий выпущен в последние годы издательством «Судостроение». Они охватывают различные разделы судовых устройств. Большой практический материал систематизирован в Справочниках по судовым устройствам («Судостроение» 1963).

Большая заслуга в постановке и развитии курса «Судовые устройства» принадлежит доценту В. В. Янкургинскому, создавшему фундаментальную монографию по грузовым устройствам морских судов. Основу настоящего учебника составляют лекции, читаемые автором на кораблестроительном факультете Ленинградского ордена Ленина кораблестроительного института. В последние годы на кафедре «Конструкции судов» института ведется большая работа по составлению методических пособий по различным разделам судовых устройств. Это позволяет исключить из учебника некоторый справочный материал и сократить число и объем численных примеров.

Автор стремился показать судовые устройства в их разнотипии и на этой базе привить студентам критический подход к оценке

существующих конструкций. Такой подход необходим для выявления основных тенденций усовершенствования судовых устройств, что особенно важно в современном судостроении.

Для анализа конкретных конструктивных решений привлекаются устройства, применяемые на новейших судах отечественной и зарубежной постройки. Большую помощь в сборе этого материала оказали автору работники проектных бюро и других судостроительных организаций.

Автор выражает большую благодарность Заслуженному деятелю науки и техники РСФСР, доктору технических наук Н. Е. Путову доктору технических наук А. В. Александрову, доцентам М. Г. Гуськову и А. Л. Васильеву за помощь при составлении рукописи.

Автор благодарит коллектива кафедры «Конструкции судов» Николаевского Кораблестроительного института за ценные замечания при просмотре рукописи.

Все отзывы и замечания о книге просим направлять по адресу издательства: Ленинград, Д. 65, ул. Тегоря, 8.

ВВЕДЕНИЕ

Современное морское судно является сложнейшим техническим сооружением, для создания которого используются накопленный веками опыт, а также новейшие достижения науки. Важную роль в обеспечении нормальной эксплуатации судна и безопасности его экипажа играют судовые устройства, к которым относятся: рулевое устройство, охватывающее все средства для обеспечения управляемости;

спасательное устройство, состоящее из комплекса коллективных и индивидуальных спасательных средств, предназначенных для оказания помощи пассажирам и экипажу при аварии судна; грузовое устройство, необходимое для погрузки, разгрузки и перемещения грузов на судне;

якорное устройство, обеспечивающее неподвижную стоянку судна в районах акватории, удаленных от берега;

швартовное устройство, служащее для закрепления судна у причала или другого судна;

буксирное устройство, дающее возможность каждому судну выполнять буксирные операции.

К судовым устройствам относят также люковые закрытия отрицательных и средства для закрепления тентов, разнообразные специальные устройства промысловых судов, устройства для стабилизации качки и т. д.

В настоящей книге рассматриваются только основные общие судовые устройства, изучение которых обусловлено программой соответствующего курса. Как видно из приведенных кратких характеристик, трудно найти общие признаки для классификации этих устройств; пожалуй, единственным общим признаком может служить то обстоятельство, что каждое устройство представляет собой часть внешнего оборудования судна.

Судовые устройства обеспечивают выполнение весьма ответственных и трудоемких операций. Поэтому их усовершенствование очень важно для повышения эффективности эксплуатации морских судов. Например, из-за низкой производительности грузовых трелевок и недостаточной механизации грузовых операций судно, предназначенное для перевозки генерального груза, простоят в портах больше половины своего эксплуатационного времени.

Недостаточная надежность судовых устройств является иногда причиной аварий и гибели судов. Так, в октябре 1961 г. после обрыва буксирного каната погиб бразильский лайнерский корабль

РАЗДЕЛ ПЕРВЫЙ

Рулевые устройства

«Сан-Паоло» водонизмещением свыше 20 тыс. т. 1 ноября 1965 г. в Белфасте был сорван со швартовов и сел на грунт теплоход «Кароник» (34 тыс. т).

Потери и заклинивание рулей, отказы рулевых приводов часто являются причиной столкновений судов и других серьезных аварий.

Несмотря на повышение безопасности плавания, количество аварий на море, к сожалению, еще велико. По данным журнала «Shipbuilding and Shipping Record» за ноябрь 1965 г. занесено нечто 58 столкновений судов, 13 судов село на мель, 29 имело серьезные повреждения; было отмечено 15 пожаров, 13 судов затонуло. Судьба экипажа во многих случаях зависела от надежности и доступности спасательных средств.

Все это показывает, какая ответственность за судьбы людей и сохранность перевозимых грузов лежит на инженерах, проектировщиках и строителях судовых устройств.

Особое значение для проектирования судовых устройств имеют Правила постройки и классификации морских судов Регистра СССР (Правила постройки) и других классификационных организаций. Эти Правила составлены на основе большого опыта законченного судостроительства по оценке значений допускаемых напряжений и других критериях надежности.

Быстрое развитие судовых устройств, появление принципиально новых конструкций часто опережает рекомендации Правил постройки. В таких случаях следует использовать критерии надежности, полученные при анализе существующих устройств при помощи принятой расчетной схемы. Этот путь позволяет для вновь создаваемых устройств обеспечить надежность, равную на дежности устройств, спроектированных в соответствии с рекомендациями Правила постройки.

Большое разнообразие функций судовых устройств, их конструктивных и технологических особенностей не позволяет называть конкретных общих путей их развития. Однако не подлежит сомнению, что усовершенствование судовых устройств является в настоящее время одним из самых перспективных путей повышения эффективности эксплуатации морских судов и безопасности пассажиров и экипажа.

ГЛАВА 1

УПРАВЛЕМОСТЬ СУДНА

§ 1 Силы, действующие на руль и судно при кренении

Судно, движущееся с расположенным в диаметральной плоскости рулем, при отсутствии внешних сил взаимодействующих прямолинейное движение, испытывает действие упора движителей и сопротивления воды. С началом перекладки руля т. е. поворота руля относительно вертикальной оси, его средняя плоскость образует с направлением набегающего потока угол δ . Следствием косого обтекания руля является перераспределение давления на его поверхности; на стороне руля, обращенной к потоку, давление увеличивается и превышает статическое, а на обратной стороне возникает разжение (рис. 1).

Полная гидродинамическая реакция P является результатом сил, действующих на руль. Точка ее приложения (центр давления) располагается в первом положении, скатан от передней кромки руля. Нужно отметить, что составляющая полной гидродинамической реакции, возникающая за счет разрежения, изменяется в пределах 2/3 и 3/4 полного значения P .

Момент силы P относительно центра тяжести (ЦТ) судна называется поворот, а проекция этой силы P_y на направление, перпендикулярное к ДП, называется дрейфом судна. Угол дрейфа представляет собой угол между вектором скорости ЦТ судна и ДП.

Обусловленное дрейфом косое обтекание корпуса судна является причиной появления гидродинамических сил (сил дрейфа), природа которых аналогична силам за переклоненным рулем.

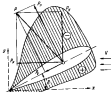


Рис. 1 Силы, действующие на руль

Равнодействующая сила дрейфа R приложена внос от ЦТ судна и направлена в сторону поворота (рис. 2). Момент силы R вызывает понижение угловой скорости Ω .

Силы, препятствующие повороту, имеют инерционную и гидродинамическую природу. Суммарный момент этих сил $M_{in} + M_d$ стремится уменьшить скорость вращения судна.

В зависимости от соотношения сил и моментов действующих на судно после перекладки руля траектория движения судна (циркуляции) условно делится на три периода:

1. Малопрочный период в течение которого происходит передача руля. Этот период занимает короткий промежуток времени (около 20 сек.) и характеризуется постепенным увеличением силы R и R . Угол дрейфа возрастает за счет смещения судна в противоположную сторону. При этом появляется угловая скорость, направленная в сторону поворота. В конце малопрочного периода гидродинамическая сила на руле достигает максимума.

2. Амортизирующий период, при котором угловая скорость вращения судна увеличивается, а инерционный момент и момент демпфирования (гидродинамический), препятствующие вращению судна, возрастают.

3. Установившийся период. В этот период все силы, действующие на судно, находятся в состоянии динамического равновесия. Угол дрейфа и угловая скорость остаются неизменными, а судно совершает движение по окружности с постоянным радиусом.

На рис. 3 показана циркуляция линейными характеристиками, которой являются:

высота — перемещение судна в направлении исходного курса от начальной точки до точки, соответствующей повороту судна на 90°

8

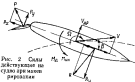


Рис. 2 Силы, действующие на судно при изменении курса

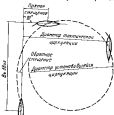


Рис. 3 Траектория движения центра тяжести (циркуляция) судна после перекладки руля.

прямое смещение — перемещение в направлении перекладки руля от исходного курса до точки, соответствующей повороту судна на 90° ;

обратное смещение — максимальное перемещение ЦТ судна в сторону противоположного направления поворота;

диаметр тактической циркуляции — расстояние от исходного курса до точки, соответствующей повороту на 180° ;

диаметр установившейся циркуляции — диаметр окружности, представляющей собой траекторию движения судна при установленном периоде циркуляции.

§ 2. Поворотливость и устойчивость судна на курсе

Последовательным изменением положения руля можно добиться движения судна по нужной траектории и обеспечить его поворотливость.

Поворотливость — это качество, заключающееся в способности судна нужным образом изменять направление движения. Мерой поворотливости обычно считают отношение диаметра установленной циркуляции (при наибольшем угле перекладки руля) к длине судна. Для некоторых типов судов эта величина регламентируется при выдаче задания на проектирование. Соответствие элементов рулевого устройства такому требованию проверяется по существующими методиками расчета диаметра циркуляции [7], [18].

Не менее важным качеством является устойчивость судна на курсе, т. е. его способность перемещаться прямолинейно с минимальными квазинормальными отклонениями от заданного курса.

При ходе на прямом курсе судно постоянно испытывает воздействие различных сил, которые стремятся изменить направление движения. В зависимости от того, каким образом то или иное судно, двигаясь с непереложенным рулем, реагирует на внешние возмущения, в теории управляемости принято различать суда, обладающие автоматической устойчивостью на курсе и не обладающие ею.

Механизм падений изгибающихся место при действии возмущения (например, ветер или волнение) аналогичен механизму начального периода циркуляции.

Рассмотрим действие кратковременного квадрата, который называется дрейф судна влево. Момент силы дрейфа M_R , возникающий при косом обтекании, приводит к появлению некоторой угловой скорости. Судно начинает отклоняться от исходного курса.

Характер дальнейшего движения будет зависеть от соотношения момента силы дрейфа, с одной стороны, и суммы инерционного момента M_{in} и момента демпфирования M_d — с другой.

Если $M_{in} + M_d > M_R$, то угловая скорость постепенно уменьшается и судно, отклонившись от исходного курса на некоторый угол, снова будет двигаться прямолинейно. В этом случае

судно обладает автоматической устойчивостью на курсе. Это качество определяется в основном очертаниями ДП судна и его стабильной шириной. При прочих равных условиях судно, не имеющее подреза дельвуда и имеющее меньшее отношение $\frac{B}{L}$, будет более устойчивым на курсе, т. е. будет меньше реагировать на внешние возмущения.

У судна, не обладающего автоматической устойчивостью, угловая скорость со временем увеличивается и оно начинает описывать циркуляцию. Такое судно может двигаться прямолинейно только с помощью руля.

Отсутствие автоматической устойчивости связывается еще в том, что у руля появляется так называемый гидродинамический люфт — некоторый угол перекладки, достигающий иногда $10-12^\circ$, в пределах которого судно не слушается рулем. Объяснить появление гидродинамического люфта можно тем, что момент сил дрейфа превышает величину момента, создаваемого рулем при небольших углах перекладки. В некоторых случаях судно даже может двигаться в направлении, обратном направлению перекладки руля.

Для сохранения заданного курса на всемом судне, независимо от того, является ли оно автоматически устойчивым или нет, следует перекладывать руль; для судна, обладающего автоматической устойчивостью, потребуются меньшие углы перекладки и меньшая частота операций.

Таким образом, и поворотливость и устойчивость судна на курсе обеспечиваются за счет перекладок руля. Площадь руля является одной из основных характеристик рулевого устройства. Большое многообразие типов судов не позволяет дать общие нормы для определения площади руля и других элементов рулевого устройства. Такие задачи решаются отдельно для каждого частного случая в зависимости от того, какое из качества — поворотливость или устойчивость на курсе — является для проектировщика определяющим. В теории управляемости разработаны методы, позволяющие оценить, в какой степени спроектированное рулевое устройство удовлетворяет требованиям сформулированным в задании.

§ 3 Средства обеспечения управляемости

Рулевое устройство является главным средством обеспечения управляемости судна.

Рассмотрим основные элементы рулевого устройства транспортного судна (рис. 4). Руль при помощи петель крепится к рулересту, являющемуся частью ахтерштевня. Фланцевое соединение связывает руль и баллер — вертикальный вал, посредством которого рулевая машина осуществляет перекладку руля. Продел баллера в портном подзоре обеспечивается наличием гальвани-

тевой трубы. В тех местах, где баллер пересекает палубы или палубные формы, расположают его отпоры. Верхняя часть баллера служит для закрепления румбеля — рычага, который воспринимает усилие, передаваемое от рулевой машины. На рис. 4 показан вспомогательный привод, изгибы которого выведены на верхнюю палубу (рулевые передачи и пост управления с комплексом приборов для ориентировки судна и контроля за его движением не показаны).

Уже первые попытки человека плавать по воде породили необходимость в средствах управления. Вначале они связывались со средствами движения — весло и шест давали возможность не только сообщить челноку некоторую скорость, но и изменять направление его движения.

Появление первого руля относится к X—XI вв. Этот руль передней кромкой плавничался на ахтерштевень, а баллер при перекладке руля двигался по дуге окружности. Только позднее — в XVII—XVIII вв. — ось баллера стала совмещаться с осью вращения руля, что значительно упростило конструкцию руля и коры.

Дальнейшее совершенствование заключалось в уменьшении момента, действующего на баллер и в свою очередь определяющего мощность рулевого привода. Так появился балансирный руль, ось вращения которого смешена от передней кромки к ЦТ плоскости руля.

Значительным шагом вперед явился руль Флеттиера с закрытыми, расположеннымими у задней кромки руля. Руль имел обтекаемую форму и большую толщину, что вызывалось необходимостью разместить приводы закрылок. При испытании рулей Флеттиера на судах был замечен эффект увеличения скорости, возникающий

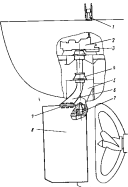


Рис. 4. Рулевое устройство транспортного судна.
1 — штурвал руля; 2 — рулевое колесо; 3 — нижний баллер; 4 — поперечная труба; 5 — фланец; 6 — ось руля; 7 — нижняя руль; 8 — вспомогательный подъемник руля и баллера.

благодаря улучшению взаимодействия руля с гребным винтом. Это послужило решающим фактором для дальнейшего перехода к обтекаемым рулям.

Хотя основным средством обеспечения управляемости судов являются рули, определенные эволюции имеют и другие устройства. Так, занимавшие конструкторы практикали идеи использования струн, отбрасываемой гребным винтом. Одной из первых попыток реализации подобной идеи явился руль Кичена (рис. 3). Дальнейшее развитие этой идеи привело к созданию таких активных средств обеспечения управляемости, как воротные листы, различные подрулющие устройства и пр., которые находятся при маневре на современных судах.

Большой интерес представляет крыльчатый двигатель, позволяющий изменять направление создаваемого им упора. Судно с крыльчатым двигателем имеет неограниченную маневренность и не нуждается в рулевом устройстве.

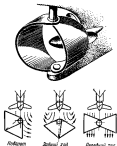


Рис. 3. Руль Кичена в схеме его работы.

тель, позволяющей изменять направление создаваемого им упора. Судно с крыльчатым двигателем имеет неограниченную маневренность и не нуждается в рулевом устройстве.

ГЛАВА 2

СУДОВЫЕ РУЛИ К ИХ РАСЧЕТ

§ 4 Типы рулей

Одним из признаков для классификации рулей является форма их профилей, т. е. контур фигуры, образуемой при сечении руля горизонтальной плоскостью. Практически различают плоские и профильные рули.

Из-за плохого взаимодействия с винтом и снижении скорости судов плоские рули в настоящее время утратили свое значение. При переходе к обтекаемым (профилированным) или двухслойным рулем важную роль сыграла недостаточная прочность больших однослоистых рулей даже при значительном увеличении их толщины.

Большинство профилей современных обтекаемых рулей было получено в результате экспериментальных исследований их моделей в аэродинамических трубах. Многие из профилей получили название тех исследовательских организаций, в которых они были разработаны, а именно: профиль ЦАГИ (Центральный аэрогидродинамический институт им. Н. Е. Жуковского); профиль Гб (Германский лаборатория); профиль NASA (вное название NASA — управление по аeronautике и космосу США). Профиль НЕЖ полушен построением по теоретической формуле Н. Е. Жуковского

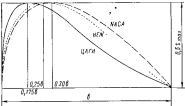


Рис. 6. Различные формы профилей рулей

Обычно профиль руля характеризуется относительной толщиной

$$t = \frac{t_{\text{max}}}{b} \cdot 100\%,$$

которая представляет собой отношение максимальной толщины руля к его хорде (величина t/b на рис. 6) и выражается в процентах.

Соизоставленные профили, относящиеся к одной толщине, можно заметить, что разница между ними заключается в положении точки с максимальной толщиной по хорде и в характере обвода хвостовой части.

Профили ЦАГИ, НЕЖ и Гб доведены до большой степени совершенства. Изменение их формы не может привести к увеличению боковой силы P_y (эффективности профиля). Однако большое заострение хвостовой части делает эти профили менее прочными и технологичными. В профиле NASA некоторое утолщение хвостовой части достигается за счет небольшого снижения эффективности.

Эффективность руля в значительной степени зависит от его контура — формы боковой проекции. Характеристикой контура

является относительное удлинение λ , которое для прямоугольного контура равно $\frac{b}{s}$ а при отступлении от прямоугольного контура $\frac{b}{F}$.

где b — высота руля;

s — ширина руля;

F — площадь руля.

У современных рулей $\lambda = 1.0 - 3.0$

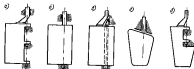


Рис. 7 Типы рулей: а — обычные; б — балансирные; в — Сонненберг балансирный подвесок; г — полубалансирные.

В зависимости от того, каким образом площадь руля расположена относительно оси вращения, различают рули обычные, балансирные и полубалансирные.

Ось вращения у обычного руля практически совпадает с его передней кромкой (рис. 7, а). У балансирных рулей (рис. 7, б, в, г) ось вращения смешена на некоторое расстояние от передней кромки к середине руля. Это достигается значительным увеличением момента из балансе. Положение оси количественно характеризуется коэффициентом компенсации, представляющим собой отношение площади балансирной части (расположенной перед осью вращения) к площади всего руля.

Полубалансирный руль (рис. 7, д) условно может быть разделен на две части: балансирную (нижнюю) и небалансирную (верхнюю).

§ 5 Гидродинамические характеристики изолированного руля

Для оценки эффективности руля и определения конструктивных размеров легкой рулевой установки нужно знать величину гидродинамической реакции на руле P , боковой силы P_y и момента реакции P относительно передней кромки руля. Иногда вместо момента задаются положение центра давления и составляющая волной гидродинамической реакции, направленная перпендикулярно к средней плоскости руля (P_a на рис. 1).

Для сравнения характеристик различных рулей удобно от сил и моментов перейти к безразмерным коэффициентам: коэффициент боковой силы

$$C_p = \frac{P_y}{0.5 \rho s F} \quad (1)$$

коэффициент нормальной силы

$$C_n = \frac{P_a}{0.5 \rho s F} \quad (2)$$

коэффициент положения центра давления

$$C_x = \frac{s}{b} \quad (3)$$

коэффициент момента относительно передней кромки

$$C_m = \frac{M}{0.5 \rho s F x} \quad (4)$$

где ρ — массовая плотность воды;

s — скорость потока, набегающего на руль;

M — момент относительно передней кромки руля,

x — расстояние от передней кромки до центра давления.

Значения действующих на руль, сила и моментов зависят от эволюции руля, его относительного удлинения, типа профиля относительной толщины руля и угла перекладки. Их влияние оценивается при определении гидродинамических характеристик изолированного руля, которое базируется на обширном материяле по экспериментальному исследованию моделей рулей.

Однако теоретические условия работы изолированного руля существенно отличаются от реальных.

Для руля, работающего в свободном потоке, угол атаки равен углу перекладки руля. У руля за судном угол атаки отличается от угла перекладки из-за дрейфа, закручивания потока винтом и т. д. В реальных условиях скорость потока, набегающего на руль, отличается от скорости судна. Это объясняется влиянием погонного ветра и возрастанием скорости за винтом. Если принять, что в формулах скорость в равна скорости судна, то при определении сил и моментов нужно вместе поправку, учитывающую изменение скорости. Большое влияние на работу руля оказывает также рудерост и положение руля относительно свободной поверхности воды.

Количественная оценка всех перечисленных факторов очень усложнена, так как она базируется на результатах довольно ограниченного числа экспериментов, выполненных на масштабных моделях рулей и судов. В связи с этим большое значение приобретает анализ практических данных, который позволяет вывести некотоные поправочные коэффициенты и избежать ошибок при проектировании.

Судовой руль представляет собой крыло малого удлинения. Из гидродинамики известно, что зависимость подъемной силы такого крыла от угла атаки не является линейной (рис. 8).

Для расчетов управляемости на прямом курсе (при перекладке руля на небольшие углы) значительный интерес представляет начальный участок кривой C_y (8), в пределах которого эта зависимость с достаточной для расчетов точностью может считаться линейной. Характер изменения величины C_y на этом участке определяется градиентом коэффициента боковой силы $\left(\frac{dC_y}{d\delta}\right)_{\delta=0}$, т. е. тангенсом угла наклона касательной, проведенной в начале координат:

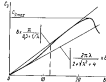


Рис. 8. Зависимость коэффициента подъемной силы C_y от угла атаки полученная Г. В. Соболевым [118].

Для расчета градиента коэффициента боковой силы при конечных углах перекладки можно использовать интерполяционную формулу Прандтля

$$\frac{dC_y}{d\delta} = \frac{\pi}{0.5 + \frac{1}{\lambda}} \quad (7)$$

Которая была получена теоретически в предположении, что удлинение руля велико ($\lambda > 6$). По сравнению с опытными данными формула Прандтля дает тем более запышенные результаты чем меньше удлинение.

В практических расчетах допускается применение формулы Прандтля для определения коэффициента боковой силы при больших углах перекладки с исправлением линейной зависимости

$$C_y = \frac{dC_y}{d\delta} \delta$$

Ошибка, обусловленная распространением формулы на малые удлинения, компенсируется тем, что не учитывается нелинейность функции $C_y(\delta)$. Результаты, полученные для углов $\delta > 12-15^\circ$ хорошо согласуются с опытными данными.

Для рулей с профилем Go в NACA величина градиента $\frac{dC_y}{d\delta}$ может быть определена по формуле Дарнелла

$$\frac{dC_y}{d\delta} = \frac{\pi}{0.58 + \frac{1}{\lambda}} \quad (8)$$

которая получена эмпирическим путем в результате обобщения большого экспериментального материала (рис. 9).

Максимальное значение C_y соответствует так называемому критическому углу перекладки, при котором начинается резкое уменьшение боковой силы из-за срыва вихрей со стороны разрежения руля (критик обтекания)

$$C_{y_{\text{крит}}} = \frac{dC_y}{d\delta} \delta_{cr} \quad (9)$$

Так же, как и градиент $\frac{dC_y}{d\delta}$, критический угол перекладки определяется относительным удлинением λ . В соответствии с опытами Фишера, Дарнелла и Флешбартта

$$\delta_{cr} = 0.58 \frac{1}{V\lambda} \text{ рад} \quad (10)$$

Рассмотрим влияние относительной толщины профиля на значение критических углов перекладки руля. Очевидно, что чем толще профиль, тем более плавным является обтекание руля после перекладки. Критик обтекания наступает при больших углах перекладки. Однако уменьшение толщины неизбежно ведет к уменьшению градиента боковой силы руля. Согласно экспериментальным данным оптимальные относительные толщины профилей находятся в пределах 15–22%.

Эти значениям соответствует формула (10) для определения критического угла перекладки.

При постоянном удлинении форма контура мало влияет на коэффициент подъемной силы руля. Поэтому можно добиться только некоторого увеличения C_y за счет придания контуру руля трапециевидной формы.

В заключение следует отметить, что оценка гидродинамических характеристик изолированного руля по приведенным выше эмпирическим формулам менее надежна, чем оценка на основании испытаний

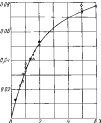


Рис. 9. Зависимость $dC_y/d\delta$ от относительного удлинения λ

○ — Fischer, △ — Darnell, □ — Jacobson, ■ — Fleischbart.

таник модели руля или по результатам экспериментов системы тизированых в специальных аппаратах.

Положение центра давления и коэффициент момента. Расчетные зависимости для определения положения центра давления и величины момента гидродинамических сил относительно передней кромки руля дают менее надежные результаты, чем формулы, используемые для определения коэффициентов боковой силы. Это объясняется тем, что распределение сил по поверхности руля в большей степени зависит от формы профилей контура и толщины руля, чем значение коэффициентов C_x и C_y .

До настоящего времени для определения коэффициента положения центра давления плоских рулей в некоторых случаях используют формулу Жосселя

$$C_z = -0.195 + 0.305 \sin \delta$$

Эти значения практически всегда несколько превышают величины, получаемые для обтекаемых рулей экспериментально. При больших углах перекладки расхождение становится существенным.

Для обтекаемых рулей наибольшее точными являются выражения полученные на основании циркуляционной отрывной теории [18]

$$C_z = -\frac{\left(\frac{dM}{d\delta}\right)_{\delta=0} + 2 \sin \delta}{\left(\frac{dC_x}{d\delta}\right)_{\delta=0} + 2 \sin \delta} \quad (11)$$

Формула для определения $\left(\frac{dC_x}{d\delta}\right)_{\delta=0}$, была приведена выше. Для определения $\left(\frac{dM}{d\delta}\right)_{\delta=0}$, где M — момент относительно передней кромки руля можно рекомендовать эмпирическую формулу

$$\left(\frac{dM}{d\delta}\right)_{\delta=0} = 0.42k - 0.05k^2 - 0.11 \quad (12)$$

которая достаточно точно аппроксимирует зависимость $\left(\frac{dM}{d\delta}\right)_{\delta=0} = f(k)$, полученную в результате обработки экспериментального материала.

Коэффициент момента на баллере согласно циркуляционно-отрывной теории

$$C_d = \left(\frac{2\pi\lambda}{2 + \sqrt{4 + \lambda^2}} \sin \delta + 2 + \pi^2 \delta \right) \left(C_x - \frac{x_0}{\delta} \right), \quad (13)$$

где x_0 — отстояние баллера от передней кромки руля.

Для рулей неправильной формы вместо отношения $\frac{x_0}{\delta}$ нужно подставить коэффициент компенсации. Из формулы (13) следует, что от положения баллера относительно центра давления

существенно зависит величина момента, необходимого для переворота руля, и мощность рулевой машины.

Рассмотрим соотношение моментов, необходимых для переворота руля на переднем и заднем ходах.

Центр давления при переднем ходе располагается в пределах $(0,2+0,4)\delta$ от передней кромки. При заднем ходе центр давления отстоит примерно на треть ширины, но уже от задней кромки. Если расположить ось баллера таким образом, чтобы она отстояла на треть ширины руля от передней кромки, то можно добиться значительного уменьшения момента на баллере при переднем ходе.

Однако может оказаться, что момент заднего хода за счет значительно большего плача гидродинамической реакции превысит момент переднего хода. При определении соотношения моментов переднего и заднего ходов нужно учитывать, что для современных профилей рулей характерны в среднем такие же значения коэффициентов C_x и C_d на заднем ходу. При движении задним ходом скорость судна обычно не превышает половины максимальной скорости переднего хода. Это способствует уменьшению момента на баллере при заднем ходе. Тем не менее для определения расчетного значения момента необходимо определить оба момента.

В качестве дополнительной меры, направленной на уменьшение величины момента заднего хода можно рассматривать ограничение углов перекладки руля.

§ 8 Влияние свободной поверхности, гребного винта и корпуса судна

Влияние свободной поверхности на руль, движущийся вблизи этой поверхности или пересекающий ее, может быть сведенно к изменяющемуся возрастанию величины λ . Впервые возможность учета такого воздействия была доказана экспериментами Флагеля.

Поправка μ к величине геометрического удлинения

$$\lambda_{\text{сп}} = \mu \lambda$$

зависит от относительной скорости движения

$$Fr = \frac{v}{V_{\text{сп}}}$$

где v — скорость судна м/сек;

g — ускорение силы тяжести, m/s^2

$V_{\text{сп}}$ — высота руля, м

и относительного зазора $t_{\text{сп}}$, который представляет собой отношение зазора между верхним торцом руля и свободной поверхностью к высоте руля $*$. При малых относительных скоростях ($Fr < 0,5$;

* Г. В. Саболов. Линейные элементы гидродинамических коэффициентов судового корпуса и руля. Материалы по общему спорту ВНИИТОСС. 1967.

рис. 10) для руля, перекинутого свободную поверхность, $\mu = 2$. При большем погружении руля и увеличении скорости это движение влияние свободной поверхности резко уменьшается.

Описанный метод дает хорошее совпадение с опытными данными до скоростей и углов перекладки, при которых наступает разрыв — прорыв поверхности воздуха в зону разрежения, образующуюся за перекинутым рулем. При этом увеличивается давление в зоне разрежения, что приводит к уменьшению боковой

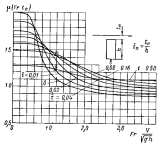


Рис. 10. К определению влияния свободной поверхности воды.

силы руля Азраяна наступает тем скорее, чем ближе руль расположен к поверхности воды.

Экспериментальные исследования [31] позволяют установить, что падение подъемной силы от азраяна зависит от величины удлинения λ . При увеличении λ влияние азраяна резко уменьшается; это уменьшается также и при большем погружении руля например, при $\frac{F_y}{F} = 0,4$ гидродинамические характеристики руля практически не изменяются.

Влияние гребного винта. Увеличение аксиальнойной скорости w скоса потока сильно сказывается на эффективности руля, расположенного в зоне действия струи гребного винта. Если обозначить часть площади руля, попадающую в струю винта, через F_{av} , а аксиальную скорость, вызванную винтом, через w , то величина подъемной силы будет

$$P_y = C_y F_{av} (v + w)^2 \frac{F}{2} + C_y (F - F_{av}) \frac{w^2}{2} \quad (14)$$

а поправка к значению подъемной силы без учета винта

$$r_y = \frac{P_y}{C_y 0,5 \rho v^2 F} \quad 1 + 2 \frac{w}{v} \frac{F_{av}}{F} + \left(\frac{w}{v} \right)^2 \frac{F_{av}}{F} \quad (15)$$

По теории идеального движителя отношение скоростей $\frac{w}{v}$ может быть приближенно представлено в виде

$$\frac{w}{v} = \sqrt{1 + \sigma_p} - 1$$

где $\sigma_p = \frac{Q}{\frac{\pi D_p^2}{4} 0,5 \rho v^2}$ — удельная нагрузка на винт

D_p , Q — диаметр и упор винта.

Подставив $\frac{w}{v}$ в формулу (15) получим

$$r_y = 1 + \frac{F_{av}}{F} \sigma_p \quad (16)$$

Для транспортных судов отношение $\frac{F_{av}}{F}$ колеблется в пределах 0,8—0,9.

Влияние гребного винта заключается не только в увеличении скорости забегающего за руль потока, но и в изменение его направления за счет возникновения значительных тангенциальных скоростей. Изменение направления характеризуется углом защуривания

$$\delta_t = \arctan \frac{w_t}{v + w} = \frac{\omega_t}{v + w} \quad (17)$$

где ω_t — тангенциальная составляющая скорости.

Так как величина w изменяется в диске винта, то для руля в целом определяется средний угол защуривания [7].

Угол атаки с учетом защуривания

$$\delta' = \delta + \delta_{t,sp}$$

где δ — геометрический угол перекладки;

$\delta_{t,sp}$ — средний угол защуривания.

Влияние корпуса. Остановимся предварительно на влиянии рулероста. Перекинутый на угол δ руль и обтекаемый рулерост можно рассматривать как несимметричный профиль, угол перекладки которого, очевидно, меньше δ . Если учесть допущение о линейной связи коэффициента боковой силы и угла перекладки, то для руля и рулероста коэффициент $C_{x,ru,ru}$ будет меньше, чем C_x , для одного руля. Поправка учитывающая влияние рулероста, будет

$$r_{ru} = \frac{C_{x,ru,ru}}{C_x} \quad (18)$$

Для определения величины r_{μ} можно рекомендовать график (рис. 11), на котором по оси абсцисс отложена относительная площадь рулевого привода

$$b \frac{r_{\mu}}{r_{\mu} + r_{\mu}}$$

Видно, что резкое уменьшение r_{μ} начинается после того, как относительная площадь рулевого привода превысит 20—25%. Так как при определении боковой силы нужно принимать во внимание суммарную площадь руля и рулевого привода, равновелико 20—25% площади руля относительно рулевого привода, то можно достичь уменьшения силы, действующей на руль, и момента на балласте.

Возможность уменьшить площадь руля за счет обтекаемого рулевого привода нашла отражение в Правилах постройки [16].

Влияние корпуса на руль складывается из некоторого уменьшения скорости набегающего за руль потока (по отношению к приближенному в расчетах скорости судна) и изменение направления потока воды из-за вихревого движения.

Изменение скорости, вызываемое попутным движением воды учтывается коэффициентом

$$r_{\mu} = (1 - \psi_p)^2 \quad (19)$$

где ψ_p — коэффициент попутного потока, представляющий собой отношение скорости образующегося за кораблем судна попутного потока к скорости судна.

В выражение для определения боковой силы

$$P_y = C_y \cdot 0,5 \rho r^2 F$$

нужно подставить значение фактической скорости v_{μ} т. е. скорость с учетом попутного потока

$$v_{\mu} = v(1 - \psi_p)$$

Тогда формула для определения боковой силы имела бы вид

$$P_y = C_y (1 - \psi_p)^2 0,5 \rho r^2 F$$

где v — скорость судна

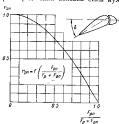


Рис. 11. К определению величины из рулевого привода

Имеет смысл сохранять в этой формуле скорость судна, а по правилу $(1 - \psi_p)^2$ объединить с коэффициентом C_y в виде по правилу (19).

Для определения ψ_p можно рекомендовать эмпирические зависимости, полученные Р. Я. Пераницем [7]. Эти формулы дают удовлетворительные результаты для быстроходных судов, однако применение их для транспортных судов с полными обшивками дает значения, завышенные на 10—15%.

Для бортовых рулей нужно учесть скос потока, возникающий в результате совпадения направления движения воды и направления касательных к рабочим винтам в кормовой части. Для определения угла скоса потока δ_x можно использовать эмпирическую формулу Р. Я. Пераницы

$$\delta_x = 89 \frac{A_y}{L} \sqrt{\sin \gamma_1} \text{ рад.} \quad (20)$$

где γ_1 — угол между ДП и прямой, проведенной на корпусе теоретического чертежа через середину руля до зонта перпендикулярно к ближайшему теоретическому шпангоуту;

A_y — длина этой прямой на протяжении двух теоретических панцирьков в зоне от руля.

Направление набегающего за руль потока существенно изменяется из-за дрейфа при повороте судна. Рассматривая в плане движение судна на ширкуляции, можно убедиться в том, что действительный угол атаки руля будет меньше геометрического угла перекладки на величину

$$\Delta \delta = \delta + \frac{I_p}{R},$$

где δ — угол дрейфа (рис. 12);

I_p — расстояние от центра тяжести судна до руля;

R — мгновенный радиус вращения.

Учет всех рассмотренных поправок позволяет определить коэффициент боковой силы для руля в реальных условиях

$$C_y = r_{\mu} f' v^2 \frac{dC_y}{d\delta} (\delta_{\mu} + \Delta \delta) \quad (21)$$

где δ_{μ} — эффективный угол перекладки.

$\Delta \delta$ — скос потока за счет дрейфа вращения судна при движении на ширкуляции.

$$\delta_{\mu} = \delta + \delta_{\mu}^* + \delta_y \quad (22)$$

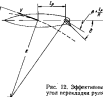


Рис. 12. Эффективный угол перекладки руля

где δ — геометрический угол перекладки;

δ_{μ} — среднениный угол закручивания;

δ_s — угол скоса потока для бортовых рулей.

При определении конструктивных размеров элементов рулевого устройства нужно найти максимальные значения C_p и C_s при $\delta \delta = 0$. Такой случай возможен, так как к моменту окончания перекладки руля судно обычно еще не имеет значительного дрейфа и угловой скорости. В соответствии с этим

$$\left. \begin{aligned} P_p &= 0.5 \rho r^2 F_{\mu} r_{\mu} r_s r_s \frac{dC_p}{d\delta} \delta_{\mu} \\ N_b &= 0.5 \rho r^2 F_{\mu} r_{\mu} r_s C_s \end{aligned} \right\} \quad (23)$$

Для расчета балласта должна быть найдена полная сила на руле

$$P = \sqrt{P_p^2 + N_b^2}$$

Поскольку нас интересует наибольшее значение P , мы можем проанализировать только предельные углы перекладки для которых величина C_s обычно не превышает $0.5 C_p$. Это позволяет с достаточной для практических расчетов точностью учесть любое сопротивление P_s , принцип

$$P = (1.12 + 1.15) P_s \quad (24)$$

Как отмечалось выше, пользоваться различными теоретическими и экспериментальными формулами для определения гидродинамических характеристик руля можно только в том случае, когда не проводится экспериментальных исследований модели проектируемого руля или нельзя подобрать подходящий руль в атласе. Поэтому остановимся на особенностях расчета в том случае, когда такие данные имеются. Обычно коэффициенты C_p , C_s и C_d задаются графически — в зависимости от углов атаки. Несоответствие геометрических углов перекладки и фактических углов атаки не позволяет непосредственно определить значения коэффициентов. Предварительно нужно найти углы скоса потока δ_s и δ_{μ} .

Угол атаки будет представлять собой алгебраическую сумму геометрического угла перекладки и угла скоса потока.

Таким образом, для заданного ряда значений геометрических углов перекладки можно найти соответствующие углы атаки и по ним снять с графиков значения коэффициентов C_p , C_s и C_d . При построении графических зависимостей $C_p(\delta)$, $C_s(\delta)$, $C_d(\delta)$ для проектируемого руля полученные значения коэффициентов необходимо отнести к геометрическим углам перекладки.

При расчете сил и моментов на руле нужно придерживаться следующего правила знаков. Положительными считаются боковая сила и момент, направленные в сторону левого борта и по часовой стрелке (смотря на судно сверху). Условимся, что такому направлению соответствует положительный угол перекладки — на правый

борт. Составляющие скорости вызывающие скос потока, считаются положительными, если они направлены в сторону левого борта.

§ 7 Площадь и число рулей

При определении площади руля обычно пользуются коэффициентом, который равен отношению площади руля к произведению длины судна на его осадку

$$K = \frac{F}{L \cdot d} \quad (25)$$

Этот коэффициент зависит от многих факторов: типа судна, положения руля относительно корпуса судна, типа гребных винтов и т. д. Пока еще нет надежного аналитического метода для точного определения относительной площади руля. При проектировании в первом приближении площадь руля может быть назначена на основании статистических данных (табл. I). В общем случае ее следует проверить и уточнить расчетом управляемости.

Таблица I

К определению площади руля (значение коэффициента K)

Тип судна	K
Транспортные суда генераторные	0,018—0,023
" " " двухвинтовые с двумя рулями	0,020—0,028
Большие пассажирские суда	0,017—0,019
Малые и средние пассажирские суда	0,017—0,023
Нефтеналивные суда	0,013—0,020
Береговые суда	0,020—0,030
Буксиры, паромы	0,025—0,040

Можно заметить три различных подхода при определении или проверке площади руля в зависимости от особенностей и назначения судна:

1. Для судов, обладающих автоматической устойчивостью на курсе (к которым можно отнести большинство транспортных и пассажирских судов), площадь руля определяется, в соответствии с определенными практикой соотношениями между степенью устойчивости на курсе и поворотливостью.

2. Для судов, не обладающих автоматической устойчивостью на курсе, определяющим условием для выбора площади руля является удержание судна на курсе при дрейфе вызываемом боковым ветром.

3. Для макеренных судов, например барж и лодок, площадь руля должна быть достаточной для удовлетворения требований, сформулированных в задаче, где обычно ограничивается радиус циркуляции R .

Отметим, что для морских транспортных судов при наложении судна-прототипа, имеющего близкие к проектируемому судну характеристики и показывающего хорошую управляемость, определяющей площадь руля как для прохождения L_T можно считать окончательным.

Правила постройки морских транспортных судов Регистра СССР регламентируют минимальную допустимую площадь руля, которая может быть определена по формуле

$$F_{\min} = p q \frac{L^2}{100} \left(0.75 + \frac{150}{L+75} \right) \text{ м}^2 \quad (26)$$

где L — длина судна, м;

q — осадка судна, м;

p — коэффициент, учитывающий влияние винта

Для рулей, расположенного за винтом, $p = 1$. Площадь руля, не попадающего в зону действия струи гребного винта, должна быть увеличена на 20% ($p = 1.2$): для барж $q = 1.25$; для всех остальных судов $q = 1.0$. Увеличение площади рулей барж определяется особенностями их эксплуатации.

Как было показано выше, обтекаемый рулерпост оказывает благоприятное влияние на работу руля. Это позволяет уменьшить площадь последнего на величину площади рулерпоста. В соответствии с Правилами постройки Регистра СССР площадь руля в этом случае должна быть не менее 0,8 F_{\min} .

Число рулей на судне определяется назначением судна и его конструктивными особенностями.

Прежде всего отметим, что высота руля не может быть выбрана произвольно. Как правило, она ограничивается высотой коренного подпора, поэтому увеличить площадь руля можно только за счет увеличения его ширины. Однако увеличение ширины руля особенно у судов с небольшой осадкой, неизбежно ведет к уменьшению относительного удаления λ и снижает эффективность руля (см. анализ гидродинамических характеристик руля).

Иногда целесообразно заменять один руль двумя или большими числом рулей с более благоприятным значением λ .

Можно увеличить боковую силу руля, расположив его за гребным винтом, вызывающим возрастание скорости набегающего на руль потока. Поэтому рационально предусмотреть для судов с двумя и большими числом гребных винтов соответствующее число рулей. Для транспортных и пассажирских судов число рулей обычно равно числу гребных винтов.

* О способах проверки качества руля, выбранный в первом приближении см. в таблицах по управляемости судов [7], [18].

ГЛАВА 3

КОНСТРУКЦИИ РУЛЕЙ БАЛЛЕРЫ

§ 8 Обычный (небалансированный) руль

В конструкционном отношении наиболее простым является плоский однослоинный руль (рис. 13), основной прочной связью которого является рулерпост — массивный вертикальный стержень. К рулерпосту жестко крепятся горизонтальные ребра, служащие опорами для стального листа, называемого пером руля. Ребра требуется располагать попарно — с одной и другой стороной пера. Заднюю с рулерпостом отливают как отливывают петли, которыми руль крепится за рулерпост. В верхней части при помощи горизонтального фланца руль соединяется с баллером.

Как уже отмечалось, плоские рули почти полностью вытеснены двухслойными обшивками и сохранились лишь на судах старой постройки. В настоящие времена плоские рули находят применение только на небольших мореходных судах.

Конструкция двухслойного (обтекаемого) небалансированного руля показана на рис. 14. Полое перо руля имеет двухслойную обшивку, подкрепленную двумя вертикальными и несколькими горизонтальными диафрагмами. Все диафрагмы имеют отверстия, которые облегчают конструкцию и в то же время позволяют заполнять всю внутреннюю полость каким-либо легким пористым материалом, предотвращающим попадание воды внутрь руля. В верхней части руль закрыт торцовой листовой диафрагмой и отливкой, образующей фланец для соединения руля с баллером. Нижний торцевой лист закрывается у передней вертикальной диафрагмы. Между этой диафрагмой и закругленной частью обшивки руля установлена отливка, в которой укрепляется нижняя шайба.

Соединение руля и баллера обеспечивается горизонтальным фланцем. В разрезе АА на рис. 14 показана шпонка, предназначенная для восприятия усилий, возникающих при перекладке руля

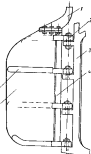


Рис. 13. Однослоинный руль.
1 — баллер; 2 — перо; 3 — руль; 4 — рулерпост; 5 — обшивка; 6 — ребро

Руль имеет две опоры, воспринимающие только горизонтальные усилия. Вес руля и баллера через одну из опор баллера передается на прочные связи набора кормовой оконечности судна (на рис. 14 опоры баллера не показаны).

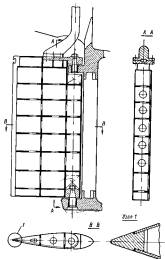


Рис. 14. Обычный руль.

Размеры и конструкции современных обтекаемых рулей чрезвычайно многообразны, однако все они имеют общие элементы: перо руля, узел соединения пера и баллера, опоры руля и баллера.

Перо руля. Форма пера определяется контуром и толщина профиля руля, которые выбираются с таким расчетом, чтобы обеспечить максимальную эффективность руля, возможность его размещения в кормовом погребе, прочность и технологичность.

Небалансирные рули транспортных судов обычно имеют хвост, близкий к прямоугольному. Для них можно рекомендовать профили НАСА, НЕЖ и Сб, имеющие относительно меньшее заострение хвостовой части и поэтому более технологичные.

Толщина обшивки пера, положение и число диафрагм определяются действующими нагрузками и положением опор руля. Напряжения в обшивке, величина которых должна быть учтена при определении ее толщины, возникают от действия местной нагрузки и от изгиба руля между опорами.

Величина местной нагрузки определяется гидростатическим и гидродинамическим давлениями. Сумма их наибольших значений составляет расчетную нагрузку. Обычно это условная величина, так как расчетная нагрузка не учитывает изменения гидростатического давления при волнении, ударах воли, возможное давление льда и т. д. Возможное действие различных дополнительных усилий учитывается в выработанных практикой запасах прочности.

Величина действующих в обшивке напряжений зависит от числа и положения диафрагм, определяемых размерами и соотношением сторон опорного контура панели обшивки.

По Правилам постройки Регистра СССР минимальная толщина обшивки пера руля

$$t_{\min} = 40b \frac{L + 37}{L + 260} \text{ мм} \quad (27)$$

где L — длина судна, м;

b — меньшая сторона спорного контура, м.

Вытекающее из формулы (27) соотношение $\frac{b}{L}$ такое что при изгибе от местной нагрузки пластина можно считать жесткой. Вследствие симметрии нагрузки можно считать, что панель обшивки жестко заделана на спорном контуре, т. е. на диафрагмах. Для такой пластины напряжения от местной нагрузки, как известно, определяются формулой

$$\sigma = \frac{b}{2} \frac{\pi}{2} \frac{b^3}{r^3} \quad (28)$$

откуда

$$t = b \sqrt{\frac{\pi}{2}} \sqrt{\frac{b^3}{20}}$$

Принимая

$$[\sigma] = 40,$$

получим

$$t = b \sqrt{\frac{k}{2a}} V \sqrt{\frac{q}{\sigma_y}} \quad (29)$$

где q — интенсивность нагрузки, кас/см²;

k — коэффициент, определяемый соотношением сторон опорного контура;

σ_y — предел текучести, кас/см².

Если в формуле (29) принять t в миллиметрах, а b в метрах то она примет вид

$$t = 1000b \sqrt{\frac{k}{2a}} V \sqrt{\frac{q}{\sigma_y}} \quad (30)$$

В Правилах построек толщины обшивки могут быть определены по формуле

$$t = \frac{46}{k} V \sqrt{\frac{2000PT + P}{\sigma_y}} \quad (31)$$

где P — площадь руля, м²

T — осадка, м;

k — коэффициент, величина которого зависит от соотношения сторон опорного контура $\frac{a}{b}$ (a — большая из сторон) (табл. 2);

P — устойчивые гидродинамические реакции на руль.

$$P = 15.00 \bar{v}^2 \text{ кас} \quad (32)$$

где $\bar{v} = 1.0$ для рулей расположенных за винтом и $\bar{v} = 0.9$ для рулей, расположенных не за винтом;

v — скорость судна в узлах.

Таблица 2

К определению толщинам обшивки руля

$\frac{a}{b}$	1.0	1.1	1.2	1.3	1.4	1.5	1.6
t	7.88	8.15	8.37	8.95	8.26	9.51	9.70

Сравнивая формулу (30) с формулой (31) убеждаемся что

$$\left. \begin{aligned} k &= 1000 \sqrt{\frac{b}{2a}} \\ q &= \frac{2000PT + P}{P} \text{ кас/см}^2 \end{aligned} \right\} \quad (33)$$

Анализируя численные значения k в формуле (31) определим величину a в формуле (29)

$$[a] = (0.45 - 0.50)\sigma_y$$

При расчете руля на изгиб нагрузкой будет максимальное гидродинамическое давление. Особенностью определения максимального изгибающего момента является обязательный совместный расчет руля и баллера, что обусловлено жесткой связью этих элементов. (На порядок расчета мы остановимся ниже, при составлении расчетной схемы для определения конструктивных размеров баллера.)

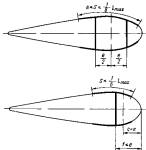


Рис. 16. Положение диффузора в передней части перед рулем. L_{max} — расстояние между опорами руля.

В соответствии с Правилами построек момент сопротивления поперечного сечения основных спиц руля (рис. 15) должен быть не меньше определенного по формуле

$$W = \frac{250M_{max}}{\sigma_y} \quad (34)$$

где M_{max} — наибольший изгибающий момент в сечении руля касм;

σ_y — предел текучести, кас/см².

Если в формуле (34) подставить изгибающий момент выраженный в касм

$$W = \frac{2.5M_{max}}{\sigma_y} = \frac{M_{max}}{0.4\sigma_y}, \quad (35)$$

то легко убедиться что действующие напряжения не должны превышать $0.4\sigma_y$.

Для обеспечения достаточной прочности руля при его изгибе между опорами Практика постройки задают чисто и положение диффрагм, заменяющих рудерис. Например, если расстояние от оси вращения до передней кромки руля с (рис. 15) превышает максимальную толщину профиля $t_{\text{ши}}$, то необходимо устанавливать не менее двух вертикальных диффрагм. Если же $c < t_{\text{ши}}$, то уста-
навливают одну вертикальную диффрагму. Минимальное расстоя-
ние между диффрагмами равно 0,6 м. Размер большой стороны
одного контура панели обшивки руля не должен превышать
1/6 размера меньшей стороны. По Практике постройки толщина



Рис. 16 Схематичные обозначки руля с диффрагмами: а — с тройным винтом выступами; б — со щелевыми

диффрагм, так же как и толщина торцевых листов должна быть не меньше, чем толщина обшивки руля.

В современной практике существуют два способа сборки и сварки пера руля. Сложность этих операций определяется тем, что ограниченные размеры внутреннего пространства руля не позволяют произвести сварку изнутри.

Первый способ заключается в следующем. На одном из кромок флангов делаются трапециевидные выступы (рис. 16, а). Предварительно собранные вертикальные и горизонтальные диффрагмы свариваются с частью обшивки тонкими кромками, которые не имеют выступов. Другая часть обшивки имеет вырезы, точно совпадающие с положением выступов диффрагм. Ее накладывают сверху и прижимают к диффрагмам клиновыми (как показано на рис. 16, б) После приварки выступы срезают.

Некоторая сложность этого способа заключается в необходимости точно согласовать вырезы в обшивке с выступами диф-
фрагм.

Более распространенным является вторым способом. К горизон-
тальным и вертикальным диффрагмам с одной стороны призыва-
ют панели а в соответствующей части обшивки делают вырезы

и вырезы — щелцы, положение которых согласуется с положе-
нием панелей. Заварка этих вырезов (рис. 16, б) обеспечивает прочную связь обшивки и диффрагм.

Задняя кромка пера руля может иметь различные конструк-
тивные оформления. У рулей с острой заостренной частью (профили ЦАГИ, НЕЖ) соединение обшивки каждой из сторон может быть осущест-
влено просто сваркой. Для рулей более толстых можно
применить соединение обшивки сваркой при помощи прутка или
новакового бруска (см. рис. 14).

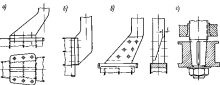


Рис. 17 Соединение руля с баллером: а — горизонтально-фланцевое; б — верти-кально-фланцевое; в — замковое; г — конусное

Перо руля должно иметь отверстия для стока воды из внутрен-
ней полости и клоз для закрепления снастей, необходимых при
снятии руля.

Соединение руля с баллером. Конструкция соединения пера
руля с баллером должна отвечать двум основным требованиям:
обеспечить прочную и надежную связь этих двух элементов
рудового устройства;

обеспечить снятие руля без подъема баллера

Последнее требование обусловлено тем, что подъем баллера
при снятии руля связан с частичным демонтажем рулевой машины
и рулевого привода, а иногда и с более сложными работами.
В судостроительной практике находят применение три типа со-
единения руля с баллером: фланцевое, замковое и конусное.

Фланцевое соединение имеет две разновидности — с горизон-
тальным и вертикальным расположением фланцев. На рис. 17, а
показано горизонтально-фланцевое соединение с изогнутым бал-
лером, которое позволяет достаточно просто снять руль; для этого
нужно развести фланцы в предельные противоположные положения.
Размеры фланцев должны быть такими, чтобы после разведения
между ними был зазор, позволяющий снять руль движением вверх.

В горизонтально-фланцевом соединении для уменьшения на-
грузки на болты устанавливаются шпонки. Размеры болтового

соединения и шпонки должны быть достаточными для того, чтобы каждый из этих элементов мог передавать усилия, необходимые для перекладки руля.

Правила постройки задают диаметр болтов и толщину фланцев в зависимости от диаметра баллера; число болтов обычно равно шести.

Вертикально-фланцевое соединение в современной практике применяется очень редко. Вертикальный фланец (рис. 17, б) располагается в верхней передней части руля. При этом верхняя опора руля смещается ниже, что усложняет конструкцию руля и амортизации; кроме этого, увеличивается износ штыря верхней опоры, нагрузка на которую при смещении опоры к середине увеличивается.

Зажимное соединение показано на рис. 17, в. Длина замка и число болтов задаются Правилами постройки в зависимости от диаметра баллера. Толщина самой тонкой части (б) должна быть не меньше 15% диаметра баллера.

На современных судах большое распространение находит скользкое соединение руля и баллера (рис. 17, г), которое позволяет перенести опору руля на баллер. Такая конструкция часто встречается у двухпоплавковых балансирных рулей. Момент, необходимый для перекладки руля, должен надежно передаваться только за счет трения в конусном соединении.

Длина конического участка баллера должна быть равна не менее полутора диаметрам баллера; наибольший допустимый угол 1 : 7. При этих соотношениях плотную посадку можно осуществить за счет затягивания гаек. Для повышения надежности соединения дополнительные устремляют шпонки.

Опоры руля. Действующие на руль силы через опоры передаются за прочные связи судового корпуса — на рулерность, петлю азимута, набор кормовой оконечности. Опоры должны воспринимать горизонтальные и вертикальные силы, но не должны препятствовать вращению руля.

Рассмотрим устройство простейшей опоры (рис. 18, а). Ее основные элементы являются петля рулерности, петля руля и штырь. Последний при помощи конусного соединения неподвижно скрепляется с одной из петель (в рассматриваемой опоре — с петлей руля).

Нижняя часть штыря закрыта бронзовой рубашкой. Она вращается в подшипнике, который представляет собой бакаутовые резинки, закрепленные в бронзовой втулке петли рулерности. Образующаяся при смачивании бакаута водой импульсия значительно уменьшает трение.

В зависимости от направления воспринимаемых усилий опоры могут быть подразделены на две группы. Опоры первой группы воспринимают только горизонтальные усилия опоры азимута — горизонтальные и вертикальные.

Определюющим требованием при проектировании опор руля и баллера является необходимость уменьшить износ трущихся поверхностей. Этого можно достичь при правильном подборе материала трущихся поверхностей, увеличении площади опорных поверхностей и рациональном размещении опор.

Опыт эксплуатации показал, что износ штырей без специальных облицовок может достигать 2,5—4 мм в год. Не более года выдергивают штыри и итудки из калевой стали. Попытки использовать для штырей облицовку из магниевой бронзы не дали ожидаемых результатов: при попадании между трущимися поверхностями песка

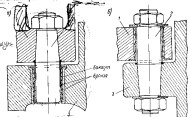


Рис. 18 Рулевые опоры первого типа: а — на петле азимута (зажим); б — средняя опора обычного руля.
1 — штырь; 2 — шайба уплотнения

его частицы прессовались в бронзу и приводили к быстрому износу второй рабочей поверхности.

Наиболее стойкими в отношении изнашивания являются следующие комбинации материалов: морская латунь и бронза в паре с бакаутом; хромоникелевая облицовка в паре с бакаутовым подшипником; облицовка из нержавеющей стали с итудками из твердой алюминиево-магниевой бронзы. В зависимости от материала трущихся пар допустимое удельное давление в опоре колеблется в пределах 14 (бронза — бакаут) — 65 (сталь — бронза) кг/см².

Снижение удельного давления, позволяющее уменьшить износ трущихся поверхностей и увеличить срок службы опоры, может быть осуществлено за счет увеличения опорной поверхности. Ее размер для опор первой группы обычно характеризуется произведением диаметра на высоту рабочей части штыря. Для опор, воспринимающих вертикальные усилия (опоры второй группы), непосредственно используется площадь рабочей поверхности.

Величина рабочей поверхности опоры во многом зависит от положения опоры. Так, опоры второй группы рационально располагать в районе баллера, где по сравнению с опорами руля величина рабочей поверхности может быть значительно увеличена.

Так как полностью избежать износа трущихся поверхностей не удается, следует располагать опоры таким образом, чтобы облегчить их ремонт. Кроме того, учитывая затруднения при снятии баллера, необходимо предусмотреть, чтобы наиболее нагруженными оказались опоры руля, ремонт

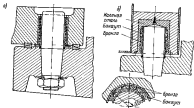


Рис. 19. Рулевые опоры второго типа: а — с сферическим кольцом; б — с опорным стаканом.

которых выполняют значительно проще. Опора показана на рис. 18, б является средней опорой небалансирного руля. Штырь имеет бронзовую рубашку и работает в биметаллическом подшипнике.

Иногда наружные опоры рулей конструктируются для частичного восприятия веса руля и баллера. Два типа таких опор (второй группы) показаны на рис. 19. Одна из них (рис. 19, а) является опорой балансирного руля крупнотоннажного танкера. Вертикальные усилия воспринимаются специальными опорами кольцом из калевой стали и передаются на пятку актерштейна. Во втором случае (рис. 19, б) вес через вкладыш из калевой стали передается на торцовую поверхность штыря.

В последние времена большое внимание уделяется защите опорных конструкций от проникновения морской воды. Всказано это тем, что даже при плотной посадке рубашки штыря или баллера морская вода все равно проникает в зазор между рубашкой и ос новным материалом, что губительно сказывается на состоянии их рабочих поверхностей. При некотором ослаблении рубашки возможен ее проворачивание сопротивляющееся большим нагрузкам износом.

Один из способов защиты, применяемых в отечественной практике, состоит в следующем (рис. 20, а). В торце рубашки делается выточка. Выступ рубашки, прилегающей к баллеру или штырю, закапливается несколькими слоями стеклоткани, после чего вся выточка заполняется эпоксидной смолой. Заполнение удерживается за счет нескольких кольцевых пазов на внутренней стороне выточки.

Иногда для дополнительной изоляции от морской воды используют резиновые жгуты (рис. 20, б).

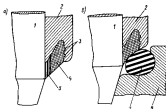


Рис. 20. Защита от проникновения воды: а — со стеклотканью; б — со стеклотканью и резиновым жгутом.
1 — кампир; 2 — втулка; 3 — выточка; 4 — заполнение; 5 — стеклоткань; 6 — вора; 7 — резиновый жгут.

Размер опорной поверхности штыря можно найти исходя из действующего на опору усилия. Возникающей в опоре удельное давление может быть определено по формуле

$$P_{\text{зд}} = \frac{A}{d_{\text{ш}} h}, \quad (36)$$

где

$$d_{\text{ш}} = \frac{A}{P_{\text{зд}}}, \quad (37)$$

где A — максимальное усилие действующее на опору;

$d_{\text{ш}}$ — диаметр штыря с обшивкой, см;

h — высота втулки, см.

Не рекомендуется принимать высоту втулок меньше диаметра штыря. При увеличении ее высоты усложняется процесс снятия руля, поэтому Правила постройки ограничивают высоту втулки

размером 1,24. В соответствии с Правилами построения диаметр штыря без облицовки должен быть не менее

$$d_w = 10 \sqrt{\frac{A}{4400 + a_1}} \quad (38)$$

где σ_0 — предел текучести, кг/см².

Анализ этой зависимости дает возможность определить касательные допускаемые напряжения, значения которых не превышают $80 \text{ кг}/\text{см}^2$. Низкое значение $[\tau]$ можно объяснить тем, что диаметр арматуры определяется из условия обеспечения необходимой оголовкой поверхности и снижения усадочного зазора.

Правила постройки дают следующие конструктивные рекомендации:

для конической части штыря должна быть не менее 12 дюймов.

ПОЛОСАТА обивка из металлических втулок может быть определена по формуле

$$f_{\text{min}} = \frac{\delta_m + 23.5}{33} \text{ dB} \quad (39)$$

Толщина планок бакиута — не менее 22 мм;

Гончарные материалы — не менее 0,5 д.

В зависимости от съемных частей из пера руля определяется видением опор и направлением движения руля при снятии. Например, у рассматриваемого руля (см. рис. 10) часть первая, расщепляющаяся под верхней петлей, должна быть съемной (она отмечена на рис. 14 звездочками). Обычно съемная часть имеет в два раза меньшую толщину листов. При демонтаже эта часть просто отстегивается.

4 В паре руля должны быть предусмотрены съемные крышки, блокирующие доступ к гайкам штырей.

9.9 Балансирные и полубалансирные колеса

На рис. 21 показан баллонный руль типа Симплекс, который является одним из самых распространенных.

Руль опирается на скользкую ось, которая неподвижно закреплена в пятах альтернативы при помощи алюминиевого соединения. В верхней части ось крепится при помощи вертикального фланца и болтов. В первом руле для прохода склонной оси сделана круглая труба. Иногда эта труба образуется двумя непротивоположными вертикальными диафрагмами в общейной пера руля. У верхнего и нижнего концов трубы располагаются листы или кованые ступники посредством которых руль опирается на скользкую ось.

Если у обычного руля увеличение опорной поверхности за счет высоты четырех связей с усилением ремонта руля, то увеличению высоты опорной части оси рулей Симплекс никто не мешает.

шает. Связанное с этим уменьшение удельного давления позволяет значительно снизить износ опорных поверхностей.

К достоинствам рулей Сименекс нужно отнести то, что съемная ось образует с нижней частью альтернатора замкнутую раму благодаря чему уменьшается податливость опоры на пятке ахтерштевня. Недостаточная жесткость нижней опоры балансирных рулей часто является причиной вибрации руля и коромысла судна. При демонтаже руль снимается вместе с осью после отдачи болтов фланцевого соединения в гайки нижнего конусного крепления. Легко убедиться, что верх руля не должен иметь съемных частей и наконечек.

Рули Симплекс не рекомендуются для судов, плавающих в высоких широтах. Даже при щадительном изготовлении под шинами озор трудно обеспечить герметичность трубы, предназначенной для прохода рулевого вала. При отрицательных температурах возможно обмерзание трубы и ее руля, что небезопасно ведет к аварии.

Стремление разгрузить озору баллера и переместить нагрузку на опору руля осуществлено во втором варианте рули, верхний край которого показана на рис. 22. Конструкция этого узла

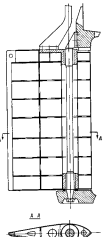


Рис. 21. Балансовый результирующий

аналогична верхней опоре (см. рис. 14) небалансированного руля. Размещение опоры в верхней части руля заставило отказаться от комбинированного крепления баллера и перейти к креплению с помощью горизонтального фланца.

Полубалансированные рули до недавнего времени использовались в основном на двухвинтовых судах. Они располагались в днище тральной плоскости и надежно соединялись с актерштевнем при помощи одной или двух петель. Начиная с пятидесятых годов полубалансированные рули все чаще применяются на одновинтовых транспортных судах.

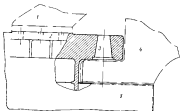


Рис. 22. Верхняя опора двухбалочного балансированного руля
1 — баллер; 2 — фланец; 3 — ось; 4 — петля актерштевня; 5 — верх руля

Рассмотрим полубалансированный руль одновинтового судна (рис. 23). За исключением новых петель и хвостовой кромки, весь руль выполнено полностью стальным. В верхней части оно имеет клюс для завершения снастей при снятии руля. Крепление баллера комбинированное. Верхняя опора совмещается с ложным подшипником баллера.

Это конструктивное решение подвергалось большой критике, когда речь шла о балансированных рулях. Однако для полубалансированного руля такое решение вполне допустимо, так как нижней опоре мало места расположиться в районе центра тяжести плоскости руля. Именно эта опора воспринимает основную нагрузку и тем самым разгружает опору на баллере.

Все рули и баллера передаются на упорный подшипник баллера. Конструкция нижней опоры позволяет снять руль целиком вместе со штырем; часть руля располагающаяся над этой опорой, делается съемной.

Кронштейн, предназначенный для крепления руля, имеет обтекаемую форму и прочко связан с актерштевнем и набором кор-

мовой оконечности. Кронштейн обеспечивает более жесткое крепление руля, чем нижняя опора балансированного руля. Одно из достоинств такого полубалансированного руля заключается в том, что кронштейн во связке со стапи-постом актерштевня, что позволяет сократить руль в корму. Это, в свою очередь, позволяет увеличить зазоры между винтом и корпусом и уменьшить вибрации корпуса. Одновременно упрощается и конструкция актерштевня так как практически сохраняется только часть его, расположенная над осью гребного винта.

Особенности рулей судов ледового плавания. У судов ледового плавания рули имеют ряд конструктивных особенностей, которые определяются условиями эксплуатации этих судов и, главным образом, значительным возрастанием нагрузок при стукивающих на руль. Пока еще нет методов позволяющих оценить хотя бы приближенно эти нагрузки, поэтому судить о них мы можем лишь на основании анализа эксплуатации судов, которым подходит отражение в рекомендациях Правил постройки.

Нагрузку на руль можно определить по формуле (32), в которой скорость v должна быть для судов класса УЛА не менее 21 узла, для класса УЛ не менее 19 узлов и для класса Л не менее 17 узлов.

Большое внимание должно быть уделено закреплению руля. Рули, не имеющие опор на актерштевне, непригодны для всех классов судов ледового плавания.

(На судах класса УЛ¹ из актерштевня должно быть не меньше двух опор. Еще более жесткие требования предъявляются к судам класса УЛА, рули которых должны иметь не менее трех опор (На судах этого класса полубалансированные рули недопустимы.)

Наиболее опасные условия для рулей создаются при заднем ходе. Поэтому у всех судов ледового плавания на актерштевне за рулём должен быть пластилин, воспринимающий давление поверхности льда.

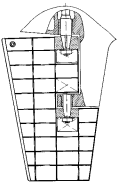


Рис. 23. Полубалансированный руль из кром-штейна.

§ 10 Руль с грушей Коста. Раскрывающийся руль

С увеличением толщины руляе улучшаются пропульсивные качества судна. Это определяет переход от плоских рулей к обтекаемым. Однако резервы увеличения скорости этим не исчерплены. Итальянский инженер Ло Коста предложил повысить эффективность работы винта за счет обтекаемой наделки на руль. Такая наделка (рис. 24), ось которой совпадает с осью гребного винта, получила название «груши Коста».

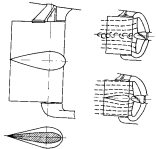


Рис. 24 Руль с грушей Коста

Эффект достигаемый грушей Коста, возникает за счет уменьшения падения давления во внутренней зоне струи, отбрасываемой винтом, меньшего сужения струи и исключения вихрей за ступицей винта.

Увеличение скорости судна при замене обычного руля рулем с грушей Коста составляет в среднем 0,3—0,5 узла. Увеличение площади руля, попадающей в зону действия струй гребного винта, объясняет некоторое улучшение маневренных качеств. Это положение налагало подтверждается сравнением диаметров установленной ширкуляции судна «Кулиага», на котором обыкновенный руль был заменен рулем с грушей Коста. Результаты замеров диаметров ширкуляций приведены в табл. 3.

Раскрывающиеся рули. С точки зрения безопасности плавания способность судна резко снизить скорость так же важна, как и

Таблица 2
Диаметры установившихся ширкуляций судна «Кулиага» (6800 т)

Тип руля	Диаметр м	
	Правый борт	Левый борт
Обыкновенный руль	137	158
Руль с грушей Коста	108	122

способность изменять направление движения. Проблема торможения имеет особое значение для крупнотоннажных транспортных судов, у которых путь, проходимый до полной остановки, составляет ~10 длины судна и может достигать нескольких километров.

В современной практике прибегают к самым различным конструктивным мерам, направленным к сокращению пути торможения. Одной из них является раскрывающийся руль (*split rudder*), схематический чертеж которого приведен на рис. 25. Руль состоит из двух частей, шарниро соединенных в задней части. Их вращение обеспечивается системой гидроцилиндров расположенных внутри руля. В раскрытом положении руль создает большой тормозной эффект. Например, тормозной путь крупнотоннажного танкера после установки на нем раскрывающегося руля сократился более чем в два раза. Эти рули имеют полезны также при маневрировании на малых ходах.

Недостатком раскрывающихся рулей является большая конструктивная сложность, однако для больших по размерам судов их установка вполне оправдана.

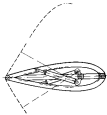


Рис. 25 Раскрывающийся руль (split rudder).

§ 11 Конструкция и расчет баллера

У каждого конца баллера (см. рис. 14) имеется криволинейная часть с фланцем для соединения с рулем. Эту часть принято называть лапой. Форма сечения баллера на криволинейном участке (рис. 26) меняется от круглой к форме вытянутого иного уголника в месте соединения с фланцем. Если на примыкающем

участке баллера располагается опора, то диаметр баллера в этом месте увеличивается, что дает возможность при ремонте проточить износающуюся опорную часть, не уменьшая диаметра (по отношению к его расчетной величине).

В верхней части баллера имеет конический выступ, который воспринимает вес руля и баллера и передает его на упорный подшипник. На голове баллера (верхняя часть) при помощи шпонок закрепляется румпель или сектор. В торцовой части обычно делается отверстие с нарезкой для крепления рымов, используемого при снятии баллера.

Аналогично опоры руля и баллера могут быть разделены на две группы — в зависимости от направления воспринимаемых усилий. Особенность опор баллера является значительно большая величина опорных поверхностей, что позволяет уменьшить их износ и увеличивать периоды между ремонтами. Это относится главным образом к опорам, воспринимающим вертикальные усилия. У опор руля размер опорной поверхности ограничен шириной руля, поэтому целесообразно, чтобы все рули и баллера передавались из опор баллера.

Одна из вариантов опоры баллера показана на рис. 27, а. Резиновое кольцо воспринимает вертикальные усилия через корпус опоры, передает их на прочные связи корпуса судна. На больших судах для уменьшения потерь на трение часто устанавливают подшипники качения (рис. 27, б).

Напряженное состояние баллера определяется действием передаваемого им на руль крутящего момента и моментов, возникающих при изгибе баллера между опорами. О причине появления и величине другого момента было сказано в начале этого раздела (см. стр. 24). При определении расчетного значения $M_{\text{ср}}$ должны быть учтены потери на трение в опорах руля и баллера.

Величина изгибающего момента $M_{\text{изг}}$ зависит от гидродинамического давления, действующего на руль, числа и расположения опор руля. Например, у баллера обычного руля (см. рис. 13) с тремя и более опорами изгибающий момент пренебрежимо мал.

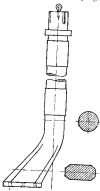


Рис. 26. Извлечение баллера

Относительно самый большой изгибающий момент бывает у баллеров подвесных рулей (см. рис. 7, 2).

Жесткость, обеспечиваемая соединением руля и баллера, позволяет рассматривать их как неразрезную балку переменного сечения.

Определение расчетного значения изгибающего момента для баллера начинают с определения геометрических характеристик сечений руля; затем выбирают по достаточному близкому прототипу отношение моментов инерции руля и баллера.

Можно считать, что для рулей, у которых верхняя опора располагается непосредственно у соединения руля с баллером, моменты инерций сечений в пролетах между опорами не изменяются. Обычно вполне допустимо предположить равномерное распределение гидродинамического давления во высоте руля.

Все нагрузки через опоры руля и баллера передаются на жесткие узлы конструкции корпуса судна. Исключение представляет линия опоры на пятке арматуры, не имеющей рулевого вала. Ему опору следует рассматривать как податливую.

Для раскрытия статической неопределенности, определения опорных реакций, моментов и для построения эпюр перерезывающих сил и изгибающихся моментов могут быть использованы известные методы строительной механики.

Для построения эпюр крутящих моментов нужно определять момент гидродинамической силы на руле относительно оси баллера. При этом учитываются моменты сил трения в опорах по формуле

$$M = \frac{3}{8} \frac{\mu R}{2} \frac{d}{r} p \quad (40)$$

где d — диаметр штыря или баллера в районе опоры, м;
 p — удельное давление, равное опорной реакции, деленной на произведение диаметра втулки на ее высоту;
 μ — коэффициент трения (для пары сталь — бронза $\mu = 0.3$).

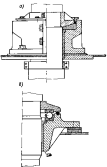


Рис. 27. Опорно-укороченные податливые баллеры: а — с податливым сечением; б — с податливым концом.

Сопоставление эпюр изгибающих и крутящих моментов позволяет найти расчетное сечение. Используя для оценки напряженного состояния теорию наибольших касательных напряжений можно построить эпюру приведенных моментов

$$M_{ap} = \sqrt{M_{ap}^2 + M_{sp}^2} \quad (41)$$

Максимальное значение M_{ap} может быть использовано для определения диаметра баллера или для сопоставления приведенных напряжений с допускаемыми, если расчет посчит прокрученный характер.

Для определения диаметра баллера на участке, работающем только на кручение Правила постройки рекомендуют формулу

$$d = 19.7 \sqrt{\frac{M_{ap}}{4400 + \sigma_t}} \quad (42)$$

где d — диаметр баллера, см;
 M_{ap} — крутящий момент, кгс·м;
 σ_t — предел текучести стали, кгс/см².

При определении величины крутящего момента рекомендуется формула

$$M_{ap} = P(t - a) \quad (43)$$

где P — условная гидродинамическая реакция на руле (формула (32));
 a — отстояние оси вращения от передней кромки руля;

t — отстояние центра давления от передней кромки, м

$$a = b \left(\frac{1}{3} + \frac{2}{3} K_3^2 \right), \quad (44)$$

b — ширина руля на уровне центра тяжести площади контура, м;

K_3 — коэффициент компенсации.

Формула Правил Построек (42) получена на базе обычной зависимости применяемой для определения касательных напряжений

$$t = \frac{M_{ap}}{W_p}$$

где W_p — поларный момент сопротивления. Если подставить $W_p = \frac{\pi d^3}{32}$, то последняя формула может быть преобразована в виду

$$d = \sqrt{\frac{M_{ap}}{\frac{\pi}{32} [t]}} \quad (45)$$

После согласования размерностей и выделения численного коэффициента из подкоренного выражения можно определить значения допускаемых напряжений

$$[t] = \frac{4400 + \sigma_t}{15} \quad (46)$$

Если, например, использовать для изготовления баллера сталь Ст.36 с пределом текучести 2400 кгс/см², то $[t] = 450$ кгс/см².

При совместном действии кручения и изгиба диаметр баллера может быть определен по формуле

$$d = 19.7 \sqrt{\frac{3}{4400 + \sigma_t} \sqrt{M_{ap}^2 + M_{sp}^2}} \quad (47)$$

Если учесть соотношение (41), то становится очевидным, что формула (47) базируется на гипотезе наибольших касательных напряжений. Приведенные допускаемые напряжения ($\sigma_t = 900$ кгс/см²)

в заключение остановимся на технологиях изготовления баллеров и марках стали. В зависимости от размера и формы баллера могут быть либо латами, либо лито-ковано-сварными. Небольшие по размеру баллеры изогнутой формы, а также баллеры любой величины, имеющие конусное соединение с рулём, делаются цельноковаными. Для их изготовления используются стали Ст.35, КМ-25, Ст.3 и Ст.4.

Сложность изготовления довальных заготовок для баллеров больших размеров (особенно из нижней части с фланцем) является причиной внедрения лито-ковано-сварных конструкций: лата баллера отливается, его цилиндрическая часть отковывается, а их соединение осуществляется при помощи электрошлаковой сварки. Необходимо обеспечить высокое качество сварного соединения; обязательно следует учитывать при выборе стали для поковки баллера: содержание углерода в ней не должно превышать 0,25%.

§ 12. Определение элементов рулевого устройства Числовой пример

Рассмотрим числовой пример определения элементов рулевого устройства.
Данные для расчета:

Тип судна	—	такир
Подразделение	—	$D = 40\ 000$ т
Длина	—	$L = 156$ м
Ширина	—	$B = 26,5$ м
Осадка	—	$T = 10,6$ м
Коэффициент общей плавности	—	$A = 0,73$
Скорость	—	17 узлов (8,75 м/с)
Скорость ходового хода	—	8,5 узла
Корма	—	крайслерская

Характеристики яхты: диаметр $D_s = 6,8 \text{ м}$, шаг — $5,4 \text{ м}$, дисковое сопротивление — $0,65$, удор — 147000 кн .

1 Определение положения руля.

Относительное положение руля к пропеллеру L/T для танкеров изменяется в пределах $0,013 - 0,030$. Анализ прототипов, имеющих характеристики, близкие к характеристикам проектируемого судна, показывает, что можно принять

$$F = 0,014 L/T = 0,014 \cdot 0,6 = 0,0084 \text{ м}^2$$

На условиях размещения руля в кормовом подшипнике задано высоту руля $h = 7,6 \text{ м}$.

Ширина руля

$$b = \frac{F}{h} = \frac{0,0084}{7,6} = 0,0011 \text{ м}$$

Соответствует этим размером относительное удаление

$$\lambda = \frac{A}{b} = \frac{7,6}{0,0011} = 6900$$

находится в пределах оптимальных значений (см. стр. 17).

Принимается профиль NASA с относительной толщиной 16%.

2 Определение сил и моментов на руле.

Воздух свободной поверхности

При полной осадке расстояние от верхней кромки руля до поверхности воды составляет 2 м . Относительный шаг

$$L_s = \frac{2}{7,6} = 0,26$$

Число Фруда

$$Fr = \frac{V}{\sqrt{gh}} = \frac{0,75}{\sqrt{9,81 \cdot 7,6}} = 1,01$$

Эффективное удаление (по графику из рис. 10) $\lambda_{\text{eff}} = \mu \lambda = 2,64$.

Коэффициент трения лами.

Погонные, учитывающие влияние гребного винта

$$\tau_0 = 1 + \frac{F_s}{F} \sigma_p$$

где F_s — площадь той части руля, которая погружена в струю гребного винта $F_s = 25,8 \text{ м}^2$.

Отношение

$$\frac{F_s}{F} = 0,088;$$

$$\begin{aligned} \sigma_p &= \frac{8Q}{\rho \Omega D_s^2} = \frac{0}{400 D_s^2} = \frac{147000}{40 \cdot 6,8^2 \cdot 10^6} = 1,04 \\ &\quad \sigma_p = 1 + 0,085 \cdot 1,04 = 1,03 \end{aligned}$$

Базовые коэффициенты.

Для определения величин коэффициентов используют математические зависимости, разработанные Р. И. Перельманом [7]. В том случае, когда верхняя кромка руля отстоит от горизонтальной плоскости больше чем за толщину профиля, коэффициент попутного ветра

$$\psi_0 = 0,85 \left(0,681 - 0,43 \cdot \Delta \phi_0 \cdot 1,018 \frac{\lambda_1 + h}{H} \right) \psi_0$$

где $\Delta \phi_0$ — поправка за форму кормы. Для кормовой кормы $\Delta \phi_0 = 0,18$; H — шаг кормового подшипника, $H = 9,6 \text{ м}$.

λ_1 — отстояние нижней кромки руля от носовой линии, $\lambda_1 = 1 \text{ м}$; ψ_0 — коэффициент, учитывающий положение руля. Для руля в длину гребальной линии $\psi_0 = 1$.

После подстановки $\psi_0 = 0,85$:

$$\tau_0 = (1 - \psi_0)^2 = (1 - 0,725)^2 = 0,42$$

Максимальное значение коэффициента подъемной силы

$$C_{L_{\max}} = \frac{\pi}{0,68 + \frac{1}{\lambda_{\text{eff}}}} \frac{0,58}{V^{1,49}} = \frac{3,14 \cdot 0,58}{\left(0,68 + \frac{1}{2,64} \right) V^{2,64}} = 1,15$$

Максимальное значение подъемной силы с учетом всех поправок

$$P_y = C_{L_{\max}} \frac{1}{2} \rho V^2 F_a \tau_0 = 1,15 \cdot 51,8 \cdot 10^3 \cdot 25,8 \cdot 1,93 \cdot 0,42 = 106000 \text{ кн}$$

Полная гидродинамика сила рулевого руля

$$P = 1,15 P_y = 1,15 \cdot 106 = 121 \text{ кн}$$

Положение центра давления

$$C_D = \frac{\left(\frac{dM}{d\delta} \right)_{\delta=0} + 0,03}{\left(\frac{dC_D}{d\delta} \right)_{\delta=0} + 2 \sin \delta}$$

Экспериментальные данные показывают, что при увеличении угла перекладки до его предельного значения (35°) закономерность изменения коэффициента не нарушается. Поэтому для расчета этих параметров можно применять максимальные значения угла перекладки. На основании выражений (6) и (12)

$$\left(\frac{dM}{d\delta} \right)_{\delta=0} = 0,52$$

$$\left(\frac{dC_D}{d\delta} \right)_{\delta=0} = 2,6$$

$$C_D = \frac{0,52 + \sin 35^\circ}{2,6 + 2 \sin 35^\circ} = 0,29$$

Несимметрическое величина коэффициента компенсации $K_0 = 0,23$ коэффициент компенсации на балласте

$$C_B = - \left(\frac{2\pi\lambda}{2 + V^{4/3} + \lambda^2} \sin \delta + 2 \sin^2 \delta \right) (C_D - K_0) = 0,14$$

Задача момента на баллере

$$M_0 = C_0 \frac{P^2}{2} F_b \omega_k = 0,14 \cdot 51,8 \cdot 75^2 \cdot 28,8 \cdot 1,8 \cdot 1,05 \cdot 0,42 = 48500 \text{ кгс м}$$

Ниже приведены базовые гидродинамические коэффициенты руля, используемые, полученные при испытании его модели. Изменение коэффициентов C_p , C_x и C_y в зависимости от угла перекладки приведено в табл. 4.

Таблица 4
Расчет гидродинамических коэффициентов руля (задний ход)

Этапы расчета	δ							
	0°	α	10	15	20	30	35°	
C_p	0,00	0,28	0,55	0,83	1,07	1,12	0,90	0,72
C_x	0,03	0,04	0,11	0,23	0,34	0,47	0,60	0,67
$\cos \delta$	1,00	0,996	0,985	0,959	0,940	0,906	0,866	0,818
$\sin \delta$	0,00	0,037	0,174	0,239	0,342	0,423	0,500	0,573
$C_p \cos \delta$	0,00	0,280	0,540	0,800	1,000	1,010	0,780	0,600
$C_x \sin \delta$	0,00	0,000	0,060	0,066	0,120	0,200	0,380	0,380
C_x	0,00	0,280	0,580	0,880	1,120	1,210	1,080	0,920
C_y	0,20	0,200	0,200	0,210	0,220	0,270	0,320	0,360
$C - \frac{C_p}{\delta}$	—	-0,03	0,03	-0,02	0,000	0,040	0,092	0,130
C_0	0,00	-0,0664	-0,047	0,013	0,000	0,049	0,087	0,126
$C_p =$	0,00	0,280	0,560	0,870	1,120	1,20	1,080	0,900
$= \sqrt{C_x^2 + C_y^2}$								

Опустив снос потока и других поправок, исключающих симметрию работы руля, можно выполнить расчет для перекладки руля только на один борт (расчет показан в табл. 4).

Максимальные значения коэффициентов заданных в обоих случаях достоверно блекли.

3 Расчет момента на баллере на заднем ходу

Леворулый коэффициент подъемной силы, левого спиральных и зондовых центров давления, полученные экспериментально, приведены в табл. 5, а

правом спиральном коэффициенте — в табл. 6. Используя эти данные, можно определить коэффициенты момента, действующие на корпус в пределах зоны.

Величина максимального момента на баллере на заднем ходу

$$M_{max} = C_0 \frac{P^2}{2} F_b = 0,41 \cdot 51,8 \cdot 75^2 \cdot 28,8 \cdot 1,8 = 43500 \text{ кгс м}$$

весьма велика, чем может перекладка, что позволяет сделать заключение о правильном выборе коэффициента перекладки. Следовательно, разумнее использовать величину $K_0 = 0,23$ вместо считать ошибочным

Таблица 5

Расчет гидродинамических коэффициентов руля (задний ход)

Этапы расчета	δ				
	0°	5°	10	15°	20
C_F	0,00	0,12	0,46	0,58	0,60
C_x	0,05	0,08	0,20	0,42	0,60
$C_y \cos \delta$	0,00	0,22	0,44	0,56	0,47
$C_x \sin \delta$	0,00	0,01	0,03	0,11	0,21
C_N	0,00	0,23	0,47	0,67	0,68
$C_{x,z} \text{ (от передней кромки)}$	—	0,87	0,86	0,84	0,8
$C_{x,z} = \frac{x_0}{\delta}$	—	0,64	0,63	0,62	0,58
$C_{y,z}$	—	0,147	0,295	0,410	0,395

4 Определение диаметра баллера.

При определении диаметра на спорах исходят из условия неизменности момента инерции стойки между опорами. Расчетная схема связи руль — баллер показана на рис. 28. Концентрация нагрузки на первом пролете равнодействующая силы в баллере в противоположную сторону.

Раскрытие статической неизменяемость по теории трех моментов получаем

$$\frac{M_1}{3EJ} = \frac{P_1^2}{3EI} = \frac{M_2}{3EI};$$

для рулей с баллерами различными в относительной толщине от окна до $\frac{l}{4}$ имеем

$$M = \frac{P_1^2}{8(l_1 + 3l_2)} = 0,036 P_1^2$$

Расчет на второй опоре

$$R_2 = \frac{P}{2} + \frac{M}{l_1} + \frac{M}{l_2} = 0,5P + 0,036P + 0,072P = 0,608P$$

Расчет на первом опоре

$$R_1 = -\frac{M}{l_1} = 0,072P$$

Подставляя значения $l_1 = 9 \text{ м}$, $l_2 = 4,5 \text{ м}$, $P = 125 \text{ кг}$ получим $R_1 = 55 \text{ кг}$, $R_2 = 76 \text{ кг}$, $R_3 = -9 \text{ кг}$.

Максимальный избыточный момент на баллере $M_{max} = 40,5 \text{ кгм}$

Крутизный момент. Расчетные величины крутизного момента складываются из момента гидродинамической реакции на руль и момента от тяги в опорах. Диаметры штырей в баллере при этом могут быть заданы приближенно: $d_1 = 0.4$ м, $d = 0.6$ м.

Момент от тягких в опорах

$$M_{\text{т}} = \frac{3}{8} \pi d^2 5 d R_1 = \frac{3}{8} \pi 3.14 \cdot 0.3 \cdot 0.2 \cdot 0.6 = 4.1 \text{ кн}$$

$$M_{\text{т}} = \frac{3}{8} \pi d^2 5 d R_2 = \frac{3}{8} \pi 3.14 \cdot 0.3 \cdot 0.3 \cdot 0.6 = 8.0 \text{ кн}$$

$$M_{\text{т}} = \frac{3}{8} \pi d^2 5 d R_3 = \frac{3}{8} \pi 3.14 \cdot 0.3 \cdot 0.3 \cdot 0.9 = 10.0 \text{ кн}$$

Максимальный крутизный момент (продут 2-3) $M_{\text{кр}} = 60.6$ кн.

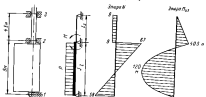


Рис. 28 К расчету руля и баллера
1, 2, 3 — опоры.

Диаметр баллера. Применим в качестве расчетного сечение баллера у опоры 2 (рис. 28), определив величину нормальных и касательных напряжений как функцию диаметра баллера

$$\sigma = \frac{M_{\text{кр}}}{W_p} = \frac{40.6 \cdot 10^6}{0.1 d^3} = 40.6 \cdot 10^6 \frac{1}{d^3}$$

$$\tau = \frac{M_{\text{кр}}}{W_g} = \frac{60.6 \cdot 10^6}{0.2 d^3} = 30.3 \cdot 10^6 \frac{1}{d^3}$$

По гипотезе изогнувших касательных напряжения

$$\sigma_{\text{штырь}} = \sqrt{\sigma^2 + \tau^2} = \frac{1}{d^2} \cdot 10^6 \sqrt{(30.3)^2 + 4(40.6)^2} = 73.5 \cdot 10^6 \frac{1}{d^2}$$

Приняв допускаемое напряжение равным 900 кг/см², получим диаметр баллера

$$d = \sqrt{\frac{73.5 \cdot 10^6}{900}} = 43.5 \text{ см}$$

Определение диаметра штыря баллера по Правилам постройки Регистра СССР

Максимальный квадрат руля

$$F_{\text{кр}} = P \frac{L}{100} \left(0.75 + \frac{180}{L} \right) = 11 \frac{195 \cdot 10.6}{100} \left(0.75 + \frac{180}{L+75} \right) = 27 \text{ кв}$$

Установив гидродинамические силы на руле

$$P = 15 \rho C_d^2 \cdot 15 \cdot 1.28 \cdot 8 \cdot 17^2 = 125.000 \text{ кн}$$

Площадь центра давления

$$A = \pi \left(\frac{1}{3} + \frac{3}{2} R_2^2 \right) = \pi (0.33 + 1.5 \cdot 0.225) = 0.41 \text{ м}^2$$

Крутизный момент

$$M_{\text{кр}} = P (x - a) = 125 (0.416 - 238) = 35 \text{ кн}$$

Изгибающий момент, действующий на заднюю часть баллера $M_{\text{изг}} = 40.6$ кн
Диаметр баллера

$$d = 19.7 \sqrt[3]{\frac{\sqrt{M_{\text{изг}}^2 + M_{\text{кр}}^2}}{4400 + \sigma_1}} = 19.7 \sqrt[3]{\frac{\sqrt{83^2 + 40.6^2} \cdot 10^6}{4400 + 2400}} = 47.2 \text{ см}$$

Диаметр баллера, полученный с использованием рекомендации Правил застрибов, несколько превышает значение, получаемое ранее на базе теоретических и эмпирических формул. Правила постройки при определении диаметра баллера в других конструктивных размерах не дают возможности сделать кляксы типа профилей, относящихся к удалению руля, его толщины в т. д. Они позволяют спредить для гидравлических величин, которые не могут быть применены даже при изоботографии типа профилей, удаления и т. д.

5. Определение размеров штыря.

Задача решена на нижней опоре руля (верхняя опора рула симметрична с баллером) $A = 28$ см².

Для штыря применимы сталь Ст.35 с пределом текучести $\sigma_t = 2300$ кг/см².
Максимальный диаметр штыря по Правилам постройки Циркулью №811

$$d_{\text{ш}} = 10 \sqrt{\frac{A}{4400 + \sigma_t}} = 10 \sqrt{\frac{28 \cdot 10^3}{58000}} = 29 \text{ см}$$

Толщина облицовки штыря

$$t = \frac{d_{\text{ш}} + 23.5}{32} = \frac{29 + 23.5}{32} = 1.15 \text{ см}$$

Диаметр штыря с облицовкой (формула: $t = 2.0$ см) $d_{\text{ш}} = 30$ см. Применимы сопутствующие формулы: $t = 1.2 d_{\text{ш}}$, получим $t = 38.6$ см.

Скругленная высота штыря $t = 40$ см

Удельное давление в сечении руля

$$P_{\text{ш}} = \frac{A}{d_{\text{ш}}^2} = \frac{56.000}{33 \cdot 40} = 44 \text{ кг/см}^2$$

Допустимое удельное давление для штыря с бронзовыми облицовками равно 45 кг/см², т. е. принятые размеры штыря можно считать окончательными.

ГЛАВА 4

РУЛЕВЫЕ ПРИВОДЫ

§ 13 Общие положения

Рулевые приводы предназначены для непосредственного выполнения передачи руля и контроля его положения в движении. Составными частями рулевого привода являются:

1. Устройство для передачи момента от рулевой машины к баллеру, которое также называется рулевым приводом.
2. Рулевая передача, осуществляющая связь между постом управления и рулевой машиной.
3. Рулевая машина.
4. Система контроля.

Можно выделить три режима работы рулевых приводов:
минергрирование из малых ходов, требующее больших изменений в углах передачи с умеренной скоростью;

обеспечение устойчивого движения на заданном курсе при максимальной скорости (для этого необходимы малые изменения в углах передачи с малой угловой скоростью);

минергрирование из больших скоростей, когда совершаются передачи из значительных углов с большими угловыми скоростями.

Последний режим является определяющим с точки зрения мощности рулевого привода.

К рулевому приводу следует предъявлять требования, которые вытекают из особенностей минергрирования, удобства эксплуатации, экономичности, надежности и т. д.:

1. Рулевой привод должен обеспечивать передачу руля на нужный угол и сохранять его положение до следующей команды.
2. Перекладка руля должна осуществляться в заданное не обходное время.
3. Управление рулевым приводом не должно быть утомительным для рулевого.
4. Рулевой привод должен обеспечить контроль положения руля.
5. В приводе должна быть предусмотрена возможность ограничения величины усилий, чтобы не перегружать детали устройства.
6. Наряду с основным должны быть предусмотрены запасной и аварийный рулевые приводы.

§ 14 Типы рулевых приводов

Рулевой привод обеспечивает передачу усилия от рулевой машины к баллеру.

Существуют три простейших типа рулевых приводов: продольно-румпельный, поперечно-румпельный и секторный. Более

сложные приводы представляют собой различные комбинации простейших приводов.

Самым простым является продольно-румпельный привод, в котором румпель, насаженный на голову баллера, расположена в продольном направлении. Этот привод часто используется в комбинации со штуртроской прводкой — гибкой связью, передающей усилие от барабана рулевой машины к румпелю.

Рассмотрим особенности работы продольно-румпельного привода (рис. 29, б). Если точку О считать точкой румпеля, то траектория ее движения будет окружность. Если же точку О отнести к штуртросу, то ее траектория является эллипсом, так как сумма расстояний ОД и ОА постоянна. Очевидно, что одно из этих движений не может быть осуществлено. Фактически точка О движется по окружности, в связи с чем сумма отрезков ОД и ОА не имеет по стоянной длины — в штуртросе появляется слабина.

Самой распространенной мерой для устранения слабины является включение ползуна. За счет перемещения ползуна вдоль румпеля центр его вращения движется прямолинейно. Этот принцип используется во многих рулевых приводах (рис. 29, а).

На современных судах продольно-румпельный привод находит широкое применение, особенно в комбинации с гидравлическими рулевыми машинами.

В поперечно-румпельном приводе румпель представляет собой двухлечий рычаг. В настоящее время название привода стало условным, поскольку румпель может быть ориентирован как поперек, так и вдоль судна.

На малых судах поперечный румпель часто комбинируется с винтовым механизмом передачи руля. Эта система получила название винтового привода или привода Дениса (по имени изобретателя). Бикт (рис. 30), имеющий рабочую и левую парики, при вращении вызывает перемещение таки в противоположных направлениях. Усилие от каждой из гаек передается на соответствующий рычаг румпеля и тем самым вызывает вращение баллера. Основным недостатком винтового привода является жесткость всех его элементов, что даже на малых судах часто приводит к поломкам резьбы.

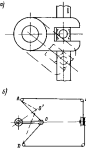


Рис. 29. Продольный рулевой привод: а — с ползуном; б — с штуртросом и горизонтальной передачей.

Поперечные румпельные приводы находят широкое применение на крупных современных судах и обычно обслуживаются четырьмя гидравлическими машинами большой мощности.

Секторный привод впервые был использован для устранения конструктивных слабин в штуртросной проподе (рис. 31), так

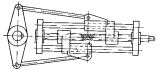


Рис. 30. Винтовой поперечный румпельный привод

как при вращении сектора штуртрос всегда склоняется к нему в одном точке (что исключает давление слабины).

Более простым оказалось зубчатое соединение сектора с ведущей шестерней рулевой машины. Основной недостаток такой

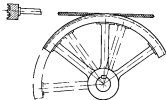


Рис. 31. Секторный привод со штуртросом

схемы сектора в рулевой машине заключается в отсутствии зала стечного звена, что приводит к частым поломкам зубчатого зацепления.

Распространенным является комбинированный секторно-румпельный привод (рис. 32), в котором сектор свободно вращается на баллере. Здесь продольный румпель при помощи шпонок жестко связан с баллером, а сектор и румпель соединены пружинным амортизатором. Таким образом передаваемые от руля ударные

нагрузки частично или полностью гасятся до зубчатого зацепления. Конструкция амортизатора такова, что пружины работают на сжатие. Это предотвращает нарушение связи между соединенными элементами в случае поломки пружины.

При определении конструктивных размеров деталей рулевых приводов должен быть обеспечен 2,5-кратный запас прочности по отношению к пределу текучести. Передаваемый на баллер расчетный момент следует определять по формуле (43). Полученные конструктивные размеры баллера должны быть достаточными для того, чтобы баллер воспринимал действие максимального момента рулевой машины и обратного момента.

Необходимо проверять баллер на действие максимального момента, развиваемого рулевой машиной, обычес является тем, что фактическая ее мощность может превышать расчетную. Например, может отсутствовать стандартная рулевая машина нужной мощности. Как известно, в таких случаях принимается ближайшая рулевая машина большей мощности.

Очень часто в процессе эксплуатации руль испытывает действие нагрузок, величина которых выше расчетных. К ним можно отнести давление льда, усилие, возникающее при ударах руля о различные плавающие предметы, и т. д. Обычно распространение этих нагрузок ограничивается амортизаторами, однако проверять прочность элементов рулевого устройства на действие этих нагрузок или обратного момента все равно необходимо.

Обратный момент соответствует позиции в баллере касания тельных напряжений, равных пределу текучести. Величину момента можно определить по формуле рекомендуемой Правилами постройки,

$$M = 982 \cdot d^2 \cdot 10^{-3} \text{ кгс м} \quad (48)$$

где d — предел текучести материала баллера кгс/мм^2
 d — диаметр баллера, см

Напряжения, вызываемые обратным моментом в деталях рулевого привода не должны превышать 0.95σ .

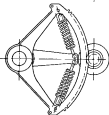
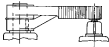


Рис. 32. Секторно-румпельный привод

§ 18 Рулевые передачи

Рулевые передачи обеспечивают связь поста управления с рулевыми машинами, осуществляющей посредством того или иного привода перекладку руля. Если рулевые машины и рулевой привод разделены, то функцией рулевой передачи является передача усилия, необходимого для перекладки руля. На современных судах рулевые машины обычно совмещают с рулевыми приводами. Это позволяет избежать значительных потерь энергии при передаче усилия к рулевому приводу.

Основным типом передач, обеспечивающих связь рулевой машины и рулемиля в том случае, когда они разобщены, являются штуртросы и проводки (см. стр. 55). Штуртросы изготавливаются из стальных тросов, стальных прутков и цепей. Важным элементом передачи является устройство для устранения слабины.

Помимо рассмотренной выше конструктивной слабины в гибких санках могут иметь место монтажная и эксплуатационная слабина. Первая является следствием дефектов монтажа, вторая неизбежно возникает в результате вытягивания силами смещения опор блоков и т. д.

По-за слабины в штуртросах возникают ударные нагрузки, так как некоторый промежуток времени руль может вращаться практически без сопротивления и накапливает значительную кинетическую энергию.

При наличии в штуртросе слабины снижается точность хода при положении руля. Поэтому в штуртросы при компоновке обязательно включают амортизаторы и тягеры.

Интересной особенностью штуртросов является то, что эта связь проявляется со слабым звеном. Разрыв штуртроса в любом месте ведет к тому, что судно теряет управляемость. Если штуртрос спроектирован как разношарничная связь, то нельзя предсказать место возможного разрыва и заблаговременно принять меры для предотвращения аварии. Включение в штуртрос ослабленного звена позволяет быстро произвести ремонт, заменив вышедший из строя элемент запасным.

Чаще всего ослабленный элемент представляет собой звено цепи, разрывная нагрузка которого на 10—15% ниже, чем у всех остальных элементов штуртроса.

Для рулевых машин, совмещенных с рулевым приводом и баллером, рулевые передачи являются частью системы управления.

Остановимся на некоторых типах передач. Широкое применение имела баллонная передача, которая используется на малых судах и в настоящее время. Передача состоит из стальных валников сплошного или трубчатого сечения диаметром 30—38 мм. В тех местах, где передача изменяет направление, используются универсальные шарниры или конические зубчатые передачи. При помощи баллонной передачи обеспечивается, например, связь

между постом управления, расположенным обычно в средней части судна, и золотником зарядовой рулевой машины, находящимся в румпельном отделении в корме.

К основным недостаткам такой передачи следует отнести большее искажение передаваемого сигнала в результате скручивания валиков и люфтов в их соединениях. Следует отметить и большую конструктивную сложность валиковой передачи: большое коли-

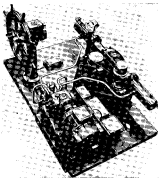


Рис. 33. Элементы гидравлической передачи с наработкой втулок.

чество сопротивления в переборках, устройств для компенсации продольных смещений валиков и т. д. Нельзя забывать и о том, что деформация корпуса судна часто приводит к заеданию передачи.

Основное место в современной судовой практике занимают гидравлические и электрические передачи. Гидравлическая передача (рис. 33) состоит из цилиндра с поршнем, который приводится в движение штурвалом, и исполнительного телемотора, регулирующего работу рулевой машины. Рабочая среда (жидкость в гидравлических системах) заполняет трубки диаметром от 10 до 15 мм соединяющие командный и исполнительный посты. Гидравличес-

ской передачи обязательно должна иметь устройство для выравнивания давления в системе.

Электрическая передача состоит из системы самосинхронизирующихся двигателей.

При вращении штурвала тока, возбуждаемый в роторе передающего двигателя (генератора), вызывает вращение ротора при синхронии синхронизирующей с вращением ротора передающего двигателя. Возникающее и применяемое движение используется для управления рулевой машиной.

§ 18 Рулевые машины

Аналогично другим наливным механизмам рулевые машины делаются на ручные, паровые, гидравлические и электрические. В современных рулевых устройствах чаще всего применяются гидравлические машины, где перекладка руля выполняется непосредственно гидромотором.

Не останавливаясь на общих преимуществах и недостатках различных типов приводов рассмотрим некоторые рулевые машины и системы контроля.

Ручные рулевые машины различают по их мощности, которая характеризуется тягой на рабочем барабане. Как правило, ручные рулевые машины комбинируют со штурвальной проводкой. Например, ручной рулевой машине с тягой на барабане до 700 кг соответствует стальной штурвальный диаметром 13 мм. Вес такой рулевой машины составляет около 80 кг.

Так как рулевые машины целесообразно рассматривать вместе с системами контроля, рассмотрим сначала, каким образом контролируется положение и движение руля.

Торможение руля в нужном для маневра положении может осуществляться непосредственно рулевым. Так при перекладке на правый борт на 10° рулевой вращает штурвал вправо и контролирует положение руля по указателю. Торможение руля осуществляется вращением штурвала назад в исходное положение. При таком способе контроля необходимо большое число операций штурвалом. Процесс управления судном утомителен и требует большой внимательности.

При использовании следящей системы контроля для перекладки руля, например, на 10° штурвал поворачивается на вполне определенный угол. Торможение осуществляется автоматически. В этом случае руль как бы следит и следует за движением штурвала, что и определило название этой системы.

Рассмотрим несколько типов рулевых машин со следящими системами.

На рис. 34 приведена схема гидравлической рулевой машины с продольно-рулевым приводом. Усилие от штоков гидроцилиндра передается на румпель посредством ползуна

Насос этой системы приводится в действие паровой машиной с механическим следящим контролем. Основным элементом системы контроля является рычаг, шарнирно скрепленный со штоком золотниковой коробки паровой машины. Движение одного плеча рычага осуществляется по команде с поста управления. При этом рычаг вращается относительно конца второго плеча, связанного с баллером, и приводит в действие рулевую машину. При своем вращении баллер перемещается в конец второго плеча

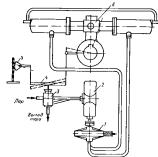


Рис. 34 Схема гидравлической рулевой машины с механическим контролем.

1 — цилиндр; 2 — рычаг; 3 — трубка; 4 — золотниковая коробка; 5 — цилиндр; 6 — насос; контрол; 7 — пост управления; 8 — рулевая машина.

таким образом, что шток золотниковой коробки занимает исходное положение и рулевая машина останавливается.

Регулировкой всей системы достигается точное согласование числа оборотов штурвала с углом поворота баллера.

Электрический рулевой привод со следящей системой контроля схематически показан на рис. 35.

Рулевой штурвал приводит в движение перемещающийся конец реостата с сопротивлением R_w , имеющего электрическую связь со вторым реостатом, сопротивление которого R_s меняется в зависимости от положения баллера. Если например, штурвал вращается по стрелке, то сопротивление R_s увеличивается. Генератор напряжение в обмотке которого контролируется регули-

тором поля обеспечивает энергией исполнительный рулевой двигатель. Направление вращения исполнительного рулевого двигателя для рассматриваемого случая соответствует увеличению сопротивления R_s и уменьшению тока в регуляторе поля. В тот момент, когда руль занимает нужное положение, сопротивление R_s становится равным R_w , и рулевой двигатель останавливается.

В заключение рассмотрим электрогидравлической рулевой прибор с электрической рулевой передатчикой и следящей системой тролли (рис. 35). Сигнал поступающий от штурвала, вызывает

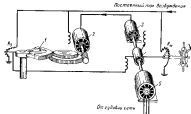


Рис. 35. Электрический рулевой механизм с электрическим контролем.
1 — опоры; 2 — грузовой динамометр; 3 — генератор; 4 — регулятор; 5 — привод генератора.

вращение дифференциала, контролирующего поступление рабочей жидкости к гидравлической рулевой машине. При перекладке руля перемещается зубчатая рейка, которая через промежуточный вал приводит дифференциал в обратном направлении. К моменту, когда угол перекладки достигнет нужной величины, дифференциал занимает исходное положение и поступление рабочей жидкости прекращается. Рулевая машина готова к выполнению следующей команды.

На рис. 36 показан в запасной агрегат позволяющий быстро возобновить работу рулевого устройства при поломке основного двигателя или насоса.

Отечественные электрогидравлические рулевые машины выпускаются в двух вариантах: двухцилиндровые, с моментом до 10 тм, и четырехцилиндровые, с моментом до 160 тм.

Рабочее давление колеблется от 70 до 100 кгс/см². Рулевые машины, обеспечивающие момент на баллере до 10 тм, предназначены для работы с одним или двумя рулеми; при больших значениях момента — для обслуживания только одного руля.

Мощность аварийного привода составляет примерно 25% мощности основного.

Электрогидравлические рулевые машины имеют преимущества перед электрическими, так как они обеспечивают более гибкую регулировку скоростей в широком диапазоне и точный контроль положения руля. Вес электрических машин, находящийся на один тонно-метр момента на баллере, выше на 20—30%.

Существенным параметром электрогидравлических рулевых машин является рабочее давление, которое сильно влияет на их вес. Например, при давлении в 100 кгс/см² удельный вес рулевых машин (т. е. вес, отнесенный к моменту на баллере) снижается от 750 кг/тм до 340—350 кг/тм при увеличении момента от 1 до 10 тм. Для рулевых машин с моментом более 20 тм удельный вес становится практически постоянным и равен 230 кг/тм.

При повышении давления до 120 кгс/см² снизить вес рулевых машин с моментом до 10 тм не удается. Однако для более мощных машин снижение в весе составляет до 20—25%.

Мощность основного привода рулевого механизма регламентируется Правилами по строительству. Рулевой привод обеспечивает перекладку руля от 35° с одного борта до 30° на другой борт за время, не превышающее 28 секунд. Для меньших углов перекладки время для эту операцию сокращается пропорционально уменьшению угла. Оценкой рулевого привода должен обеспечивать непрерывную перекладку руля с борта на борт при максимальной скорости в течение 10 минут (не менее). Привод может быть ручным, если при выполнении изложенных условий усилие на рукоятке штурвала не превышает 12 кг а число оборотов штурвала при этом не более 25 в минуту.

Рулевые машины подбираются по величине наибольшего крутящего момента на баллере с учетом потерь на трение в опорах руля и баллера. Основой для подбора служат графики моментов на баллере построенные в зависимости от угла перекладки.

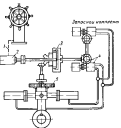


Рис. 36. Схема электро-гидравлической рулевой машины с аварийным контролем.
1 — магнитомоторная передача; 2 — привод; 3 — дифференциал; 4 — цилиндры в кассетах; 5 — зубчатая рейка.

§ 17 Вспомогательные рулевые приводы

Безопасность плавания судна в большей степени зависит от надежности работы рулевого устройства. Существуют определенные методы обеспечения живучести рулевых приводов, в соответствии с которыми практикуется полное дублирование силового комплекса (электроприводов и насосов) и использование других источников энергии. Часто устанавливаются вспомогательные приводы меньшей мощности.

На случай поломки основного и запасного приводов предусматривается возможность перекладки руля при помощи специальных румпель-валей. Таким образом минимизировано обеспечение тремя практическими наивысшими друг от друга рулевыми приводами. Рассмотрим каждый из них подробнее.

После выхода из строя основного привода неуправляемое судно может оказаться в очень тяжелом положении, поэтому переход на запасной рулевой привод должен быть осуществлен возможно быстрее. По Правилам постройки на это отводится не более двух минут.

Для электрических и гидравлических приводов устанавливаются запасные двигатели и насосы, причем для питания основного и запасного комплектов служат различные источники энергии. В гидравлическом приводе на случай выхода из строя источника питания иногда устанавливают ручной насос.

При отсутствии запасного комплекта двигателей и насосов предусматривается вспомогательный рулевой привод, мощность которого определяется из следующих условий: при скорости переднего хода, рабочий подъем выше наибольшей скорости судна (но не менее 7 узлов), перекладка руля от 20° с одного борта до 20° на другой борт должна осуществляться за время, не превышающее 60 секунд. При перекладке из максимального угла здравия не ограничивается.

Основной и вспомогательный приводы могут иметь лишь один общий элемент — чаще всего сектор или румпель. Как правило, вспомогательный привод устанавливается не ниже палубы переборок. Вопрос о том, должен ли вспомогательный привод иметь специальную рулевую машину или быть ручным, решается на основании норм установленных выше.

Рис. 37 Ручной вспомогательный привод.



На рис. 37 показан ручной вспомогательный привод, приводящий в движение сектор.

В заключение отметим, что на рулевом приводе (секторе руля) и на палубе предусматриваются приспособления для захвата румпель-валей.

§ 18 Особые рулевые приводы

Большинство новых орбитальных рулевых приводов представляет собой тот или иной вид гидравлических машин. Чаще всего в них осуществляется отказ от румпеля или сектора с передачей необходимого момента непосредственно на баллер, превращающийся, таким образом, в элемент гидравлического двигателя. Рассмотрим несколько таких приводов.

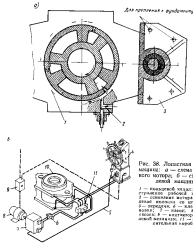
Гидравлический лопастной рулевой механизм внедряется на малых промысловых и транспортных судах от катеров и траулеров до танкеров рудников дедвейтом 25–30 000 т немецкой Ойндхаймской электрической компании (ФРГ). На рис. 38, а показано устройство гидравлического лопастного рулевого механизма в котором вращающаяся часть с лопастями — ротор — соединяется непосредственно с баллером. Колышевой зазор между ротором и цилиндром разделен эластичными сегментами. Необходимый вращательный момент создается за счет подачи рабочей среды в правую или левую (относительно лопаток) полости. Рулевой привод (рис. 38, б) состоит из лопастного рулевого механизма, гидравлического насоса с регулируемой производительностью, электродвигателя, контроллера, системы клапанов и трубопроводов, рулевой передачи и системы контроля.

Основными преимуществами этого привода являются простота, компактность и малый вес. В нем отсутствуют сектор (румпель) и рабочие цилиндры, обязательные при других гидравлических приводах, вес, приходящийся на момент в Гм составляет 130–140 кг/м, что значительно меньше, чем у электрогидравлических рулевых машин, рассмотренных выше. Рабочее давление у лопастного механизма равно 45–50 кгс/см². Крепление неподвижной части механизма к палубе при помощи амортизаторов позволяет уменьшить вероятность поломок, вызываемых ударными нагрузками, направляемыми перпендикулярно к оси баллера.

В гидравлическом лопастном рулевом механизме могут быть применены три системы контроля: гидравлическая, электрическая и механическая.

Рулевой привод с использованием принципа гидравлического шарнира. На рис. 39 показан гидравлический шарнир. При подаче рабочей среды в одну из полостей между корпусом и гайкой тайка совершает кривошильно-поступательное движение, которое через рубашку передается на баллер. Совмещение гидравлического шарнира с баллером делает привод очень компактным и позволяет практически отказаться от румпельного отделения.

Рулевой привод Сеффле. Интересную разновидность обычного гидравлического рулевого привода с поперечным рулем представляет привод Сеффле (рис. 40), рекомендуемый для малых транспортных, промысловых и других судов. Этот привод уменьшает опасность динамических воздействий на баллер при действии сил направлений вертикально вверх (посадка на мель)



Особенностью привода Сеффле является крепление цилиндров и штока при помощи шаровых винтиков. Баллер получает свою форму вертикальных перемещений, что при хорошей амортизации уменьшает возможность повреждений рулевого устройства.

Ограничители перекладки руля и рулевые термины. Рядом с ограничителями эффективности руля при перекладке на углы большие

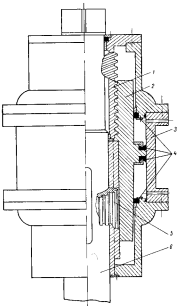


Рис. 39. Гидравлический пятив.
 1 — опорный конец; 2 — гайка; 3 — цилиндр; 4 — уплотнение;
 5 — рукоятка, приводимая в вращение; 6 — баллер.

35—40°, заставляет пребегать к устройствам, ограничивающим это движение. В настоящее время практикуются согласованная система трех ограничителей.

Первый ограничитель по достижении рулем предельного угла обеспечивает остановку рулевой машины. Нет необходимости

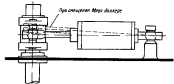


Рис. 40 Привод Сорре

рассматривать его подробно так как при любом типе рулевой машины отключение привода в предельном положении может быть осуществлено достаточно просто.

Второй — ограничитель движения сектора или румпеля — допускает перекладку на 1° 30' большую, чем ограничитель рулевой машины. Чаще всего этот ограничитель представляет собой прочный упор на палубе.

Третий ограничитель непосредственно останавливает руль. Допускаемый им угол на 1° 30' больше, чем угол, допускаемый вторым ограничителем.

На рис. 41 показано не сколько конструктивных вариантов ограничителей перекладки руля.

Правила постройки рекомендуют максимальные углы перекладки: для плоских рулей — 35°, для обтекаемых — 32°. Однако некоторые экспериментальные данные свидетельствуют о возможном повышении маневренских качеств за счет увеличения предельного угла перекладки.

В одном из экспериментов при увеличении угла с 35° до 45° диаметр тактической циркуляции увеличился на 0,6 длины судна. Это можно объяснить различием между геометрическим углом

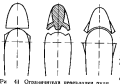


Рис. 41 Ограничители перекладки руля

перекладки руля и эффективным углом атаки. Например, только за счет винения рулевого вала может достигаться 20°. Отметим возможность увеличения маневренности тем более, заслуживает внимания, что к перекладкам на предельные углы пребегают чрезвычайно редко — в силу различных кратических обстоятельств.

При ремонте рулевого устройства или при ручном управлении может возникнуть необходимость затормозить руль. Согласно Правилам постройки тормозное устройство должно быть спроектировано таким образом, чтобы удерживать руль в любом положении при скорости, равной половине максимальной (но не меньше 6 узлов). При использовании рулевых приводов с гидравлическими механизмами рулевые тормоза не устанавливаются, так как торможение руля легко осуществляется за счет ограничения движения рабочей среды.

ГЛАВА 5

АКТИВНЫЕ СРЕДСТВА УПРАВЛЕНЧЕСТВА

5.19 Активные рули

Существенным недостатком рулей является резкое снижение их эффективности при уменьшении скорости судна. Часто это приводят к практической потере маневренности на малых ходах. В свою очередь, значение маневренности возрастает при плохой видимости, движении в узлах, в акватории порта и при некоторых других обстоятельствах, когда скорость судна существенно снижается. Незначительная эффективность рулей при отсутствии хода усложняет швартовку судна и отход от стены при напавшем ветре. Плохая управляемость на малых ходах приносит значительно повышает портовые расходы.

Все это заставляет искать такие средства управляемости, эффективность которых не зависит бы от скорости судна. Подобную задачу можно решать либо изменением направления струи, отбрасываемой винтом, либо созданием вспомогательных устройств, не связанных с основным винто-рулевым комплексом и способных создавать момент относительно ЦГ судна и обесцвечивать его маневрирование. Рассмотрим некоторые активные средства обесцвечивания управляемости.

Активный руль (рис. 42). В первом активном руле помощь вспомогательный гребной винт. При перекладке руля меняется направление упора, создаваемого этим гребным винтом, что позволяет судну совершать определенные маневры даже при отсутствии хода. В отличие от обычных рулей у активных рулей углы перекладки

кладки заменяются в значительно более широких пределах. Благодаря этому удается получить упор даже в поперечном соотношении к ДП направлений. Вспомогательный винт приводится в движение собственным электродвигателем, расположенным в специальном утолщении, аналогичном груше Коста. Питание к электродвигателю подводится через пустотелый баллон. Управление активным рулем осуществляется непосредственно с ходового юстировки.



Рис. 42 Активный руль

приводится в движение электродвигателем, который размещается в корпусе судна. Такое решение позволило упростить конструкцию руля и электродвигателя.

При испытаниях активных рулей было отмечено, что одновременной работе основного и вспомогательного винтов соответствует больший прирост скорости, чем при увеличении мощности основной силовой установки. Объясняется это тем, что вспомогательный винт оказывает благоприятное воздействие на работу основного винта.

§ 28 Поворотные насадки

Принцип действия поворотной насадки заключается в изменении направления срыва, обрашиваемого винтом. Обычно насадки используются как средство повышения пропульсивных качеств требовых винтов с большой нагрузкой. Однако суда с неподвижными насадками имеют плохую маневренность на заднем ходу. Применение поворотных насадок (рис. 43) позволяет улучшить маневренность и на переднем и на заднем ходу.

Так же, как и у рулей, эффективность поворотной насадки определяется величиной боковой силы. Значение коэффициента боковой силы C_b может быть найдено по зависимости предложенной Л. А. Семёновым

$$C_b = \frac{2,5}{1 + 1,57 \frac{L_n}{D_n}} \left(1 - 0,73 \frac{d}{v} \right) \left[1 + \frac{v}{c} \left[0,72 + \left(1,23 - 0,6 \frac{L_n}{D_n} \right) \frac{L_n}{D_n} \right] \right] + \frac{C_{b1}}{2} \quad (40)$$

где L_n — длина насадки;
 D_n — диаметр насадки;

$$\frac{v}{c} = \sqrt{1 + \sigma_2} - 1$$

C_{b1} — безразмерный коэффициент упора насадки при $\delta = 0$

$$C_{b1} = \frac{Q_n}{\theta_1 \rho c^2 D_n} \quad (50)$$

Сравнение рулей и поворотных насадок позволяет убедиться в преимуществах последних. По данным, полученным при испытаниях материнских судов, поворотная насадка обеспечивает такую же, как у руля, боковую силу при углах перекладки, равных примерно $\pm 1/2$ от угла перекладки руля. При равной боковой силе момент на баллере насадки развен приблизительно половине момента на баллере руля.

Недостатком поворотных насадок является конструктивная сложность; кроме того, они менее надежны. Этим объясняется недостаточно широкое применение их даже на тех судах, для которых рационально применять обычную насадку как средство повышения к. п. д. винта.

Руль-винт. Для небольших судов удается совместить средства движения и средства управления в одном механизме. Таким механизмом является руль-винт, дающий возможность изменять направление упора вращением всего устройства вокруг вертикальной оси. Отметим, что подвесной лодочный мотор также относится к рулевому устройству типа руль-винт.

Руль-винты обеспечивают высокую маневренность судов и позволяют даже получить задний ход без реверса двигателя. Так как с увеличением мощности конструктивная сложность руль-винтов значительно возрастает, она не находит применения на судах средних и больших размеров.



Рис. 43 Поворотные насадки

§ 21 Подруливающие устройства

В последние годы все более широко используются различные подруливающие устройства, улучшающие маневренность на малых ходах и при отсутствии хода.

Подруливающие устройства не взаимодействуют с гребным винтом судна и являются совершенно самостоятельным средством управляемости.

Вопрос о необходимости применения подруливающих устройств на проектируемом судне должен решаться с учетом его назначения, характера эксплуатации и конструктивных особенностей. Большине-

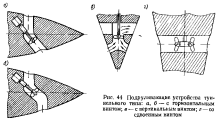


Рис. 44. Подруливающие устройства туннельного типа: а, б — с горизонтальными винтами; в — с вертикальными винтами; г — со сдвоенными винтами

шательные затраты будут оправданы только в тех случаях, когда применение подруливающего устройства позволит сократить время пребывания судна в порту, облегчить часто повторяющиеся швартовые операции, отказаться от использования буксиров и т. д.

Так, например, не вызывает сомнения целесообразность при мешении подруливающих устройств на паромах и крупных пассажирских судах.

Наиболее распространение получили в настоящее время подруливающие устройства туннельного типа (рис. 44). Сквозной туннель позволяет создать упор в обоих направлениях. Изменение направления упора достигается за счет реверса двигателя, уста новки винта регулируемого шага или применения двух винтов. В первом варианте (рис. 44, а, б) при однокановом числе оборотов винта полезная составляющая реакции отбрасываемой струи имеет различное значение. Во втором, несколько более сложном варианте реакции одинаковы (рис. 44, в).

На рис. 44, в приведена схема подруливающего устройства в котором направление потока меняется не за счет изменения направления вращения винта, а регулировкой направления по-

тока, созданного одним винтом. В рассматриваемом устройстве винт, скорость и направление вращения которого постоянны подсасывает воду снизу через симметричные относительно ДП отверстия. Направление отбрасываемой струи регулируется за слонкой.

Большой интерес представляет подруливающее устройство предлагаемое для информационных судов. Оно предполагает использование грузовой системы. На рис. 45 показана схема одного

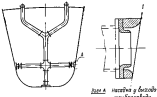


Рис. 45. Подруливающее устройство танкера (с использованием грузовой системы).

из вариантов такого подруливающего устройства с V-образным соединением грузовых трубопроводов левого и правого бортов. Использование насадок позволяет значительно увеличить реакцию отбрасываемой струи. Практикуется автоматическое согласованное управление подруливающим и рулевым устройствами. При снижении скорости судна работа подруливающего устройства позволяет сохранять достаточную маневренность.

Описанное устройство имеет низкую начальную стоимость и не требует специального привода, так как для его работы используются насосы грузовой системы.

РАЗДЕЛ ВТОРОЙ

Спасательное устройство

ГЛАВА 6

КОЛЛЕКТИВНЫЕ И ИНДИВИДУАЛЬНЫЕ СПАСАТЕЛЬНЫЕ СРЕДСТВА

§ 22 Общие положения

Постоянное совершенствование конструкции судов значительно повысило безопасность плавания. По статистическим данным за последние десятилетия относительное количество аварий морских судов сократилось в шесть раз, в том числе серьезных аварий — в одиннадцать раз.

Однако абсолютное количество аварий все еще очень велико. Например, по данным журнала «Shipbuilding and shipping Records» только за ноябрь 1965 года затонуло 13 морских судов различных классов.

Судовые спасательные средства являются существенным фактором в обеспечении безопасности человеческой жизни на море. Основными средствами являются спасательные шлюпки и плоты. Они имеют достаточную мореходность и способны необходимым запасом и средствами движения, позволяющими потерпевшим аварии людям провести в море длительное время до подхода какого-нибудь судна, а иногда и самостоятельно добраться до ближайшего берега.

Обычно люди занимают места в шлюпках до спуска их на воду. Спуск обеспечивается специальными устройствами — штюблаками.

Плоты сбрасываются на воду. Пассажиры занимают места на плотах, когда последние находятся уже на плаву. Как временное средство могут быть использованы спасательные приборы — различные предметы (скамьи и т. д.), которые имеют запас плавучести.

Шлюпки и плоты относятся к спасательным средствам колектильного пользования. С момента обзваний из судне угрожаемого положения каждый пассажир и член экипажа должен надеть спасательный жилет, нагрудник или жилет, т. е. спасательные средства индивидуального пользования, которые предназначены для того чтобы временно поддержать человека на плаву.

Спасательное устройство объединяет весь комплекс средств, необходимых для спасения пассажиров и экипажа гибнущего судна.

До появления средств дальнейшем спасали люди после гибели судна были предоставлены самим себе. Они не могли сообщить об аварии, не имели почти никакой надежды быть подобранными случайно проходящим судном и были вынуждены добираться до берега самостоятельно. Очень часто это было связано с большими трудностями, а иногда и гибелью.

Изобретение радио и рост интенсивности судоходства значительно увеличили вероятность благоприятного исхода. Изменился характер спасательных операций. Теперь вместо самостоятельного плавания к берегу шлюпки должны оставаться на том месте, которое указывается в сообщении об аварии. Это значительно облегчает их поиск.

Одной из основных проблем при морских авариях является предование страха перед морем. Вызывающее этим страхом состоянне обреченности часто является причиной гибели людей.

«Жертвы кораблекрушений, погибшие прежде всего из-за страха, вас убило не море, вас убил не голод, не жаждя. Расхоти залиться на волнах под жалобные крики чайок, вы умерли от страха». Справедливость этих слов, сказанных знаменитым французским диктором А. Бонгаром, подтверждается многочисленными примерами. Так, всего через три часа после гибели «Титаника» (1912 г.) к месту аварии подошло судно. В шлюпках, спущенных с «Титаника», спасательные команды обнаружили мертвых и сошедших с ума людей.

Примером, хорошо иллюстрирующим роль самообладания в вере в свои силы, явился подвиг четырех советских солдат, которые провели в разбушевавшемся Тихом океане 49 дней на кипропосребренной для плавания в открытом море барже.

История развития спасательных средств показывает, что они значительно отставали от развития судостроения. До последних лет к ним в основном относились деревянные спасательные шлюпки конструкции которых были разработаны около века тому назад.

Несовершенство спасательных средств стало особенно очевидным в годы второй мировой войны. Шлюпки, плоты, покса и жилеты того времени не были достаточно надежными, не предохраняли спасающихся от действий низких температур, атмосферных осадков и т. д. Опыт военных лет дал точное широкому изучению всех проблем, связанных со спасательными средствами. Эти проблемы легли в основу международного соглашения — «Конвенции по спасанию человеческой жизни на море». В материалах Конвенции все вопросы проектирования, строительства и эксплуатации судов рассматриваются с одной точки зрения — обеспечение без опасности человека.

В Конвенции заряду с требованиями к конструкции корпуса судна, его механизмам, системам и устройствам большое место уделено спасательным средствам. Приводятся нормы снабжения спасательными средствами, требования к конструкции и обслуживанию спасательных шлюпок и плотов, рекомендации относительно типов и особенностей судовых шлюпбалок, аварийных запасов, средств сигнализации и т. п.

Одним из важнейших требований является обязательный анализ аварий, точное выяснение их причин и вынесение необходимых усовершенствований, которые исключили бы повторение подобных случаев.

Материалы «Конвенции по охране человеческой жизни на море» легли в основу отечественных «Правил постройки и классификации морских судов. Часть IV Спасательные средства» Регистра СССР.

Нормы снабжения судов спасательными средствами определяются условиями плавания судна, к которым следует отнести продолжительность рейса, район плавания, удаление от порта убежища и т. д.

В отношении снабжения спасательными средствами все суда делятся на следующие категории:

I — суда неограниченного района плавания

II — суда ограниченного района плавания (включающего закрытые моря без ограничения плавания, а открытые — с удалением от порта-убежища до 200 морских миль при расстоянии между портами-убежищами до 400 миль); *

III — суда малого ограниченного района плавания (с удалением от порта-убежища до 50 миль с допустимым расстоянием между портами-убежищами до 100 миль)

IV — суда портового, речного и прибрежного плавания с установленной границей для каждого конкретного района.

Все суда, совершающие заграницные рейсы, должны снабжаться спасательными средствами по нормам судов I категории.

§ 29 Спасательные средства индивидуального пользования

Остановимся на требованиях, которые предъявляются к индивидуальным спасательным средствам:

1. При падении человека в воду с большой высоты спасательное средство и элементы его крепления не должны причинять человеку никаких телесных повреждений.

2. Спасательное средство должно автоматически обеспечивать такое положение человека при котором его лицо будет находиться над поверхностью воды.

* Портом-убежищем называется любая естественная или искусственная гавань, пристань для бензиновой якорной стоянки судна.

3. Спасательное средство должно быть удобным и не стеснять движений. Это требование особенно важно для средств используемых экипажем во время работ.

По способу обеспечения плавучести индивидуальные спасательные средства подразделяются на монолитные, лабазовые и кордуковые. К первой группе относятся традиционный пробковый жилет, сила поддержания которого обеспечивается монолитными пробковыми сиденьями.

В побочных средствах плавучесть обеспечивается за счет крошкиной пробки, камня или бальзама древесины. Набивные пояса, нагрудники, жилеты были широко распространены в военные и послевоенные годы. Однако эти материалы мало соответствуют современным требованиям сохранения плавучести поэтому применение их в настоящее время ограничено.

Все большее распространение получают надувные жилеты, нагрудники и комбинезоны, которые, как правило, для повышения живучести имеют две надувные камеры.

Различные спасательные средства имеют разные объемы плавучести. Спасательный круг, например, должен поддерживать груз в 16,5 кг в течение 24 часов. Надувные спасательные жилеты должны сохранять на плаку в течение 24 часов груз весом 15 кг. Надувной комбинезон должен поддерживать груз в 12 кг. Он изолирует человека от контакта с водой и должен предохранять его от переохлаждения в течение 12 часов при температуре наружного воздуха 0°.

Чрезвычайно сложной задачей является определение формы и способа закрепления индивидуальных средств. Требование согласия которому человек должен находиться лицом вверх даже в беспомощном состоянии заставляет располагать камеры плавучести непосредственно у головы.

Индивидуальным спасательным средство уделяно большое внимание в материалах «Конвенции по охране человеческой жизни на море» 1960 года. В них сформулирован ряд дополнительных требований:

1. Индивидуальные спасательные приборы должны быть окрашены в яркую краску, плавную издали.

2. Материал спасательных приборов должны противостоять воздействию нефти и нефтепродуктов.

3. Спасательные приборы должны снабжаться сигнальными системами, прикрепленными на прочном ширке, в электрических лампочками, питаемыми батареями.

Конвенция допускает использование новых синтетических материалов (ткань из искусственного волокна, пенопласт и т. д.) и запрещает капюшон — материал жесткий, тяжелый и горючий.

ГЛАВА 7

СПАСАТЕЛЬНЫЕ ШЛЮПКИ

§ 24 Форма, вместимость и главные размерения спасательных шлюпок

История развития шлюпок чрезвычайно интересна. Известно много оригинальных конструкций шлюпок, в которых отразились климатические или другие особенности районов их эксплуатации. Так, некоторые шлюпки северных стран имели два киля, что облегчало в случае необходимости их движение по льду или снегу. Интересна конструкция японских шлюпок кавасаки с большой седловатостью корпуса, которые широко применяются в морском промысле.

До последнего времени Правила постройки допускали использование шлюпок местных способов построек. В настоящее время в качестве спасательных могут быть использованы деревянные, металлические и пластиковые шлюпки только стандартных типов.

В современной практике находят применение две основные формы шлюпок: трапециевидная и полукруглая. Корпусная часть трапециевидной шлюпки заканчивается плоской переборкой. Такие шлюпки служат для выполнения различных судовых работ в связи с бурей.

Спасательные шлюпки имеют, как правило, полуботные обводы, ватерлинии которых постепенно сходят на нет как в носу, так и в корме. Раньше шлюпки с такими обводами служили для като бойного промысла. Они имеют хорошие маневренные качества и допускают движение ходом и кормой. Эти качества определяли выбор для спасательных шлюпок полуботных обводов.

Полный (валочный) объем шлюпки можно определить по формуле

$$W = \Delta LBH \quad (51)$$

где L , B и H — длина, ширина и высота борта шлюпки на индексе;

Δ — коэффициент полноты валового объема шлюпки.

Для деревянных шлюпок $\Delta = 0,6$; для шлюпок из других материалов $\Delta > 0,64$. Низкий коэффициент полноты деревянных шлюпок обясняется технологическими особенностями материала о чем будет сказано ниже.

Объем шлюпки может быть определен по формуле Стирлинга, являющейся интерпретацией метода численного интегрирования Симпсона:

$$W = \frac{L}{12} (4S_1 + 2S_3 + 4S_5) m^3 \quad (52)$$

Для определения площадей шлагоупоров S_1 , S_3 , S_5 (рис. 46) используется формула

$$S = \frac{H}{12} (a + 4b + 2c + 4d - e) m^2 \quad (53)$$

где

H — высота борта, измеренная в метрах от внутренней поверхности обшивки у килья до уровня плавучести;

a , b , c , d , e — ширина спасательной шлюпки по горизонтали, измеренная на пяти уровнях, образующих три деления H на четыре одинаковых участка

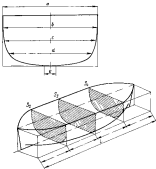
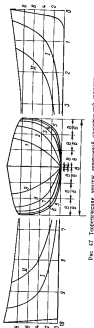


Рис. 46. К определению валового объема шлюпки

Размер шлюпки редко характеризуется ее кубатурой, так как объемы шлюпок различаются по их пассажировместимости.

В соответствии с рекомендациями Конвенции 1960 года удельный валочный объем, т. е. полный объем шлюпки, отнесенный к ее пассажировместимости, должен быть равен $0,283 \text{ м}^3/\text{чел}$ при длине шлюпки свыше 7,3 м и $0,396 \text{ м}^3/\text{чел}$ — при длине 4,9 м. Промежуточные значения следует получать линейной интерполяцией.

Определение по этим нормам число людей должно быть откорректировано после практической проверки пассажировместимости.



Paz et al. / Temperature Sensitivity

стимости при которой люди рас-
саживают в натурном маске
шлюхи.

Существуют ограничения предельных размеров спасателей. Минимальная длина спасательной шлюпки — 4,9 м; для судов первой категории — 7,3 м. Максимальный вес спасательной шлюпки с пассажирами и запасами — 20,3 т.

Первое ограничение является следствием недостаточной надежности шлюпок малых размеров из алюминиевого море. Второе — вызвано значительным усложнением эксплуатации, трудностью поездки в шлюпку большого числа пассажиров (пределная пассажироместность — 150 человек, для деревянных шлюпок — 60 человек) в конструктивном усложнении шлюпок.

Выбор формы и соотношения главных размерений шлюпки следует производить с учетом требований остойчивости, необходимого запаса плавучести, изоличности и других мореходных качеств.

Для деревянных щитов рекомендуются следующие соотношения главных размерений:

$$\frac{L}{S} = 28 - 35 \quad \frac{R}{H} = 25$$

L-55-7

На рис. 47 приведен теоретический чертеж стандартной деревянной шпонки.

Для обеспечения изолированности и взаимности на величину седловатости корпуса должна быть не менее 4% от длины цапфы. Порядочные соотношения рекомендуются для цапфок стальных, пластинсовых и из легких сплавов.

Корпуса шлюпоч из названных материалов имеют большую плотность ($\delta > 64$), что позволяет, не усложняя постройки увеличить вместимость и остойчивость шлюпки.

6.25 Пам'ятає та погоджується змінами

Отсутствие палубы создает возможность заливания шлюпок, поэтому запас плавучести, образуемый надводным бортом, не может обеспечить непотопляемости шлюпки с пассажирами. Каждая спасательная шлюпка должна иметь внутренний запас плавучести — объем, недоступный для проникновения воды. Внутренний запас плавучести обеспечивается воздушными ящиками.

Подъёмная сила, образуемая воздушными щитками погруженной шлюпки, должна быть достаточной для сохранения на плазе щитков и пассажиров. Исходя из этого, можно определить ее величину, которая складывается из веса щитков и всего оборудования в зоне и смы, необходимой для поддержания частично в надводном положении всех пассажирских щитков.

Удельный объем, т. е. объем воздушного ящика, предложенный на одного человека, регламентируется Правилами постройки Регистра СССР и должен составлять 0,1 удельного валового объема школы. Таким образом, удельный объем воздушных ящиков колеблется в зависимости от длины цилиндра в пределах 0,0283—0,0396 м³.

При определении этой нормы учитывается, что вес полностью погруженного человека равен 4—6 кг, а объем частей тела распределяется следующим образом: корпус — 28%, ноги — 32% руки — 20% и голова — 20%. Средняя высота сидящего человека — 85 см (над плоскостью сиденья). Так как практически вполне достаточно, чтобы над поверхностью воды находились только голова и верхняя часть тела, то вес человека в таком положении в среднем составляет 30 кг.

При определении объема воздушных ящиков необходимо внести несколько поправок. У шлюзов, имеющих движителя или ручной правод, пассажироместность будет несколько ниже, а дополнительный объем воздушных ящиков должен соответствовать весу этих механизмов за вычетом объема, определяемого числом людей занятых в шлюзах из-за того, что часть места в шлюзе занята механизмами. Если в вагоне предусмотрены дополнительные механизмы, то поправка для определения объема воздушных ящиков определяется таким же способом.

Воздушные ящики следует располагать так чтобы погруженная шлюпка не имела края и диффера. Кроме того, они не должны загромождать внутреннего пространства ящиков. На рис. 48 показано расположение воздушных ящиков, приведет за подвешивание большинства современных шлюпок. Внутренний объем ящиков разделен на несколько изолированных отсеков

Таблица 6

Нормирование остойчивости деревянных шлюпок

Номер шлюпки	0	1	2	3	4	5	6	7	8	9	10	11
Наклонший крен, краинный, выход из воды, $\varphi_1 = 10^\circ$, кн/м	45	55	65	90	115	150	210	25	330	520	430	630

Здесь A — работа динамического момента, кн·м;
 D — вес полностью оборудованной шлюпки с пассажирами, кн;
 H — метacentрическая высота, м;
 α_1 — угол крена, соответствующий выходу кромки планшира в воду, рад.

$$\alpha_{\text{зас}} = \arctg 2 \frac{H - T}{B} \quad (36)$$

где T — осадка, ширина и высота борта шлюпки.

Метacentрическая высота, входящая в выражение (36) определяется при опытном кренении шлюпки.

Значения A полученные по формуле (36) должны быть не меньше, чем указанные в табл. 7

Таблица 7

Нормирование остойчивости металлических шлюпок

Иностранность шлюпки	8	9	10	15	20	25	30	40	50	60	80	100	120	150
Работы динамического момента A , кн·м	17	8	21	34	50	72	116	190	294	398	470	668		

§ 26 Прочность, материал и конструкция шлюпок

Расчеты прочности конструктивных элементов шлюпок отличаются от расчетов, выполняемых при проектировании обычного судна, только определением расчетных нагрузок и допускаемых напряжений. Для нахождения общего продольного изгибающего момента могут быть выбраны два положения. В первом случае рассматривается подвешенная на талах полностью затруженная шлюпка. Этому положению соответствует момент

$$M = \frac{Dl}{6} \quad (37)$$

где D — водоизмещение шлюпки с пассажирами и снаряжением, кн

Нормирование остойчивости спасательных шлюпок снято со значительными трудностями из-за большого разнообразия вариантов нагрузки и возможного количества попавшей в шлюпку воды.

Рассмотрим диаграмму статической остойчивости шлюпки (рис. 49).

Плечо статической остойчивости плывет увеличивается по мере роста крена. Когда крен достигает угла φ_1 , соответствующего входу планшира в воду, плечо резко уменьшается. В этот момент шлюпка заполняется водой, а центр величины приближается к ДП. При дальнейшем увеличении крена плечо постепенно уменьшается до нуля.

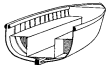


Рис. 48. Расположение воздушных ящиков в шлюпке.

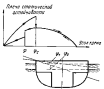


Рис. 49. Диаграмма статической остойчивости через шлюпки.

Влившаяся в шлюпку вода увеличивает осадку, поэтому при уменьшении крена угол выхода планшири из воды φ_1 будет меньше, чем угол φ_2 . При выходе планшири из воды плечо статической остойчивости резко уменьшается. Происходит это за счет того, что вода в шлюпке начинает действовать как груз смещающий ЦТ шлюпки в направлении центра величины.

Все существующие нормы остойчивости спасательных шлюпок составлены для шлюпок без воды. Согласно этим нормам начальная метacentрическая высота при полной загрузке шлюпок не должна быть меньше, чем полученной по формуле

$$A = 0,05B^2 - 0,059 + 0,20 \text{ м} \quad (54)$$

Нормы Регистра СССР регламентируют для деревянных шлюпок момент кренения шлюпку на 10° , зависимости от номера характеризующего размер шлюпки (табл. 6).

Для шлюпок из других материалов оценка остойчивости производится по работе динамического момента при увеличении крена до входа планшира в воду

$$A = Dk \frac{\alpha_{\text{зас}}^2}{2} \quad (55)$$

Таблица 8

Характеристики материалов для изготовления шлюпок

Материал	Однократное изгижение, дин/см	Долгосрочное изгижение (10), дин/см	Удельный вес, г/дм ³	[σ]/γ
Сталь	2400	1200	7,85	155
Легкие с лами (АМТБИ)	1500	750	5,70	280
Дерево	200-900	100	0,60	165
Пластмассы	1050	500	1,10	450

прочности соединений связей. Это увеличивает вес конструкции и снижает отношение $\frac{[σ]}{\gamma}$.

Большим недостатком дерева является подверженность гниению. При сухой же погоде из-за рассыхания нарушается плотность деревянных конструкций. Указанные недостатки склоняют ценность дерева как материала для изготовления шлюпок, несмотря на такие преимущества, как низкая стоимость и технологичность.

Срок службы стальных шлюпок и щлюпок из легких сплавов значительно больше, чем деревянных. Однако корпуса шлюпок из стали и легких сплавов требуют постоянного ухода из-за низкой коррозионной стойкости этих материалов.

Наиболее перспективным материалом для изготовления шлюпок является пластмасса. Пластмассовые шлюпки имеют низкий вес, не гниют, не рассыхаются, имеют хороший внешний вид и не нуждаются в окраске. Недостатком этого материала является большая стоимость. Быстрое развитие химической промышленности позволяет надеяться, что стоимость пластмассы в самом ближайшем будущем значительно понизится.

Деревянные шлюпки. Дерево изделия является одним из самых распространенных строительных материалов. Накоплен большой опыт проектирования и сохранения деревянных судовых конструкций. Именно поэтому деревянные спасательные шлюпки еще не утратили своего значения.

Механические свойства древесины в значительной степени зависят от ее породы. Например, максимальная изгибаемая прочность вяза — 645 кг/см, модуль упругости $0,75 \times 10^6$ кгс/см² для твердых соответствующие значения — 1000 кг/см² и $1,3 \times 10^6$ кг/см². Значительные потери прочности, разываемые посадкой, сучковатостью и гнилью, заставляют назначать допускаемые напряжения выше 80—100 кг/см² даже для самых прочных пород.

Во втором случае расчетное значение изгибающего момента определяется для полностью загруженной щлюпки находящейся на вершине или подошве волны. Его значение

$$M = \frac{D_L}{30} \quad (58)$$

Выбор расчетного положения определяется способом посадки людей в щлюпку. В настоящее время очень редко допускается посадка людей в предварительно спущенную на воду щлюпку. Если пассажировместимость щлюпки больше 30 человек, люди должны занять свое место до спуска щлюпки на воду. В зависимости от способа посадки в первом случае щлюпку рассчитывают на изгибающий момент равный $\frac{D_L}{6}$, а во втором — на момент равный $\frac{D_L}{30}$.

В отличие от сложившейся практики определение расчетного положения можно показать, что при спуске щлюпки без пассажиров максимальный момент несколько превышает значение $\frac{D_L}{30}$.

Анализ элементов нагрузки, составляющих полное водонимущество щлюпки, показывает, что все щлюпки со склонением не без пассажиров, всегда превосходят треть ее водоизмещения. Например, для деревянных щлюпок спусковой вес $-D_m$ колеблется в пределах 42—50% полного водоизмещения.

Таким образом, при спуске пустой щлюпки на воду рассчитанный изгибающий момент равен $\frac{D_m D}{6}$. Если принять $D_m = \frac{D}{3}$, то расчетный момент оказывается равным $\frac{D_L}{18}$, что превышает то значение момента, которое рекомендуется для щлюпок, допускающих посадку пассажиров на плаву.

Общие свойства материалов для изготовления щлюпок

Для изготовления щлюпок используются дерево, сталь, легкие сплавы и пластмассы. Рассмотрим основные свойства этих материалов: прочность, вес, способность противостоять коррозии или гниению, стоимость и технологичность. Для сравнительной оценки прочности и веса может быть принят критерий, представляющий собой отношение допускаемых напряжений к удельному весу материала. Как видно из табл. 8, пластмассы и легкие сплавы имеют большую относительную прочность, что позволяет считать их весьма перспективными материалами.

Приведенное для дерева отношение $\frac{[σ]}{\gamma}$ не отражает полностью свойства дерева, как конструкционного материала. Соединения деревянных конструкций не обеспечивают прочности равной

Древесина должна подвергнуться предварительной обработке уменьшающей ее последующую усадку и деформацию.

Широкий диапазон механических качеств древесины позволяет подбирать для различных спортивных шлюпок наиболее подходящую породу.

Материалы самодельных шлюпок

Название материала	Материал
Киль	Гик, дуб, ясень
Штевни	Дуб, тик
Горизонтальная палуба	Дуб, тик
Обшивка	Сосна,
Планкарь	Ясень, дуб, ясень
Шкантуты	Дуб, тик

На рис. 50 приведен конструктивный модель-шлюпогут деревянной шлюпки. Наиболее сложным при изготовлении шлюпки является обеспечение непроницаемости ее обшивки. Существуют три конструктивных типа обшивки: клинкерная, заподлицо и диагональная (рис. 51).

Клинкерная обшивка легко ремонтируется и находит широкое применение для малых и средних шлюпок. Обшивка заподлицо прочнее, так как доска соединяется с набором по всей своей ширине, но из-за сложности ремонта такая обшивка применяется мало.

Обшивка диагонального типа, в которой два слоя досок имеют перекрестье направления пазов, применяется для больших шлюпок. Она имеет высокую прочность и хорошо обеспечивает непроницаемость за счет более плотного соединения досок в слое.

Обшивку воздушных ящиков деревянных шлюпок изготавливают обычно из латука. В настоящие времена допускается использование полипропиленовых воздушных ящиков, которые сохраняют плавучесть даже в том случае, когда оболочка ящика повреждена.

Для предохранения корпуса деревянных шлюпок от гниения применяют пропитывание специальными составами, препятствующими проникновению воды внутрь древесины, а также пропитывание олифой, прокрашивание и покрытие лаком.

Металлические шлюпки. Стальные шлюпки и шлюпки из легких сплавов в конструктивном отношении почти одинаковы. Высокие механические качества стали не могут быть использованы полностью при определении конструктивных размеров скелета корабля шлюпки. Например, толщина обшивки, найденная из расчета продольного изгиба шлюпки, не превосходит одного миллиметра. Результирующая изгиба составляет в пределах 2–4 мм, что значительно увеличивает вес стальных шлюпок.

Преимуществом легких сплавов является высокое значение отношения $\frac{[G]}{\gamma}$. Их механические свойства позволяют разно-

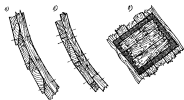


Рис. 51. Типы деревянной обшивки: а — клинкерная; б — заподлицо; в — диагональная.

вально сочетать требования местной и общей прочности. До недавнего времени основным тормозом внедрения легких сплавов в судостроение было отсутствие простого и надежного метода соединения конструктивных элементов. Развитие сварки в среде инертных газов в значительной мере устранило этот недостаток.

На рис. 52 показан конструктивный модель-шлюпогут шлюпки из алюминиево-магниевого сплава. Пассажировместимость шлюпки 50 человек. Корпус имеет поперечную систему набора; профиль шлюпогутов — симметричный полусубмарин. Помимо шлюпогутов, которое предполагается до вертикального киля, днищевой набор включает рамные фюзеляжи и стрингеры. Воздушные ящики образуются одним из днищевых стрингеров, бортовым стрингером и обшивкой, соединяющей эти две связи. Внутренний объем воздушного ящика разделен переборками на несколько изолированных отсеков.

Заднее устройство шлюпки состоит из тента дуг и стояка закрываемых к корпусу.

Палуба в носовой части и носырек обеспечивают шлюпке хорошую мореходность. Шлюпка снабжена двигателем мощ-

ностью 23 к. с., позволяющим развивать скорость хода до 6 узлов. Дальность плавания — 140 морских миль.

Пластмассовые шланки. Для изготовления шланков чаще всего применяют пластмассы на основе полиэфирных или эпоксидных смол, армированных стекловолокном или стеклотканями.

Прочностные характеристики стеклопластиков полностью определяются ориентацией волокон армирующего материала. Например, на рис. 53 приведена диаграмма изменения предела прочности и модуля упругости для стеклопластика с волокнами, взятыми ориентированными под прямым углом. Видимость, волокна

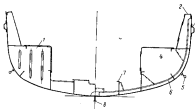


Рис. 52. Мазуль-сангоут цыпленок из яичного супа

3 — полусферобак; 4 — плинвар; 5 — преварийский бруск; 6 — пластина из
железа; 7 — киль-перегородка; 8 — спиральстекло; 9 — стекло; 10 — винт;
11 — винтовая гайка.

ориентацию волокон позволяет изменять свойства стеклопластиков в том или ином направлении. Это ценное качество отсутствует у других конструкционных материалов.

Пластинки и оболочки из пластмасс могут иметь один из следующих типов конструктивного оформления:

а) неподкрепленную обшивку, состоящую из нескольких слоев армированного материала, скрепленных смолой. Жесткость и прочность обшивки определяются только ее толщиной.

б) обшивка с набором. На калии шпангоутов часто применяется набор с правоугольным поперечным сечением; на больших шпангоутах он может быть выполнен по одному из типов, показанных на рис. 54.

и двухслойную обшивку, состоящую из двух слоев стекло пластика, разделенных легким заполнителем. Высокая прочность двухслойной обшивки достигается совместным участием в работе обеих слоев стеклопластика. Прослойка обеспечивает совместность деформации прочных элементов обшивки и принимает участие в восприятии местных нагрузок. Использование пенопластов

в качестве прослойки позволяет сделать конструкцию плавучей. При определении момента инерции и момента сопротивления двухслойной обшивки влиянием заполнителя обычно пренебрегают.

Соединение элементов. Анализ конструкций пластмассовых шапок позволяет установить, что соединения плоских элементов, расположенных в одной плоскости практически никогда не встречаются. Перекрытие, состоящее из нескольких таких элементов, выполняется как единая монолитная конструкция. Сюда могут быть отнесены днище и борт выгородки воздушных ящиков и т. п.

Большой интерес пред-
ставляет соединение плос-
ких элементов, расположенных
в пересекающихся плоскостях. В этом случае
для монолитного изготовления всей конструкции потребовалась
специальная технологическая оснастка.

На рис. 55 показаны конструктивные варианты таких соединений. Во всех вариантах применяются местные подкрепления. Благодаря особенностям технологии изготовления кон-



Рис. 54 Канцелярский набор

из стеклопластика и пенопласта. В конструкции этой щиточки использовано дерево и другие материалы.

На рис. 57 показан внешний вид пластмассовой спасательной цепочки.



Рис. 55 Узлысты соединения

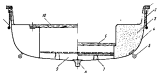


Рис. 56 Намы-изготавливают пластмассовой шлюпки.
1 — кильштырь; 2 — кильштырь; 3 — подводный киль с винтом;
4 — обшивка; 5 — киль; 6 — киль; 7 — дно; 8 — борт; 9 — плавательный якорь.

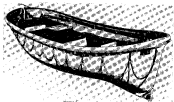


Рис. 57 Спасательные шлюпки из ёжевого листка

Отметим в заключение несколько дополнительных преимуществ пластмассовых шлюпок (по сравнению со шлюпками из других материалов):

1. Стойкость к коррозии гниению и отсутствие хоробления увеличивают срок службы и значительно сокращают эксплуатационные расходы.

2. Небольшой вес положительно сказывается на остойчивости судна.

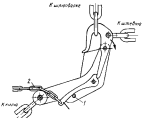


Рис. 58 Спускной аппарат Робинсона.

задороженный не должна быть связана перед спуском шлюпки. 2 — спасательная вспышка, обеспечивающая одновременную опушку обоих гаков.

3. Технология изготовления шлюпок не требует высокой квалификации персонала и позволяет легко наладить массовое производство.

4. Используемые для изготовления шлюпок пластмассы огне стойки и немагнитны. Они не накладывают никаких ограничений в отношении расположения шлюпок на судне.

Шлюпочные гаки. Конструкции шлюпочных гаков должны отвечать определенным требованиям вытекающим из особенностей их работы:

1. Одновременное срабатывание обоих гаков при спуске шлюпки. Если это условие не обеспечено, то при спуске шлюпки на взмучившуюся поверхность может сработать только тот гак, который из-за дифферента занимает более высокое положение. При последующем резком падении уровня воды шлюпка может оказаться висящей на одном гаке, что очень опасно для пассажиров.

2. Надежность безотказность и быстрота срабатывания гаков

3. При выборе положения гаков по высоте нужно обеспечить хорошую остойчивость шлюпки при спуске.

На рис. 58 показан спусковой аппарат Робинсона, который позволяет освободить шлюпку как на весу так и на алаву.

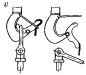


Рис. 59. Шлюпочные гаки:
а — самотягивающийся;
б — системы Милл.

Две конструкции шлюпочных гаков приведены на рис. 59. В первом случае (рис. 59, а) отдача производится при помощи троцового привода. Другая конструкция (рис. 59, б) находит широкое применение на современных шлюпках. Гак, сомноженный с противовесом, может быть отдан только тогда, когда шлюпка находится полностью на плаву.

§ 27 Спасательные шлюпки нефтеналивных судов

Авария танкеров передко связана с возникновением зоны горящей нефти, что значительно усложняет спасательные операции. В связи с этим необходимо, чтобы шлюпки нефтеналивных судов, попадающие в зону горящей нефти, предохраняли обитателей от действия высокой температуры и задымленности. Создание шлюпки, удовлетворяющей этому требованию, чрезвычайно сложная задача, особенно если учесть, что температура в зоне горящей нефти превышает 100°, а время пребывания в ней шлюпки колеблется в пределах 5—10 минут.

Можно рекомендовать два способа, предотвращающих повышение температуры в шлюпке: орошение водой надводной части корпуса в период прохождения зоны горящей нефти и термоизоляцию корпуса шлюпки.

Рассмотрим конструкцию спасательной шлюпки с орошением. Шлюпка построена из легкого сплава и вмещает 30 человек; главные размерения: $L = 8,5$ м; $B = 2,5$ м; $H = 1,68$ м. Конструкция шлюпки полностью сварная. Шлюпка имеет металлическое закрытие, допускающее быструю посадку людей через

люки крышки которых откладывается в запрежении ДЛ. Вода под защиту обеспечивает система орошения (рис. 60) с 48 головками, распыливающими воду, и позволяющая подать на 1 м² поверхности шлюпки 28 литров воды в минуту. Система обслуживается насосом производительностью 43 м³/час. Как вспомогательное средство может быть использована система откачки воды, позволяющая обливать людей забортной водой.

Закрытие шлюпки герметично, поэтому, чтобы исключить попадание дыма, внутри шлюпки создается небольшое избыточное давление. Для создания этого давления, а также для снабжения

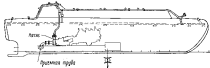


Рис. 60. Система орошения газированной шлюпки.

обитателей шлюпки свежим воздухом в каютные предусмотрены три баллона со сжатым воздухом.

Описываемая шлюпка прошла сложную систему испытаний, включавшую длительное пребывание в задымленной зоне, движение в зоне горящей нефти и пребывание в зоне горящей нефти в течение 8 минут. Во время последнего испытания температура в шлюпке поднялась с 24 до 27° С, и задымленность внутри шлюпки же выходила за допустимые пределы.

Заслуживают внимания пластмассовые шлюпки с водной защитой (английской фирмой 'Waltercraft', рис. 61, а) на которых баллоны со сжатым воздухом используются как для снабжения пассажиров свежим воздухом, так и для привода насоса системы орошения. Испытания показали, что после пребывания в зоне горящего парафина (1040° С) в течение 6 минут температура внутри шлюпки достигла 54° С.

Примером пакета с термоизоляционной защитой может служить спасательная шлюпка BAPI фирмы Bristol Aeroplane Plastic Ltd (рис. 61, б) пассажировместимостью 20 человек с комбинированной жилой из мастичного асбеста и аэростеклами. Общая толщина изоляции — 20 мм. Система снабжения свежим воздухом такая же, как и у шлюпок, описанных выше.

Испытания шлюпки BAPI дали следующие результаты. Средняя температура внутри шлюпки после минутного пребывания шлюпки в зоне горящей нефти +40° С в после 10 минут +73° С. Максимальная температура в верхней части внутренней про-

странства шлюпки +95° С, на уровне сиденья +77° С. Для сравнения отметим, что при десятиминутном воздействии человеческий организм способен выдержать температуру, превышающую 100° С

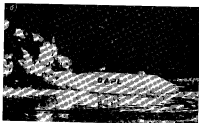


Рис. 61. Танкерные шлюпки: а — фирмы Wallenius; б — фирмы ВАРЛ.

Сравнение описанных систем защиты танкерных шлюпок позволяет сделать вывод, что наибольшей надежностью обладает термоизоляция. Система орошения шлюпок недостаточно университельно работает в условиях волнения: при качке может

создаться такое положение, когда заборный патрубок окажется у поверхности и в оросительную систему вместе с водой поступит нефть.

§ 28 Средства движения шлюпок

В отношении средств движения спасательные шлюпки могут быть разделены на гребные, с ручным приводом и моторными. Долгое время гребные шлюпки были основным спасательным средством. Теперь они потеряли свое значение из-за большой сложности процесса гребли требующего от каждого гребца достаточной

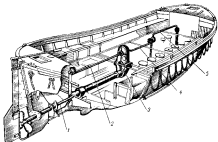


Рис. 62. Колесный руль для гребной шлюпки.

— ребра на 2 и 5 — части колесного вала, врачающиеся не друг от друга на 120°; 3 — рулевое.

сила, координации движений и навыка, а от команды в целом — сложности и чувства ритма. К тому же в зоне движения весла необходимо ежигодально большое свободное пространство что значительно стесняет пассажиров.

В снаряжении современных шлюпок весла сохраняются как резервное средство движения, а пассажировместимость гребных шлюпок не должна превышать 60 человек.

Шлюпки с ручным приводом Ручной привод спасательных шлюпок должна быть простым и компактным, чтобы каждый физически крепкий человек без специальной подготовки был в состоянии выполнять работу необходимую для движения шлюпок.

Остановимся на некоторых типах ручных приводов. На рис. 62 показан рычажный привод. Он состоит из трех вытянутых коленчатых рукавов, укрепленных на стойках в диаметральной плоскости. Рукоятки повернуты одна относительно другой на 120° для более равномерного приложения усилий. Посредством редуктора, имеющего реверсивную или цепную передачу, приводится в движение гребной вал с гребной винт шлюпки.

Изменение направления движения происходит за счет изменения направления вращения рукавов по сигналу командира

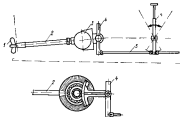


Рис. 62. Рычажный ручной привод.

1 — гребной вал; 2 — гребной винт; 3 — редуктор; 4 — рукоятка
— срединное положение тяги.

шлюпки. Коленчатый привод прост, компактен и достаточно эффективен. Например, шлюпка общим весом 8,5 т может двигаться со скоростью 3,5 узла.

Внешний вид и особенности конструкции рычажного привода показаны на рис. 63.

Система рычагов через тягу приводит в движение зубчатый сектор. Входящая снизу в зацепление шестерня посредством храповника вращает ведущую (коническую) шестерню и гребной вал. Пассажировместимость шлюпок с ручным приводом может достигать 100 человек.

§ 28. Снабжение шлюпок

Одно из основных требований, предъявляемых к снабжению спасательных шлюпок, может быть сформулировано следующим образом: «Задержка в спасении на несколько дней не должна уменьшать шансов на благополучный исход». В соответствии с этим

в шлюпке должны иметься средства, обеспечивающие существование ее обитателей в течение определенного промежутка времени. Снабжение шлюпки включает такие средства сигнализации, ориентирования и оказания первой помощи.

Изучение спасательных операций заставляет с особенным вниманием относиться к снабжению обитателей шлюпки пресной водой. Большой интерес в этом отношении представляет табл. 9, составленная на основании анализа 121 случая использования шлюпок при авариях судов.

Табл. 9
Зависимость числа смертных исходов от залпа питьевой воды в шлюпке

Количество воды из пасюка в день x	Общее число пострадавших	Число смертных случаев	Процент смертных случаев
	143	57	39
0–100	1580	309	19
100–200	1314	98	7
200–300	533	7	1
Многое	36	1	2

Очевидна прямая связь между величиной водяного рационса и числом жертв.

В современных спасательных шлюпках предусматривается 3 л питьевой воды на человека. Правила постройки рекомендуют устанавливать химические опреснители воды. В этом случае запас питьевой воды может быть уменьшен до 2 л.

При расчете пищевого рациона следует обеспечить во крайней мере 5000 калорий в сутки на человека. Пищевой рацион хранится в воздухонепроницаемой оболочке и водонепроницаемой упаковке.

К сигнальным средствам спасательной шлюпки относятся различные фонари, сигнальные зеркала, ракеты, фальшивые, дающие ярко-красный свет, дымовые шашки, горги, санитки и т. д. Все эти средства предназначены облегчить поиск шлюпки или привлечь к ней внимание случайно проходящих судов и самолетов.

На каждое шлюпке должен быть компас. Кроме того, в одном из шлюпок каждого борта должны быть карты района плавания с простейшими инструментами для прокладки курса и радиостанции.

ГЛАВА 8

СПАСАТЕЛЬНЫЕ ПЛОТЫ

§ 30 Жесткие спасательные плоты

Спасательные шлюпки не лишены существенных недостатков. Например, в большинстве случаев их можно спустить на воду только с одного борта. Кроме того, шлюпки вместе со средствами их спуска занимают на палубе много места. Поэтому на многих пассажирских, промысловых, рыбообрабатывающих и некоторых других судах эти шлюпки не удается разместить в достаточном количестве.

В настоящее время Правила постройки Регистра СССР за суда всех типов и категорий плавания (за исключением танкеров) разрешают заменять часть шлюпок спасательными плотами. Не большой вес и габариты плотов делают их незаменимым спасательным средством для судов на подводных крыльях и на воздушной подушке.

Применение спасательных плотов за судами некоторых типов, а особенно за пассажирских, ограничивалось характером их использования — плоты сбрасывались с судна на воду, и только после этого люди каким-либо образом занимали на них места.

В последние годы появились плоты, посадку на которые можно производить на борту судна. Такие плоты вместо с пассажирами спускаются на воду специальными стрелами и могут быть использованы вместо шлюпок на судах всех типов и категорий плавания за исключением танкеров.

В зависимости от материала, из которого изготовлена оболочка плота, различают плоты жесткие и эластичные или надувные. Для изготовления первых используются легкие сплавы и пластмассы. Оболочка надувных плотов, принимающая нужную форму при заполнении газом, изготавливается из прорезиненной ткани.

На рис. 64 показаны металлический (а) и пластмассовый (б) плоты отечественной конструкции. Гофрированная круглая об-

олочка плота из алюминиево-магниевого сплава имеет в плане овальную форму. Внутренний объем камеры плавучести разделен на ряд изолированных отсеков. Тент в спрятанном состоянии поддерживается его дуги в походном положении располагаются во внутреннем пространстве плота. Тент может быть поднят в любую сторону. Плот опускается спасательным листом.

Для изготовления оболочки пластмассовых плотов используются стеклопластик. Внутренний объем плавучести заполняется пенопластом с удельным весом около 0,045 кг/см³. Пенопласт имеет незначительное водопоглощение и надежно обеспечивает сохранение плавучести плота даже при повреждении его оболочки. На рисунке показан тент в сложенном и рабочем положениях.

Требования, предъявляемые к спасательным плотам в основном сводятся к следующему:

конструкция плота должна обеспечивать находжение плота на плаву в течение 30 суток в любых морских условиях и в диапазоне температур от +66 до -30° С;

при сбрасывании с высоты 18,3 м (60 футов) плот и его снаряжение должны оставаться исправленными;

при сбросе вручную общий вес плота со снаряжением не должен превышать 180 кг;

местимость плота должна быть не менее 8 и не более 25 человек. Эта норма обусловлена практикой. Плоты больших размеров становятся громоздкими, усложняется их спуск на воду;

плоты должны быть снабжены тентом, иметь пологонаклонный настял пола и обеспечивать достаточную изоляцию от холода.

Кроме общих требований к жестким плотам предъявляются еще дополнительные: остойчивость плота и возможность использования его в любых условиях должна быть гарантирована независимо от того, какой стороной он упадет на воду.

В плане форма плота может быть круглой, овальной и прямоугольной. Круглая форма обеспечивает равную остойчивость во всех направлениях. При одинаковом периметре эта форма дает максимальную площадь. Недостатком круглых плотов является большая (по сравнению с прямоугольными плотами) сложность изготавления.

Прямоугольная форма обеспечивает лучшее использование материала. Прямоугольные плоты при дрейфе разворачиваются таким образом, что их длинная сторона занимает положение, параллельное по отношению к направлению движения. Это увеличивает скорость дрейфа и уменьшает остойчивость.

Объем и размеры плота заданной вместимости могут быть определены по нормам Правил постройки Регистра СССР. У жестких спасательных плотов объем воздушных отсеков, приходящийся на одного человека, должен быть не меньше 0,096 м³, а площадь палубы не меньше 0,372 м². Фактически удельный объем изменяется в пределах 0,10—0,20 м³.

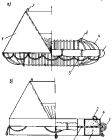


Рис. 64. Жесткие спасательные плоты

а — металлический; б — пластмассовый.
1 — рама; 2 — внутренняя дамба; 3 — палуба;
4 — киль; 5 — цилиндрический тент; 6 — оболочка;
7 — дверь.

Площадь палубы, приходящаяся на одного человека, приводится в соответствии с рекомендацией.

Небольшим условием успешной эксплуатации плота является его достаточная остойчивость. Крен плота может быть вызван ветром, волнением, неравномерным распределением пассажиров и груза. Аналisis показывает, что эффект ветра в этом отношении незначителен. Крен, вызываемый даже сильным ветром, не превышает 2°. Значительную опасность представляет волнистое и неравномерное распределение пассажиров и грузов.

Плот представляет собой плоскодонное судно, положение которого практически полностью характеризуется положением поверхности воды. Центр тяжести плота расположжен всегда значительно выше центра водонизмещающего объема. Это приводит к несколько большему наклону плота по отношению к положению волнового склона. Только за счет увеличения наклона может быть достигнуто симметричное равнодействующее силы тяжести и плавучести на одной вертикальной. Наибольшую опасность представляет положение, при котором крен на волне суммируется с креном, вызванным неравномерным распределением пассажиров и груза.

Проверка остойчивости спасательных плотов выполняется в соответствии с требованием Правил постройки: «При расположении груза, равного весу половины допущенных к размещению в плоту людей (по 75 кг/чел) с одного борта (адель наибольшей длиной стороны), верхняя прокладка поддерживает отсеки плота (отсеки плавучести) не должна никогда погружаться в воду».

Что касается габаритов, то жесткие плоты не имеют каких-либо существенных преимуществ перед шлюпками. В табл. 10 наряду с абсолютными размерами приведены относительные площади с площадью плота, отнесенная к числу пассажиров.

Таблица 10
Удельная площадь жестких спасательных плотов

№ плота	Габариты плота	Количество пассажиров	Площадь на 1 человека, м ²
СЛА 4	1,95×1,70×0,62	4	0,88
СЛА 6	2,58×1,82×0,62	6	0,94
СЛА 12	3,98×2,59×0,62	12	0,705

Для спасательных шлюпок относительная площадь колеблется в пределах 0,30—0,45 м²/чел. Известно, только располагая при хранении плоты один из других, можно добиться такого же использования площади палубы как при хранении шлюпок.

§ 31 Надувные спасательные плоты

Первые надувные лодки появились примерно в середине прошлого века, непосредственно после того, как шотландским химиком Макнэтоном был изобретен метод изготовления водонепроницаемой ткани. Как элемент спасательного устройства надувные лодки, а затем и плоты стали применяться значительную позже. Первый надувной спасательный плот появился в 1935 г. Широкое применение надувные плоты нашли в период второй мировой войны; при их помощи за этот период спаслось примерно 1300 человек.

Надувной плот использовал в 1952 г. Алек Бомбер в своем многодневном дрейфе по Атлантическому океану.

В Исландии в первый же год после внедрения спасательных плотов в промысловый флот при их помощи спасались команды четырех судов.

Об эффективности спасательных плотов можно судить по тому, что уже в начале шестидесятых годов все классификационные организации в своих правилах допускают надувные плоты в качестве основного спасательного средства на некоторых типах судов. Остается лишь на требований, которые предъявляются к размерам и конструкции надувных спасательных плотов (рис. 65).

Удельная площадь палубы равна (не менее) 0,50 м²/чел (у лучших современных образцов 0,60—0,80 м²/чел). Объем воздушных камер плавучести, приходящийся на одного человека, равен 0,1 м³ и изменяется в зависимости от числа пассажиров. Полный водонизмещающий объем (вместе с частичным пространством между камерами плавучести), отнесененный к числу пассажиров, изменяется от 0,280 м³/чел для биестных плотов до 420 м³/чел для плотов вместимостью 25 человек. Объем камер, обеспечивающих плавучесть плота, разделен на отдельные отсеки таким образом, чтобы при заполнении водой половины отсеков плот с находящимися на нем людьми оставался на плаву.

В соответствии с требованиями Правил постройки давление внутри плота за 60 секунд должно возрасти до величины, позволяющей плоту сохранить форму при полной нагрузке.

Конструкция плота допускает его сбрасывание с высоты 18 м (60 футов) как в надутом, так и в уложенном состоянии.

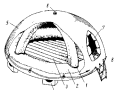


Рис. 65. Надувной спасательный плот.

1 — надувные камеры; 2 — камера плавучести; 3 — дно; 4 — водонепроницаемая перегородка; 5 — люк; 6 — трап.

Для улучшения остойчивости надувных плотов из длищевой части (по возможности ближе к краю) размещают несколько выступающих карманов. Если при крене часть длища поднимается над поверхностью воды, то карманы, заполненные водой, дают значительный восстанавливющий момент.

Надувной спасательный плот, имеющий непрорезаемый тент, может оказаться на поверхности воды и в перевернутом положении. Существует требование, согласно которому усилия одного человека должны быть достаточно, чтобы перевернуть плот в рабочее положение. Для этого тенту придется форма, близкая к шаровой.

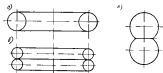


Рис. 66. Формы камер спасательных плотов: а — цилиндрическая; б — восьмерки.

Камеры плавучести современных надувных плотов имеют круглую форму или форму восьмерки (рис. 66), преимущественно которых заключается в том, что при потере плавучести одной из камер плавающей платформы не сокращается и его остойчивость не ухудшается.

К недостаткам следует отнести несколько большую сложность изготовления, так как у плотов, имеющих камеры в форме восьмерки, расход материала увеличивается примерно на 40%.

Напряжения в круглой цилиндрической оболочке прямо пропорциональны ее диаметру. Таким образом, при одинаковом давлении напряжения в оболочке, имеющей форму восьмерки будут меньше, чем в круглой. Следовательно, в этом случае может быть использована несколько более тонкий материал.

Тент спасательного плота (рис. 66) выполняется из двух слоев прорезиненной ткани. Обычно он поддерживается четырьмя надувными арками в средней стойке. Дно плота также выплоется надувным. Толщина оболочки плота определяется из условия обеспечения известной прочности. Вследствие большой упругости материала напряжения, возникающие в оболочке плота при его загибе на волне, незначительны.

Материал, используемый для изготовления надувных спасательных плотов, должен иметь высокую прочность на растяжение, большое сопротивление разрыву и низкий вес. Содержание необ-

ходимо, чтобы материал был непроницаемым для воды и воздуха, эластичным, стойким при воздействии солнечного света, предельных температур и влаги. Чаще всего используют прорезиненную хлопчатобумажную ткань в два или три слоя, которые ориентированы один по отношению к другому таким образом, чтобы получить примерно одинаковые свойства в различных направлениях; потонная разрывная нагрузка хлопчатобумажной ткани составляет около 10,5 кг/см на каждые 100 г веса 1 м² ткани.

Прочность хлопчатобумажной прорезиненной ткани в значительной степени зависит от времени приложения нагрузки. Например, нагрузку, составляющую 75% от разрывной, такая ткань выдерживает в течение 5 минут; нагрузку, составляющую 70% — в течение 5 часов; 60% — в течение 100 часов; 50% — в течение 1500 часов и 40% — в течение 4 лет. Отсюда можно сделать вывод, что допустимая нагрузка должна составлять примерно 55% от разрывной.

Для пропитывания тканей используются натуральный каучук или его заменители. Натуральный каучук хорошо сохраняет свои свойства при низких температурах, однако он сильно подвержен действию нефтепродуктов. Заменители каучука обеспечивают ткани большую плотность, они стойки к действию нефтепродуктов, но становятся хрупкими при низких температурах.

Весьма перспективным материалом для спасательных надувных плотов являются синтетические ткани.

Окраска плота и тента должна быть яркой, так как это значительно облегчает поиск плота; кроме того слой краски защищает материал от предного воздействия солнечного света. Исследования показали, что лучше всего этим требованиям удовлетворяет оранжевая краска на хромовой основе.

Как правило, плоты хранятся в контейнерах, расположенных в непосредственной близости от борта. Плот надувается при помощи автоматической системы, имеющей пусковой линии, который закрепляется на судне и при сбрасывании плота рывком заставляет систему срабатывать. Газ, используемый для заполнения плота, хранится в специальных баллончиках. Он должен быть безвредным для обитателей и животных. Чаще всего при меняется смесь углекислого газа с азотом.

Последовательность спуска надувного плота показана на рис. 67.

Выше отмечалось, что существенным недостатком плотов является сложность посадки людей, которые должны сами любым способом спуститься в воду и поплыть добраться до плота.

В последней годности практикуют различные устройства для спуска на воду плотов вместе с людьми (см. стр. 144).

Снаряжение плотов. Надувные и жесткие плоты должны обеспечивать обитателям нормальные условия существования. В снаряжение плота включаются продукты питания — картофель с витаминами

множества, стущенное молоко, запас питьевой воды из расчета 1,5 л на человека, рыболовные принадлежности, средства оказания первой помощи и таблетки от морской болезни.

Большое внимание уделяется средствам сигнализации. К ним относятся автоматический плавучий светящийся букс, парашютные ракеты бедстия, дающие при яркий свет из большой

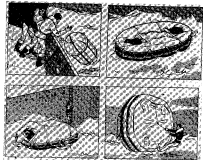


Рис. 67. Последовательность спуска шлюпок

высоте, фальшфоки, ручные фонари, зеркало и т. д. В последние годы плоты обеспечиваются автоматическими радиотелеграфами ссылающимися в эфир сигнал SOS.

За исключением пары складных вёсел, которые служат главным образом для того, чтобы отойти от борта судна, спасательные плоты не имеют средств движения.

Для уменьшения дрейфа все плоты снабжаются главным якорями.

Оборудование плота включает средства для осушения (тубы, черпаки), комплект средств для ремонта плота и чехол

ГЛАВА 9

СРЕДСТВА СПУСКА И ПОДЪЕМА ШЛЮПОК

§ 32 Классификация судовых шлюпбалок

Для спуска шлюпок на воду и их подъема применяются шлюпбалки различного принципа действия. Весь процесс спуска может быть разделен на два этапа: выталкивание шлюпок за борт и вертикальный спуск ее в воду. Основное различие между шлюпбалками заключается в том, каким образом они осуществляют выталкивание шлюпок. Вертикальный спуск на воду у всех типов шлюпбалок выполняется аналогично — тявлением лопаря или точных талей.

Согласно существующей классификации различают радиальные, заваливающиеся и гравитационные шлюпбалки. Первые два типа разделяются по положению оси, относительно которой вращается стрела шлюпбалки. У радиальных шлюпбалок эта ось вертикальна, у заваливающихся она расположена в горизонтальной плоскости параллельно борту. У гравитационных шлюпбалок процесс выталкивания происходит под действием веса шлюпки и находящихся в ней пассажиров.

Число конструктивных типов шлюпбалок очень велико, однако для облегчения спасательных шлюпок используются только гравитационные и заваливающиеся шлюпбалки. В Правилах постройки указывается, что на пассажирских судах и на судах, используемых как катеробазы, в рыбобрабатывающих заводах, следует устанавливать шлюпбалки гравитационного типа, которые обеспечивают быстрый спуск больших шлюпок. На других судах могут быть применены заваливающиеся шлюпбалки если вес шлюпки и находящихся в ней пассажиров не превышает 2,3 т. Для шлюпок с большим весом следует использовать гравитационные шлюпбалки.

Рекомендации Правил постройки основаны на том, что только шлюпбалки называемых типов удовлетворяют требованиям, предъявляемым к средствам спуска и подъема шлюпок. Каковы же эти требования?

1. Конструкции шлюпбалки должны обеспечивать спуск шлюпки в кратчайший срок. Во всех случаях, когда допускается использование гравитационных шлюпбалок, время спуска шлюпки на воду не должно превышать 2 минут. Эта жесткая норма позволяет выполнить все спасательные операции, включая посадку людей в шлюпки, и достаточно короткой промежуток времени. На пассажирских судах, например общее время не должно превышать 30 минут.

2. Элементы шлюпбалки должны иметь достаточную прочность, а вся конструкция в целом должна работать практически без-

отхода. Спроектировать конструкцию отвечающую этому требованию, чрезвычайно трудно, так как шлюпбалки, находящиеся в условиях повышенной влажности, возможного обмерзания и т.д., должны быть всегда в состоянии полной готовности.

Желательно, чтобы шлюпбалка с расположенной на ней шлюпкой не ухудшала остойчивости судна и меньше загромождала палубу.

§ 33. Радиальные и взвешивающиеся шлюпбалки

Радиальные шлюпбалки. На рис. 68 показаны два основных типа радиальных шлюпбалок: В первом случае стрелы шлюпбалки имеют по две изолированные опоры, во втором они закреплены на одной палубе при помощи стендера.

Основными характеристиками радиальных шлюпбалок являются высота стрелы над палубой и обеспечиваемый ею вылет шлюпки за борт.

Высота стрелы радиальной шлюпбалки h может быть определена как сумма высоты шлюпки, отстояния ее килья от палубы и размера шлюпочных талей. Вылет стрелы является второй геометрической характеристикой радиальной шлюпбалки.

Процесс выталкивания шлюпки очень сложен и осуществляется вручную.

Обратимся к рис. 69. Из исходного положения AB шлюпка перемещается в рабочее положение A_1B_1 , при котором киль может миновать левую стрелу балки, не задевая ее. При этом правая стрела прращается в обратном по отношению к борту направлении. Далее при вращении обеихстрел в направлениик борту достигается полное выталкивание шлюпки (A_2B_2).

Попытки механизировать вращение стрел приводили к тому что терялось основное преимущество этой конструкции — простота. Конструкция стрел радиальных шлюпбалок не позволяет

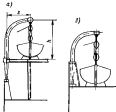


Рис. 68. Радиальные шлюпбалки:
а — расстояние; б — палуба.

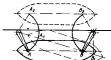


Рис. 69. Выталкивание шлюпки радиальными шлюпбалками.

Попытки механизировать вращение стрел приводили к тому что терялось основное преимущество этой конструкции — простота. Конструкция стрел радиальных шлюпбалок не позволяет

получить вылет, достаточный для спуска шлюпок при крене на обратный борт. В целом процесс выталкивания при помощи радиальной шлюпбалки очень сложен и занимает много времени, поэтому эти шлюпбалки рекомендуется применять только для обслуживания рабочих шлюпок небольших размеров.

Расчетный момент M , необходимый для определения конструктивных элементов шлюпбалки, определяется с учетом 15° крена в направлении выталкивания. Его максимальное значение (в сечении у палубы на рис. 68, а) будет

$$M = \rho \cos 15^{\circ} - h \sin 15^{\circ} \frac{P_a}{2}$$

где P_a — вес шлюпки; h и s — высота и вылет стрелы; ρ — если принять приближение $\cos 15^{\circ} \approx 1$ и $\sin 15^{\circ} \approx 0,25$ то

$$M = \frac{P_a}{2} (s + 0,25h) = \frac{P_a}{8} (4s + h) \quad (59)$$

Момент сопротивления сплошного круглого сечения может быть определен по формуле

$$W = \frac{\pi d^3}{32} = \frac{M}{[\sigma]} = \frac{P_a (4s + h) 100}{8 [\sigma]}$$

где $[\sigma]$ — допустимые напряжения

Вес деревянных шлюпок

$$P_m = \rho (0,6LBH) \quad (60)$$

где ρ — вес шлюпки, относившийся к ее половому объему. Для рабочих шлюпок величина ρ изменяется в довольно узких пределах со средним значением 250 кг/м^3 .

Диаметр сплошного круглого сечения стрелы шлюпбалки

$$d = 10 \sqrt[3]{\frac{32 \cdot 0,6 \cdot 2000}{8 \pi [\sigma]}} \sqrt[3]{LBH (4s + h)} \quad (61)$$

Полученная формула по своей структуре совершенно аналогична зависимости, которая рекомендовалась Правилами постройки для определения диаметра шлюпбалки

$$d = c \sqrt[3]{LBH (4s + h)}, \quad (62)$$

где c — численный коэффициент, который для стали с временным сопротивлением $42-55 \text{ кгс/мм}^2$ равен 27.

Аналогия формула (61) и (62) позволяет определить значения допускаемых напряжений, соответствующих принятой расчетной схеме ($[\sigma] = 750 \text{ кгс/мм}^2$, что соответствует примерно трехкратному запасу по отношению к пределу текучести стали).

Иногда может понадобиться более точный расчет, учитывающий реакции в направляющих скринах, собственный вес шлюпбалки

и т. д. Учет этих факторов приводит к некоторому снижению запаса прочности, определенного выше. Расчетный анализ пока показывает, что при уточненном расчете следует повысить допускаемые напряжения до 880—900 кг/см².

Заваливающиеся шлюпбалки Существует несколько типов заваливающихся шлюпбалок. Рассмотрим их основные особенности:

1. Наиболее простым является заваливающийся шлюпбалка, показанная на рис. 70 а. Шлюпка хранится на палубных киль-

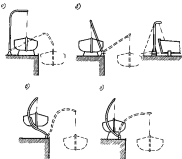


Рис. 70. Заваливающиеся шлюпбалки: а — тип I; б — смещение к борту; в — 5-образная; г — скользящая.

блоках между шлюпбалкой и бортом судна. Однако чтобы обеспечить достаточный вылет шлюпки за борт, требуется чрезвычайно длинная стрела, так как шарнир крепления стрелы смешен от борта. Поэтому мы увидим, что эта конструкция в измененном виде была предпринята как гравитационная шлюпбалка.

2. Длину стрелы шлюпбалки можно уменьшить, если сместить ее крепление к борту. На рис. 70 б показано как такое смещение достаточно за счет занесения шлюпбалок по длине за габариты шлюпки. Инженером Иолки был разработана конструкция шлюпбалки, стрела которой состоит из основной части и дополнительной наклонной связи, уменьшающей изгиб стрелы (рис. 71).

108

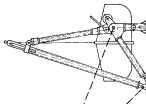
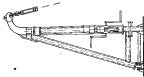


Рис. 71. Шлюпбалка автора Иолки



ной стрелы загнут и направления шлюпки. Для большего удобства при работе привод винтового механизма выталкивания поднят над палубой и расположен на небольшом фундаменте. (На особых случаях механизма заполнения мы остановимся ниже.)

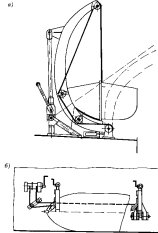


Рис. 72 Сор сорванный шлюпбалка

Основным недостатком этой конструкции является значительное увеличение площади необходимой для размещения шлюпки и шлюпбалок.

3. У S-образной захватывающейся шлюпбалки (рис. 70 а) смещение шарнирного крепления к борту достигается без вынесения шлюпбалок за габариты шлюпки (как это было сделано в шлюпбалке Иолко). Шлюпка хранится и крепится к борту походному на

стrelках шлюпбалок. К не достаткам S-образной шлюпбалки следует отнести сложную форму стрелы и высокое положение шлюпки, отрицательно сказывающееся настойчивости судна.

4. Стремление сместить крепление стрелы к борту при одновременном походном хранении шлюпки на палубных кильблоках привело к созданию серповидной шлюпбалки (рис. 70, а). Стрела серповидной шлюпбалки (рис. 72, а) имеет коробчатое сечение с расширением внизу, позволяющим сделать конструкцию опоры более надежной.

Интересна приводка лопасти шлюпочных талей. Благодаря положению направляющего блока на оси поворота шлюпбалки движение ее стрелы и лопасти шлюпочных талей могут осуществляться независимо. На рис. 72, б показана проводка лопасти к двухбарabanной лебедке.

К достоинствам серповидной шлюпбалки следует отнести большой вылет при сравнительно небольшой длине стрелы, удобное положение шлюпки и компактность. Наряду с этими основными недостатками серповидной шлюпбалки (общим для всех видов захватывающихся шлюпбалок) является длительность процесса выталкивания шлюпки. При увеличении размеров шлюпок этот недостаток усиливается, что и объясняет ограниченное выше ограниченное (§ 32) применение захватывающихся шлюпбалок.

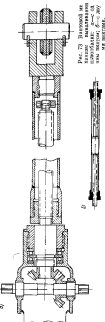


Рис. 73 Захватывающие шлюпбалки:
а—с S-образной стрелой;
б—с серповидной стрелой;

в)

Как правило, для вывальивания шлюпочки у всех завалывающихся шлюпочек используется винтовой механизм, состоящий из данного телескопического винта (рис. 73, а).

Создание видоизмененного двухзвенного механизма шагающей винтовки связано с именем инженера Иолко (рис. 73, б). Одна из винтов, имеющая одноваловую нарезку, работает в период движения шагающей винтовки. После того как цапка винта получила определенное

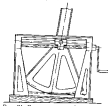


Рис. 74. Статорно-щеточный магнитный
выбрасыватель.

бает горизонтальное перемещение гайки, шарнирно соединенной со стрелой шлюпбалка. При выдвижении стрелы сектор прокатывается по зубчатой рейке на палубе, тем и достигается смещение стрелы к борту.

Секторно-зинтовой механизм выбывания менее надежен, чем винтовой, так как обмерзание зубчатой рейки и винта или их засорение могут значительно затруднить привод машины.

§ 34. Генитальные гормоны

Идея использовать вес шлюзования для ее выталкивания за борт оказалась чрезвычайно заманчивой. В последние годы появилось большое количество разнообразных вариантов гравитационных шлюзоблоков. В отечественной практике различают следующие конструктивные типы: однозарядные, двухшарнирные, скользящие и скатывающиеся шлюзоблоки. Рассмотрим особенности

Одношарнирная шлюпбалка (рис. 75). Под действием веса шлюпки в находящемся в ней пассажиром стрела шлюпбалки вращается относительно шарнира (узел I). Стрела поддерживается лопатой, скорость срываивания которой полностью определяет скорость ее движения. После того как стрела достигнет предельного положения, начинается вертикальный спуск шлюпки, который осуществляется лопатой шлюпбалки.

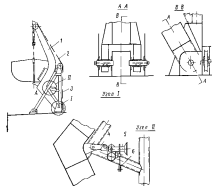
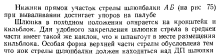


Рис. 75. Одноклазиерные пыльниками.

Стрела обычно выполняется сварной из трубчатого сечения с диафрагмами. В нижней части она имеет развалку, которая повышает устойчивость в поперечном (по отношению к шлюзобалке) направлении. Конструктивное оформление этого узла (узел I) также показано на рис. 75.

Направляющие блоки и устройства для походного закрепления стрелы в шапки распологают на станине. В рассматриваемом шашубалке станина представляет собой трехногую стойку, для основных элементов которой используются трубы

Походное закрепление стрелы осуществляется с помощью тока в наметки. При вращении рукоятки винтового привода и поворота его относительно горизонтальной оси так освобождается наметка, после чего стрела удерживается только лопарем шлюпочных талей.

Приведены некоторые данные о габаритах и весе одношарнирной шлюпбалки, рассчитанной на обслуживание шлюпки вместимостью 80 человек.

Высота стрелы над палубой — 8 м.

Высота крепления направляющих блоков на станине — 4,5 м, каждая шлюпбалка занимает участок палубы $1,5 \times 3$ м.

Суммарный вес пары шлюпбалок, отнесенный к пассажирской вместимости шлюпки, составляет 120 кг/чел.

Шлюпбалка обеспечивает горизонтальное перемещение носа стрелы до 5 м, что дает трехметровый палет, так как ДП шлюпки в походном положении отстоит от борта на 2 м. Относение горизонтального перемещения носа к высоте стрелы составляет 0,62.

Двухшарнирная шлюпбалка. Стрела двухшарнирной гравитационной шлюпбалки (рис. 76) состоит из двух шарниро соединенных рычагов. Первый этап вываливания шлюпки сходит к вращению обоих рычагов относительно неподвижного шарнира. После того как первый рычаг достиг упора на палубе и занял таким образом предельное положение, вращением второго рычага относительно промежуточного шарнира достается полное вываливание шлюпки за борт. Предельное положение второго рычага ограничивается телескопической тягой, которая укрепляется на оси неподвижного шарнира.

Составная стрела двухшарнирной шлюпбалки во форме ана логична стреле одношарнирной шлюпбалки. Конструкция про межуточного шарнира также показана на рис. 76 (сечение AA). Специальный упор ограничивает вращение второго рычага в об разном направлении. При отсутствии такого упора рычаг стрелы после начала движения мог бы складываться и дальнейшее выва ливание шлюпки стало бы невозможным.

Выполненная из труб сварная станина обеспечивает размещение направляющих блоков и походное закрепление стрелы шлюпбалки.

В табл. 11 дается сравнение основных характеристик рассчитанной шлюпбалки и одношарнирной шлюпбалки, предназначенной для обслуживания шлюпки такой же вместимости (25 человек).

Двухшарнирная шлюпбалка несколько сложнее в конструктивном отношении, однако при одинаковом вылете она имеет значительно меньшую высоту. Это преимущество особенно существенно у шлюпбалок, предназначенных для обслуживания больших шлюпок.

Складывающаяся шлюпбалка. Рассмотрим конструкцию складывающейся шлюпбалки для обслуживания шлюпки, рассчитанной

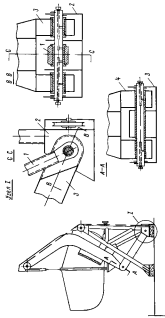


Рис. 76. Двухшарнирная шлюпбалка с складывающимися тягами: 2 — фундамент; 3 — фундамент; 4 — второй рычаг

Таблица II

Характеристики двух- и однокатковой шлюпбалки	Двухкатковая шлюпбалка	Однокатковая шлюпбалка
Высота живемильные, м	4120	5200
Шарнир в основании, м	1180	1100
Длина в основании, м	2750	1980
Высота (перемещение ДЛ Ш катков) м	3150	3300
Вес пары шлюпбалок, кг	2050	2100
Относительные высоты к вылету	1,32	1,57
Удельный вес на 1 пассажира, кг/чел	82,0	84,0

на 80 человек (рис. 77). При вываливании шлюпки стрела совершают вращательно-поступательное движение, которое полностью определяется перемещением катков по направляющим. Каток С, который в исходном положении располагается достаточно высоко, движется вниз. Каток В при вываливании стрелы проходит горизонтальную часть направляющей, после чего поднимается вверх. (Предельное положение, при котором каток С достигает упора в направляющей показано на схеме на рис. 81.)

Скорость вываливания шлюпки определяется скоростью стравливания давления (на рис. 77 он показан штрих-пунктирной линией) с бара башни шлюпочной лебедки.

Так же, как и в ранее описанных шлюпбалках, шлюпка в исходном положении опирается на кронштейны и юбльблок, которые укреплены на стреле шлюпбалки. На стреле же укреплены они двух пар катков (рис. 77, схема 88).

В первых вариантах склоняющихся си шлюпбалок для направляющих использовался обычный каткий металлический профиль. Однако позднее выяснилось, что он не обеспечивает достаточной жесткости на кручение. Были случаи, когда стрела

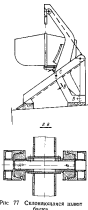


Рис. 77 Склоняющаяся шлюпбалка.

шлюпбалки падала на палубу после того как под действием реакции катков направляющие разгибалась. Составной профиль показанный на рис. 77 обеспечивает достаточную жесткость на кручение.

В табл. 12 приведены габариты и вес рассматриваемой шлюпбалки, а также характеристики однокатковой шлюпбалки предназначенной для обслуживания аналогичной шлюпки. Данные этой таблицы свидетельствуют, что склоняющаяся шлюпбалка имеет значительно меньшую относительную высоту (т. е. относительные высоты к вылету).

Таблица II
Характеристики однокатковой и склоняющейся шлюпбалок

Характеристика	Однокатковая шлюпбалка	Склоняющаяся шлюпбалка
Высота живемильные, м	7360	6200
Шарнир в основании, м	1500	930
Длина в основании, м	2920	3660
Вылет, м	5060	4800
Вес пары шлюпбалок, кг	8700	8900
Относительные высоты к вылету	1,58	1,30
Удельный вес на 1 пассажира, кг/чел	109,0	108,0

Склоняющаяся шлюпбалка имеет существенный недостаток свойственный всем конструкциям, в которых катки перемещаются по частично закрытым направляющим.

Значительное сопротивление движению катков может быть вызвано обмерзанием направляющих, их загрязнением и коррозией. Бывали случаи, когда склоняющиеся шлюпбалки по этим причинам (особенно из-за обмерзания) не срабатывали. Этот недостаток настолько серьезен, что в последнее время наметилась тенденция отказаться от шлюпбалок подобной конструкции в пользу более надежных одно- и двухкатковых шлюпбалок.

Скатывающиеся шлюпбалки (см. рис. 82). На срезах шлюпбалки укреплены катки, которые при вываливании перемещаются по одной в той же направляющей. В начальной стадии вываливания стрела движется поступательно. После того как первый каток попадает на криволинейную часть направляющей, движение становится вращательно-поступательным. Обычно эти шлюпбалки размещаются на двух палубах. Скатывающиеся шлюпбалки несколько тяжелее, чем рассмотренные выше. (Приходящийся на одного человека вес конструкции колеблется в пределах 130—

(40 кг.) В связи с тем, что катки стрелы перемещаются по частично замкнутым направляющим, надежность таких шлюпбалок не высока.

§ 35 Работа гравитационных шлюпбалок Кинематический и силовой анализ

С точки зрения удобства кинематического анализа все гравитационные шлюпбалки классифицируются на две группы:

1 — шлюпбалки у которых движение стрелы при вываливании шлюпки представляет собой вращение относительно определенной оси (одношарнирная и двухшарнирная шлюпбалки).

2 — шлюпбалки, у которых стрела совершает вращательно поступательное движение, определяемое известными траекториями перемещения двух точек стрелы (склоняющиеся и скатывающиеся шлюпбалки). Положение точек у этих шлюпбалок совпадает с осями катков а траектория — с направляющими, по которым эти катки движутся.

У всех гравитационных шлюпбалок скорость движения стрелы контролируется шлюпочной лебедкой посредством лопатя шлюпочных талей.

Целью кинематического и силового анализа является исследование пути, проходимого шлюпкой при ее вываливании и спуске, и возникающих при этом сил, скоростей и ускорений. Большой интерес представляет оценка влияния, оказываемого на характер движения такие параметры, как длина стрелы, высота над палубой направляющих блоков и т. д.

При исследовании движения шлюпки особенное внимание должно быть удалено моменту начала движения и моменту остановки стрелы.

В начальный период вываливания трение в узлах шлюпбалки возможное обмерзание, загрязнение направляющих и т. д. могут задержать движение стрелы. Это особенно опасно в тех случаях, когда приходится обеспечить движение стрелы с пустой шлюпкой (если посадка пассажиров производится после того, как шлюпка вывалена за борт).

В соответствии с современными требованиями шлюпбалка должна обеспечивать надежный спуск шлюпки даже при 15-градусном крене в сторону противоположного борта (антикрен). Это условие будет выполнено, если момент носа шлюпки и шлюпбалки относительно центра вращения превысит момент сил сопротивления (трение в узлах шлюпбалки сопротивление при движении катков и т. д.) и инерции.

В настоящее время не представляется возможным определять расчетным методом величину начального момента, необходимого для надежной работы шлюпбалки. Анализ работы шлюпбалок, положительно зарекомендовавших себя в эксплуатации позволяет

задать лишь минимальную допустимую величину начального момента. Для различных типов шлюпбалок и размеров шлюпок эти значения приведены на рис. 78. В момент должен значиться вес пустой шлюпки, который приближенно равен 0,3 веса шлюпки с пассажирами и полным снаряжением.

Рассмотрим заключительную стадию вываливания шлюпки. У гравитационных шлюпбалок скорость движения стрелы при вываливании и скорость вертикального спуска шлюпки определяются скоростью транспорта лопатя шлюпочных талей. До момента остановки стрелы лопатя шлюпки движется вместе с ее коном. После остановки стрелы шлюпка начнет спускаться вертикально. Возникающее при этом резкое изменение величины и направления ее скорости является причиной появления существенных динамических нагрузок. Иногда это может представлять опасность для находящихся в шлюпке людей.

Работа одношарнирной гравитационной шлюпбалки. В общем случае имеется параллельное движение стрелы гравитационной шлюпки в рассматриваемый момент может быть представлено как вращение вокруг неподвижного центра. При известном положении мгновенного центра легко определить направление абсолютной скорости любой точки стрелы. Для зоны, где лопатя шлюпочных талей подходит к стреле, известны направление и величина постоянной скорости (скорости транспорта лопатя шлюпочных талей) направления относительной и абсолютной скоростей. Этих данных достаточно для того, чтобы простым построением определить величину абсолютной скорости носа.

У одношарнирной шлюпбалки шарнир O является центром вращения (рис. 79). Точка B соответствует расположению неподвижного блока, а точка A — положению направляющего блока на стреле шлюпбалки.

Обозначим расстояние от блока на стреле до точки O через R а длину стрелы через L (у шлюпбалки на рис. 79 эти величины равны). Абсолютная скорость точки A направлена перпендикулярно к OA . Для определения ее величины проведем перпендикуляр к BA через точку B , соответствующую концу вектора v_B (скорость транспорта лопатя). Отложенный им на направлении аб-

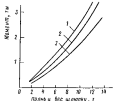


Рис. 78 Минимальный начальный момент для спуска гравитационных шлюпбалок.

— одношарнирн.; 2 — двухшарн.;
3 — склоняющаяся

содействующей скорости отрезок равен величине абсолютной скорости точки A (v_A). Абсолютная скорость v_A может быть определена по подобиям треугольника образованных векторами v_E и v_A ($\triangle ADE \sim \triangle ODA$), откуда

$$v_A = v_E \frac{R}{h} \quad (63)$$

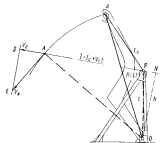


Рис. 79. Кинематическая схема однопартерной шлюпбалки

Все стороны треугольника OBA известны, то чист вспомогательность определить величину h

$$h = \sqrt{R^2(R^2 + c^2) - (R^2 - c^2)^2} / 2c$$

Следовательно

$$v_A = v_E \frac{2R}{\sqrt{2R^2(R^2 - c^2) - (R^2 - c^2)^2}} \quad (64)$$

Угловая скорость стрелы $\omega = \frac{v_A}{R}$.

Величина I является линейной функцией времени

$$I = I_0 + v_{st} t$$

где v_{st} — скорость транзита донара;

I_0 — расстояние между направляющим и отводным блоками в исходном положении.

Для пока шлюпбалки $v_A = \omega I$.

Интересующее нас тангенциальное к нормальному ускорение

$$a_t = 2v_E \frac{(R^2 - c^2)^2 - I^4}{[(R + I)^2 - c^2][(c^2 - (R^2 - I^2))^{3/2}]}; \quad a_n = \omega^2 I. \quad (65)$$

Полученные выражения позволяют сделать некоторые превью гипотетические выводы. Учитывая, что отстояние шлюпбалки от борта и ее высота при данном размере изменения мало, окононое значение в кинематике шлюпбалки приобретает кинематическое расположение подвижного A (на стреле шлюпбалки) и неподвижного B направляющих блоков. В выражениях, записанных выше, их кинематическое расположение характеризуется отрезком c (рис. 79) и длиной стрелы L (или R) (AO рис. 79). Длина донара $I = I_0 + t \cdot v_{st}$ практически будет определена этими двумя размерами. Из выражения (65) следует, что возможность комбинаций $(R + c) = L, (R - c) = I, (R - I) = c$ должна быть исключена, так как при таком положении донара не может контролировать движение стрелы и ускорение неограниченно возрастает. Чем больше значения R, c и I нарушают эти равенства, тем более равномерным становится процесс вывешивания шлюпки. Определющими в отношении выбора величин R, c и I являются начальное и конечное положения стрелы шлюпбалки. Как отмечалось выше, наибольшее интерес представляет конечное положение стрелы, когда запаска I имеет самостоятельный вертикальный спуск.

Время вывешивания является одной из основных характеристик шлюпбалки. Считая начальное и конечное положения стрелы заданными, найдем время, затрачиваемое на вывешивание (T) из соотношения

$$\begin{aligned} & I_0 - I_0 = \omega T \\ & T = \frac{I_0 - I_0}{v_{st}} \end{aligned}$$

Таким образом, время зависит не только от скорости v_{st} и от размеров основных элементов шлюпбалки.

Работа двухшарнирной гравитационной шлюпбалки. Легко убедиться, что принципиальная разница в методике расчета кинематики двухшарнирной и односшарнирной шлюпбалок нет. В обоих случаях движение стрелы представляет собой вращение относительно неподвижных шарнирных закреплений. Отличительной особенностью двухшарнирной шлюпбалки является наличие двух шарниров и связанных с этим перехода от вращения относительно точки O к вращению относительно промежуточного шарнира O_1 (рис. 80). В момент перехода (точка A_1) резко изменяется величина и направление скорости движения запаски (скорость зонка стрелы). Это объясняется изменением направления абсолютной скорости точки A при неизменном значении скорости v_E — которая, как видно из рис. 80, является проекцией абсолютных скоростей на направление AB .

О целесообразности применения двухшарнирных шлюпбалок вместо одношарнирной можно судить по приведенному на рис. 80 сравнению их вылетом. При одинаковой высоте стрельбы вылет одношарнирной шлюпбалки значительно меньше.

Гравитационные шлюпбалки второй группы (с заданным за-правлением движения двух точек). Рассмотрим склоняющиеся шлюпбалку катки которой движутся по различным направляющим. Как и в предыдущих случаях движение стрелы контроли-

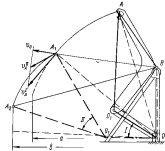


Рис. 80 Кинематическая схема двухшарнирной салебалки с вылет одношарнирной салебалки; б — двухшарнирной салебалки.

руется лопарем плоскоточных талей, скорость траектории которого считается известной.

Стрела шлюпбалки этого типа не имеет постоянного центра вращения и при вываливании катки совершают вращательно-поступательное движение. Известное направление движения двух точек, положение которых соответствует положению катков, позволяет без труда найти угловенный центр вращения и направление величины абсолютной скорости нока стрельбы (рис. 81).

Вывод аналитических зависимостей, определяющих движение стрелы, связан со значительными трудностями, поэтому весь анализ выполняется графически в такой последовательности:

1. Графически определяются величины и направления абсолютной скорости для нескольких положений нока стрельбы. Затем опре-

деляются проекции абсолютной скорости на горизонтальную и вертикальную оси для тех же положений.

2. Определяется время вываливания и строится график изменения проекций абсолютной скорости в зависимости от времени.

3. Дифференцируются графики проекций абсолютной скорости и определяется абсолютное ускорение нока стрельбы шлюпбалки. Для исследования устойчивости движения стрельбы и для определения начального момента такие нужно знать положение угловенно-

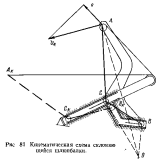


Рис. 81 Кинематическая схема склоняющейся шлюпбалки.

ного центра вращения. К факторам, способным оказать влияние на параметры движения склоняющихся шлюпбалок, следует отнести положение направляющих блоков (С и В на рис. 81), расстояние между катками (СВ) и наклон направляющих.

Вторым типом шлюпбалок с заданным направлением движения двух точек являются склоняющиеся шлюпбалки. В этой конструкции в отличие от склоняющейся шлюпбалки катки последовательно пробегают по одной направляющей (рис. 82).

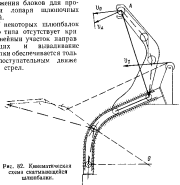
Путь стрельбы шлюпбалки можно разделить на два участка. На первом стрела движется поступательно по прямой наклонной за направляющей. На втором поступательное движение сменяется вращательно-поступательным.

Начало движения склоняющейся шлюпбалки будет обеспечено только в том случае, когда величина проекции веса шлюпки будет достаточной для преодоления трения в катках, инерции и износок

ных дополнительных сопротивления (загрязнение направляющих и т. д.).

Равномерное движение шапотки при вываливании и при переходе к вертикальному спуску может быть достигнуто за счет изменения наклона направляющих, их формы в нижней части и положения блоков для проводки лопаря шлюпочных талей.

У некоторых шлюббалок этого типа отсутствует при волнистых участках заправляющих и вываливаниях шапотки обеспечивается только поступательным движением стрел.



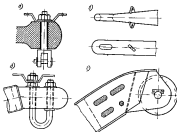
§ 36. Конструктивные элементы шлюбблоков

Стрела шлюббалки. Форма и конструкция стрелы, а также виды шарнирных закреплений были рассмотрены выше. Остановимся подробно на конструкции ноков. Для радиальных и завалывающихся шлюббалок конструкция нока стрелы должна обеспечить надежное крепление блока шлюпочных талей к удобной проводке лопаря.

Некоторые варианты этих конструкций показаны на рис. 83. В варианте а блок крепится в вилке. В связи с тем, что в положении подъема шлюббалка раскрывается оттяжками, в ноках стрел ссыновятся торником, па ноке предусматриваются специальные пазики с втулками для крепления этих частей. В следующем варианте (б) используется скоба. Иногда применяют кованый нок с проушиной для закрепления блока шлюпочных талей (вариант в).

В последнем варианте ноки неподвижного блока непосредственно закреплены на хомуте.

К конструкции ноков стрел гравитационных шлюббалок предъявляется дополнительное требование — исключить возможность спуска шапотки до момента ее вываливания за борт. Это требование имеет серьезное основание, так как если не обеспечить прочной связи шапотки со стрелой до того момента, когда стрела забьет положение, близкое к предельному, то при травлении лопаря шапотка может упасть на палубу.



Конструкция нока, показанная на рис. 84, применяется на отечественных гравитационных шлюббалках всех типов. Для за крепления шлюббалки используется рог, на который кавешивается серга шлюпочного блока. Длина и форма рога рассчитываются таким образом, чтобы блок под действием веса шапотки спадал с него при определенном угле наклона стрелы.

Для определения длины гика рекомендуется при предельном положении стрелы шлюббалки наметить положение лопаря шлюпочного блока, соответствующее крену в 15° на противоположный борт. Конец рога не должен выходить за линию, соответствующую оси лопаря, так как при этом положении стрелы шапотка должна начинать вертикальный спуск. Чтобы точно зафиксировать сергу шлюпочного блока на роге, неподвижно обойма, шарнира укреплена на ноке стрелы.

Интересная конструкция применяется на гравитационных шлюббалках фарм Nelson Trident (рис. 85). На ноке стрелы шар-

нирно укреплен фигуриный так с двумя шлюпками по сторонам. Но как навешивается пакетка шлюпочного блока. В положении по линии усилие, передаваемое от блока, стремится развернуть так в обратном по отношению к выталкиванию направлению. При достижении стрелой положения близкого к предельному, момент усилия от блока меняет знак, так под его действием разворачивается и освобождает шлюпку (это положение показано на рисунке штрих-пунктограмм).

Такелаж шлюпбалок. Бегучий такелаж шлюпбалок образует лопарь шлюпочных талей. У заваливающихся шлюпбалок стрела при выталкивании приводится в движение специальными винтовыми механизмами. Такелаж обеспечивает только вертикальный спуск шлюпки из воды; это позволяет основывать

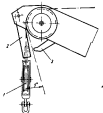


Рис. 84. Конструкция якоря гравитационной шлюпбалки.

1 — шлюпочный блок; 2 — обвяза талей.

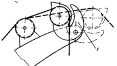


Рис. 85. Использование гравитационной шлюпбалки Nelson Trident.

1 — фиксатор троса.

многощипковые тали и значительно снизить усилие в ходовом конце лопаря при спуске шлюпки.

Об особенностях такелажа заваливающихся шлюпбалок уже говорилось при рассмотрении серповидной шлюпбалки. Отметим что условием для определения расчетного значения натяжения в лопаре шлюпочных талей является подъем шлюпки с пассажирами. Расчетное натяжение должно быть определено с учетом потеря в талях и направляющих блоках. Запас прочности находится в непосредственной связи с отношением $\frac{D}{d}$, где D — диаметр блока, а d — диаметр троса.

Как будет показано ниже (в разделе «Гибкие связи»), уменьшение диаметра троса связано с возрастанием доли изгибающих напряжений и резким уменьшением срока службы троса.

Редкое использование шлюпбалок позволяет принимать для шкинов минимальные допустимые значения $\frac{D}{d} = 15-20$.

Коэффициент запаса прочности, представляющий собой отношение разрывной нагрузки к расчетному натяжению троса, при таких значениях $\frac{D}{d}$ принимается равным 5,5-6.

Такелаж гравитационных шлюпбалок. У гравитационных шлюпбалок выталкивание стрелы в вертикальное движение шлюпки осуществляется при помощи бегущего тарапада. В этом случае использовать многощипковые тали практически невозможно. Применение талей отдельно для спуска шлюпки и для ее выталкивания значительно усложнило бы конструкцию шлюпбалки и потребовало бы двойного комплекта лебедок. Установки же единых многощипковых талей, все ветви которых проходили бы через якорь стрелы конструктивно неосуществимы.

Для такелажа гравитационных шлюпбалок используется в основном двойная основа лопаря, которая включает один подвижной блок. Коренной конец лопаря закрепляется на станине шлюпбалки а его ходовой конец подается на лебедку, обслуживающую шлюпбалку.

Рассмотрим проводку лопаря на примере одношарнирной гравитационной шлюпбалки (рис. 86).

Ходовой конец лопаря закрепляется на одной из половины бара башни шлюпочной лебедки. Пробегая отводной блок на палубе, лопарь попадает на шкивы, расположенные на основании станины, и идет вертикально вверх к шкиву направляющего блока. Дальше лопаря поступают за один из шкинов ноконого блока, пробегают шлюпочный блок и разворачиваются назад к второму шкиву ноконого блока.

Закрепляется лопарь внизу у фундамента, после того как он пройдет второй шкив направляющего блока.

Такая симметричная относительно средней плоскости шлюпбалки проводка лопаря полностью исключает скручивание стрелы шлюпбалки. На всем протяжении усилия воспринимаются двумя шкивами лопаря, что особенно важно для шлюпбалок, обслуживающих крупные шлюпки.

Одиночный лопарь может быть использован только для шлюпок вместимостью которых не превышает 40-45 человек.

Для лопарей шлюпочных талей применяются наиболее гибкие тросы, изготовленные из стальной высшей марки В.

Расчет стрелы и такелажа. Во время работы стрела гравитационной шлюпбалки подвергается действию следующих сил:

- веса шлюпки и находящихся в ней пассажиров;
- геометрических сумм натяжений в ветвях лопаря, которые пробегают расположенные на стреле блоки;

собственного веса стрелы;

различных динамических нагрузок.

Однако при практических расчетах в настоящее время не учитывают динамических нагрузок, имеющих место при спуске шлю-

лок и при их подъеме, поскольку у нас еще нет исчерпывающих теоретических и, главное, экспериментальных исследований для оценки гравитационных шлюзбалок.

Отсутствие каких-либо серийных аварий позволяет сделать вывод, что расчеты выполняемые с учетом только статических сил, и принимаемые при этом запасы прочности достаточно надежны.

Остановимся на особенностях этого расчета.

В первую очередь нужно определить напряжение в лопарях шлюзовых талей хотя бы для трех положений стрелы шлюзбалок при вывешивании шлюзки. Анализ показывает, что в большинстве случаев определяющим является предельное положение, при котором шлюзка от совместного движения со стрелой переходит к вертикальному спуску. До того момента, когда стрела достигнет упоров, ограничивающих ее движение, она удергивается лопарем. Усилие (T), необходимое для этого, может быть определено из условия, что сумма моментов всех сил относительно мгновенного центра вращения равна нулю.

При двойной основе лопаря можно определить напряжение подвижной T_n и неподвижной T_s ветвей, так как суммы их известны $T_s + T_n = T$

При подъеме

$$T_s = \frac{T_n}{\eta^2} \quad (\text{лопарь на зоне пробегает три шкива})$$

$$T_n = \frac{\eta^2 T}{1 + \eta^2}$$

$$T_s = \frac{T}{1 + \eta^2} \quad (66)$$

При спуске $T_n = \eta^2 T_s$:

$$T_s = \frac{T}{1 + \eta^2}$$

$$T_n = \frac{\eta^2 T}{1 + \eta^2}. \quad (67)$$

С точки зрения расчета лопаря подъем стрелы является определяющим, так как усилие в нем дополнительно возрастает за счет направляющих блоков на пути лопаря к лебедке. При вывешивании шлюзки они оказывают разгружающее действие.

После того как стрела достигла упоров, усилие в лопаре определяется только весом шлюзки с учетом потерь в шкивах и блоках. При двойной основе лопаря одна из его ветвей остается неподвижной и напряжение в ней может быть определено следующим образом

При подъеме шлюзки

$$T = \frac{T_n}{\eta} = P$$

откуда

$$T = \frac{\eta P}{1 + \eta} \quad (68)$$

Напряжение подвижной ветви

$$T_n = \frac{P}{1 + \eta} \quad (69)$$

после шкива из нок

$$T_s = \frac{P}{\eta(1 + \eta)} \quad (70)$$

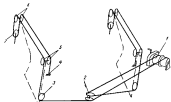


Рис. 86. Схема тягового приводного шлюзобалки.
1 — анфаза; 2 — нижний блок; 3 — верхний блок лопаря; 4 — направляющие механизмы блоков на стреле; 5 — шкивы на стреле; 6 — направляющие блоки на стволе; 7 — кинематический блок.

Таким образом, усилие в лопаре между стрелой и направляющим блоками (см. рис. 86) будет

$$T_s + \frac{T_n}{\eta} = P \frac{1 + \eta^2}{\eta(1 + \eta)} \quad (71)$$

При спуске шлюзки

$$T_s = \frac{P}{1 + \eta} \quad (72)$$

$$T_n = P \frac{\eta}{1 + \eta} \quad (73)$$

Усилие в лопаре между поком и направляющим блоком

$$T = T + \eta T_n = P \frac{1 + \eta^2}{1 + \eta} \quad (74)$$

Для определения доли, приходящейся на шлюзбалку от веса шлюзки и пассажиров, можно использовать формулу

$$P = 0.5(Q_{\text{сп}} + 1.1Q_{\text{д}}) + Q_1 \quad (74)$$

где $Q_{\text{сп}}$ — спусковой вес шлюпок; равный весу шлюпок ее оборудования и снабжения

Q — вес людей;

Γ — коэффициент, учитывающий неравномерность распределения пассажиров

Q_3 — вес блоков.

Во всех типах гравитационных и заваливающихся шлюзобалок стрела является статически определенной конструкцией, для которой знайки изгибающих моментов, осевых и перерывающих сил могут быть построены достаточно просто.

При определении момента сопротивления поперечного сечения стрелы необходимо обеспечить 2,5-кратный запас прочности по отношению к пределу текучести материала.

Размер тросов бегущего тягача при отношении $\frac{D}{d} > 20$ определяют исходя из 5,5—6-кратного запаса прочности по отношению к разрывной нагрузке.

§ 37. Лебедки шлюпочного устройства

Лебедки шлюпочного устройства должны обеспечить спуск на воду и подъем спасательных шлюпок с находящимися в них пассажирами. Если лебедка обслуживает гравитационную шлюзобалку, то она осуществляет как выталкивание, так и спуск шлюпки на воду. При обслуживании заваливающихся шлюзобалок лебедка контролирует только вертикальное движение шлюпок. Так как вертикальный спуск шлюпки всегда проходит под действием собственного веса, нужно обращать особое внимание на надежность торможения и ограничения скорости шлюпки.

Следует учесть, что для спуска шлюпок на воду отводится самое минимальное время, а время ее подъема, как правило, не ограничивается. В свою очередь, при подъеме шлюпок лебедки должны развивать значительные усилия. Таким образом, условия работы в первую спуска шлюпки определяют только средства торможения лебедки, а мощность привода лебедки определяется условиями подъема шлюпок. Обычно средства торможения включают ручной тормоз, который задерживает вращение барабана лебедки и освобождает его в нужный момент. Максимальная скорость вращения барабана ограничивается, как правило, центробежным тормозом.

Скорость шлюпки при спуске ограничена в довольно широких пределах (20—50 м/мин). Скорость при подъеме имеет только одно ограничение: необходимо, чтобы она превышала скорость подъема водонепроницаемого склона. Согласно рекомендации академика В. Л. Позднякова для этого вполне достаточна скорость 10 м/мин.

По ряду признаков наливочные лебедки делятся на ручные, безмоторные и моторные. Поскольку механизмы шлюпочного устрой-

ства используются сравнительно редко, лебедки могут не иметь специальных двигателей.

Часто ручной привод может быть применен лишь для подъема небольших шлюпок (рис. 87, а). Для средних шлюпок применяются безмоторные лебедки, снабженные устройствами позволяющими использовать другие валовые механизмы: грузовые лебедки, механизмы шарнирного устройства и т. д.

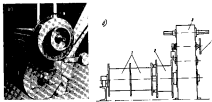


Рис. 87. Шлюпочные лебедки: а — ручная; б — безмоторная:
1 — барабан; 2 — механизм барабана; 3 — редуктор; 4 — тормоз

Барабан безмоторной лебедки (рис. 87, б) разделен на две части: основную и вспомогательную. Специальный трос (хвостовик), намотанный на вспомогательный барабан, передается на ближайшую лебедку достаточной мощности в таким образом обеспечивает работу безмоторной лебедки.

Лебедки со специальными двигателями предусматриваются для обслуживания спасательных шлюпок вместимостью 60 человек и более.

§ 38. Проверочный расчет склоняющейся шлюзобалки Численный пример

В соответствии с «Правилами классификации и постройки морских судов. Часть IV. Спасательные средства» на транспортном судне установлена пластмассовая спасательная шлюпка. Общее число пассажиров в экваже 73 человека.

Основные данные шлюпки: длина $L = 8,5$ м; ширина $B = 3,0$ м; высота борта $H = 1,2$ м; расстояние между осями гаков — 7,5 м; максимальный вес (с людьми и снабжением) — 8,5 т.

Для обслуживания шлюпки принимается склоняющаяся шлюзобалка типа ШБС8, основные размеры которой показаны на рис. 88

Цель расчета — оценка возможности использования плавающей шлюпбалки с учетом, что вес залипки несколько превышает ее номинальную грузоподъемность.

Нагрузка действующая на шлюпбалку.

$$P = 0.6(Q_m + 1.1Q_b) + Q_1$$

где Q_m — спускной вес — 3 тс;
 Q_b — вес людей — $73 \times 75 = 5475$ кг (5.5 т);
 Q_1 — вес балласта — 0,2 т.

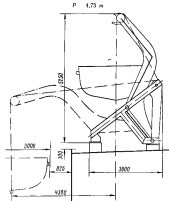


Рис. 88. К расчету пропадения шлюпбалки

Вес стрелы шлюпбалки $Q_m = 0.55$ т.

Последовательно производится в то время, когда шлюпка находится в положении плавания, потому что P действует на струю шлюпбалки по всем протяжкам залипки шлюпки.

Последовательность при движении стрелы се шлюпкой. На рис. 89 показаны три положения стрелы, для которых производится расчет ускажи в лодке. Точки O_1 , O_2 и O_3 представляют собой изгибающие центры вращения стрелы шлюпбалки. Для определения T используются равенства между моментами всех сил относительно изгибающего центра.

Положение I

$$\sum M_O = P \cdot 15 - Q_m \cdot 0.8 + T \cdot 14 = 0$$

$$T = \frac{1}{14} (4.73 \cdot 15 - 0.55 \cdot 0.8) = 5.4 \text{ т}$$

Все размеры даны со схемы (рис. 89).

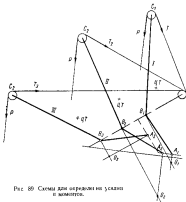


Рис. 89. Схемы для определения ускажи в моментах.

Положение II

$$\sum M_O = P \cdot 35 - Q_m \cdot 18 + T \cdot 32 = 0$$

$$T = \frac{1}{32} (4.73 \cdot 35 - 0.55 \cdot 18) = 4.76 \text{ т}$$

Положение III

$$\sum M_{O_3} = -P \cdot 386 - Q_m \cdot 11 + T \cdot 23 = 0$$

$$T = \frac{1}{23} (4.73 \cdot 386 + 0.55 \cdot 11) = 8.2 \text{ т}$$

В предложенном положении (III) усилие в неподвижной лопасти упора равно при вычислении

$$T_0 = \frac{1}{1 + \eta^2} T = \frac{1}{1 + 0.96^2} \cdot 82 = 4.85 \text{ т}$$

Эпюры передачи балочных сил, т

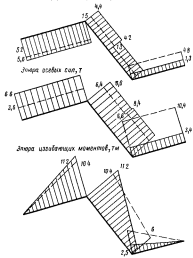


Рис. 60 Эпюры сил и изгибающих моментов для стрелы шлюпбалки при подъеме стрелы со склонкой

$$T_0 = \frac{\eta^2}{1 + \eta^2} T = \frac{0.96^2}{1 + 0.96^2} \cdot 82 = 3.85 \text{ т}$$

В предыдущем расчете предполагалось, что стрела находится в положении, близком к предложенному, и подвергается динамике. Когда стрела достигла упора, изменяется и задомен величина длины стрелы

$$T_0 = \frac{P}{\eta(1 + \eta)} = \frac{4.73}{0.96(1 + 0.96)} = 2.0 \text{ т}$$

Суммарное усилие в трех лопастях упора

$$T = P \frac{1 + \eta^2}{\eta(1 + \eta)} = 4.84 \text{ т.}$$

Таким образом, расчетное усилие $T_0 = 4.20$ т соответствует для лодки тому случаю, когда стрела перемещается вместе с плавающей загруженной шлюпкой.

Следуя и замечаниям, деболтирующим по определению амплитуды. Чтобы проверить стрелу шлюпбалки, рассмотрим ее предельные положения в двух случаях: I — когда стрела со склонкой поднимена на лодке и II — когда концы стрелы дотыкаются упоров, а плавающие лодки скрещиваются взаимной P . При этом упростим форму стрелы, занесив ее в ложной линии (см. рис. 68).

I случай (стрига поднята).

Для определения реакции R_d составим уравнение изменивших относительные зоны II

$$\sum M_A = P \cdot 3.3 - T \cdot 1.65 + Q \cdot 0.8 - R_d \cdot 0.7 = 0$$

Очевидно

$$R_d = \frac{1}{0.7} (4.73 \cdot 3.3 - 82 \cdot 1.65 - 9.55 \cdot 0.8) = 36 \text{ т}$$

Для определения второй реакции

$$\sum M_A = P \cdot 4.96 - T \cdot 1.55 + Q \cdot 2.45 - R_d \cdot 1.55 = 0$$

$$R_d = 7.8 \text{ т}$$

Эпюры перерезывающих сил, сеймы сил и изгибающих моментов показаны на рис. 90.

II случай (стрига достигла упора).

Усилие в зонах лодки между стрелой и неподвижными баками

$$T = P \frac{1 + \eta^2}{\eta(1 + \eta)} = 4.73 \frac{1 + 0.96^2}{0.96 \cdot 1.96} = 4.84 \text{ т}$$

Для определения величины реакции R_d составим уравнение моментов

$$\sum M_A = P \cdot 3.3 - T \cdot 1.65 + Q \cdot 0.8 - R_d \cdot 0.7 = 0;$$

$$R_d = 11.5 \text{ т}$$

Чтобы найти проекции реакции R_d составим уравнение моментов к проекции всех сил на линию АБ:

$$P \cdot 4.85 + Q_{AB} \cdot 2.45 = T \cdot 1.55 - R_d \cdot 1.55 \quad R_d = 0.90 \quad 0$$

$$3.8 \cdot 0.2 - R_d' \cos 63^\circ + R_d' \cos 25^\circ = 19.4 \quad 0$$

$$R_d = 7.4 \text{ т.}$$

$$R_d' = 11.25 \text{ т.}$$

Следуя и замечаниям, деболтирующим по стволам шлюпбалки. Рассмотрим для проверки предельные и промежуточные, показанные на схеме (запасом II, рис. 68).

Рассмотрим уравнение статику (рис. 86) как равенство с использованием усилий в месте заданных погоний, состоящим на основе теории трех моментов системы уравнений для определения неизвестных M_1 ; M_2 и M_3 :

$$\frac{M_1 l_1}{3EI} + \frac{M_2 l_2}{6EI} = 0;$$

$$\frac{M_1 l_1}{3EI} + \frac{M_2 l_1}{3EI} + \frac{M_2 l_2}{3EI} + \frac{M_3 l_3}{6EI} = 0.986 \frac{P l_1^2}{6EI};$$

$$\frac{M_2 l_1}{3EI} + \frac{M_3 l_2}{6EI} = 0.986 \frac{P l_1^2}{6EI}.$$

Коэффициенты: $M_1 = -0,435$ кн; $M_2 = 0,37$ кн; $M_3 = 2,5$ кн. Стремя за группы для промежуточного положения стрелы показана на рис. 91. Система уравнений для определения неизвестных моментов:

$$\frac{M_1 l_1}{3EI} + \frac{M_2 l_2}{6EI} = \frac{P l_1}{10EI};$$

$$\frac{M_1 l_1}{3EI} + \frac{M_2 l_1}{3EI} + \frac{M_2 l_2}{3EI} + \frac{M_3 l_3}{6EI} = \frac{P l_1}{10EI};$$

$$\frac{M_2 l_1}{3EI} + \frac{M_3 l_2}{6EI} = 0$$

Ее корни:

$$M_1 = 0, 90 P l_1 = 2,8 \text{ кн},$$

$$M_2 = 0,975 P l_1 = 1,4 \text{ кн},$$

$$M_3 = -0,035 P l_1 = -0,7 \text{ кн}$$

Для определения величины P было составлено уравнение моментов относительно точки A_1 (рис. 89). Эквивалентные силы и изгибающие моменты см. на рис. 90.

В связи с тем, что стрела ставится в постоянное, расчетное значение нагрузки будет:

$$M = 2,8 \text{ кн}, \quad M = 2,5 \text{ кн}$$

$$N = 5,7 \text{ кн}, \quad N = 6,05 \text{ кн}$$

Для стрелы шлюпбалка наиболее опасным является изгиб стрелы у конца верхнего промежуточного участка. В этом сечении изгибающий момент

$$M_{\max} = 11,2 \text{ кн}$$

сжимающая сила

$$T_c = 68 \text{ кн}$$

Стрела имеет коробчатое сечение со следующими характеристиками

$$W = 1500 \text{ см}^3$$

$$F = 86 \text{ см}^2$$

Максимальные напряжения

$$\sigma = \frac{M_{\max}}{W} + \frac{T_c}{F} = \frac{11,2 \cdot 10^4}{1500} + \frac{68 \cdot 10^4}{86} = 805 \text{ кг/см}^2 < 30$$

$$[1] = 900 \text{ кг/см}^2.$$

Характеристики сечения стойки (для изгиба):

$$W = 776 \text{ см}^3$$

$$F = 100 \text{ см}^2$$

Максимальные напряжения при изгибе стойки:

$$\sigma = \frac{M}{W} = \frac{2,8 \cdot 10^5}{776} = 365 \text{ кг/см}^2 < [0].$$

Таким образом, рассматриваемая шлюпбалка вполне может быть исправной базой для обслуживания яхты спасательной вышкой.

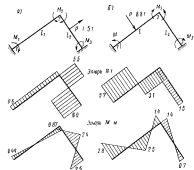


Рис. 91. Эквивалентные силы и моменты для сечений

5.39 Некоторые оригинальные конструктивные типы шлюпбалок

Каждый из рассмотренных выше типов шлюпбалок имеет свои недостатки. Так, одношарнирные шлюпбалки просты в изгидении, но у них очень высокая стрела, у склоняющейся шлюпбалки стрела значительно ниже, но она неадекватна в работе; тот же недостаток у скатывающейся шлюпбалки.

На рис. 92 приведен интересный вариант скатывающейся шлюпбалки, у которого стрела, направляющие к троцовой пропеллеру расположены под палубой.

У гравиметрической шлюпбалки «Девоз» (рис. 93) разработанной английским инженером Д. Девонпортом, на всем протяжении пыталки шлюпка прижата к выступам на кронштейне тележки.

Также же образом шлюпка хранится в походном положении. Применение шлюпбалки Девоз позволяет посадить людей в шлюпку в любом месте — от походного положения до выноса шлюпки за борт. Контролировать все операции может один из членов экипажа прямо из шлюпки.

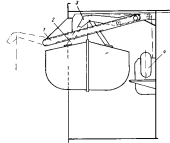


Рис. 92. Подъемная скатывающаяся дюза балки.

1 — кранштейн; 2 — гирька; 3 — яхта; 4 — струя; 5 — валик;

Лебедка располагается на специальной платформе, сплюснутое между обеими балками, что значительно упрощает проводку тяге ложа. Шлюпбалка не очень высока, но она все же занимает зна чительную палубу. Большим преимуществом является система закрепления, исключающая колебания шлюпки при качке и позволяющая нести шлюпку за бортом. На месте установки шлюпбалки палуба освобождается от механизмов шлюпочного устройства и бегущего таеклада.

Отметим некоторые оригинальные конструкции шлюпбалок появившиеся в последние годы.

Шлюпбалка «Vremdelen» (рис. 94). Эта конструкция пред ставляет собой любопытный вариант скатывающейся шлюпбалки. Она позволяет спустить шлюпку практически при неограниченном крене. Тележка несущая шлюпку скатывается в воду по борту

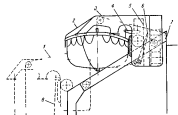


Рис. 93. Шлюпбалка «Девоз».

1 — яхта; 2 — гирька; 3 — яхта; 4 — регулятор скорости пуска тягового; 5 — ролик яхты яхты; 6 — направляющие; 7 — приспособление регулятора скорости пуска.

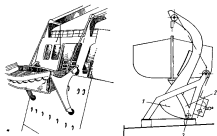


Рис. 94 Скатывающаяся шлюпбалка «Vremdelen».

1 — опора; 2 — опорно-подъемная; 3 — каток

судна. Освобождение шлюпки происходит в тот момент, когда она полностью находится на плаву.

У гравимашинальной схемы шлюпбалки «Ведан» (рис. 96) стрела имеет в нижней части сектор, который при выдвижении шлюпки прокатывается по укрепленной на палубе рейке. Движение стрелы контролируется перемещением катка по направляющей. За счет смещения стрелы к борту такая шлюпбалка даже при невысокой стреле обеспечивает достаточный плавет.

Шлюпбалка типа ROS (рис. 96) в кинематическом отношении должна быть включена во вторую группу, так как траектории движения двух ее точек

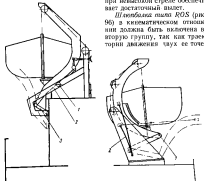


Рис. 96. Шлюпбалка типа ROS.
1 — каток; 2 — изворачивающая; 3 — ригель

Рис. 97. Гравимашинальная шлюпбалка на верфи Boelberg.
1 — секторные сдвоенные ролики
2 — противовесная тяга.

известны. Стrelа шлюпбалки имеет каток, который перемещается по направляющей. Нижний конец стрелы при помощи рычага совершает вращательное движение. Шлюпбалка ROS несколько надежнее, чем обычные склоняющиеся так как один каток а не заменен шарнирами. Однако из-за возможного обмерзания катка, сохранившегося в конструкции, шлюпбалка не может быть рекомендована для установки на судах, плавающих в высоких широтах.

Гравимашинальная шлюпбалка верфи Boelberg (ГДР). Эта шлюпбалка (рис. 97) представляет собой разновидность двухшар-

шарной шлюпбалки, то в отличие от конструкции, применяемой в нашей отечественной практике, промежуточный шарнир здесь вынесен за ДП шлюпки. Предельное положение стрелы при выдвижении шлюпки ограничивается складной тягой.

Принятое для этой шлюпбалки положение в отношении длины рычагов позволяет несколько повысить относительный вылет т. е. отношение вылета к высоте стрелы.

Шлюпбалка инженера Мининича. На некоторых судах гравимашинальные шлюпбалки не могут быть использованы из-за их боль-

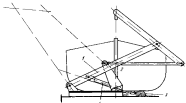


Рис. 98. Шлюпбалка инженера Мининича.
1 — рычаг; 2 — избыточка; 3 — изгиб; 4 — гидроцилиндр.

шой высоты. В конструкции инженера Мининича отстояние пока шлюпбалки от палубы лишь незначительно превышает высоту шлюпки, расположенной на кильблоках (рис. 98). Шлюпбалка представляет собой уравновешенный четырехзвенник, один из звеньев которого приводится в движение гидроприводом. Нижняя шлюпбалка перемещается практически горизонтально, что позволяет уменьшить мощность привода. Отношение вылета шлюпбалки к ее высоте — 1,5.

§ 40. Хранение и закрепление шлюпок из-заходному

При проектировании средств обеспечивающих хранение и закрепление шлюпок, и при выборе места расположения шлюпок должна преследоваться одна основная цель — свести до минимума возможные задержки при спуске шлюпки на воду.

Шлюпки вместе с обслуживающими их шлюпбалками могут быть размещены на палубе, простирающейся до борта судна, на палубе рубки и на кавесной палубе специально предназначенной для установки шлюпок.

При расположении шлюпбалки на палубе у борта положение шлюпки по высоте в большой степени определяется типом ограждения палубы. Самое низкое положение шлюпки можно обеспечить при съемном листовом ограждении или при расположении шлюпки между листовыми ограждениями и бортом (рис. 99, а).

Если шлюпбалка устанавливается перед фальшбортом, то длина нижней части стрелы должна быть значительно увеличена, так как при спуске шлюпку надо переносить через фальшборт. Из-за большой высоты шлюпбалки это варният применяется на судах очень редко.

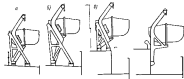


Рис. 99. Расположение шлюпбалок: а — за листом; б — перед фальшбортом; в — из рубки со ставкой; г — из рубки без ставки.

Расположение шлюпбалок на палубе рубки показано на рис. 99, в и г. Низкое положение шлюпки (рис. 99, г) достигается за счет смещения шарнирного крепления стрелы ниже палубы рубки. При этом несколько затрудняется проход у борта. Иногда, чтобы иметь место для расположения шлюпок, палуба рубки специально продлевается до борта. Особенно удобно располагать на таких палубах скатывающиеся шлюпбалки, настрой винты которых могут быть сопряжены с рострами.* Сокращение угла между линией палубы и бортом позволяет уменьшить длину стрелы у шлюпбалок других типов и поместить шлюпку ниже обычного.

При хранении шлюпки могут быть расположены и закреплены на стреле шлюпбалки или за палубой. У гранитационных шлюпбалок шлюпки размещаются на стреле или на специальной тележке в зависимости от типа шлюпбалки. В этих случаях шлюпка, как правило, опирается на кронштейны и кильблоки, который поддерживает небольшой участок по обводу шлюпки.

Расположение спасательных шлюпок на палубных кильблоках может иметь место только при наличии заваливающихся шлюп-

* Родимые называются полуобъемами подкрепляющие продольными до борта шлюпки кильблоки.

балок. Как отмечалось выше, исключение представляет S-образные кильблока.

Палубные кильблоки (рис. 100, а) представляют собой деревянные подушки с мягкой прокладкой, которые закрепляются на деревянных или металлических фундаментах. Форма верхней части кильблока должна соответствовать обводам шлюпки на том участке, которым она опирается на кильблок. Однако при такой форме кильблока шлюпку перед вываливанием приходится под-

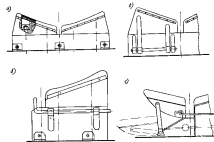


Рис. 100. Типы кильблоков: а — плоскодонные; б — спайдеровские; в — спайдеровские с трансом; г — скользящие.

нимать, что значительно затрудняет ее спуск. Этого можно избежать, если расположить кильблоки только с одной стороны, как показано на рис. 100, б. В этом случае после отдачи аварийного киля движению шлюпки к борту ничто уже не препятствует

На рис. 100, в показан кильблок, одна из плавсигнатур которого откладывается и освобождает путь шлюпке. Такой кильблок может быть расположен только у оконечностей шлюпки. На этом же рисунке показан кильблок, который может быть расположен в месте, где обводы шлюпки близки к гранитарическим (рис. 100, г). При отдаче задерживающего устройство подвижная часть кильблока как бы скользит, после чего шлюпка может перемещаться в горизонтальном направлении.

Каждая спасательная шлюпка должна иметь надежное погодное крепление, полностью исключающее переворачивания шлюпки имевшиеся какой судна или другими причинами. Счастье ис-

пользуемая для крепления шлюпки (найтов) должна иметь соединения, позволяющие быстро освободить шлюпку.

Для изготовления найтов используются стальные тиги, сталь и трёссы.

Если шлюпка расположена на палубе, то в найт обязательно вкручивается глаголь-гак или другие разъемные устройства, линейные и трёсовые талрепы для выявления слабины. Достоинством трёсовых талрепов является то, что одновременно может служить средством быстрой отдачи.

На рис. 101 приведены варианты возможной компоновки найтова для раскрепления шлюпки на палубе.

Найты гравитационных шлюпбалок практически не отличаются от найтов, применяемых при хранении шлюпок на палубе.

Как правило они закрепляются на курке, поворот которого совмещается с отдачей походного закрепления стрелы шлюпбалки. Конструкция курка аналогична конструкции показанной на рис. 101.



Рис. 101. Найт *а* — с закреплением за курок *б* — с тросом-стяжкой.

§ 41. Средства спуска и подъема спасательных плотов

При оценке спасательных средств коллективного пользования (см. стр. 98) мы уже отмечали, что существенным недостатком спасательных плотов является способ посадки пассажиров только

после спуска плота на воду. В последнее время появилась практика посадки в которые осуществляется на борту судна. Спуск на воду таких плотов обеспечивается специальными кранами (рис. 102) и производится за один шкентель, так как небольшие размеры плотов и концентрация нагрузки в средней части (по периметру расположаются объемы, обеспечивающие плавучесть) исключают появление большого хrena при их спуске.

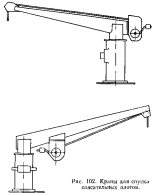


Рис. 102. Краны для спуска спасательных плотов.

Пока еще не накоплен достаточный опыт использования силовых средств этого типа, но не вызывает сомнений, что на судах с большим количеством пассажиров и многочисленным экипажем применение их имеет большие перспективы.

Рассмотрим последовательность выполнения спасательных операций.

Перед спуском плота стрела крана разворачивается в сторону борта, который на некотором протяжении (2—3 м) не имеет ограждения. Спасательный плот крепится к тросу, выносится за борт и автоматически надувается. Пассажиры занимают места на плоту после чего его спускают на воду. Скорость спуска колеблется в пределах 30—40 м/мин. При уменьшении напряжения шкентеля так

Таблица 13

Снабжение пассажиров в грузовых судах спасательными средствами

Категория судов по классу	Количество людей, обеспечиваемое спасательными средствами 5% к общему количеству людей на судне		
	пассажирами с каждого борта	специальными людьми	заборщики
Пассажирские суда			
I	50	25	5
II	90	25	5
III	90	15	5
IV		100	
Грузовые суда			
I	100	80	
II	100	80	
III	100	25	—
IV		100	—

дого борта. Эти шлюпки должны постоянно находиться в состоянии полной готовности.

В нормах снабжения судов спасательными средствами оговаривается необходимость иметь с каждого борта по одной моторной шлюпке, если число людей превышает 30.

Если число людей превышает 200, одна из шлюпок должна иметь радиостанцию, если же число людей превышает 1500, радио станции должны иметь две шлюпки. Нормируется и количество индивидуальных спасательных средств. Каждый человек, находящийся на борту, должен иметь спасательный жилет. Число запасных жилетов составляет 5% от общего числа людей.

Спасательные костюмы-комбинезоны предусматриваются для команды одной дежурной шлюпки.

автоматически отдается и поднимается вверх, где к спуску под готовывают следующий плот.

Допускается выполнение спасательных операций при крене достигающем 25°.

На рис. 102 показаны схемы двух вариантов края борта предка значенных для спуска плотов.

ГЛАВА 10

СПАСАТЕЛЬНЫЕ СРЕДСТВА И ИХ РАЗМЕЩЕНИЕ НА СУДАХ

§ 42. Нормы снабжения судов спасательными средствами

Действующие в настоящее время нормы снабжения судов спасательными средствами («Правила классификации и постройки морских судов Регистра СССР, часть IV. Спасательные средства») созданы в соответствии с постановлениями международной «Конвенции по охране человеческой жизни на море» 1960 года. Практически эти нормы распространяются на все суда, которые разделяются на четыре категории в зависимости от района плавания.

Снабжение спасательными средствами непосредственно связано с остальными вопросами обеспечения живучести судна. На пример, если судно спроектировано таким образом, что непотопляемость при затоплении одного отсека не обеспечена, то количество спасательных средств соответственно увеличивается.

Пассажирские суды. Большое количество пассажиров и членов экипажа на пассажирских судах не позволяет разместить такое количество шлюпок, которое могло бы обеспечить всех без исключения местами в шлюпках каждого борта. Последнее положение весьма существенно, так как могут возникнуть условия, препятствующие спуску шлюпок одного борта (большой крен, пожар и т. д.), и в идеальном случае все пассажиры и члены экипажа должны уместиться в шлюпке другого борта.

Однако даже на пассажирских судах первой категории удается разместить только половину необходимого числа шлюпок.

В табл. 13 приводятся нормы обеспечения людей спасательными средствами различного типа.

При эксплуатации пассажирских судов из прибрежных линий, особенно в периоды наибольшего потока пассажиров, можно допустить некоторое отступление от этих норм. Если число людей превышает допустимые нормы, то всего лишь 75% их общего числа обеспечивается местами в шлюпках. При этом спасательных плотов и плавучих приборов должно быть достаточно, чтобы вместить соответственно 35 и 5% общего количества людей на судне.

Для немедленного оказания помощи людям, случайно оказавшимся за бортом, выделяется по одной дежурной шлюпке, леж-

Грузовые суда, ледоколы спасатели, буксиры и другие атомогенные суда. Суда этих типов характерны тем, что на их борту обычно находится сравнительно небольшое количество людей. Это позволяет обеспечить всех членов экипажа местами в шлюпках каждого борта (чего не удается достичь на пассажирских судах).

Для малых грузовых судов, относящихся к III категории слаб износ, допускается сокращение количества спасательных шлюпок в два раза при одновременном увеличении вместимости плотов до 100% от общего количества людей. Это правило относится к всем магистральным судам, не совершающим заграничные рейсы, с той разницей, что число мест в спасательных плотах принимается равным 50% от общего числа экипажа.

Для магистральных судов всех категорий снабжения также применяется норма, согласно которой все члены экипажа должны быть обеспечены местами в шлюпках каждого борта. Спасательные шлюпки магистральных судов должны иметь специальную конструкцию предусматривающую предохранение людей при прохождении зоны горизонтальной нефти.

Во время пожара сообщение между надстройками судна может быть нарушено, поэтому для средних и больших танкеров в нормах слабления имеется указание о необходимости иметь четыре шлюпки, из которых две должны размещаться в носу, а две — на средней надстройке. Если средняя надстройка отсутствует, все шлюпки должны размещаться в носу. Иногда в этом случае дополнительно предусматриваются спасательные плоты.

Нормы слабления грузовых и вспомогательных судов индивидуальными средствами аналогичны нормам, принятым для пассажирских судов, с той разницей, что спасательные костюмы-комбинезоны предусматриваются для одной морской вахты на глубокой команда.

§ 43 Размещение спасательных средств

Размещение спасательных средств должно отвечать определенным требованиям, из которых основным является быстрая выполнение спасательных операций.

Все подчинено этой цели.

Прежде всего нужно организовать быструю посадку людей в шлюпки. Особое внимание следует обратить на расположение шлюпок на судне, расположение мест посадки в шлюпках, ширину проходов, конструкцию ограждений, освещение палуб и шлюпок. Например, на пассажирских судах ширина проходов в шлюпках должна быть не меньше 0,9 м, если количество мест в шлюпках не более 50. С увеличением числа мест в шлюпках до 200 ширину проходов делают до 1,2 м.

Посадка пассажиров обычно осуществляется после вывешивания шлюпки за борт. Посадка в шлюпки, стущенных за воду

требует большой спорозки, поэтому, как правило, она на пассажирских судах не допускается. Чтобы избежать различных помех при спуске, рекомендуется располагать шлюпки на одной палубе. Размещение на разных палубах допускается лишь в том случае, если принятые меры, исключающие задержки при одновременном спуске шлюпок.

Причиной задержек при спуске (или даже аварии) может быть недостаточно продуманная конструкция того или иного элемента судна, например открывающиеся наружу и расположенные в зоне спуска шлюпки аллюминиевый или лацпорт.

Необходимость сократить время спуска шлюпок и одновременно обеспечить максимальную надежность спасательных операций заставляет конструкторов располагать шлюпки возможно ниже. Однако низкое расположение делает шлюпки уязвимыми для воздействия волн. Последнее является настолько существенным, что шлюпки как правило размещают не выше второго пруса надстроек.

Существуют определенные ограничения при расположении шлюпок по длине судна. При спуске в районе кормового оконечного стоя судна шлюпки могут быть повреждены, если судно имеет ход. В корме большую опасность представляют винты. Поэтому рекомендуется располагать шлюпки не ближе, чем на одну четверть длины судна от форштевня; в корме шлюпки не должны попадать в зону действия винтов.

Все сказанное относится и к спасательным плотам, посадка в которые осуществляется на борту судна. Все плоты размещают с таким расчетом, чтобы они могли бесприятственно всплыть при погружении судна.

Спасательные средства индивидуального пользования должны быть легко доступны для людей: места их размещения следует ясно обозначить.

РАЗДЕЛ ТРЕТИЙ

Грузовое устройство

ГЛАВА 11

ОБЩИЕ СВЕДЕНИЯ О ГРУЗОВОМ УСТРОЙСТВЕ СУДНА

§ 44 Назначение и роль грузового устройства

Грузовое устройство судна предназначено для выполнения всех операций по погрузке, разгрузке и перемещению грузов на судне. Перевозка различных грузов является основной функцией балльного класса морских судов, поэтому производительность их грузовых средств в значительной степени определяет эффективность судна в целом.

О роли грузовых средств морского транспортного судна можно судить из следующих примеров. При линии рейса в 12 000 морских миль затраты на выполнение погрузочно-разгрузочных операций составляют около 26% всех судовых расходов, а при рейсе в 1000 миль они возрастают до 50%.

Несовершенство грузовых средств и плохая организация по грузочно-разгрузочным работам приводят тому, что современные судоходные суда зачастую проводят в портах больше половины всего эксплуатационного времени. Объяснить это можно тем, что при повышении эффективности судов основной упор делается на совершенствование формы корпуса и увеличение скорости судна и очень мало внимания уделяется совершенствованию грузовых средств и организации грузовых операций. Только в последние годы заметился существенный сдвиг в решении проблемы, связанный с повышением эффективности судна как транспортного средства. Все перевозимые судами грузы подразделяются на несколько категорий:

- 1 Жидкие грузы, перевозимые наливом.
- 2 Массовые (насыщенные или иловаточные) грузы
- 3 Лесной груз.
- 4 Генеральный груз.

Разница между их свойствами настолько велика, что методы выполнения погрузочно-разгрузочных работ так разнообразны, что каждой категории груза должен соответствовать определенный конструктивный тип судна.

В курсе «Судовые устройства» не рассматриваются грузовые средства судов, предназначенных для перевозки жидкого грузов наливом. Эти средства изучаются в курсе «Судовые системы».

Насыщенные или иловаточные грузы — зерно, соли, уголь, руда и концентраты руд, удобрения и т. д. — перевозятся насыщено непосредственно в трюмах и имеют как правило, большие грузовые потоки.

В последние годы строят все большее количество крупнотоннажных судов для перевозки массовых грузов — углевозы, рудовозы и т. д.

Специфика лесного груза заключается в большой удельной по грузовой кубатуре (объем, занимаемый тонной груза). При залипании лесными грузом только трюмов на судне остается значительный резерв грузоподъемности, поэтому до 40% общего объема груза размещается на палубе.

Некоторые виды лесного груза — строевой лес, пиломатериалы — имеют настолько большие размеры, что приходится увеличивать длину трюмов и люков.

Среди рассмотренных в настоящем разделе грузовых средств основное место занимают грузовые средства судов, предназначенных для перевозки лесного и генерального грузов.

Пришло различать следующие разновидности генеральных грузов:

Обычный генеральный груз. К нему относятся грузы в ящиках, бочках, пакетах, тюках и другой упаковке с весом подъема не более 3 т.

Грузы без упаковки или свободный груз, в которых включается прокат различных металлов, мотки проволоки и т. д.

Специальный генеральный груз, отличающийся большими габаритами и весом. Например, в некоторых случаях вес подъема может достигать 100 т и более.

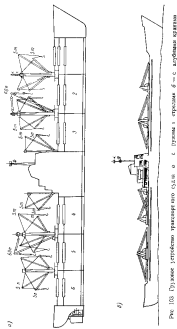
В соответствии со статистическими данными соотношение между различными видами генерального груза распределяется следующим образом.

Обычный генеральный груз	64
Свободный груз	20
Специальный генеральный груз	16

Большое разнообразие в размерах, весах и типах упаковки генерального груза создает большие трудности в поисках методов механизации погрузочно-разгрузочных работ, а особенности механизации трюмных операций — размещение и закрепление грузов.

§ 45. Судовые грузовые средства и их классификация

Судовые и портовые грузовые средства. На рис. 103 показано грузовое устройство современного транспортного судна грузоподъемностью 10 000 т. Грузы размещаются в трюмах и грузовиках,



При этом введение в практику транспортного права норм, регулирующих движение транспортных средств на автомобильных дорогах, неизбежно приведет к тому, что в будущем на автомобильных дорогах будут применяться иные правила дорожного движения.

образующих б грузовых отсеков, т. е. грузовых пространств заключенных между двумя смежными водонепроницаемыми полгребными переборками. Судно имеет две палубы, в каждой грузовой отсек, за исключением носового состоят из трампа и танкдека. В носовой части для перевозки грузов используется помещения бака, т. е. первый отсек имеет две танкдека.

Погрузочно-разгрузочные операции каждого отсека облегчаются грузовыми стрелами. Грузовая стрела (рис. 104) представляет

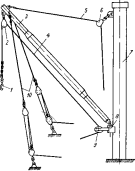


Рис. 104. Схема эпюры стрелы.

2 — тав; 3 — грузовой блок; 4 — стяжка; 5 — киевитка; 6 — крепеж; 7 — грузоподъемный блок; 8 — якорь; 9 — ванна-поддон; 10 — стяжка; 11 — стекло.

ляет собой стержень, нижний конец (шпор) которого укреплен у основания масти. Конструкция крепления стрелы (башмак) дает ей возможность вращаться относительно вертикальной и горизонтальной осей. В рабочем положении стрела удерживается зацепцентом, который закрепляется на верхнем конце стрелы (носе) пробегает тонкостенный блок на масти и крепится на палубе.

Вертикальное перемещение груза осуществляется грузовым шинкетелем. Для поворота стрела имеет оттяжки.

На современных судах стрелы грузоподъемностью до 10 т предназначаются для ведения грузовых операций только с одного

борта. Поэтому они размещаются у торцов луков попарно. На рассматриваемом судне все траулы, за исключением бокового, обслуживаются четырьмя стрелами грузоподъемностью по 5 т. Судно имеет возможность перевозить специальный генеральный груз, для погрузки которого дополнительно установлены две стрелы грузоподъемностью по 60 т.

Грузовое устройство судна состоит из нескользких практически постоянных комплектов: двух стрел с лебедками и оскасткой и кочеты, обеспечивающей их закрепление. Такой постоянный состав грузового комплекта позволяет анализировать работу грузовых стрел изолированно от грузового устройства судна в целом.

На некоторых судах стрелы грузоподъемностью до 10 т за меняются палубными кранами, для работы которых не требуется монтаж. Боковой вид такого судна показан на рис. 103, б.

Все судовые грузовые средства могут быть разделены на механизмы периодического и непрерывного действия. К первым относятся грузовые стрелы, палубные краны, лебяги, подъемники и т. д., занимающие основное место в современной практике. Рабочий цикл механизмов этой группы состоит из двух ходов: рабочего (подъем, перенос и опускание груза) и холостого. К достоинствам механизмов периодического действия нужно отнести их универсальность и способность выполнять различные вспомогательные операции.

Грузовые механизмы второй группы (непрерывного действия), обеспечивающие непрерывный поток груза, включают транспортеры, конвейеры, элеваторы и пр. До последних лет эти механизмы мало использовались как судовые средства. Однако в последние годы они все чаще находят применение на судах предназначенных для перевозки насыпных и сыпучих грузов.

Очень важным является вопрос о необходимости иметь на судне собственные грузовые средства и о рациональном сочетании их с портовыми средствами.

В этом отношении в морской практике существуют две тенденции. В портах стран европейского континента основной объем работ по погрузке и разгрузке судов выполняется портными кранами. В американских портах для грузовых операций служат в основном грузовые устройства судов.

Подавляющее большинство морских судов имеют собственные грузовые средства. Остановимся на некоторых доводах в защиту этого положения.

После окончания второй мировой войны в связи с бурным развитием молодых самостоятельных государств Азии и Африки и увеличением объема торговли с этими странами резко увеличилось количество портов не имеющих достаточного кранового оборудования.

Комбинированное использование судовых и портовых средств может значительно ускорить погрузочно-разгрузочные операции

В этом случае грузовое устройство судна ведет работы с одного из бортов в барже.

Судовые стрелы-тигелевесы часто имеют грузоподъемность значительно превышающую грузоподъемность береговых портовых кранов. Бывали случаи, когда судовыми средствами перемещались грузы весом до 300 т, что позволяет им конкурировать даже с мощными плавучими кранами.

В настоящее время считается целесообразным для судов пред назначенных для постоянного обслуживания специальных линий с постоянным грузотоком (рудовозов, углевозов и судов, перевозящих насыпной и наливочный груз), концентрировать грузовые средства в конечных пунктах.

Однако современные транспортные суда, не предназначенные для эксплуатации на постоянной линии, обязательно должны иметь собственные грузовые средства и совершение работы этих средств является одним из важных способов повышения эффективности транспортного флота.

ГЛАВА 12

ГРУЗОВЫЕ СТРЕЛЫ

§ 46 Функция и работа грузовых стрел

Основными характеристиками работы судовых грузовых стрел и других судовых подъемно-транспортных механизмов являются грузоподъемность, характеризуемая предельным без опасности весом поднимаемого груза;

производительность, которая при данной грузоподъемности определяется скоростью выполнения всех операций по транспортировке и размещению грузов;

распределительная способность, т. е. способность грузового механизма поместить груз в любое место обслуживающей им площадки (грузовой зоны).

В морской практике различают легкие стрелы и стрелы-тигелевесы. Легкие стрелы предназначены для погрузки и разгрузки грузов, вес которых не превышает 10 т. Грузоподъемность стрел тигелевесов превышает 10 т.

Производительность и распределительная способность зависят от количества рабочих движений грузового механизма.

Условие под рабочими движениями грузового механизма понимать любое перемещение груза, обеспечивающее механическим приемом.

Неподвижный грузовой механизм может иметь не больше трех рабочих движений: вертикальное перемещение груза на шквореле,

перемещение груза при изменении вылета стрелы (изменение угла подъема) и перемещение груза при повороте стрелы.

Остановимся на основных требованиях, которые предъявляются к современным судовым грузовым средствам:

1. Грузовое устройство должно обладать возможностью большей производительностью и распределительной способностью.

2. Грузовой механизм должен быть компактным, иметь малый вес и низкое положение центра тяжести.

3. Обслуживание и управление грузовыми механизмами не должны вызывать затруднений у обслуживающего персонала.

4. Грузовой механизм должен сохранять способность работать при крене и дифференте.

5. Подготовка грузового механизма к работе не должна занять много времени.

6. Грузовое устройство должно отвечать общесудостроительным требованиям, т. е. быть прочным, надежным, технологичным и экономичным.

Одиночная стрела. Схема оснастки одиночной стрелы показана на рис. 104. Стrelа работает с постоянным углом наклона, величина которого должна обеспечивать возвышение погон, достаточное для безопасного перевозки груза над фальшбортом и кормилем люка. Обычно угол подъема находится в пределах 25°—30°. В этом положении стрела фиксируется топливником, длина которого при перемещении груза не изменяется.

Рассмотрим последовательность операций при погрузке.

Груз подготавливается на причале и застропливается. Его подъем осуществляется грузовым шкворнем, который кавалерийствует из барабана грузовой лебедки. Вслед за этим стрела разворачивается оттяжками, и после того как якорь займет нужное положение над люком, груз опускается книзу за счет стравливания шквеля с барабана лебедки.

Скорость подъема и опускания груза колеблется в широких пределах. Наибольшая скорость 70—80 м/мин.

Одиночная стрела имеет очень плохую распределительную способность, так как она может взять груз и поместить его лишь в районе, непосредственно примыкающем к дуге окружности, радиус которой равен проекции стрелы на плоскость палубы. Стрелу разворачивают либо вручную, либо пользуются грузовыми лебедками, работающими стрелой. Время, затрачиваемое на перемещение груза к возвращению пустого гака, составляет 3—4 минуты.

Производительность одиночной стрелы очень невелика по этому этот способ работы легких стрел используется лишь в качестве вспомогательного.

При обычной оснастке легкой стрелы ось обивки топливника блока и ось крепления шпора стрелы к матке располагаются на одной вертикальной линии. Если это условие не выполняется то

стрела приобретает способность автоматически поворачиваться. Ось поворота стрелы проходит через топливный блок (рис. 105 точка А) к шпору (точка В), ориентируется таким образом, чтобы составляющая веса груза Г была достаточна для поворота стрелы. Движение стрелы при повороте контролируется оттяжками.

Спаренная работа стрел. Перемещение груза осуществляется согласованным изменением длинны соединенных на общем таке шквелями двух неподвижно закрепленных легких стрел (рис. 106).

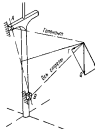


Рис. 105. Автоматическое разворачивание стрелы.

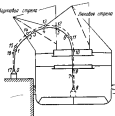


Рис. 106. Спаренная работа стрел.

Траектория груза определяется положением стрел, участвующих в работе. Стrelа, под которой располагается над люком, называется люковой. Бортовая (бортовая) стрела выносится за борт.

Рассмотрим грузовой цикл при работе стрел на «телефон» (спаренной работе). В исходном положении (рис. 106, точка 0) шквель люковой стрелы свободен, и подъем груза осуществляется шквелем бортовой стрелы. В дальнейшем (участки 1—2, 2—3) скорость выбирания шквеля бортовой стрелы уменьшается и за счет выбирания шквеля люковой стрелы груз начинает перемещаться в сторону трюма. На участках 3—4, 4—5 и т. д. лебедка бортовой стрелы стравливает шквель. Начиная с участка 5—6 длина шквеля люковой стрелы увеличивается, и груз начинает опускаться в трюм. Траектория движения пустого гака также показана на рис. 106 (участки 6—9, 9—10 и т. д.). Режимы работы грузовых лебедок при спаренной работе приведены в табл. 14.

Грузоподъемность при работе спаренных стрел меньше, чем грузоподъемность одиночной стрелы, что объясняется увеличением

Работа судна при спаренной работе стрел																				
3	1	2	3-2	3	4	4-5	5-6	6	7	8	9	9-10	10-11	11-12	12	13	14	15	16-17	17
Погрузка-разгрузка бортовых и палубных стрем	Погрузка- разгрузка стрем																			
Погрузка- разгрузка стрем	Погрузка- разгрузка стрем	Погрузка- разгрузка стрем	Погрузка- разгрузка стрем	Погрузка- разгрузка стрем	Погрузка- разгрузка стрем	Погрузка- разгрузка стрем	Погрузка- разгрузка стрем	Погрузка- разгрузка стрем	Погрузка- разгрузка стрем	Погрузка- разгрузка стрем	Погрузка- разгрузка стрем	Погрузка- разгрузка стрем	Погрузка- разгрузка стрем	Погрузка- разгрузка стрем	Погрузка- разгрузка стрем	Погрузка- разгрузка стрем	Погрузка- разгрузка стрем	Погрузка- разгрузка стрем	Погрузка- разгрузка стрем	

усилия в стреле и в некоторых элементах оснастки однако производительность спаренных стрел значительно выше. Рабочий (грузовой) цикл при спаренной работе составляет 30—35 секунд. В среднем (с учетом снижения грузоподъемности) производительность этого мосто-да в 3—4 раза выше, чем производительность при одиночной работе.

Что касается распределительной способности, то спаренные стрелы превосходят все иного. Подвижка стрел при работе не изменяется, и грузовая зона представляет собой прямую линию.

Спаренная работа остается одним из самых эффективных методов ведения грузовых операций при помощи грузовых стрел. Если на судне в качестве грузового устройства предусматриваются именно стрелы, то для средних трюмов их число должно быть не менее четырех. Это позволяет вести операции спаренными стрелами с каждого торца люка. Такое грузовое во-оружение называется полным.

Плохая распределительная способность при спаренной работе стрел определяется запрещение совершающегося якорем. Например, можно увеличить распределительную способность изменение положение стрел при работе. При обычной оснастке это возможно только после полной пересадки, так как при изменении положения стрел меняется длина оттяжек. На рис. 107, а показан вариант оснастки, который позволяет изменять положение стрел, не

переосаживая их оттяжки: топенанты обслуживаются двумя специальными лебедками.

На рис. 107, б показана оснастка, позволяющая расширять зону, обесцвечивающую стрелами. Береговая стрела неподвижно крепится на мачте (точка А), пробегает блок на якоре стрелы и крепится на налубе у борта (точка В). Такая оснастка дает возможность изменять угол наклона стрелы, за счет чего увеличивается зона люка, перекрываемая якорем. Внутренняя оттяжка люковой стрелы должна быть закреплена таким образом, чтобы ее длина при изменении положения стрелы со хранилась постоянной.

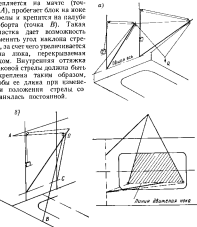


Рис. 107. Варианты оснастки при спаренной работе стрел: а — задник якоря; б — с подвижной люковой стрелой.

Совмещенная работа легких стрел. Этот способ основан на принципе автоматического поворота стрел при смещении точки крепления топенантного блока. Если точка крепления смешена по отношению к вертикальной оси вращения стрелы в сторону борта, то движение стрелы в этом направлении будет происходить автоматически. Поворот стрелы в сторону люка обеспечивается шкентелем другой стрелы, который выполняет функцию оттяжки

При совмещении работы стрел их номинальная грузоподъемность может быть использована полностью. Производительность в этом случае несколько уступает производительности спаренных стрел.

Раздельная работа стрел. В грузовых операциях одновременно могут участвовать две стрелы. При погрузке одна стрела, расположенная ближе к рабочему борту, перемещает груз с палубы на палубу; другая завершает операцию, доставляя груз с палубы в трюм. Как и при работе однойочной стрелы, грузоподъемность каждой стрелы может быть использована полностью, причем с большей производительностью. Это объясняется тем, что путь перемещения груза береговой стрелой сокращается, благодаря чему соответственно сокращается и рабочий цикл.

Аналогичный принцип транспортирования груза используется иногда при совмещении судовых и портовых средств. Чаще это практикуется при разгрузке судов. Иногда груз перевозят на палубу заранее, еще до подхода судна в порт.

§ 47 Оснастка стрел-тяжеловесов

Как правило, стрелы-тяжеловесы (рис. 108) располагают вдоль металлической плоскости для обслуживания обеих бортов.

Стрела крепится шарниром на спиральном фундаменте, этим исключаются передача действующих на стрелу сил на матчу и изменение угла наклона ее конструкции.

В отличие от легких стрел стрелы-тяжеловесы имеют три рабочих движения, так как перемещение тяжелых грузов в трюме и на палубе связано со значительными трудностями. Грузы этой категории необходимо доставлять непосредственно на место, где они будут закреплены, это возможно лишь в том случае, если грузовое устройство имеет хорошую распределительную способность.

Очень часто для обслуживания стрел-тяжеловесов используют лебедки легких стрел, поэтому подъем груза и изменение наклона стрелы могут быть обеспечены только при использовании многошкворных талей. В судовой практике суммарное количество пакетов в блоках талей редко превышает 10, так как при дальнейшем увеличении числа шкивов натяжение ходового конца лебедки талей из-за потерь в блоках изменяется очень мало. Например, если вместо 10 шкивов использовать 11, то изменение затяжки составит всего 1,5% от грузоподъемности стрелы.

В оснастке, показанной на рис. 108, лопарь грузовых талей пробегает врезной блок на стреле и через отводной блок на матче направляется на лебедку. При такой оснастке за счет натяжения в блоке несколько разгружается топенант, который также оснащается многошкворными талями.

Тали отнюдь не предназначаются не столько для выигрыша в силе сколько для достижения плавного поворота стрелы с грузом.

В некоторых случаях для оснастки стрел-тяжеловесов используют сдвоенные тали (рис. 109). Иногда канатоемкость барабанов стандартных лебедок бывает недостаточной для работы с тяжелыми весами.

В этих случаях сдвоенные тали дают возможность вместо из готовления сложной специальной лебедки использовать две ста-

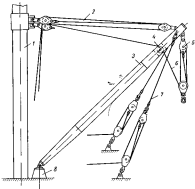


Рис. 108. Оснастка тяжеловеса

1 — мачта; 2 — канат-таль; 3 — краиный блок; 5 — грузовые тали; 6 — блок с тяжелыми талями; 7 — тележка; 8 — фундамент

дартные лебедки с обычными барабанами. Число лебедок удваивается, однако и величина тягового усилия может быть снижена вдвое.

Перекидной тяжеловес. Стрелы-тяжеловесы с обычной оснасткой могут обслуживать только один трюм, что при ограниченном числе таких стрел сокращает возможность погрузки тяжелых грузов. Поэтому прибегают к перекидным тяжеловесам: обслуживая одновременно два смежных трюма (рис. 110).

Стрела, расположенная между двумя грузовыми полумачтами благодаря особой конструкции шарнирной опоры может занимать

положение над двумя сменными люками. Для оснастки перекидного тяжеловеса используется сдвоенный топенант, поэтому же обходимость в оттяжках отпадает. Изменение вылета достигается одновременным изменением длины обоих топенантов; при увеличении длины одного и уменьшении длины другого топенанта стрела поворачивается. Таким образом, сдвоенный топенант выполняет функции топенанта и оттяжек. Грузовой кранштевель оснащается сдвоенными талиями.

Все блоки крепятся с помощью специальных вращающихся обойм, поэтому отпадает необходимость переоснащать стрелу при обслуговывании другого тяжеля.

Нужно отметить, что новая конструкция перекидного тяжеловеса достаточно сложна, и применение стрел такого типа оправдывается только для подъема особенно тяжелых грузов.

Оснастка Велле. Идея не пользовавшаяся сдвоенным топенантом для поворота и изменения вылета стрелы возникла еще в начале этого столетия, однако первые стрелы с такой оснасткой появились сравнительно недавно. Интересный вариант оснастки предложил норвежский капитан Велле.

Для работы стрелы необходимы три лебедки, одна из которых предназначена только для обслуживания грузового кранштевеля, а две другие обеспечивают поворот стрелы и изменение вылета. Схематическое изображение оснастки топенанта показано на рис. 111. Весь топенант состоит из одного трюса, оба конца которого крепятся на барабанах лебедки 3. Сбегая с барабанов и проходя блоки 4, 9, 5, трюс попадает на барабан лебедки 2, на который он наматывается в несколько витков (плетется). Дальше трюс через блоки 6, 8, 7 возвращается к лебедке 3.

При вращении барабана лебедки 3 обе ветви топенанта одновременно изменяют свою длину, в результате чего изменяется вылет стрелы. При вращении барабана лебедки 2 длина одной ветви топенанта увеличивается, а другой — уменьшается; стрела во вращении.

Оснастка Велле имеет два достоинства.

Стрела с такой оснасткой может быть установлена без каких либо существенных изменений в конструкции мачты;

ее обслуживание значительно проще, так как нет необходимости добиваться согласованной работы двух лебедок.

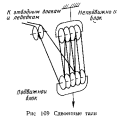


Рис. 109. Сдвоенные тали

Оснастка Халлена (рис. 112). В грузовых стрелах Халлена для сокращения числа лебедок используется принцип автоматического выталкивания. Стрела шарнирно закрепляется на тяге, которая

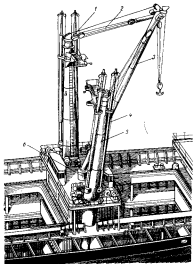


Рис. 110. Перекидной тяжеловес.

1—трехпакетные обоймы для крепления базы тяжеловеса; 2—одиннадцатипакетные блоки; 3—стрела; 4—леска стрелы; 5—ветвь; 6—фундамент тяжеловеса

при вращении винта позволяет шару совершать поперечные перемещения. Основной топенант от консоли на мачте направляется на блок нова стрелы в через систему направляющих блоков

проходит к лебедке 8. Вторая лебедка 7 обслуживает грузовую анкету.

Стрела имеет две топенант-оттяжки с вилошками. При постоянной длине топенант-оттяжек стрела под действием собственного веса груза стремится выпасть за борт. Это движение контро лируется основным топенантом.

Поворот стрелы с грузом в обратном направлении осуществляется топенантской лебедкой. Крепление основного топенанта на консолях позволяет поворачивать стрелу в сторону борта на боль

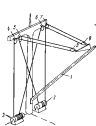


Рис. 111. Оснастка Вельт
1 — стрела; 2 — палуба; 3 — блок топенант-

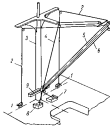


Рис. 112. Оснастка Халдана

1 — мачта; 2 — палуба; 3 — стяжка; 4 — блок топенант-оттяжки; 5 — стрела; 6 — топенантская лебедка; 7 — устройство для перемещения центра стрелы

шие углы. Изменение угла наклона стрелы достигается изменением длины основного топенанта и топенант-оттяжек. Перемещение шпора стрелы в поперечном направлении позволяет, не меняя длины оттяжек, увеличивать угол поворота.

Оснастка с топенант-оттяжками. При применении сдвоенного топенанта конструкция мачты значительно усиливается, так как необходимо иметь большое расстояние между точками крепления топенантов на салинге (поперечная связь в верхней части мачты). Оснастка стрелы с топенант-оттяжками избавляет от этого недостатка.

Для топенанта и для оттяжки используется один трос, который закрепляется на коне стрелы (рис. 113). Сначала трос пробегает блок у налии и возвращается в кону, образуя оттяжку. После

этого через топенантный блок на мачте трос направляется за один из барабанов специальной топенантной лебедки. Одновременное изменение длины обоих топенантов приводит к изменению пилота стрелы. Если барабаны лебедок вращаются в разных направлениях, стрела разворачивается. Таким образом для работы стрелы необходимы три независимых барабана.

Описанные оснастки не связаны с усложнением конструкции мачты и обеспечивает хорошую распределительную способность стрелы.

Временный тяжеловес. Снижение затрат на изготовление стрел большой грузоподъемности может быть достигнуто при исполь

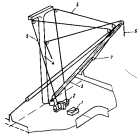


Рис. 113. Оснастка с топенант-оттяжками.

1 — временная лебедка; 2 — топенантный барабан; 3 — стрела;
4 — шпора; 5 — топенантская лебедка; 6 — мачта; 7 — оснастка; 8 — устройство для перемещения центра стрелы.

зования временных стрел-тяжеловесов, которые устанавливаются на судне только в случае необходимости. Так как практически грузы с большим весом приходится перевозить не так уже часто, то вполне достаточно иметь три-четыре комплекта временных стрел тяжеловесов, которые могут обслуживать до 10—12 судов. В этом случае нет необходимости устанавливать на судах стационарные стрелы большой грузоподъемности.

Рассмотрим конструкцию временного тяжеловеса разработанную японской фирмой ASEI (рис. 114).

Составными частями стрелы являются фундамент, ферма с рас положенным на ней грузовой и топенантской лебедками (на рисунке лебедки видны слева), стрела, вертикальная колонна и две

наклонные распорки (на рис. 114 одна распорка слева, одна — за колонной). От 20-тонной двухбарабанной лебедки два шкентеля через колонну и два направляющих блока идут на крайние шкемы первого блока грузовых талей. Тоннажант от топенантной лебедки также проходит внутри колонны.

Сборка стрелы начинается с установки фундамента и фермы, на которой монтируются лебедки. Колонна в горизонтальном положении шарнирно соединяется с основанием и после установки одной из распорок поднимается грузовой лебедкой. Монтаж стрелы заканчивается установкой второй распорки и соединением всех элементов. Весь процесс сборки стрелы на судне занимает около 20 часов.

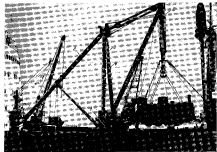


Рис. 114. Временный тяжеловес.

1 — фундамент стрелы; 2 — ригель; 3 — колонна; 4 — стрела; 5 — блоки грузовых талей

Временный тяжеловес грузоподъемностью 125 т имеет угол поворота — 200°, скорость подъема груза — 1 м/мин, максимальную высоту такса над уровнем палубы — 12,5 м, максимальный вылет — 13 м, общий вес — около 50 т.

Особенностью временных тяжеловесов этой фирмы является то, что вес даже самого тяжелого элемента не превышает 5 т. Это позволяет при монтаже временного тяжеловеса обходиться только легкими судовыми стрелами.

§ 40 Конструкции стрел

На современных морских судах деревянные стрелы практически полностью вытеснены более прочными и значительно более долговечными стальными. Использование сварки для соединения конструктивных элементов стрел позволило нестолько снизить стоимость изготовления стальных стрел, что деревянные стрелы лишились их основного преимущества — дешевизны.

В настоящее время применяются следующие типы стрел: цилиндрические (рис. 115, а); цилиндрические ступенчатые с коническими переходами (115, б); цилиндрические с двумя коническими участками (рис. 115, в); ферменные (рис. 115, г).

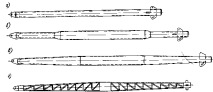


Рис. 115. Типы судовых стрел: а — цилиндрическая; б — ступенчатая цилиндрическая; в — цилиндрическая с коническими участками; г — ферменная.

В конструктивном отношении самыми простыми являются цилиндрические стрелы, для изготовления которых обычно используют трубы. Однако сортамент на трубы не всегда позволяет по лучить рациональное с точки зрения веса и прочности стрелы соотношение ее диаметра и толщины стенки. В этом отношении более рациональны стрелы, выполненные из листовой стали.

Для изготовления ступенчатых цилиндрических стрел также могут быть использованы трубы, соединяемые при помощи конических переходов. Опыт показывает, что при недостаточной длине конического перехода возникает концентрация напряжений, значительно снижающая несущую способность стрелы. Для уменьшения концентрации напряжений в коническом участке угол на клюве, образующий к оси стрелы, должен быть не больше 15°.

Цилиндрические стрелы с коническими участками выполняются полностью из листовой стали. Каждый участок — цилиндрический и конический — изготавливают отдельно. Оборудование современных кораблестроительных цехов позволяет с достаточной

точностью получать обечайки нужной длины гибким листом на вальцах в холдинговом состоянии.

Для определения относительных размеров отдельных участков стрел можно воспользоваться анализом усилий и моментов, изменяющихся по длине стрелы (собственным весом стрелы, момента том склоняющей сплы при прогибе стрелы и др.). Диаметр ее кок-



Рис. 116. Оснастка грузового шквеля:
а — общая; б — с грузовым талком;
в — двойная оснастка; г — тяжеловес.

чив должен составлять не менее 2/3 диаметра в средней части. Для стрел грузоподъемностью выше 8 т диаметр пика не должен быть меньше 3/4 среднего диаметра. Длина средней цилиндрической части принимается равной армированию половины длины стрелы.

Стрелы ферменной конструкции на морских судах практически не применяются, так как считаются нерациональными с точки зрения прочности и поса-

К тому же очистка и окраска этих стрел является сложной трудоемкой операцией.

Конструкция наков с трелей в значительной степени зависит от вида оснастки грузового шквеля. На рис. 116 показаны практикуемые в настоящее время варианты оснастки. В первом и втором вариантах (рис. 116, а, б) нок имеет обычную конструкцию. В третьем варианте (рис. 116, в) применена так называемая двойная основа шквеля. Блок на ноке укрепляется при помощи специальной вилки, характерной для стрел-тяжеловесов (рис. 116, г).

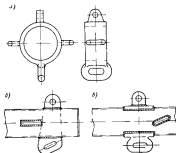


Рис. 117. Конструкция наков: а — ноковый бичев; б — спарные конструкции.

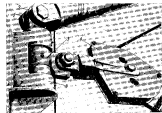


Рис. 118. Крепление наков стрель
1 — кран; 2 — задел шпоры; 3 — крепежные обоймы;
4 — стальной блок; 5 — обойма башмака.

Нок стрелы должен иметь скобы для крепления топенанита или блока топенантинных талей и оттяжек. Из-за большой сложности производства кованые ноковые бугели (рис. 117, а) уступают место конструкциям, изготовленным при помощи сварки (рис. 117, б, в).

Конструкция крепления шпора стрелы. Конструкция нижней опоры стрелы должна обеспечивать ее вращение относительно вертикальной и горизонтальной осей. Крепление стрелы при помощи вертлюга используется для стрел любой грузоподъемности и является практически единственным типом конструкции нижней опоры (рис. 118). Нижняя часть стрелы заканчивается вилкой. Горизонтальной осью вилки соединяется с проушиной вертлюга, который представляет собой короткий вертикальный вал, закрепленный в обоймах башмака. Башмак приваривается к мачте стрелы. Между обоймами башмака на вертлюге крепятся стопорное кольцо, предотвращающее движение вертлюга вверх. Вращающимися обоймами служат для крепления отводного блока грузового шкентеля.

У стрел-тожаловиков вертлюг обычно опирается на обоймы, закрепленные в специальном фундаменте. Для изготовления деталей крепления стрел используется мягкая углеродистая сталь.

ГЛАВА 13

ТАКЕЛАЖ СТРЕЛ ГРУЗОВЫЕ ЛЕБЕДКИ

§ 49 Грузовой шкентель

Грузовой шкентель служит для подъема и опускания груза. Наиболее распространенная в настоящее время конструкция грузового шкентеля включает лак, опиралка, цепной пропицел и стальной трос, или собственно шкентель. Если грузоподъемность стрелы не превышает 5 т, то для оснастки шкентеля используют обычные гаки (рис. 119, I). Судовой гак отличается тем, что его кое-как приваривается специальным хоботком, благодаря которому, гак не зацепляется за концы люков и т. п.

У стрел большой грузоподъемности вместо обычных гаков являются двурогие гаки (рис. 119, II) или грузовые скобы. Для изготовления грузовых скоб и гаков используют обычную углеродистую сталь.

В одиночном шкентеле непосредственно за гаком расположается вертлюг, исключающий возможность скручивания шкентеля при вращении груза. Типичная конструкция вертлюга показана на рис. 120, а. При использовании грузовых талей вертлюг совмещается с нижним блоком.

Одно из отрицательных свойств тросов — это способность скручиваться, т. е. занимать то положение, в котором трос находится при хранении. Часто это приводит к образованию петель и зер-

гивов (калишек) и значительно усложняет наматывание троса на барабан лебедки. Включенный в шкентель противовес сохраняет в тросе некоторое натяжение даже в тех случаях, когда он свободен от груза, и полностью исключает скручивание троса.

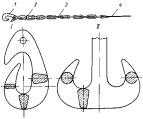


Рис. 119. Грузовой шкентель.
— 1 — гак; 2 — вертлюг; 3 — цепной пропицел; 4 — стальной трос; 5 — шкентель; 6 — одинарный гак; 7 — двурогий гак.

Самый простой из применяемых в современной практике противовесов — цепной. Это короткая цепь, расположенная между вертлюгом и тросовым шкентелем (см. рис. 119). Однако цепные противовесы не могут пребывать по блокам, и в тот момент, когда цепь подходит к грузовому блоку, подъем груза прекращается останавливать. Иногда это обстоятельство заставляет увеличивать длину стрелы.

Более компактная конструкция может быть получена при совмещении противовеса с вертлюгом. Как показано на рис. 120, б.

Для стрел с грузовыми талями роль противовеса выполняет нижний (движущий) блок и гак.

Стальные тросы, используемые в качестве грузовых шкентелей, должны быть гибкими (с числом проволочек не менее 114). Не рекомендуются тросы с шестью и более органическими сердечниками, так как они не обладают

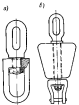


Рис. 120. Вертлюг: а — обычный; б — совмещенный с противовесом.

достаточной поперечной жесткостью и не допускают многогловой наливки на барабан.

Длина шкентеля левой стрелы определяется из условия обес-
щечения спаренной работы. Шкентель бортовой стрелы должен
доставлять до самых отдаленных участков трюма; при этом на ба-
рабане должны оставаться два или три витка (шлаги), чтобы исключить
передачу основной нагрузки на узел соединения троса с барабаном.

§ 80. Топенант и оттяжки

Для легких стрел часто применяют одиночный топенант. Он закрепляется на носке стрелы, проходит топенантный блок на мачте и сбегает к палубе. Рассмотрим два варианта крепления одиночного топенанта на палубе:

1 Топенант с грузовым стопором. Топенант заканчивается треугольным звеном (рис. 121) с проушинами для крепления грузового стопора и хвостовика. Грузовой стопор — это цепь, каждое звено которой может быть надежно закреплено на палубе при помощи скобы. Хвостовик, меняющий положение (угол наклона) стрелы, через канатно-блочный подается из исполнительного барабана грузовой лебедки. Канатно-блочный имеет откидывающуюся щеку облегчающую заводку троса в блок.

Однако треугольное звено ограничивает рабочую длину тросового топенанта и иногда делает невозможным крепление стрелы в горизонтальном положении, что является большим недостатком.

2 Топенант с выносной. Все чаще для обслуживания топенантов применяют специальные вышки. В этом случае топенант может иметь неограниченную длину, допускающую по-
ходное крепление стрелы в лю-
бом положении. При работе стрела удерживается за счет стопорения вышки.

Топенантные вышки необходимы в тех случаях, когда стрела оснащается топенант-тальми.

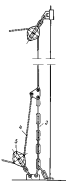


Рис. 121. Крепление топенанта к стреле.

1 — тросовый постамент; 2 — противовес; 3 — кистевик; 4 — канатно-блочный блок.

бом положении. При работе стрела удерживается за счет стопорения вышки.

Топенантные вышки необходимы в тех случаях, когда стрела оснащается топенант-тальми.

Обычно вышки не имеют собственного привода. Их работа осуществляется по принципу, который изложен при описание безмоторных вспомогательных лебедок (см. стр. 131).

Для обслуживания топенант-талей стрел-такелажесов всегда предусматриваются специальные топенантные лебедки.

Оттяжки, применяемые при одиночной работе легких стрел состоят из тросовой оттяжки (мачты) и талий оттяжки, основная из которых растягивается тросом. Окружность лопаря должна быть не менее 60—70 м, что делает работу руками более удобной.

Оттяжки, предназна-
ченные для спаренной
работы легких стрел
изготавливаются цели-
ком из стального тра-
са. Для закрепления
оттяжек на палубе и
фальцборте использу-
ются специальные обухи
и хвосты. Их положе-
ние выбирается с таким
расчетом, чтобы угол
образуемый оттяжкой и
стрелой, был возможно
большим.

Как отмечалось вы-
ше, для работы оттяжек
стrel-такелажесов всег-
да предусматриваются
лебедки. Лопари талий оттяжек подаются за эти лебедки через
канатно-блочные блоки, для закрепления которых на палубе установлены скобы.

При работе стрел-такелажесов могут разворачиваться из большие углы, в связи с чем приходится производить переоснастку оттяжек. На рис. 122 показаны три положения стрелы-такелажеса при перемещении груза из люка за борт. Исходному положению I соответствуют две точки закрепления оттяжек (A, B). При некотором промежуточном положении (II) оттяжка со стороны рабочего борта не может осуществлять дальнейшего выдвиживания стрелы с грузом поэтому необходимо перенести точку ее крепления в точку A'. Для оттяжки противоположного борта не целесообразно сохранять точку крепления в точке B так как эффективность оттяжки в предельном положении стрелы умень-
шается. В этом случае закрепление оттяжки переносится в точ-
ку B', и угол, образуемый оттяжкой и осью стрелы, увеличи-
вается.

Очень часто работа оттяжек осложняется из-за наличия стое-
чек такелажа т. е. снастей, защищающих мачту.

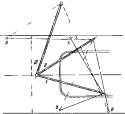


Рис. 122. Положение оттяжек тяжеловесов
при перемещении груза из люка за борт.

Необходимость контролировать положение стрелы при перевозке оттяжек заставляет в отдельных случаях применять двойной комплект оттяжек.

§ 51 Судовые грузовые лебедки

Лебедки являются неотъемлемой частью грузового устройства со стрелами. Об их значении для судов в целом можно судить по следующим примерам.

Стоимость грузовых лебедок транспортного судна грузоподъемностью 10 000 т составляет до 1,5% стоимости судна, не считая средств, затрачиваемых на их установку и монтаж сети. При ведении грузовых операций в порту лебедки поглощают в среднем 60% энергии, вырабатываемой вспомогательными энергетическими источниками судна. Скорость перемещения груза и соответственно скорость выполнения погрузочно-разгрузочных операций во многом зависит от скоростных режимов лебедок. В связи с этим лебедки могут непосредственно влиять на стоячное время судна.

Рассмотрим в общих чертах условия работы грузовых лебедок и предъявляемые к ним требования.

Производительность грузовых стрел во многом зависит от режимов работы лебедок, от надежной и плавной регулировки скорости и тягового усилия.

Скорость перемещения грузов нельзя увеличивать беспредельно та же, как нельзя сохранять высокую скорость на всем пути движения груза: согласно действующим нормативам скорость при приеме груза же должна превышать 0,5 м/сек. В то же время торможение и ускорение связаны с возникновением больших инерционных усилий. При отсутствии груза нет необходимости вводить это ограничение и можно считать целесообразным значительное увеличение скорости перемещения пустого гака. В связи с грузовыми лебедками предъявляются следующие основные требования:

1. Лебедки должны иметь широкий диапазон регулировки скорости и тяговых усилий, обеспечивать мягкое, без рывков перемещение грузов.

2. Устройство лебедки должно полностью исключать возможность аварии при отсутствии питания. Падение груза предотвращается мгновенным автоматическим торможением двигателя или барабана лебедки.

3. Конструкция лебедки должна быть достаточно простой и допускать обслуживание ее людьми, не имеющими опыта. Например, необходимо иметь устройство, ограничивающее ускорение на безопасном уровне при переключении лебедки с полного переднего хода на задний. Обязательно должна быть предусмотрена остановка лебедки в предельных случаях. Так, при спаренной работе пятишестиглавия может увеличиваться до тех пор, пока оно не будет разорвано. Необходимо, чтобы лебедка автоматически останавливалась при достижении определенной нагрузки шкивеля.

Многие конструктивные особенности грузовых лебедок обусловлены специфическими условиями их эксплуатации. Палубные механизмы постоянно находятся в среде, способствующей интенсивной коррозии. Кроме того, суда, как правило, плавают в различных климатических условиях, что приводит к большому разнообразию тепловых режимов работы палубных механизмов. Поэтому при проектировании паровых лебедок следует учитывать температурное расширение, возможность конденсации пара и образования в трубопроводах водяных пробок, возможность замерзания воды в смазке и т. п.

Судовые механизмы подвергаются также значительным нагрузкам за счет качки. Это тоже должно быть учтено при проектировании механизмов, фундаментов и корпусных конструкций на которых эти механизмы расположены.

Независимо от привода грузовые лебедки имеют практические постоянные элементы: основной и вспомогательные барабаны, редуктор, промежуточный двигатель, тормоз, пост управления и фундамент.

У современных лебедок при увеличении нагрузки среднее значение скорости уменьшается.

Скорость движения пустого тока в среднем в два раза превышает скорость перемещения груза.

Рабочая скорость перемещения груза

Груз, т . . .	до 2	3	5	10
Скорость м/сек . . .	1,0—1,5	0,8	0,3	0,5

В настоящее время широкое распространение получили электрические грузовые лебедки постоянного и переменного тока (рис. 123). Электродвигатели постоянного тока обеспечивают гибкую регулировку скоростей в широком диапазоне, что вполне отвечает требованиям, предъявляемым к механизмам грузового устройства. Но лебедки, работающие на переменном токе, надежнее и легче вписываются в общую судовую систему электропривода, хотя и не обеспечивают желательной регулировки скорости.

Для грузовых лебедок иногда применяют комбинированные приводы: двигатель переменного тока и гидравлические исполнительные механизмы или двигатели постоянного тока с преобразователями переменного тока и т. д.

ГЛАВА 14

РАСЧЕТ ГРУЗОВЫХ СТРЕЛ

§ 52 Длина стрелы

Важным показателем эффективности грузового устройства является вылет стрелы (рис. 124), разный расстояние от наиболее удаленной точки грузовой зоны до борта судна. Величина вылета определяется длиной стрелы L может быть найдена из очевидного соотношения

$$\frac{b - L \cos \alpha}{\tan \alpha} + y = \frac{B}{2} \quad (75)$$

где B — ширина судна, м

L — длина стрелы, м

y — отстояние шпора от диаметральной плоскости, м

α — угол наклона;

φ — угол поворота стрелы.

Смещение легких стрел в борту обязательно по двум причинам. Во-первых, только таким образом можно установить две стрелы, необходимые для обслуживания каждого борта и для спаренной работы. Во-вторых, за счет смещения можно значительно уменьшить длину стрелы сохраняя достаточный вылет.

На современных судах расстояние от шпора стрелы до ДП изменяется в пределах 2–6 и в зависимости от конструкции машины.

Угол наклона стрелы должен быть достаточным для безопасного перевозки груза над фальшбортом. По существующим рекомендациям так должен возвышаться над фальшбортом для легких стрел не меньше чем на 4 м, для тяжеловесов — не менее чем на 6 м. Обычно для легких стрел это условие выполняется при угле наклона в 30°.

Следует отметить что при спаренной работе угол наклона бортовой стрелы может быть значительно меньше (15–20°), чем достигается больший вылет. Переносу груза через фальшборт способствует высокое положение линии стрелы. Легкие стрелы могут иметь маленький угол наклона также при выполнении различных аспомогательных работ (подтаскивание груза и проскот линк и т. д.).

Средний угол стрел тяжеловесов во время работы обычно равен 25°.

Предельный угол поворота стрелы зависит от многих факторов конструкции машины, расположения стоянки талрепажа, конструкции крепления стрелы, положения оттяжек и т. п. Допускается чтобы легкие стрелы при повороте касались вант (снастей, раскрепляющих масть в поперечном направлении). Для стрел тяжеловесов такое касание было бы опасным. Предельным положением для

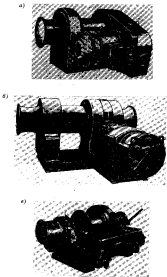


Рис. 123. Грузовые лебедки:
а — электрические; б — гидравлические;

стрем этой категории считается такое, при котором в плане стрела становится параллельно крайней кани.

Если же ванты отсутствуют, то вылет измеряется при таком положении стрелы, когда в плане отстояние ножа от линии ближнего к стреле компонента равно четверти длины лука (при стрелах, расположенных только с одного торца) или пятой части (при стрелах, расположенных по обеим торцам).

Требования, предъявляемые к величине вылета определяются разнонаправленными габаритами груза и способом ведения грузовых опе-

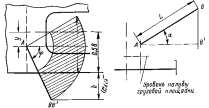


Рис. 124. К определению длины стрелы

раций. Чем больше вылет, тем более эффективно может работать грузовая стрела. Практика показывает, что вылет должен быть не меньше 2 м для легких стрел и 4 м для стрел-тяжеловесов. Считается вполне достаточным для легких стрел иметь вылет 4 м, для стрел-тяжеловесов — 5–6 м. Возможность нормирования всех параметров, входящих в формулу (75), позволяет использовать эту зависимость для определения длины стрелы, необходи-мой для одиночной работы

$$L = \frac{b + \left(\frac{\delta}{2} - x \right)}{\cos \varphi \sin \psi} \quad (76)$$

Длина стрелы, обеспечивающая эффективную одиночную работу, должна быть достаточной для спаренной работы стрел. Высота ножа полубы́гнутой стрелы над компонентом лука принимается не меньше

$$h + \frac{w}{3}$$

где h — возвышение гака над фальшбортом (принимается равным 5 м);

w — расстояние между носками стрел

Величина $\frac{w}{3}$ характеризует проекцию гака в предположе-нии, что обе стрелы имеют одинаковый наклон (рис. 125).

При наклоне в 30° стрела должна перекрывать $\frac{w}{3}$ длины лука при двух парах стрел на лок и $\frac{w}{4}$ длины, если стрелы расположены только с одного торца лука.

Для бортовой стрелы при угле наклона не менее 30° на линии, отходящей от поперечного компонента на $\frac{w}{2}$, длины лука обеспечи-вается 4-метровый вылет. Минимальная высота ножа над фальшбортом

$$h = \frac{w}{3}$$

На длину стрелы могут влиять и некоторые дополнительные факторы, например позаднее крепление стрел в горизонтальном положении. Существует правило, согласно которому при позаднем положении длины стрелы должна быть достаточна чтобы перекрывать трем по длине.

Таким образом при определении длины стрелы необходимо рассматривать три случая: одиночную работу стрелы; положение стрел над луком при спаренной работе в положение бортовой стрелы при спаренной работе стрел. Болееиз полученных величин и будет искомой длиной стрелы.

§ 53 Определение усилий, действующих на стрелу и ее тягелах

Чаще всего при определении усилий, действующих на стрелу и ее тягелах, пользуются графическим методом, который отличается простотой, наглядностью и обеспечивает необходимую точность. Удобные для расчетов аналитические зависимости можно получать только для самых простых случаев оснастки стрел.

Рассмотрим усилия, действующие на нож стрелы при одиночной работе. К верхнему обручу на ноже крепится тяжелант, удер-живанием стрелы в рабочем положении. К ножу же приложены вес груза и грузовых блоков, натяжение в сбегающей ветви тяже-лана и вес стрелы. Влияние оттяжек оказывается существенным только при спаренной работе стрел, на которой мы остановимся ниже. Все рассматриваемые усилия находятся в вертикальной плоскости проходящей через ось стрелы.

Таблица 15

Выражения для натяжения в сбегающей зоне лопаря P
и к. п. д. тягой η

Разделение на заголовки	Лопаря сбегает с поддонским блоком			Лопаря сбегает с подвешенными блоками		
	$\theta + \beta$			$\theta - \beta$		
	Подъем	Полет	Спуск	Подъем	Полет	Спуск
P	$\frac{G\theta^2(n-1)}{\varepsilon^2-1}$	$\frac{G}{n}$	$\frac{G(n-1)}{\varepsilon(\varepsilon^2-1)}$	$\frac{G\theta^2(n-1)}{\varepsilon^{n+1}-1}$	$\frac{G}{n-1}$	$\frac{G(n-1)}{\varepsilon^{n+1}-1}$
η_P	$\frac{\varepsilon^2-1}{n\varepsilon^2(n-1)}$	1	$\frac{\varepsilon(\varepsilon^2-1)}{n(n-1)}$	$\frac{\varepsilon^{n+2}-1}{(n+1)\varepsilon^2(n-1)}$	1	$\frac{\varepsilon^{n+2}-1}{(n+1)(n-1)}$

Таблица 16

Значения η и P при подъеме грузов

	Число шкивов n								
	2	3	4	5	6	7	8	9	10
Лопаря сбегает с поддонским блоком									
η_P	0.94	0.92	0.91	0.89	0.87	0.86	0.84	0.83	0.81
$P = \frac{1}{n\eta_P}$	0.93	0.96	0.98	0.99	0.99	0.97	0.95	0.93	0.92
Лопаря сбегает с подвешенными блоками									
η	0.96	0.94	0.92	0.91	0.90	0.87	0.85	0.84	0.83
$P = \frac{1}{(n+1)\eta}$	0.95	0.97	0.99	0.99	0.99	0.96	0.94	0.93	0.92

так и для преодоления трения в блоках. При опускании груза натяжение в ходовом конце лопаря уменьшается.

От величины натяжения лопаря в значительной мере зависят силы, действующие на струду и элементы ее тягового. Поэтому необходимо вести расчет для двух случаев — подъем груза в опускание. Большое из усилий, действующих на тот или иной зажим, должно быть принято в качестве расчетного.

Построение силовых диаграмм. Рассмотрим порядок построения силовой диаграммы для легкой стрелы с одиночным

Исходными величинами для построения силовых диаграммы являются:

грузоподъемность стрелы

размеры всех элементов и их положение (длина стрелы, высота крепления тягового блока, положение всех направляющих блоков и т. д.). Расчетный угол наклона стрелы принимается равным 15° для легких стрел и 25° — для стрел тяжеловесов.

также остаток грузового централи и топлива;

вес стрелы в ее нейтральной подвеске (така, грузового блока и противовеса).

С достаточной для практических расчетов точностью вес стрелы может быть предварительно определен по формуле

$$P_c = 140^2 (3.4L - 16) \text{ кг} \quad (77)$$

где G — грузоподъемность стрелы кг

L — длина стрелы, м;

P_c — вес стрелы, кг.

Многообразие остатков судовых грузовых стрел не позволяет проанализировать особенности построения силовых диаграмм для всех вариантов. Поэтому остановимся лишь на некоторых наиболее характерных общих моментах и самом порядке построения диаграммы.

Блоки мы условимся называть. Различные остатки стрел отличаются в основном числом и положением блоков. Усилие, которое нужно приложить к лопарю — тросу пробегающему через блок, — заметно отличается от веса поднимаемого груза. Изменение натяжения определяется трением шкивов блоков, трением лопаря о шкивы и внутренним трением между предметами и проволочками троса при его изгибе. Коэффициент ξ , учитывающий потери на трение, равен 1,05 для стального троса и 1,10 — для пенькового (блок с подшипником скольжения).

Вместо коэффициента ξ часто используется коэффициент η (к. п. д. блока). Для одношкивного блока, работающего со стальным тросом $\eta = 1/\xi = 0.95 \sim 0.96$. Для блоков с подшипниками качения $\eta = 0.98$.

В табл. 15 приведены выражения для определения натяжения в тросе и к. п. д. тягой в зависимости от числа шкивов для тросов сбегающих с поддонным и неподдонным блоками, а в табл. 16 — числовые значения этих величин при подъеме груза.

Обычно угол охвата шкива тросом блоков $\beta = 180^\circ$. При уменьшении угла охвата коэффициент ξ соответственно уменьшается.

Натяжение движущих грузов Натяжение в лопаре грузовых тяг существенно изменяется в зависимости от направления движения груза. Например, при подъеме груза усилие в лопаре должно быть достаточным как для совершения полезной работы

шкелем (рис. 126). Построение начинается с нанесения положений стrelы AC , масти AB и топенанта BC . Расчетный угол наклона стrelы $\alpha = 15^\circ$. За полюс принимается точка C , соответствующая положению кока стrelы. Из полюса в определенном масштабе вертикально вниз откладывается вес груза и ноковой подвески (суммарный вес гака, вертушки и противовеса). На рис. 126 это значение соответствует вектору CM .

Усилие, действующее на нижнюю скобу нока, складывается из силы CM и натяжения в линии шкеля, обегающей с грузовым блоком (вектор CD). Вектор CE является геометрической суммой векторов CM и CD .

Из точки E вниз откладывается половина веса стrelы, и результатирующий вектор EF раскладывается на направление оси стrelы (вектор CN) и топенанта (вектор NF). Полученные силы являются исходными натяжениями топенанта и осевой силой.

Если для оснастки грузового шкеля используются тали (как показано на рис. 116, б), то вектор CD в масштабе должен соответствовать усилию в лопаре грузовых талей.

Для рассмотренного случая могут быть получены аналитические выражения, позволяющие определить осевую силу и натяжение топенанта. Из подобия треугольников ABC и NDF следует соотношение

$$\frac{DN}{DF} = \frac{AC}{AB}$$

Если обозначить длину стrelы AC через L , а возвышение зоне кокового блока над шпором стrelы AB через H , то

$$DN = DF \frac{L}{H}$$

Учитывая что полное сжимающее усилие в стrelе

$$P_0 = ND = CD$$

где $CD = \frac{G}{\eta}$

можно записать

$$P_0 = \eta G \frac{L}{H} + \frac{G}{\eta} \quad (78)$$

где η — коэффициент, учитывающий увеличение трубоудельной массы G за счет веса стrelы.

Полученное выражение позволяет убедиться в том, что осевое сжимающее усилие не зависит от наклона стrelы. Натяжение топенанта может быть получено из соотношения

$$\frac{T}{\sin(90^\circ - \alpha)} = \frac{\eta G}{\sin(90^\circ - (\beta - \alpha))}$$

откуда

$$T = \eta G \frac{\cos \alpha}{\cos(\beta - \alpha)} \quad (79)$$

где углы α и β показаны на рис. 126.

Таким образом при уменьшении угла наклона и натяжение в топенанте уменьшается.

Величина осевого сжимающего усилия при данной грузоподъемности определяется соотношением $\frac{T}{H}$.

Чем выше расположена топенантная блок, тем меньше величина P_0 .

Построение силовой диаграммы для пожелания с крючком в случае, когда лопаря грузового шкеля из металлической пластины (рис. 127). Оснастка нока тяжеловеса с прямым шкивом показана на рис. 116, г. Так же, как и в предыдущем случае, построение диаграммы начиняется с выверивания положения всех элементов оснастки стrelы включая положение лопаря грузовых талей CK (рис. 127).

Из точки C (полюса) вертикально вниз откладывается вектор CM , соответствующий весу груза, ноковой подвески и половине веса стrelы. В этом случае нет необходимости выделить вес стrelы, так как все усилия передаются на ноковую вилку, что исключает возможность появления конструктивного эксцентрикитета.

Из точки M параллельно направлению лопаря (CK) откладывают два вектора, равные натяжению лопаря при подъеме и опускании груза (ME' и ME). Полученные при сложении усилий равнодействующие CE' и CE раскладываются на направления стrelы и топенанта. Из построенной силовой диаграммы очевидно,

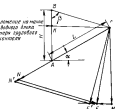


Рис. 127 Силовая диаграмма тяжеловеса

что максимальное усилие CN в стреле соответствует случаю подъема груза в толканище усилие больше при опускании груза NE .

Натяжение оттяжек при работе стрелы зависит от нескольких факторов, основными из которых являются инерционность груза, крен судна и моменты от трения при повороте стрелы.

При определении усилий одиночной работающей стрелы на тяже оттяжки, как правило, не учитывается, так как его влияние несущественно. При единичной работе легких стрел приходится считать, что усилие в оттяжках составляет 25% грузоподъемности. Для определения напряжение в оттяжках тяжеловесов учитывается возможный крен судна, а также моменты трения в опорах стрел и толкающими блоками.

§ 54. Определение усилий в стrelе и такелаже при аварийной работе

Построение пространственных силовых диаграмм для определения усилий в стреле, толкунаке и оттяжках при спаренной работе связано с большими трудностями и зачастую бывает недостаточно точным.

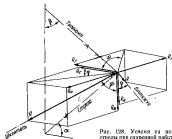


Рис. 128. Установка для измерения
стремян при спиральной работе

стачко точным. Поэтому вместо графического можно рекомендовать способ, предложенный Б. В. Януковичинским.

На вок страны действуют напряжения шкентелей и оттяжек. Как и при одиночной работе, стrelа удерживается гопенштамом. Положение шкентелей характеризуется углами Φ и Ψ (рис. 128); углы φ и ψ определяют направление оттяжек. Зависимости для

определения усилий во всех элементах оснастки могут быть получены из условия равновесия пока стрелы.

Разложим напряжение шинеля таким образом, чтобы одна из проекций была направлена перпендикулярно к плоскости стрелы к токоприемнику Q_0 . Две другие проекции — Q_3 и Q — пока зены на рис. 128. При параллельном напряжении шинеля Q величину этих проекций можно определить по формулам

$$Q_x = Q \cos \psi; Q_y = Q \sin \psi \sin \varphi; Q_z = Q \sin \psi \cos \varphi \quad (80)$$

Аналогично можно получить зависимости для определения проекций векторов от явлений

$$R_x = R \cos \theta, \quad R_y = R \sin \theta \cos \alpha, \quad R_z = R \sin \theta \sin \alpha \quad (81)$$

Величина затратных отчислений определяется законом о

$$R = Q \frac{\sin \Phi \sin \Psi}{\sin \Phi \cos \Psi} \quad (82)$$

которая получена из условия равенства $Q_s = R_s$. Условие в стрелу и тоннелю складывается из составляющих, получающихся при разложении сил Q_s , R_s , Q_t , R_t на направление осей стрелы и тоннеля. Сумма составляющих вертикальных сил $Q_s \pm R_s$, направленаных по оси стрелы.

$$P_{\text{eff}} = (R + Q_s) \frac{k}{M}$$

На основании теоремы сплайнов составляющие затяжкиной тонкостанит

$$T_1 = (R_{\theta} + Q_1) \frac{\cos \alpha}{\cos(\beta - \alpha)} + \dots$$

$$Q \left[\frac{\cos \phi \cos \alpha}{\cos(\beta - \alpha)} + \frac{\sin \phi \cos \rho \cos \alpha \sin \phi}{\sin \rho \sin \alpha \cos(\beta - \alpha)} \right]$$

Горизонтальные усилия $Q = R$, дают дополнительные составляющие.

$$P_{\text{sa}} = (Q_s + R) \frac{\cos \beta}{\cos(\beta - \alpha)} = Q_s \left[\frac{\sin \psi \cos \psi \cos \beta}{\cos(\beta - \alpha)} + \frac{\sin \psi \sin \psi \cos \alpha \cos \beta}{\cos(\beta - \alpha)} \right]$$

$$T_1 = (Q + R) \frac{\sin \alpha}{\cos \beta - \cos \alpha} =$$

$$= -Q \left[\frac{\sin \psi \cos \psi \sin \alpha}{\cos(\beta - \alpha)} + \frac{\sin \psi \sin \psi \cos \alpha \sin \alpha}{\sin \alpha \cos(\beta - \alpha)} \right]$$

В заключение определим суммарные усилия (после некоторых упрощений):

напряжение оттяжки

$$R = Q \frac{\sin \psi \cos \varphi}{\sin \rho \sin \alpha}$$

осевое усилие в стреле

$$\begin{aligned} P_s = Q & \left[\frac{L}{H} \left(\cos \psi + \frac{\sin \psi \sin \varphi \cos \rho}{\sin \rho \sin \alpha} \right) + \right. \\ & \left. + \frac{\sin \psi \cos \rho \sin (\alpha + \psi)}{\sin \alpha \cos (\beta - \alpha)} - \frac{1}{\eta} \right] \end{aligned} \quad (83)$$

напряжение топенанта

$$\begin{aligned} T = Q & \left[\frac{\sin \alpha (\cos \psi \sin \rho \cos \alpha + \sin \psi \cos \rho \sin \alpha)}{\cos (\beta - \alpha) \sin \rho \sin \alpha} \right. \\ & \left. - \frac{\sin \psi \sin \alpha \sin (\psi + \alpha)}{\sin \alpha \cos (\beta - \alpha)} \right] \end{aligned} \quad (84)$$

На формула (84) видно, что напряжение топенанта может иметь отрицательное значение, т. е. при определении положения оттяжек и шкворней стрела может подниматься вверх. Поэтому при проектировании оснастки следует исключить эту возможность так как она может привести к серьезной аварии.

При расчете спаренной работы стрел по этому методу необходимо сперва вычертить положение всех элементов оснастки в двух проекциях и измерить углы ψ и α непосредственно на плане. Для определения углов ψ , ρ , β и α предварительно определяют истинное положение соответствующих элементов оснастки (это можно выполнить графически).

Метод Солиди. Аналитический метод для определения усилий при спаренной работе стрел был предложен А. Солиди.

Установимся, что начало координат совпадает с носком стрелы, а положительные значения x , y и z направлены соответственно в нос, на правый борт и вниз. Вычисление начинается с определения координат конечных точек стрелы, топенанта, оттяжек и вектора напряжения шкворней, построенных в определенном масштабе. Обозначим длину первых трех элементов через L , t_s , t_t а усилия в них через L , T , R . Направления координаты x , t_s и t_t могут быть легко получены, так как известны размеры проекций этих элементов на оси x , y и z .

$$t_x = X_1; t_s = X_2, t_t = X_3, t_x = Y_1, t_s = Y_2, \dots$$

где X_1 , X_2 , X_3 , Y_1 , Y_2 , ... — координаты конечных точек

Направляющие косинусы:

$$\alpha_x = \frac{t_x}{l_s}, \beta_x = \frac{t_t}{l_s}, \gamma_x = \frac{t_s}{l_s}$$

$$\begin{aligned} \alpha_y = \frac{t_y}{l_s}, \beta_y = \frac{t_t}{l_s}, \gamma_y = \frac{t_s}{l_s} \\ \alpha_z = \frac{t_z}{l_s}, \beta_z = \frac{t_t}{l_s}, \gamma_z = \frac{t_s}{l_s} \end{aligned} \quad (85)$$

Проекции напряжения шкворней могут быть определены как сумма приведенных усилий во всех элементах на оси:

$$\begin{aligned} Q_s = L \alpha_s + T \alpha_t + R \alpha_r, \\ Q_p = L \beta_s + T \beta_t + R \beta_r, \\ Q_z = L \gamma_s + T \gamma_t + R \gamma_r \end{aligned} \quad (86)$$

Итак мы получаем три линейных уравнения с тремя неизвестными — усилиями в стреле, топенанте и оттяжке.

Система может быть решена любого методом последовательного исключения неизвестных. Для оттяжки и топенанта величины T и R представляют собой полные усилия. Осевое сжимающее усилие в стреле складывается из силы L и напряжения в сбегающей ветви шкворня, которое равно $\frac{Q}{\eta}$ т. е.

$$P_s = L - \frac{Q}{\eta}$$

Метод Солиди менее трудоемок, не требует сложных графических построений и может быть выполнен только по чертежу общего расположения грузового устройства. Однако его можно рекомендовать как проверочный, так как метод Б. В. Ящуржинского погрешнее и более удобен для анализа положений элементов оснастки при проектировании грузовых средств.

При расчете спаренной работы стрел нужно определить характер изменения усилий в элементах оснастки при изменении положения груза, передвигаемого шкворнями. В том случае, когда получаемые при этом максимальные значения нагрузок превышают силы при одиночной работе, их следует принять в качестве расчетных для определения прочностных размеров.

Остановимся несколько подробнее на соотношении грузоподъемности при одиночной и спаренной работе легких стрел. Обычно отношение $\frac{L}{H}$ изменяется в пределах 1,0—1,4. Отношение собственного веса стрелы к ее грузоподъемности редко превышает 0,2 поэтому примем $a = 1,1$. Осевое сжимающее усилие в стреле

$$P_s = G \left[a \frac{b}{H} + \frac{1}{\eta} \right] = G (1 + 1,2 + 1,05) = 2,37 G$$

где принято среднее значение отношения $\frac{L}{H}$.

Принимем допущение, что при спаренной работе усилие в шкворне Q равно грузоподъемности стрелы. Используем для

определения осевой сжимающей силы формулу (83) и зададимся средними значениями входящих в нее углов:

$$\begin{aligned}\alpha &= 30^\circ \quad \rho = 40^\circ \\ \beta &= 70^\circ \quad \varphi = 45^\circ \\ \phi &= 50^\circ \quad \omega = 30^\circ\end{aligned}$$

Осьвая сжимающая сила

$$P_0 = Q \left[1.2 \left(\cos 50^\circ + \frac{\sin 60^\circ \sin 45^\circ \cos 40^\circ}{\sin 40^\circ \sin 30^\circ} \right) + \right. \\ \left. + \frac{\sin 45^\circ \cos 70^\circ \sin 70^\circ}{\sin 40^\circ \cos 45^\circ} + \frac{1}{0.95} \right] - 398Q$$

Условие равнопрочности стрелы при одиночной и спаренной работе будет выполнено, если

$$398Q = 2370$$

откуда

$$Q = \frac{2370}{398} G \approx 0.60$$

Следовательно, среднее значение грузоподъемности стрел при спаренной работе не должно превышать $\frac{2}{3}$ грузоподъемности одиночной стрелы.

§ 55 Устойчивость и прочность стрел

Грузовая стрела представляет собой длинный стержень со свободно озирающимися концами, который испытывает действие значительной сжимающей силы.

Как известно из строительной механики энглерова нагрузка для такого стержня может быть определена по формуле]

$$P_s = \frac{\pi EI}{L^2} \quad (87)$$

Применение этой формулы возможно в том случае, когда энглерова напряженность рассматриваемого стержня не превосходит предела пропорциональности материала. Критерий для оценки возможности использования теоретической формулы устойчивости является гибкость стрелы

$$\lambda = \frac{L}{r}, \quad (88)$$

где L — длина стрелы

$$r — радиус инерции \left(\sqrt{\frac{I}{F}} \right)$$

Для стрелы, имеющей колышевое поперечное сечение и большое отношение диаметра стрелы D к толщине стеки δ ($\sim \frac{D}{\delta}$ — из-

меняется в пределах 35—40), можно использовать приближенные формулы для определения момента изгиба сечения и его паспортных

$$I = \frac{\pi}{8} \delta D^4 / F = \pi \delta D \quad (89)$$

Радиус инерции

$$r = \frac{D}{2\sqrt{2}} \quad (90)$$

гибкость

$$\lambda = \frac{L}{D} \sqrt{2} \sqrt{2} \quad (90)$$

У судовых стрел отношение длины к диаметру всегда больше 40 (среднее значение $\frac{L}{D} = 50$), откуда $\lambda > 110$.

При $\lambda > 100$ величина энглеровых напряжений мажные предела пропорциональности, поэтому для грузовых судовых стрел теоретические формулы устойчивости могут быть использованы без внесения поправок, учитывающих отступление от закона Гука.

Рассмотрим рекомендации некоторых Правил постройки для определения диаметра грузовых стрел.

В Речном Регистре СССР для определения диаметра деревянных стрел рекомендуется формула

$$D = K_1 \sqrt{L V P_s} \quad (91)$$

где D — диаметр стрелы, см.

$$P_s — сжимающее усилие, кг$$

$$L — длина стрелы, м;$$

$$K_1 — коэффициент пропорциональности$$

Если формулу (91) переписать в виде

$$P_s = \frac{D^4}{K_1 L^2}$$

то можно с подобной определенностью сказать, что эта рекомендация базируется на рассмотренной формуле для определения энглеровой нагрузки скатого стержня.

В Правилах постройки Регистра СССР и некоторых других классификационных организаций для нахождения размеров поперечного сечения стрел рекомендуется использовать формулу Эйлера

Для анализа Правил постройки, а также для расчета устойчивости стрел в первом приближении В. В. Яцуржинским было проведено понятие деловых залогов грузоподъемности, для определения которого принимается допущение о неизменности диаметра стрелы по длине. При этом для стрел второго и третьего типа (см. рис. 116, б, в) сохраняется диаметр средней части.

Таблица 17

Коэффициент K для стрел с коническими участками

I_0/I_s	Δ_{0L}			
	0	0,4	0,8	0,9
	Значение K			
0,1	5,05	6,32	7,88	9,14
0,2	6,14	7,34	8,49	9,81
0,4	7,02	8,38	9,10	9,84
0,6	8,30	9,02	9,46	9,74
0,8	9,23	9,50	9,69	9,86

Таблица 18

Коэффициент K для ступенчатых стрел с кинематическими переходами

I_0/I_s	Δ_{0L}			
	0,0	0,4	0,8	0,9
	Значение K			
0,1	1,47	2,40	4,50	6,59
0,2	2,80	4,22	6,09	9,38
0,4	5,09	6,68	8,51	9,68
0,6	6,99	8,19	9,24	9,78
0,8	8,25	9,17	9,63	9,86

Максимальные суммарные напряжения в стреле

$$\sigma = \frac{P_0}{F} - \frac{1}{W} [M_s - M_a + M - M_b] \quad (93)$$

где M_s — момент от собственного веса M_a — момент от эксцентрического приложения сжимающей силы; M — момент, возникающий за счет прогиба стрелы M_b — момент от смещения обухов на ноге.

1. Для цилиндрических стрел у которых вес распределяется равномерно по длине

$$M_s = \frac{P_0 L}{6} \text{ и } C = 8 \quad (94)$$

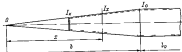
При отступлении от цилиндрической формы происходит концентрация веса в средней части стрелы и некоторое увеличение величины момента. Расчеты показывают, что для стрел II и III

Условный запас устойчивости для деревянных стрел изменился в пределах 6,5—8; для стальных стрел он равен 5.

Для окончательного расчета устойчивости стрел обычно ис-
пользуется действительный запас устойчивости, учитывающий возможное отступление от цилиндрической формы. Академиком
А. Н. Даниником исследовалась устойчивость стержней, у конеч-
ных участков которых момент инерции изменяется по степен-
ному закону

$$I_x = I_0 \left(\frac{x}{b} \right)^m$$

где I_0 — момент инерции сечения в средней части стрелы см^4
 b — полная длина конуса (рис. 129), м
 x — отстояние рассматриваемой точки от вершины конуса
 m — показатель степени

Рис. 129 К определению затраты I_0 и I_x

Для конечных участков стальных стрел с учетом зависимости (89) $m = 3$.

В формуле для определения критической сжимающей силы

$$P = K \frac{E I_x}{L}, \quad (92)$$

коэффициент K , учитывающий отступление от цилиндрической формы, может быть определен из табл. 17 и 18 в зависимости от отношений

$$\frac{x}{L} = \frac{I_0}{I_x},$$

где I_0 — длина средней части стрелы; I_x — момент инерции концевого сечения стрелы.

Анализ практических данных показывает, что действительный запас устойчивости равный отношению $\frac{P_0}{P}$ не должен быть меньше 4,5.

Прочность грузовых стрел. Стрела испытывает действие сжимающей силы и изгибающих моментов, возникающих от собственного веса, эксцентрического приложения сжимающей силы и смещения обухов для шкентеля и топенанта на ноге стрелы.

типов (см. рис. 115 б и в) коэффициент C следует принимать равным 7,5.

2 Сжимающее усилие в стrelе складывается из двух составляющих: проекция на ось стrelы натяжения токсиканта (T_1 , рис. 130) и проекция на эту же ось усилия, действующего из нижней скобу ножа (T_2). Так как эти составляющие не равны по величине и точки их приложения имеют различные расстояния (l_1 и l_2) от оси стrelы, то сжимающая сила P_s имеет аксиальный трисигнат величина которого

$$e = \frac{T_2 l_2 - T_1 l_1}{T_2 + T_1}$$

Момент от эксцентрикитета

$$M_s = P_s e = T_2 l_2 - T_1 l_1. \quad (95)$$

Если по абсолютной величине $T_2 l_2 > T_1 l_1$, то момент, возникающий от эксцентрикитета, уменьшает прогиб от собственного веса и благоприятно влияет на работу стrelы.

3 При изгибе стrelы за счет действия сжимающей силы возникает дополнительный изгибающий момент. Для подсчета его величины Б. В. Ящуринский рекомендует использовать приближенную формулу

$$M_a = P_s f = P_s \frac{f_0}{1-x^2}, \quad (96)$$

где f — максимальная стrelка прогиба,
 f_0 — прогиб от действия собственного веса

$$f_0 = \frac{5}{384} \frac{P_s L^3}{E I} \quad (97)$$

$$x^2 = \frac{P_s}{P_a}$$

4 Прогиб стrelы и напряжения, возникающие при ее изгибе, можно уменьшить создав на ноже стrelы дополнительный момент

$$M_a = T' k \quad (98)$$

который может быть получен при смещении обухов для крепления токсиканта к грузовому блоку, как показано на рис. 130.

Максимальные суммарные напряжения

$$\sigma = \frac{P_s}{F} + \frac{1}{W} \left[\frac{P_a L}{C} - P_s e + P_s \frac{f_0}{1-x^2} - T' k \right] \quad (99)$$

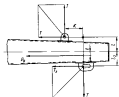


Рис. 130. Момент от эксцентрикитета и смещения обухов.

В формуле (99) есть члены, которые содержат геометрические характеристики поперечного сечения стrelы, что позволяет исключить ее для проверки выбранного или заданного сечения.

Допускаемые напряжения приведены в табл. 19. В зависимости от динамичности нагрузок, возникающих при работе грузового устройства, все стrelы делятся на три группы:

- А — легкие стrelы с быстродействующими лебедками;
- Б — легкие стrelы с нормальными лебедками;
- С — стrelы-тяжеловесы.

Таблица 19

Масса стrelы	Допускаемые напряжения σ , кг/см ²		
	A	B	C
Ст.2	1000	1100	1200
Ст.3	1000	1200	1300
Ст.4	1200	1300	1400

Расчет токсиканта. Наиболее распространенные в настоящее время методы расчета токсиканта учитывают только статические усилия. Для определения этих усилий принимается во внимание изменение натяжения при проходе снасти через шкворни блоков.

Запас прочности, т. е. отношение разрывного усилия троса к расчетному, для всех элементов токсиканта легких стrel равен 5. Для токсиканта стrel-тяжеловесов он снижается до 4, что объясняется мгновенными динамическими нагрузками. При одинаковой скорости набирания лопатей скорость перемещения груза у стrel токсикантов (имеющих высокую кратность талей) в несколько раз меньше, чем у легких стrel. Следовательно и ускорения, возникающие в начале и в концах движений.

Однако этот метод расчета не позволяет оценить влияния глубины троса, размеров шкивов, частоты пробегания троса по блокам и т. п.

Рациональнее было бы заменить разрывное усилие (являющееся критерием опасного состояния) натяжением, при назначении которого учитывались бы некоторые из перечисленных выше факторов, например, критическим натяжением.*

Для шкворней легких стrel, лопатей грузовых и тоннелевых талей стrel-тяжеловесов запас прочности по отношению к критическому усилию принимается равным 2,5—3.

* Критическое натяжение — это усилие, при котором трос способен ослабеть только со пробегом на цепь с заданным диаметром. Более подробно о этом понятии можно познакомиться в разделе «Гибкое сечение в судовых устройствах» (стр. 602).

Расчет по критическому усилию применяется в настоящее время ограничено из-за недостатка экспериментальных данных по усталостной прочности стальных тросов.

5.56 Расчет легкой грузовой стрелы

Числовой пример

Основные данные для расчета конструктивных элементов грузовой стрелы для сухогрузного судна:

Грузоподъемность стрелы	3 т
Тяговое усилие лебедки	3 т
Ширина судна	17 м
Высота салника над уровнем палубы	15,6 м
Высота грузовой палубы	2,3 м
Высота баковина кипера над ВП	4,8 м
Высота фальшборта	3,1 м
Составная ширина стрелы при ДП	3,0 м
Ширина грузового люка	10,0 м
Длина грузового люка	12,0 м
Расстояние от поперечного канвента люка до переборки	9,5 м

Для определения длины стрелы задано вылет $b = 5$ м. Исходя из формулы (131)

$$L = \frac{b + \left(\frac{\delta}{2} - g\right)}{\cos \alpha \sin \beta}$$

при $\alpha = 30^\circ$, $\beta = 80^\circ$ (мачта не имеет стоячего троса палубы)

$$L = \frac{5 + (8,5 - 3)}{\cos 30^\circ \sin 80^\circ} = 12,3 \text{ м}$$

Примем длину стрелы $L = 13$ м и проверим, в какой степени она удовлетворяет требованиям спиральной работы. Бортовая стрела на линии, отстоящей на $1/4$ длины люка ($2,4$ м) от поперечного канвента, должна иметь угол не менее 4° (см. стр. 990). Схема спиральной работы стрелы (рис. 131) позволяет убедиться, что это требование выполнено. При угле наклона в 30° линия стрелы перекрывает люк на 8 м (или $1/3$ длины люка). Этого окажется достаточно, особенно если учесть, что стрелы распологаются по обеим сторонам люка.

Усадка, действующая на стрелу при спиральной работе

Определим основное склоняющее усилие графически, приложив угол наклона стрелы $\alpha = 15^\circ$. Напряжение в сечении с блоком ветви грузового канвента

$$\frac{G}{q} \cdot \frac{\delta}{0,95} = 3,12 \text{ т}$$

В соответствии с силовой диаграммой (рис. 132):

Основное склоняющее усилие	$P_2 = 7,0 \text{ т}$
Напряжение волнистости	$T = 4,4 \text{ т}$
Пропускная сила стрелы рулевого арбаланса, приложенного к концу стрелы	$T_2 = 4,0 \text{ т}$
Пропускная матинская волнистости	$T_1 = 3,0 \text{ т}$

Вес стрелы найдем по формуле

$$P_0 = 160 \cdot \frac{1}{T} (3,41 - 16) = 16 \cdot \frac{1}{4,4} (3,41 - 16) = 560 \text{ кг}$$

Определим значение осевой силы наклонной силы гидроэластической

$$P_0 = 0 \left[\sigma \frac{L}{H} + \frac{1}{\eta} \right] = 3 \left[1,094 \frac{13,0}{11,0} + \frac{1}{0,96} \right] = 7,0 \text{ т}$$

Напряжение тоннелей

$$T = \sigma \frac{S_{\text{оск}}}{\cos (\beta - \alpha)} = 4,3 \text{ т}$$

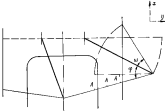
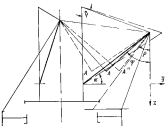


Рис. 131. Схема для расчета усадки при спиральной работе стрел

Усадка, действующая на стрелу в люках при спиральной работе стрелы Метод Марковникова. Расчет выполняется для бортовой стрелы. На рис. 131 было показано положение стрелы и тангенса при спиральной работе. Значение углов φ , и можно корректировать непосредственно на плане. Чтобы найти значение

углов α , β и ψ , нужно подобрать истинные приведенные строны, соответствующие отклонениям (на рис. 131 они показаны зелеными пунктирами). Замените углы в любом доказательстве тригонометрических функций приведены в табл. 26.

Напомним, что

$$R = Q \frac{\sin \psi \sin \alpha}{\sin \rho \sin \phi} = Q \frac{0,760 \cdot 0,694}{0,602 \cdot 0,530} = 1,650$$

где Q — истинная трубоизделие.

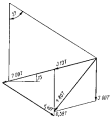


Рис. 132. Схема диаграммы

Одно уравнение в строке

$$\begin{aligned} P_4 - Q \left[\frac{L}{H} \left(\cos \psi + \frac{\sin \psi \sin \phi \cos \rho}{\sin \rho \sin \phi} \right) + \frac{\sin \psi \cos \beta \sin (\alpha + \phi)}{\sin \phi \cos (\beta - \phi)} \right. \\ \left. + \frac{1}{\eta} \right] - Q \left[\frac{13}{11} \left(0,63 + \frac{0,380 \cdot 0,694 \cdot 0,768}{0,602 \cdot 0,530} \right) \right. \\ \left. + \frac{0,694 \cdot 0,341 \cdot 0,968}{0,530 \cdot 0,768} + 0,4 \right] = 3,920 \end{aligned}$$

Напомним, что

$$\begin{aligned} T - Q \left[\frac{\cos \alpha (\cos \phi \sin \rho \sin \phi + \sin \phi \cos \rho \sin \psi)}{\sin \rho \sin \phi \cos (\beta - \phi)} \right. \\ \left. - \frac{\sin \psi \sin \phi \sin (\phi + \alpha)}{\sin \phi \cos (\beta - \alpha)} \right] = 1,102 \end{aligned}$$

Член $S_{\text{баз}}$. Размеры красной строки, толкнувши, отложили в соответствия приведены в табл. 21. Так же приведены и значения коэффициентов коэффициентов в соответствии с показанный на рис. 131 системой координат.

Таблица 20
Величины углов и коэффициенты
тригонометрических функций

Угол	Величина, град	=	=
α	32,5	0,537	0,842
β	70,6	0,940	0,341
ψ	49,5	0,760	0,620
ρ	37,0	0,602	0,788
ϕ	44,0	0,694	0,720
η	32,0	0,530	0,845

Таблица 21

К расчету строк по методу Соллья

Конструктивный элемент	X	a (м)	Y	m (м)	Z	n (м)
Стрела	5,4	0,420	-9,5	0,73	7,2	0,555
Торцевая	5,4	0,665	-9,5	0,32	-4,0	0,345
Оттяжка	7,2	0,530	4,2	0,31	11,0	0,800
Шахтоль	1,5	-0,170	6,6	0,76	5,5	0,635

Системы уравнений для определения всех узлов:

$$0,415L + 0,665T + 0,530m = 0,170$$

$$-0,730L - 0,620T - 0,310m = -0,760;$$

$$0,555L - 0,345T + 0,800m = -0,6850.$$

Решив систему предварительными включениями неизвестных получим следующие значения неизвестных:

$$L = -29^{\circ} Q \quad T = 1,660 \quad R = 1,650$$

Составим уравнение

$$P_4 = \left(L + \frac{Q}{\eta} \right) = 3,960$$

Результаты, полученные по методу Соллья и Найдуровского, согласуются достаточно хорошо. Небольшая разница может быть обусловлена ошибками при измерении углов и линейных размеров.

Рассмотрим, таким образом, изменение узлов и строк при перемещении груза в точке A' и A'' (см. рис. 131). В системе уравнений все члены остаются неизменными, за исключением направлений поиска по шахтной линии.

Для случая, когда груз находится в точке A' , система уравнений будет иметь вид

$$0,415L + 0,665T + 0,530m = 0,190$$

$$-0,730L - 0,620T - 0,310m = 0,8250;$$

$$0,555L - 0,345T + 0,800m = -0,530.$$

Ее корни: $T = 0,970$, $R = 1,660$, $P_4 = \left(L + \frac{Q}{\eta} \right) = -4,060$. Если груз расположится в точке A'' , то корни системы уравнений будут: $T = 1,120$, $R = -1,430$, $P_4 = -3,770$. Для каждого положения груза легко найти величину между зажимами Q и весом груза из грави- B и особых узлов P_4 :

Положение A' : $Q = 0,422$, $P_4 = -1,636$

Положение A : $Q = 0,692$, $P_4 = -2,986$

Положение A'' : $Q = 0,800$, $P_4 = -3,030$

Можно заметить, что, скомпенсировав максимальную склоняющую силу, так как для случая, когда цепь является вертикальной, $P_4 = 2,330$ (одинаково работают).

Основное условие в строке не должно превышать T т. е. условия, позволяющие в строке при одиночной работе. Поэтому ради спаренной работы строки может быть использована для отработки обмотки балансного груза, движущегося при этом способе для

$$G_{\text{сп}} = \frac{2,25}{3,02} G = 0,776$$

Подбор стрелы. После расчета длины стрелы и величины осевого усилия можно подобрать тип стрелы, ее сечение и размеры, пользуясь стандартами: длина стрелы $L = 13$ м; осевое усилие $P_0 = 7$ кН; стрела Г-типа (из трубчатого проката); обечайками: размеры приведены на рис. 133.

Проверка устойчивости стрелы. Момент изгиба сечения стрелы в средней части

$$J_0 = \frac{\pi}{8} \cdot 80^4 = \frac{3.14}{8} \cdot 0.7 \cdot 24.5^4 = 4000 \text{ см}^4$$

Момент изгиба сечения стрелы у концов

$$I_0 = 1120 \text{ см}^4$$

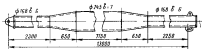


Рис. 133. Размеры стрелы

Критическая сила может быть определена по формуле (20). Коэффициент K заходит по табл. 18 в зависимости от относительной $\frac{J_0}{J_1} = 0,275$ и $\frac{l_0}{L} = 0,55$: $K = -6.68$. Отсюда

$$P_k = K \frac{E I_0}{L^2} = 6.68 \cdot \frac{2 \cdot 10^6 \cdot 4000}{1300^2} = 38000 \text{ кН}$$

Фактический закон устойчивости

$$K_F = \frac{P_k}{P_0} = \frac{38000}{7000} = 4.7 > 4.5$$

τ — устойчивость стрелы обеспечена.

Проверка прочности стрелы. Момент сопротивления стрелы в средней части

$$W = \frac{\pi}{4} \cdot 80^3 = \frac{3.14}{4} \cdot 0.7 \cdot 24.5^3 = 350 \text{ см}^3$$

площадь $F = \pi d^2 = 3,14 \cdot 24.5 \cdot 0.7 = 54 \text{ см}^2$

Максимальные напряжения

$$\sigma = -\frac{P_0}{F} = \frac{1}{W} \left[\frac{P_0 L}{C} - P_0 \delta + P_0 \frac{l_0}{1 - \mu^2} \right]$$

Собственный вес стрелы 450 кН; момент от собственного веса

$$M_0 = \frac{P_0 L}{75} = \frac{450 \cdot 1300}{75} = 78000 \text{ кН см}$$

Момент от концентрического приложения конечной силы (расчетная сила)

$$M_p = T_1 l_0 - T_2 l_1$$

где T_1 — проекция на ось стрелы силы, приложенная к концевой скобе носа (1 м); T_2 — проекция затяжелителя головного (2 м);

$$l_1 = l_0 - 15 \text{ см} \quad M_p = 15(4000 - 3000) = 15000 \text{ кН см}$$

Прогиб стрелы от собственного веса

$$\frac{6}{4} \cdot \frac{P_0 L^3}{E I} = \frac{6 \cdot 450 \cdot 130^3 \cdot 10^6}{384 \cdot 2 \cdot 10^9 \cdot 4000} = 1.6 \text{ см}$$

Момент от действия сжимающей силы

$$M_{10} = P_0 \frac{l_0}{1 - \mu^2} = 7000 \frac{1.6}{1 - \frac{1}{3300}} = 14000 \text{ кн см}$$

Максимальные напряжения

$$\sigma = -\frac{7000}{54} = \frac{1}{330} [78000 - 15000 - 14000] \\ = -365 \text{ кн/см}^2 < 1000 \text{ кн/см}^2$$

следовательно прочность стрелы обеспечена

ГЛАВА 15

ГРУЗОВЫЕ МАЧТЫ ТРАНСПОРТНЫХ СУДОВ

§ 57 Терминология и классификация

Грузовые мачты транспортных судов являются органической частью грузового устройства, так как без них не возможна работа судовых стрел. Грузовые мачты могут нести антены, стеньи и выполнять все функции сигнальных мачт, однако их прочностные размеры и конструкции определяются из условия обеспечения рациональной работы грузовых стрел.

Остановимсякратко на терминологии. Система стержней образующих мачту, называется рамковым; комплекс снастей, раскрепляющих мачту в продольном и поперечном направлениях, — стяжками тяговыми.

Известна большая сложность разработки и таекелажа парусных судов, мачты которых предназначались для несения парусов и управления ими. Маневрирование парусами осуществлялось по команде, подаваемой голосом. Необходимость четкого указания нужного элемента оснастки послужила основой для создания звучной богатой терминологии. Каждый термин точно определял положение элемента по длине судна и по высоте на мачте.

Для ориентации по длине судна к называнию снастей добавлялась приставка, заимствованная из названия мачты. Например для передней мачты (фок-мачты) — приставка «фока»; для следующей за ней грот-мачты — приставка «грот» и т. д. Для ориентации по высоте использовалось как бы деление мачты на ярусы находящуюся которых соответствовала также определенная при ставке к называнию снастки. Так, для яруса первой стеньи существовала приставка «брама», а для яруса второй стеньи — была двойная

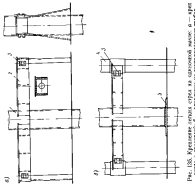


Рис. 135. Крепление струй на палубной настил:
а — вид
б — вид с транзера; в — крепление на палубе жестких труб.
1 — мачта; 2 — транзера; 3 — балки; 4 — переборка;
5 — палуба для симметрии настила с балкой.

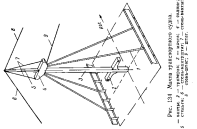


Рис. 136. Мачта транспортного судна:
1 — мачта; 2 — топмачта; 3 — стеньги; 4 — транзор; 5 — парус;
6 — стапель; 7 — палуба; 8 — симметрия; 9 — стеньги.

приставки «бом-брам» и т. д. Только названия иного яруса т. е. яруса собственно мачты, не имели никакой приставки.

Далекие ярусы на ярусы с соответствующим делением парусов по назначению стремились облегчить управление парусами. Кроме того, высота яруса часто определялась естественной высотой матового леса.

Конструкция современных мачт настолько упростилась, что они в большинстве случаев лицом условно делются на мачту и стеньгу. Упростилась соответственно и терминология. На рис. 134 схематически изображены грузовая мачта транспортного судна и дают названия основных элементов такелажа и рангоута.

В настоящий время различают следующие типы мачт: одиночные порталные, грузовые колонки, дуи и трехугольные мачты.

§ 58 Одиночные мачты

Одиночные мачты практически всегда располагаются в диаметральной плоскости. Для их закрепления выбирают две палубы, из которых одна — всегда верхняя. Второй палубой может быть палуба верхнего твинкса или палуба специальной площадки предназначенной для размещения грузовых лебедок и других деталей грузового устройства (грузовая площадка). Иногда на двух палубных судах для закрепления мачт используют обе палубы и палубу грузовой площадки. Чтобы увеличить жесткость крепления мачты, стремятся совместить ее с плоскостью поперечной или продольной переборки.

В районе расположения мачты на палубу передаются значительные усилия, поэтому палубы подкрепляются накладными и закупороченными листами.

При полном грузовом вооружении на одном мачте размещают четыре стеньи. Более того, к которым они крепятся должны быть смешены к бортам и подняты над палубой не менее чем на 2,5 м.

Два варианта крепления шпоров легкая стrel показаны на рис. 135. В одном случае предусматривается специальная трапеза, в другом башмаки располагаются на массивной балке, соединяющей мачту с колоннами вентиляторов. Если мачта не вертикальная, то трапеза в плане должна иметь V-образную форму. Этим достигается изменение положения башмака и симметрически вертая его с топенантным блоком на одной вертикальной трапеции.

Для крепления обухов топенантных блоков используется салинг — массивная поперечная балка, расположенная у верхнего конца мачты. У парусных судов салинг служил для соединения мачты и стеньги (рис. 136, а). Типичная для мачт транспортных судов конструкция салинга показана на рис. 136, б: салинг представляет собой коробчатую балку приваренную к мачте.

Одиночные мачты могут быть изолированы и могут иметь стоячий такелаж, воспринимающий некоторую долю передаваемой на мачту нагрузки.

Рассмотрим совместную работу мачты и стоячего такелажа. При работе легкой стрелы грузовой мачты подвержена действию осевой силы P_e и сил, передаваемых от топеняния и шквельда на обуха блоков (рис. 137). У стрел-тяжеловесов осевое усилие передается на специальный фундамент, а на мачту действуют усилия, складывающиеся из напряжений в ветвях топеняния и грузового шквельда.

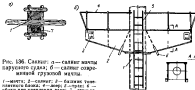


Рис. 136. Схемы: а — салют мачты парусного судна; б — салют современной грузовой мачты.

1 — мачта; 2 — стеньги; 3 — палуба; 4 — якорь; 5 — стеньга; 6 — обручи для крепления штага; 7 — стеньга.

В общем случае действующие на грузовую мачту силы приходят к ее сжатию, изгибу и кручению.

Изолированную мачту можно рассматривать как консольный стержень, имеющий два варианта конструкции нижней опоры. В том случае, если мачта соединяется с продольной и поперечной переборками, ее можно рассматривать как жестко заданную на верхней палубе. Если переборки отсутствуют, мачта имеет свободное сопряжение на двух палубах.

Опасное сечение изолированной мачты находится на уровне верхней из палуб, обеспечивающих крепление мачты. В этом сечении момент внешних сил, действующих на мачту, будет иметь максимальное значение.

Одночайная мачта со стоячим такелажем.

Рассмотрим мачту, поддерживаемую в плоскости действий сил штормом (спасателью) * (см. рис. 137).

Горизонтальная сила N , действующая на верхнюю часть мачты вызывает ее изгиб. При перемещении верхней части снасти, поддерживающей мачту, растягивается и воспринимает некоторую долю силы N . Очевидно, что величина этой доли зависит от соотношения изгибной жесткости мачты A_m и жесткости снасти A_s . В обоих случаях жесткость равна силе, вызывающей единичное перемещение точки A в направлении действия силы N .

* Этот случай подробно рассмотрен в книге Б. В. Януковичевого

Для мачты

$$A_m = \frac{3EI}{l_m^3}, \quad (100)$$

где E — модуль упругости материала,

I_m — момент инерции сечений мачты;

l_m — длина мачты.

Формула (100) получена в предположении, что сечение мачты не изменяется по высоте, а конец мачты жестко задан. Если нижний конец мачты отрывается на две опоры (палубы) то

$$A_m = \frac{3EI}{l_m^3 \left(1 + \frac{a}{l_m}\right)}, \quad (101)$$

где a — расстояние между палубами.

Для снасти

$$A_s = \frac{E_s \pi \cos^2 \varphi}{l_s}, \quad (102)$$

где E_s — модуль упругости троста;

a — площадь поперечного сечения троста;

l_s — длина снасти;

φ — угол наклона снасти к горизонту.

Доля усилия N , приходящегося на мачту (N_m) и снасть (N_s), пропорциональны соответственно значениям A_m и A_s

$$N_m = N \frac{A_m}{A_m + A_s}, \quad N_s = N \frac{A_s}{A_m + A_s}. \quad (103)$$

Напряжение снасти

$$T_s = \frac{N_s}{\cos \varphi} = N \frac{A_s}{(A_m + A_s)} \frac{1}{\cos \varphi}. \quad (104)$$

Основная трудность при расчете мачт со стоячим такелажем за ключается в определении модуля упругости стальных тростов. Особенно существенное влияние на распределение усилий между мачтой и стоячим такелажем имеет изменение модуля упругости в процессе эксплуатации. Модуль упругости старого троста может быть в два и более раза больше, чем нового. Целесообразно определять усилия в мачте при помощи для расчета модуль

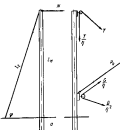


Рис. 137. Схема усилий действующих на мачту.

упругости нового троса, а натяжение в снасти находить с учетом увеличения жесткости троса примерно в два раза.

Мы рассмотрели мачту, подкрепленную только одной снастью. Однако стоячий такелаж представляет собой целый комплекс вант и шлагов, поэтому для расчета мачты необходимо определить направление наименьшей суммарной жесткости стоячего такелажа.

Вертикальная плоскость, проведенная через снасть, может составить с направлением действующей силы некоторый угол ψ . Жесткость такой снасти в направлении силы

$$A_c = E_{st} \frac{\cos^2 \psi}{l_s} \cos \psi \quad (105)$$

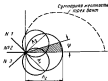


Рис. 138 Диаграмма суммарной жесткости мачт.

Рассмотрим графически способ определения суммарной жесткости стоячего такелажа. Жесткость снасти будет максимальной при $\psi = 0$ ($\cos \psi = 1$) при $\psi = \frac{\pi}{2}$ ее жесткость равна нулю.

Предположим что мачта поддерживается с одной стороны тремя вантами (рис. 138) максимальная жесткость каждой из которых A_1 , A_2 и A_3 . Если например, для второй снасти провести окружность с диаметром A_2 , то легко убедиться, что величина хорды, образующей с диаметром угол ψ , будет равна $A_2 \cos \psi$. Эта величина и будет эквивалентной жесткостью снасти в этом направлении.

Если построить окружности для всех снастей, то эквивалентная жесткость может быть построена простым суммированием отрезков хорд в заданном направлении. Направление, в котором суммарная жесткость вант минимальна, является для мачты расчетным при условии, что величина внешней силы остается неизменной. Окончательно расчетное направление может быть получено на основании анализа как эквивалентного распределения жесткости так и эквипотенциальных изогнутых линий на мачте.

Обычно одиночные мачты имеют круглое поперечное сечение. Толщина листов мачты должна быть не менее $\frac{1}{4}$ ее диаметра. Диаметр мачты у сильвага может быть на 25% меньше ее диаметра у палубы но при всех условиях должна сохраняться неизменным

до четырех высот мачты от палубы. У спор рекомендуется увеличивать толщину мачты на 40%.

Ванты грузовых мачт изготавливаются из жестких стальных тросов или из пружинной стали. Пружины мачты изгибаются, однако они менее прочны, чем тросовые. Стальные тросы, используемые для изготавления стоячего такелажа, имеют обычно один органический сердечник; реже используются наиболее жесткие спиральные тросы.

Диаметр проводочек на ружинных слоев прядей троса должен быть не менее 1 мм что уменьшает вероятность их обрыва при соприкосновении со стрелой, шкантелем или оттяжками.

Для выбирания слабинны в ванты обязательно включают антивибрационные. Конструкции крепления ванты на салинге и на палубе показаны на рис. 139.

Серьезный недостаток одиночных мачт со стоячими такелажами является то, что ванты и шлаги стесняют работу грузовых стрел. Это заставляет полностью отказаться от шлагов и концом тяговать ванты ближе к плоскости мачты. Кроме того, одиночные мачты не позволяют в некоторых случаях сместить грузовые стрелы за желаемое расстояние от ДБ, так как это значительно усложнило бы конструкцию мачты в особенности конструкцию салинга.

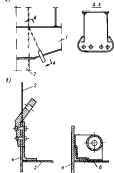


Рис. 139 Крепление ванты: а — за салинг; б — на палубе.

свали: 1 — ванта; 2 — фланец; 3 — болт; 4 — палуба; 5 — болт; 6 — фланец.

§ 59 Портальные и П-образные мачты

Портальная мачта (рис. 140) представляет собой две отдельные мачты без стеньг (полумачты), соединенные в верхней части фермой. Каждая полумачта весит обычно две легких стрелы для работы на смежных трюмах и позволяет удобно расположить башмаки топливных блоков в широких стрелах. Если одиночные мачты позволяют увеличивать расстояние между осями легких стрел

до 6—7 м, то при использовании портальных мачт это расстояние можно увеличить до 10—12 м.

Грузовые колонки или грузовые полузаметы не связаны между собой и работают совершиенно изолированно. Поэтому их можно разместить там, где это необходимо для более удобной работы грузовых стрел. Целесообразно применять подобные мачты в тех случаях, когда большая ширина судна не дает возможности использовать портальные мачты для расположения стрел.

Иногда портальные мачты и грузовые колонны имеют сточечный тяжелаж.

Двухголовые и трехголовые мачты. Легкие трехголовые мачты применяются для носения средств сигнализации и связи и не требуют стоячего тяжелажа. Стержни, образующие мачту, работают практически только на сжатие и растяжение, в связи с чем достигается сравнительно небольшой вес конструкции. Однако эти мачты громоздки и неудобны для крепления грузовых стрел.

Широкое распространение на судах получили двухголовые, или Л-образные, мачты, состоящие из двух наклонных ног (рис. 141). В верхней части, несколько ниже точки пересечения ног, располагается салник. Чтобы упростить крепление мачты, участки ног, заключенные между поперечными лубами делают вертикальными.

Основные нагрузки передаются на мачту через салинг, к которому крепятся тоннениточные блоки. Усилия, действующие в пло- скости мачты, раскладываются на направления ног, вызывая их растяжение или сжатие. В продольном (относительно судна) направлении эффект совместной работы ног мачты практически не проявляется. Необходимая прочность при изгибе мачты достигается усилиями, направленными вдоль судна, за счет увеличения площади поперечного сечения мачты и придания ему выпуклого в продольном направлении форм.

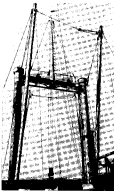


Рис. 140. Портальная мачта

Можно назвать два режима работ Л-образных и порталных мачт, которые являются определяющими при выборе расчетных нагрузок. Первый — это работа легких стрел в самых различных вариантах: на один трос, на два смежных троса, одиночная работа, спаренная работа и т. д. Второй — работа стрел



Рис. 141. Л-образная мачта

тяжеловесов: когда нагрузки, действующие на мачту, значительно преувеличиваются, передаваемые на мачты легкими стрелами.

Однако операции с тяжелыми грузами встречаются в практике морских перевозок достаточно редко, и если нагрузки при этом режиме привести в качестве расчетных, то мачта большую часть времени окажется значительно недонагруженной. Поэтому целесообразно определять конструктивные размеры мачты, рассчитав ее на действие нагрузок, передаваемых от легких стрел и дополнительно — за счет какой-нибудь конструктивной

меры — разгрузить мачту при работе стрел-тилевозов. Несущую способность мачты можно увеличить за счет использования одного или нескольких съемных штагов (контрштагов). Мачты с такими подкреплениями вполне выдерживают работу стрел тягачевозов средней грузоподъемности (до 60 т).

Для расчета Л-образных и порталных мачт можно использовать методы расчета рамных конструкций, излагаемые в курсе строительной механики.

Для изготовления мачт используются судостроительные углеродистые стали. При расчете конструктивных размеров мачт необходимо обеспечить 5-кратный запас прочности, если рабочая нагрузка на верхнюю часть мачты меньше 10 т. Если рабочая нагрузка превышает 10 т, запас прочности равен 4.

Для пантов запас прочности во всех случаях должен быть не менее 5.

ГЛАВА 16

СУДОВЫЕ КРАНЫ

§ 80 Судовые палубные краны

Появление первых судовых палубных кранов, предназначенных для выполнения погрузочно-разгрузочных работ, относится к двадцатым годам XIX века. Это были паровые краны построенные в Глазго, — промышленном центре Шотландии.

В настоящее время краны занимают значительное место в судовых грузовых операциях.

Рассмотрим устройство палубного крана, который показан на рис. 142. Закрепление крана осуществляется при помощи баллеров, который обычно проходит сквозь верхнюю палубу до первой швеллерящей палубы. Колонна, площадка и баллер представляют собой прочную основу крана. Площадку вместе с размещенными на ней механизмами следует располагать尽可能 ниже, так как она практически полностью определяет положение центра тяжести крана. Колонна крана выполняет функцию мачты; в верхней части ее размещены блоки грузовых и топенантных лебедок.

Топенант и шкентель крана обдуваются самостоятельными лебедками, которые обеспечивают два рабочих движения — вертикальное перемещение груза и перевешивание груза в радиальном направлении при изменении азимута стрелы крана. Третье рабочее движение — вращение крана — осуществляется специальными механизмами, основными элементами которых являются зубчатый венец укрепленный на жестком неподвижном фундаменте, ведущий шестерня и двигатель.

293

Пост управления краном должен обеспечивать хороший обзор. На некоторых кранах он делается закрытым, чтобы предохранить оператора от непогоды. Однако с открытых постов управления обзор всегда лучше и, кроме того, легче осуществляется связь с оператором при подаче команды голосом.

В отличие от судовых грузовых стрел стрелы кранов большей частью имеют форменную конструкцию. Нижняя часть стрелы используется обычно в виде широкой палки,хватывающей палубу. Концы этой палки шарнирно закрепляются на горизонталь-

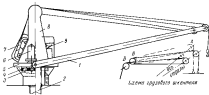


Рис. 142. Палубный кран.

стrelы; 2 — baller; 3 — нижняя палуба; 4 — арочный обод; 5 — палка; 6 — концы конца; 7 — привод в топенантную лебедку; 8 — кран; 9 — лента трубы шкентеля

ных полусościх. Такая конструкция соединения стрелы и площадки надежно обеспечивает их совместное вращение при повороте крана.

Основная функция машины крана имеет несколько особенностей: в рабочем положении стрела удерживается топенантом; изменение угла наклона стрелы осуществляется топенантной лебедкой.

Оснастка грузового шкентеля (рис. 143) выполнена таким образом, чтобы уменьшить усилие в топенанте и снизить мощность топенантной лебедки. Шкентель пробегает путь по ножке стрелы А неподвижный блок В возвращается к блоку D через второй блок X на стреле и идет на грузовую лебедку. Такая оснастка позволяет значительно уменьшить момент груза, который противодействует усилию в ножке шкентеля.

Оснастка крана обеспечивает неизменный уровень перевозки груза в том случае, когда изменяется наклон стрелы и работает только топенантная лебедка. Рассмотрим путь стрелы (рис. 142). Положение гака по высоте останется неизменным, если увеличение длины вертикальной части шкентеля будет равно

сумме изменения длин звеньев шкворня между стрелой и колонной. Сохранение уровня перемещения груза поясняет удобства в работе позволяет уменьшить мощность толкающей лебедки.

Подавляющее большинство неподвижных кранов имеет три рабочих движения: вертикальное перемещение груза, поворот крана и изменение вылета (изменение угла наклона стрелы). Конструкции кранов, перемещающиеся по палубе, в большей степени зависят от того, как происходит передвижение крана — с грузом или без него. Перемещение кранов в продольном направлении осуществляется по рельсовым путям, расположенным параллельно продольным комингсам; при поперечном перемещении рельсовые пути располагаются в промежутках между люками.

Поскольку краны имеют такое же назначение, как и стрелы, для их оценки можно использовать те же самые критерии: грузоподъемность, производительность, распределительную способность, простоту обслуживания, способность работать при якоре и т. д.

§ 81 Схемы судового кранового вооружения

Существуют четыре основных варианта оснастки судна палубными кранами (рис. 143):

- 1 Неподвижные краны, расположенные в ДП.
- 2 Неподвижные краны, расположенные у бортов
- 3 Продольно перемещающиеся краны.
- 4 Краны с поперечным перемещением.

Рассмотрим положительные и отрицательные стороны каждого из этих вариантов:

1. Краны, расположенные в ДП (рис. 143, а), имеют минимальную начальную стоимость и вес (см. табл. 22), так как при этом отпадает необходимость создавать большие подкрепления палубы. Однако при таком расположении кранов достаточный вылет может быть получен только при очень большой длине стрелы. Недостатком этого варианта является сокращение длины люков.

2. Смещение кранов к бортам (рис. 143, б) позволяет несколько увеличить длину люков и также значительно сократить длину стрелы. Но этот вариант тоже имеет существенные недостатки: число кранов удваивается, сокращается площадь, которая может быть использована для перевозки палубного груза, резко снижается коэффициент использования кранов; вес и стоимость грузового устройства в целом значительно возрастают. Тем не менее только такие схемы расположения кранов может быть использована на крупных транспортных судах, когда не удается добиться нужного вылета при расположении кранов в ДП.

3. Большие преимущества имеют продольно перемещающиеся краны (рис. 143, в). Они обеспечивают за привале равномерную грузовую зону, ширина которой определяется максимальным вылетом стрелы (на рис. 143 грузовые зоны заштрихованы). Обычно

краны с продольным перемещением комбинируют с механическим люковым закрытием, крышки которого открываются также в продольном направлении. Это позволяет расположить подкрайевые щиты непосредственно у продольных комингсов люков. Длина люка определяется длиной трюма с учетом места необходимого для укладывания крышек.

Рассматриваемая схема расположения кранов позволяет сократить их число до минимума и в то же время объединить несколько кранов для обслуживания какого либо одного трюма.

К недостаткам схемы следует отнести небольшой вылет, что ограничивает возможность использовать продольно перемещающиеся краны на крупных судах. Перемещение осуществляется за счет мостовой конструкции перекрывающей люк во ширине. С увеличением ширины люка в скромном грузоподъемности кранов эта конструкция становится очень громоздкой. Кроме того она не только утяжеляет грузовое устройство в целом, но и увеличивает его стоимость.

4. Краны, перемещающиеся в поперечном направлении, расположены между грузовыми люками, в связи с чем длина последних существенно сокращается. Сокращается и площадь для перевозки палубного груза. Однако к преимуществам этой схемы следует отнести хорошее использование кранов, сравнительно короткую стрелу, меньшую стоимость к весу всей конструкции (по сравнению с предыдущими двумя вариантами).

В табл. 22 приведено сопоставление весов и стоимостей различных вариантов кранового оборудования и грузового устройства со стрелами. За единицу принята стоимость к весу оборудования необходимого для обеспечения спаренной работы стрел, включая

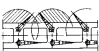
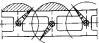


Рис. 143. Схемы кранового вооружения судов: а — краны в ДП; б — краны у бортов; в — краны с продольным перемещением; г — краны с поперечным перемещением.

Таблица 12
Относительная стоимость к вес грузовых устройств

Стрела от стрелки	Суда с различными характеристиками кранов оборудования	Суда с различными характеристиками кранов оборудования			
		2	1	11	15
Стоимость	10	0,890	1,380	1,140	1,010
Вес	10	0,885	1,490	1,430	1,175

мачты и лебедки. В качестве исходного было взято судно с 7 парами легких стрел; число кранов при расложенном и ДП — 7 при расположении у бортов — 14.

Основными рабочими характеристиками кранов являются минимальный и максимальный радиусы грузовой зоны, скорость перемещения груза в вертикальном направлении, скорость измывания вылета и скорость поворота. Зависимость средней скорости подъема груза от грузоподъемности крана показана на рис. 144; скорость движения пустого гака в среднем в два раза превышает скорость движения стрелы с полным грузом.

Изменение вылета со временем со скоростью 20–30 м/мин

Скорость вращения колеблется в пределах 1–1,5 об/мин. Изменение веса крана в зависимости от грузоподъемности показано на рис. 145. Эти данные обобщают лучший практический или электрогидравлический привод.

§ 82. Сравнительная оценка судовых стрел и кранов

Сравнительную оценку стрел можно произвести в том же последовательности, в какой выше оценивалась работа грузовых механизмов, используемых на судах:

1. Грузоподъемность кранов, так же как и легких стрел, варьируется в основном в пределах 3–5 т. При увеличении грузоподъемности значительно увеличение веса и усложнение конструкции кранов объясняется низким положением топенантного блока. Если для стрел относительно $\frac{L}{H}$ колеблется в пределах 1,2–

1,5, то для кранов это практически не бывает меньше трех, вследствие чего значительно увеличивается скжимающаяся масса силы. В судовой практике редко применяются краны грузоподъемностью больше 7,5–8 т.

Грузоподъемность грузовых стрел на судне может достигать 300 т, а обработка грузов весом до 50 т является на судне обычной. Таким образом, с точки зрения грузоподъемности судовые стрелы обладают существенным преимуществом.

2. Для определения производительности погрузочно-транспортных механизмов периодического действия исходной величиной является теоретический цикл, т. е. время, затрачиваемое на подъем, передвижение, опускание груза и возвратом пустого гака.

Практические наблюдения показывают, что теоретический цикл работы спаренных стрел на 15–20% короче, чем у кранов. Однако этим циклом не учитывается распределительная способность грузового механизма.

Фактические же рабочие циклы в значительной степени зависят от объема работ по перемещению груза в трюме и складываются из следующих составляющих (рис. 146):

время перемещения груза ПГ; время, в течение которого гак находится в трюме ГТ и на якоре ПГ;

время возврата пустого гака ВГ.

Если бригады, работающие в трюме, не успевают обработать одну партию груза до прибытия второй, то к фактическому циклу добавляется время, затрачиваемое за «ожидание» гаком свободно в трюме, ОТ.

На рис. 146 приведены диаграммы работы спаренных стрел и кранов, которые были получены в результате учета времени затраченного на операции при погрузке аналогичных грузов и при их размещении только в пространстве грузового люка. Работы в трюме велись бригадами левого и правого бортов. Фактический цикл работы бригад складывается из расстропивания груза СГ его размещения П и отвода ОТ.

При спаренной работе значительное время затрачивается на перемещение груза, что объясняется плохой распределительной способностью грузовых стрел. Несмотря на то что была принята самая минимальная норма времени для отвода рабочих, значительное время (около 2 минут на дикий) затрачивалось на ожидание гаком в трюме гаком.

При работе крана времени на перемещение груза в трюме затрачивается значительно меньше, поэтому продолжительность

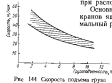


Рис. 144. Скорость подъема груза

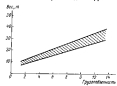


Рис. 145. Вес грузовых кранов

фактического цикла определяется работой крана, так как бригады грузчиков быстро справляются с работой и имеют достаточно времени для отдыха.

Рассмотренный случай относится к тому периоду погрузки, когда размещение груза происходит только в пространстве люка. При необходимости транспортировать груз в подпалубное пространство разница будет незначительной. Для таких грузов, как рулоны, бочки и пр., которые легко транспортируются в трюме

а)

Надъем в час

СТ	В				В				Лебк и борт Гал
	ГГ	БГ	ЛГ	БГ	ГГ	БГ	ЛГ	БГ	
ГГ									Грабль и борточ
ГГ	В		БГ		ГГ		ЛГ		

б)

Задъем в час

СТ	В				В				Лебк и борт Гал
	ГГ	БГ	ЛГ	БГ	ГГ	БГ	ЛГ	БГ	
ГГ									Грабль и борточ
ГГ	В		БГ		ГГ		ЛГ		

Время мин

Рис. 146. Производительность стрел и кранов: а — грузовой цикл стрел; б — грузовой цикл кранов.

СТ — санитарный	БГ — подъем груза
П — погрузка в трюме	ЛГ — тих в трюме
О — опуск в трюм	БГ — перевозка груза
ГГ — тих в трюме	ЛГ — выемка груза

производительность стрел и кранов практически одинакова. В среднем производительность кранов на 20% больше, чем производительность стрел. Увеличение производительности более существенно для больших «подъемов» (объединенный грузон для транспортировки в трюм) при большом раскрытии палуб.

В целом можно отметить следующие преимущества кранов: хорошая распределительная способность; более высокую производительность, особенно при увеличении веса подъемов и увеличении раскрытия палубы постоянную готовность к работе; лучший внешний вид, отсутствие мятт в стоячего талеважа; возможность работы с грейфером при операциях с сыпучим грузом.

Недостатком является большой вес, высокая начальная стоимость, ограниченная грузоподъемность (из-за отсутствия высоко-

расположенной точки крепления топенанта) и чувствительность к крену. Последнее в основном относится к механизму поворота заклинивание которого ограничивает допустимый для работы угол крена ($\beta - 8^\circ$). Кроме того, для обслуживания кранов требуется более квалифицированный персонал.

§ 63. Мачтовые краны

В последние годы появились конструкции, в которых в одном механизме объединены достоинства и стрел, и кранов. Эти подъемные механизмы получили название стрел кранов или мацовых кранов.

К особенностям мацовых кранов следует отнести сохранение высокого положения топенантного блока или отводного блока шкентеля и использование специальных механизмов для поворота стрелы и изменения ее вылета. На рис. 147 показан один из вариантов мацового крана. Его основными элементами являются: стрела с оснасткой, мачта (или грузовая полумачта), механизмы поворота, механизм изменения вылета, грузовая лебедка и пост управления.

Изменение вылета стрелы чаще всего осуществляется при помощи гидравлического телескопического механизма. Значительному уменьшению момента от веса груза способствует высокое положение отводного блока шкентеля.

Механизм поворота у мацовых кранов имеет два конструктивных варианта. В одном случае используется гидравлический шарнир, принцип которого был рассмотрен выше (см. стр. 000). В другом случае (рис. 148) поворот осуществляется при помощи рычага на вертлюгах. С рычагом через вспомогательные звенья связаны штоки двух гидроцилиндров, которые закреплены параллельно.

Оснастка и количество мацовых кранов больших судов проектируются таким образом, чтобы обеспечить не только одиночную но и спаренную работу стрел. В том случае, когда стрелы дополнительно раскрепляются оттяжками, грузоподъемность снижается на 40%; если же стрелы при спаренной работе не имеют дополнительного крепления, то грузоподъемность не должна превышать 80% грузоподъемности при одиночной работе мацового крана.

Мачтовые краны обеспечивают повышенную производительность однако применение их не решает всех проблем, связанных с разгрузочными работами. Поэтому продолжается поиск более эффективных средств. Интересно, например, универсальное устройство, которое представляет собой порталный кран, перемещающийся в продольном направлении. Благодаря конечному движению крана по кортыку достигается большая распределительная способность, а возможность использования грейферов и транспортеров дает систему универсальной. Однако подобное устройство очень сложно в конструктивном отношении и дорого

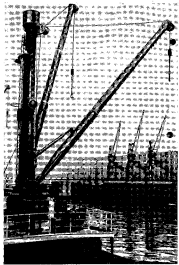


Рис. 147. Металлический кран.

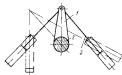


Рис. 148. Желобчатый залогательный кран.
1 — рукоять; 2 — вертлюг;
3 — каток спироредуктора.

В целом пока еще трудно указать определенные пути для совершенствования судовых грузовых средств и эта большая задача еще ждет своего решения.

ГЛАВА 17

ГРУЗОВЫЕ МЕХАНИЗМЫ НЕПРЕРЫВНОГО ДЕЙСТВИЯ

§ 64 Транспортеры и элеваторы¹

Грузовые механизмы непрерывного действия обеспечивают не прерывный поток транспортируемого груза, имеющего однообразную структуру. К этим механизмам относятся различные типы конвейеров или транспортеров, элеваторы, пневматические и гидравлические перегружатели.

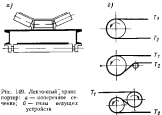


Рис. 149. Ленточный транспортер:
а — поперечные сечения;
б — типы изогнутых устройств

Наиболее распространеными являются ленточные транспортеры. Они представляют собой бесконечную движущуюся ленту, предназначенную для перемещения грузов горизонтально или с небольшим наклоном. Основные элементами конвейера являются: водящее устройство, лента с поддерживающими роликами, несущая конструкция. Для увеличения производительности и сокращения потерь лента на рабочей стороне имеет форму желобка (рис. 149).

Наклон ленты зависит от характера груза. Например, для угла допускается угол наклона 17–20°, для сухого песка и зерна — 15°. Скорость транспортировки тоже меняется в зависимости от свойств груза. Для зерна и других легких материалов принимается скорость 150–200 м/мин (более высокая скорость

допускается для транспортеров с более широкой лентой). Для таких же материалов скорость не превышает 150 м/мин.

Необходимая сила тяги представляет собой разность натяжений в набегающей и сбегающей лентах конвейера

$$E = T_1 - T_2 \quad T_2 = T_1 \cdot 10^{0.0001\alpha}$$

где T_1 и T_2 — натяжение в ветвях ленты;
 α — коэффициент трения между лентой и шкивом
 $\alpha = \text{угол охвата шкива}.$

Сила тяги при прочих равных условиях увеличивается при большем угле охвата ведущего шкива лентой. Для увеличения угла охвата существует несколько конструктивных решений, из которых показаны на рис. 149, б.



Рис. 149. Захваты: а — обычный; б, в — с устройством для лучшей разгрузки конвейера.

Одной из разновидностей транспортеров является цепной конвейер, на котором масса груза подхватывается или цепью с прикрепленными к ней поперечными ребрами, или только ребрами (цепь в этом случае неходит в контакт с грузом). Угол наклона конвейера -25° ; при увеличении высоты ребер, предотвращающих скольжение груза, угол наклона может быть увеличен. Скорость движения груза колеблется в пределах 30—45 м/мин.

В последние годы для транспортировки зерна и муки на мельницах и элеваторах применяются винтовые транспортеры. Они особенно эффективны при малом размере частиц транспортируемого груза.

Основные детали винтового транспортера — желоб, винт и вал. Вал имеет промежуточные опоры, которые располагаются сверху чтобы уменьшить сопротивление перемещению груза.

Элеваторы. Если ленточные транспортеры предназначены для перемещения грузов в горизонтальном направлении, а цепные — для перемещения с некоторым наклоном, то назначением элеваторов является перемещение грузов в направлении, близком к вертикальному. Элеватор представляет собой непрерывную цепь

к которой прикреплены ковши. В него входит также привод, расположенный обычно на верхнем конце и устройства для загрузки и выгрузки.

На рис. 150 показаны схемы трех типов элеваторов. В звено тече, работающем по схеме а, стекла предыдущего ковша являются как бы щитом, обеспечивающим лучшую разгрузку последующего ковша. Более полной разгрузки можно достичь, увеличив охват цепи верхнего шкива, как показано в схеме б.

Обычно ковши заполняются на 80—75% их объема. Рабочая скорость движения ковшей 25—35 м/мин.

§ 66 Пневматическая перегрузка

Попытки создать устройство для пневматической погрузки различных сыпучих грузов предпринимались уже давно. Однако только в самом конце прошлого столетия возникла идея использовать для этого поток воздуха, захватывающий частички груза. Этот принцип пневматической перегрузки находит широкое применение в настоящее время. Он дает возможность перемещать зерно, муку, мелкий уголь и другие легкие грузы на высоту до 150 м и на расстояние до 300 м в горизонтальном направлении.

Пневматическая погрузка требует затрат большого количества энергии; например, первые механизмы этого типа потребляли до 5 л. с./м. час. Современные перегружатели расходуют от 0,8—1,0 л. с./м. час.

Основными элементами перегружателя являются: засасывающее сопло и трубопровод; приемное устройство, осуществляющее отделение груза от воздуха; разгрузочный механизм, по которому груз покидает устройство, не нарушая вакуума. Кроме того, в устройстве входят пылеподготитель к насос, обеспечивающий движение воздуха.

Одним из преимуществ метода является чистота, так как вся пыль всасывается в трубопровод; это особенно важно, если в транспортируемых материалах есть пыль. Перемещение сопла с гибким шлангом осуществляется без особого труда, следовательно, значительно снижается трудоемкость процесса при зачистке трубы.

Пневматические перегружатели потребляют примерно в четыре раза больше энергии, чем транспортеры. Однако разница не будет столь значительной, если учесть, что непроизводительные расходы энергии составляют для транспортеров около 50%, а в то время как у пневматических перегружателей они не превышают 10—15%. Производительность пневматических устройств колеблется от десяти до нескольких сотен тонн в час.

По аналогичному принципу работают и гидроперегружатели, в которых захват груза осуществляется водой. Этот способ применяется лишь для тяжелых грузов, которые не боятся воды и сырости.

§ 66 Саморазгружающиеся суда

Все виды перегружателей, перечисленные в предыдущем параграфе, находят широкое применение на судах, предназначенных для перевозки сыпучих грузов. Однако очень часто они являются не судовыми, а портовыми грузовыми средствами.

Во всех случаях производительность механизмов непрерывного действия настолько велика, что проблему погрузки и разгрузки судов для сыпучих и навалочных грузов можно считать практически решенной.

На рис. 151 показана схема судна с собственными грузовыми средствами. Судно имеет два продольно перемещающиеся моста, оборудованные бункерами и грейферами. Транспортировка груза за борт осуществляется основным и вспомогательным ленточными конвейерами.

Судовые грузовые средства достигают максимальной степени развития на саморазгружающихся судах. Условимся называть так суда, конструкция и грузовые средства которых обеспечивают подвижную механизированную разгрузку. Первое такое судно вошло в Великие Омрахи в США в 1908 г.

Саморазгружающиеся суда используются в основном для перевозки сыпучих и навалочных грузов. Грузовые операции на них выполняются в следующем порядке. Из тюков через специальные отверстия навалочный груз поступает самотеком на ленточные транспортеры, расположенные под трюмом. Транспортеры передают груз к залевателям, после чего он по конвейерам подается на берег или в баржи.

На рис. 152 показан американский углевоз постройки 1958 г. Судно имеет по ширине три грузовых трюма, под которыми вдоль судна идет три транспортера. Максимальная производительность — 3600 т/час.

Производительность грузовых средств саморазгружающихся судов очень велика и позволяет разгрузить суда в короткое время, однако эти суда не получили широкого распространения, так как они неуниверсальны. Грузовые средства позволяют достаточно просто обрабатывать лишь массовые грузы. Стремление использовать саморазгружающиеся суда для перевозки других катего-

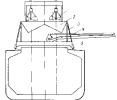


Рис. 151. Грузовое устройство судна для перевозки навалочного груза:

1 — грейфер; 2 — бункер; 3 — опорная колонна;
4 — ленточный транспортер; 5 — грохот для измельчения.

рий судов приводят к значительному усложнению и грузовых средств, и самих судов.

Как отмечалось выше, сыпучие и навалочные грузы идут большими грузовыми потоками, поэтому для их обработки целесообразнее концентрировать грузовые средства в конечных портах.

К недостаткам саморазгружающихся судов следует отнести также большие потери полезной кубатуры трюмов и значительную конструктивную сложность.

В заключение остановимся еще на одной категории судов — саморазгружающихся судов-самовозах, которые

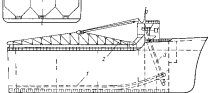


Рис. 152. Схема грузового устройства саморазгружающегося судна:
1 — транспортеры; 2 — конвейерный транспортер; 3 — залеватель.

используются для засыпки каменных дамб, плотин и для других гидротехнических работ.

Груз помещается в контейнеры и при их вращении высыпается в нужном месте. Эти суда очень эффективны, дают значительную экономию рабочей силы и сокращают время строительства гидротехнических сооружений. Например, разгрузка шлюпки самосвала, имеющей 12 контейнеров емкостью до 10 м³ каждый занимает всего 10 минут.

ГЛАВА 18

СОВЕРШЕНСТВОВАНИЕ СУДОВЫХ ГРУЗОВЫХ ОПЕРАЦИЙ

§ 67 Транспортные объединения грузов

Судовые погрузочно-разгрузочные операции являются лишь звеном в общей цепи доставки груза от изготовителя к потребителю. Анализируя эти операции более подробно, можно убедиться, что они состоят практически из постоянных элементов.

Начнем с транспортировки грузов к причалу. Эта операция не входит непосредственно в судовые грузовые работы, однако она может повлиять на процесс погрузки в целом, так как с ней иногда связано формирование проблем. Условимся называть подъемом объединение грузов, предназначенное специальными для транспортировки с причала в трюм и обратно.

Все грузовые операции происходят в такой последовательности: застroppивание груза, подъем и перемещение его в трюм (с освобождением от якоря в простете якоря), размещение грузов в трюме и их раскрепление. Основная причина, мешающая полному использованию современных грузовых средств, — это большое



Рис. 153 Палеты



Рис. 154 Погромик с палетом

разнообразие размеров и упаковок грузов. Поэтому усовершенствование грузовых операций нужно начинать с более рационального объединения грузов для их транспортировки.

Объединение грузов в подъеме предпринимается только для перемещения их стрелами или другими средствами. В трюме такой подъем расформировывается, а составляющие его грузы размещаются и раскрепляются пружиной. Более рациональным было бы образование постоянных транспортируемых единиц, которые со временем бы на всем пути груза, включая его размещение в трюме. Простейшим из них является якорь — объединение грузов вытянутой под плюской формы (листовая сталь прокат, пиломатериалы и т. д.).

Все большее распространение находят объединения грузов с использованием палетов и контейнеров.

Палеты. На рис. 153 показаны два типа палетов. Палет с расположенным на нем грузом легко поднимается погромиком (рис. 154) и также просто застroppливается. Площадь палетов колеблется в пределах 1—2,5 м² (обычно в плавке они имеют 0,8×1,2·

1,2×1,2; 1,2×1,6 и 1,6×1,6 м). Палет с грузом, высота которого может достигать 2 м, устанавливается в трюме. Потери полезного пространства в трюме при использовании палетов определяются размерами самих палетов и возможной несогласованностью размеров палетов в трюме. В среднем эти потери составляют 15% полного объема трюма.

Контейнер представляет собой прочный футляр с приспособлением для застroppивания. Размеры контейнеров согласуются с размерами палетов, а объем может изменяться в широких пределах, вплоть до 50 м³. Применение контейнеров практически полностью исключает механические повреждения грузов и их порчу от непогоды. Кроме того, они позволяют более использовать пространство под шельтерной палубой.

Однако при использовании контейнеров увеличиваются общие потери полезного пространства трюма, которые складываются из некоторого пространства, не заполненного грузом в самом контейнере, исключившего расходжение между размерами контейнеров и размерами трюма, а также объема самого контейнера (футлара). Таким образом, суммарные потери пространства могут достигать ~35% полезной кубатуры трюма.

Возраст пустых контейнеров в тех случаях, когда не обеспечен обратный поток грузов, связан с существенными дополнительными расходами.

Сравним затраты на перевозку обычного генерального груза с затратами при перевозке в контейнерах или на палетах (рис. 155). За единицу времени стоимость перевозки одной тонны груза (генерального) при рейсе длиной в 5000 морских миль с также скоростью (таки) погрузки генерального груза.

Возрастание стоимости перевозки генерального груза при увеличении длины рейса показано на рис. 156 сплошной линией. Использование палетов и контейнеров позволяет значительно ускорить погрузочно-разгрузочные операции. На рис. 155

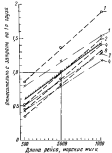


Рис. 155. Затраты при перевозке грузов.

1, 4 — тара погромик; 2 — генеральный груз; 3 — груз на палетах; 4 — контейнеры.

штрихпунктирные линии соответствуют перевозке грузов на палетах, с сохранением темпа погрузки генерального груза 1, с увеличением темпа погрузки в два раза 2 и в четыре раза 4. Штриховые линии обозначают затраты при контейнерных перевозках с различными темпами грузовых операций (1, 2, 4 и 8).

Анализ показывает, что при сохранении темпа погрузки генерального груза использование палетов и контейнеров приводят к значительному увеличению стоимости перевозки груза. При увеличении темпа погрузки палетов и контейнеров в два раза стоимость перевозки грузов в контейнерах становится равной стоимости перевозки генерального груза; палеты же дают ощущимый выигрыш. Эффект становится более значительным при дальнейшем увеличении темпа грузовых операций.

Все затраты определены на основании анализа работы судна грузоподъемностью 10 000 т из расчета скорость 14 узлов. Предполагалось 80%-ное заполнение контейнеров при обратном рейсе.

При использовании палетов и контейнеров достигается следующий эффект:

повышается производительность труда

сокращаются работы по размещению и закреплению грузов в трюмах и тениках

сокращается число операции для транспортировки каждого грузового места;

уменьшается вероятность повреждения грузов

Основными недостатками этих способов являются:

дополнительные затраты на изготовление и содержание палетов и контейнеров;

значительная потеря пространства трюмов;

необходимость возвращать пустые палеты и контейнеры при недостаточном обратном потоке грузов

При использовании палетов потеря полезного пространства трюма сравнительно невелика. Поэтому палеты обеспечивают самую низкую стоимость перевозки грузов, особенно при дальних рейсах. Контейнерные перевозки имеют низкую стоимость при коротких рейсах, когда за счет увеличения производительности грузовых операций удается значительно сократить время пребывания в порту.

В заключение отметим, что применение контейнеров наиболее целесообразно при широком андреевии их на всех этапах транспортировки груза от производителя к потребителю. Для этого необходимо универсальные контейнеры, размеры которых были бы согласованы с размерами автомобильных кузовов, железнодорожных вагонов и судовых трюмов.

Все преимущества контейнерных перевозок могут быть использованы только на специально спроектированных судах при хорошо наложенном обратном грузообороте.

Стремление повысить эффективность транспортных судов только за счет увеличения скорости их хода, но при сохранении низкого темпа погрузочных операций приводит к обратному результату. При увеличении скорости стоимость перевозки возрастает. Так для рассмотренного судна грузоподъемностью 10 000 т при возрастании скорости с 14 до 20 узлов при низкойной скорости ведения грузовых операций стоимость транспорта грузов тонны груза возросла на 7%.

Трейлеры, или автомобильные полуприцепы, при помощи специальных тягачей просто закатываются на судно. Поэтому суда, предназначенные для перевозки трейлеров, как правило, должны отличаться от обычных транспортных судов. У них должна быть совершенно гладкая палуба, минимальное количество переборок и пиллеров, стесняющих перемещение трейлеров. Отпадает также необходимость в палубных люках в специальных грузовых устройствах. Время пребывания трейлерного судна в порту в среднем в 10 раз меньше, чем судна, предназначенного для перевозки генерального груза.

К преимуществам трейлерных перевозок нужно отнести сокращение потерь и повреждений грузов, большую безопасность работ, возможность использования шельфовых пространств в открытых палубах.

Однако при перевозке грузов в трейлерах резко ухудшается использование внутреннего пространства трюмов. Собственно груз занимает всего 15–20% объема грузовых помещений судна. Поэтому большая скорость выполнения погрузочно-разгрузочных операций при одновременно низком коэффициенте использования полезной кубатуры трюмов делают трейлерные суда рациональными только на коротких рейсах с частыми заходами в порты.

§ 66 Трюмная механизация. Усовершенствование конструкции корпуса судна

Анализ показывает, что около двух третей времени, отведенного на грузовые операции, затрачивается на размещение грузов в трюмах и их закрепление. До сих пор эти работы выполняются почти полностью вручную. В некоторых случаях удается использовать грузовые средства судна, например перемещать генеральный и сыпучий груз с помощью шкентелей легких стрел или специальных трюмосовых проводок (рис. 156).

Средства трюмной механизации могут быть разделены на собственно судовые средства и переносные механизмы, относящиеся к портовому оборудованию.

Судовые средства, специально предназначенные для перемещения грузов в трюмах, в настоящее время почти не применяются, так как все они либо чрезмерно сложны, либо занимают много места. Одна из самых удачных систем трюмной механизации была

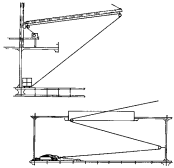


Рис. 156. Перемещение грузов в трюме

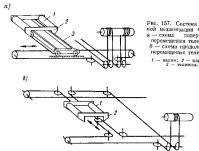


Рис. 157. Система трюмной механизации Фетчко:
а — схема поперечного перемещения тележки;
б — схема продольного перемещения тележки.
1 — валик; 2 — каретка;
3 — наклонка.

предложения А. Фетчко. За счет использования шкентеля стрела эта система позволяет исключить паузу для переострочки груза в профиле люка. Схема устройства, обеспечивающего поперечное перемещение груза, показана на рис. 157, а.

При помощи системы тросов тележка, расположенная в верхней части трюма, перемещается в поперечном направлении. Шкентель поддается на один из валиков каретки, после чего груз, находящийся на весу, движением тележки перемещается в подвалубное пространство. Движение в продольном направлении (рис. 157, б) осуществляется движением на рельсы по тележке.

Система Фетчко имеет очень сложную проводку бегущего тандема и требует специальной двухбарабанной лебедки.

К портовым средствам морской механизации отнесутся переносные транспортеры, элеваторы, и особенно распространившиеся в последнее время подсюда (рис. 158). Большая подвижность и компактность погрузчиков делают их очень удобным средством транспортировки грузов в трюмах и на причалах. Особенно большой эффект достигается при обслуживании палетов и контейнеров, конструкции которых специально рассчитаны на использование погрузчиков.

Рис. 158. Погрузчик

Усовершенствование корпуса судна

Конструкция некоторых элементов корпуса судна может в значительной степени повлиять на эффективность грузовых операций. Наибольшее значение в этом отношении имеют грузовые люки.

Площадь и размеры люка характеризуются концептом раскрытия людьбы. Концепт раскрытия людьбы представляет собой отношение площади люка к площади соответствующего трюма. При увеличении размеров люка уменьшаются подпалубные коридоры — часть пространства трюма или туннеля, расположенная под палубой вне просвета люка.

Размер подпалубных коридоров практически полностью определяет объем работ по размещению грузов в трюме и между палубами пространства. С этой точки зрения рационально

увеличивать размеры люков до предела, которые могут быть ограничены только соображениями необходимой прочности и безопасности плавания. При увеличении размеров люков увеличивается фронт работ, улучшается видимость, облегчается работа крановщиков и почти исключается повреждение грузов.

Однако все эти очевидные положения не находили отражения в проектах судов вплоть до 50-х годов. Основной причиной было, во-первых, отсутствие достаточно надежных люковых закрытий. С середины 50-х годов традиционные люковые закрытия со съемными бинсами и деревянными личинками — крышки — стали уступать место механическим люковым закрытиям. Прочные ме-

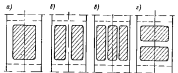


Рис. 169 Грузовые люки: а — одиночный; б — два продольных;
в — три продольных; г — поперечный.

тallнические люковые крышки позволяли значительно увеличивать ширину самих люков: если раньше она не должна была превышать 0,4B, то в настоящее время она может достигать 0,6B.

В 1955 г. появилось первое открытое судно *Sea Master*, которое имело по ширине три трюма с соответствующими числом люков. Экономическая целесообразность открытых судов не оставляет никаких сомнений. Затраты на выполнение работ по размещению и креплению грузов в трюмах составляет от 75 до 85% общих затрат на грузовые операции, поэтому уменьшение подпалубных карманов может иметь большой экономический эффект.

Опыт эксплуатации первых открытых судов подтверждает это положение. Время на грузовые операции сократилось на 40—45%. Соответственно уменьшилось и время пребывания в порту. По данным американских исследований, для открытого судна грузоподъемностью 10 000 т стоимость грузовых операций сократилась на 20—40%.

Увеличение раскрытия палубы достигается увеличением длины люков и увеличением числа люков. На рис. 169 показаны схемы расположения люков, практикуемые на современных судах. Все преимущества, связанные с увеличением ширины люков различным образом могут быть отнесены и к увеличению их длины.

Длина люка принимается всегда максимально возможной с учетом размещения грузового устройства.

За последние десять лет значительные успехи были достигнуты в области создания механических люковых закрытий. Одной из особенностей конструкции закрытий люков верхней палубы яв- ляется соединение плоскости крышек с плоскостью палубы. При надежном обеспечении непроницаемости закрытия такое решение позволяет увеличить количество палубного груза.

В заключение можно заметить конструктивные особенности судна, рационального с точки зрения транспортировки груза и выполнения погрузочно-разгрузочных операций. Такое судно должно иметь: большое раскрытие палубы, свободное от пиллерсов и высоких рамных связей трюмы, совмещенные с плоскостью соот- ветствующей палубы люковые закрытия.

Кроме того, за счет разделения машинного отделения в корме часть трюмов должна быть освобождена от тужеяния гребного вала.

РАЗДЕЛ ЧЕТВЕРТЫЙ

Якорное устройство

ГЛАВА 19

ЯКОРЯ И ЯКОРНЫЕ КАНАТЫ

§ 68 Назначение якорного устройства

Закрепление судна при стоянке на рейде и в открытом море осуществляется при помощи якорного устройства.

Якорное устройство используется при стоянке судна в ожидании освобождения причальной линии, при загрузке и разгрузке на рейде в необорудованных портах, для закрепления доков и злоупотребительных снарядов, при выполнении работ в открытом море промысловыми базами, судами-спасателями, гидрографическими судами, при переходе непогоды в укрытом месте, для предотвращения дрейфа при поломке механизмов или руля и т. д. Якоря и якорные канаты используются также для закрепления плавучих маяков, бочек и другого рядаового оборудования.

Якорное устройство предназначено для обеспечения стоянки судна в отдалении от берега только за счет собственных судовых средств; основным элементом устройства является якорь, который благодаря своему весу и форме способен входить в сцепление с грунтом, создавая тем самым неподвижную точку закрепления для объекта, стоящего на якоре и подверженного действию ветра, течений, волн и пр. На рис. 160 показаны два типа якорей, наиболее распространенные в морской практике.

Основные элементы якорного устройства морского транспортного судна показаны на рис. 161. Якорный канат служит прочной связью судна с опущенным и лежащим на грунте якорем. Специальные механизмы обеспечивают отдачу и выбирание якоря, торможение и спускение якорного каната. В якорное устройствоходят также якори, позволяющие якорному канату пройти сквозь элементы якорусных конструкций, и цепные пяты для зажимания якорных канатов. Состав якорного устройства и конструктивное оформление его элементов существенно изменяется в зависимости от назначения и условий эксплуатации плавучих сооружений, которые в этом отношении можно разделить на три основные группы:

морские и речные суда

дноуглубительные спарды;

дно, плавучие маяки и ряболовное оборудование.

Надежность якорной стоянки определяется держащей способностью якоря, т. е. его способностью оказывать сопротивление силам, вызывающим перемещение судна. Держащая способность характеризуется коэффициентом держащей силы, который представляет собой отношение держащей силы к весу якоря.

Многообразие конструктивных типов якорей во многом зависит от свойств различных грунтов, в значительной степени определяющих величину держащей силы якоря.

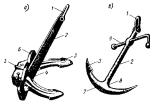


Рис. 160. Якорь Холла (б) и адмиралтейский якорь (в)
— якорь; 2 — штангина; 3 — клюв; 4 — шток; 5 — кольцо;
6 — болт; 7 — гайка; 8 — труба; 9 — шланг.

Так, грунт реки Амудары представляет собой почти однородный ил, в грунте Невы при общей сложной основе встречаются различные комбинации из более мелких компонентов. Очевидно, что якорь, хорошо работающий в первом случае, не обеспечит судну достаточно надежной стоянки во втором.

Обычно признаком классификации грунтов является размер структурных частиц. В некоторых классификационных таблицах

Классификация грунта

Размер частиц, мм
Глины
Камень
Галька
Гравий
Песок
Пылевидный грунт
На

приводится еще большее количество грунтов, однако ни в одной из них не отражена фактическая структура грунта на дне акватории

так как этот грунт, как правило, представляет собой смесь из нескольких компонентов в самых разнообразных пропорциях.

Морские суда редко предназначаются для плавания в каком-то определенном районе, поэтому якоря этих судов должны быть рассчитаны на какой-то средний грунт или группу грунтов, чтобы в любом районе была обеспечена достаточно надежная якорная стоянка. В качестве такой группы грунтов принимают песок, глину.

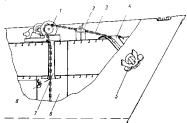


Рис. 161. Якорное устройство.

1 — якорный механизм; 2 — цепной стяж; 3 — цепь; 4 — якорь; 5 — якорь;
6 — цепной якорь; 7 — цепной якорь; 8 — устройство для отвода якоря.

§ 70 Ранние якори

Древний массивный якорь (рис. 162, а) представлял собой камень, обвязанный веревкой, для которой в камне продевались накидки, увеличивающие надежность соединения и предохраняющие вереску от перетирания. Однако, держащая сила такого якоря, обусловленная только его весом, была незначительна.

Позже, чтобы уменьшить бесполезное волочение якоря по дну, к камню добавляли деревянные якоря или крестовину (рис. 162, б). Этот якорь, получивший название кильки, просуществовал очень долго и даже сохранился до наших дней.

Однако первым якорем, держащий эффект которого создавался не только за счет веса, но и за счет своеобразной формы, увеличивающей сцепление с грунтом, был восточно-индийский якорь (рис. 162, в), в котором деревянное веретено соединялось с деревянным же или каменным рогом. Для придання веретенку горизонтального положения в месте закрепления якорного каната привыкли использовать массивные камни.



Рис. 162. К истории якорей: а — дремый массивный якорь; б — кильяк; в — восточно-индийский якорь; г — дремый чинский якорь; д — дремый чинский якорь; е — рраскской якорь; ж — якорь Троттера; з — якорь Португала; и — якорь-плут; к — однозубкий якорь.

Интересна конструкция китайского якоря (рис. 162, *ж*), появление которого относится примерно к XX веку до нашего летоисчисления. Он имеет шток, состоящий из нескольких прочных бамбуковых стержней, соединенных между собой. Шток делает якорь устойчивым на грунте.

По рисункам на греческих и египетских монетах удалось составить представление о древнегреческих якорях (рис. 162, *б*).

Появление язя связано с римскими якорями (рис. 162, *г*) которые стали прототипом известных адмиралтейских якорей применяемых и в настоящее время. Примерно сто лет назад язык адмиралтейский якорь являлся практически единственным якорем морских судов.

Первый бронзовый якорь был обнаружен на Мальте, однако в раскопках и на территории других стран находили металлические якоря, относящиеся к V и VI столетиям до н. э. — железный в Сардинии (650 лет до н. э.), якорь с железными лапами в Греции (500 лет до н. э.). Примерно в III веке до н. э. военные корабли в Сардинии имели железные якори весом до 200 кг.

В Европе первый железный якорь появился в конце IX века н. э. Он был выкован в Англии. В XIV веке в Англии же генуэзцы заказали 12 железных якорей весом по 700—800 кг для судов водоизмещением 1500 т.

До XVII в. адмиралтейские якоря изготавливались с длинным веретеном и прямыми рогами, что создавало большое неудобство при уборке и отдаче.

В начале XIX в. наметилась тенденция заменять якоря со штоками другими конструкциями. По многим источникам, первый якорь с поворотными лапами появился во время Гражданской войны в Северной Америке; причиной послужили затруднения, которые испытывала артиллерия броненосцев из-за огромных штоков якорей, торчащих вертикально у бортов. Созданный в этот период якорь Мартинса еще сохранил шток расположенный в одной плоскости с лапами.

В течение ста с лишним лет с момента изобретения первого бесштокового якоря появилось большое количество различных типов якорей этого класса.

Остановимся на наиболее удачных конструкциях этого периода. Якорь с одной модифицированной лапой (рис. 162, *ж*) удобен во многих отношениях, но недостаток, так как промежуток между ветвями его веретена забывает грунтом, который препятствует вращению лапы. Якорь Тримблока (рис. 162, *ж*) очень оригинален, но имеет, созданный заплечником лапы при движении якоря по грунту, часто оказывался недостаточным для поворота лапы при движении якоря.

Якорь типа язуса (рис. 162, *и*), сконструированный Тейлором был запатентован в 1933 г. Однако так же как и якорь Нортилла

(рис. 162, *з*), он не получил широкого распространения на судах из-за сложности уборки и отдачи.

В конце XIX — начале XX вв. было создано большое число новых типов якорей, что позволило отобрать для практического использования наиболее совершенные конструкции. В первую очередь к ним следует отнести группу бесштоковых якорей с по-

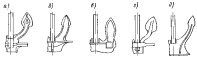


Рис. 163 Типы якорей бесштоковых: а — Крусон; б — Юмм; в — Байкро-Бриллианс; г — Тейлор; д — Слок

воротными лапами, которая может быть представлена якорем Халла. Эта группа включает следующие типы: а) Крусон; б) Юмм; в) Байкро-Бриллианс; г) Тейлор и д) Слок. Несмотря на существенные конструктивные различия, для всех перечисленных видов якорей характерен одинаковый принцип работы в грунте (рис. 163).



Рис. 164 Якоря повышенной держащей силы: а — Крусон Халла; б — Юмм-Бекер; в — Мартинса; г — Даффорта

В группу якорей повышенной держащей силы с поворотными лапами и штоком (или другим устройством для обеспечения устойчивого положения якоря в грунте) можно включить четыре якоря: а) Крусон-Халла; б) Юмм-Бекер; в) Мартинса и г) Даффорта (рис. 164). Близок к ним и является становкой якоря АС разработанный в последние годы.

Якорь с поворотными лапами используется в качестве основных — стальных — якорей. Многие из названных выше конструкций (даже очень древних) находят применение до настоящего времени в качестве вспомогательных или специальных якорей.

например «мертвые якоря» многоголовые якори и якори адмиралтейский якорь и др.

Для различных специальных целей были созданы доковые якоря, винтовой и другие якори.

§ 71 Конструктивные особенности и основные характеристики якорей

В зависимости от выполняемых функций якоря разделяются на спасательные и аспомогательные. Спасательные предназначены для удержания судна в заданном месте. Аспомогательные используются в тех случаях, когда при стоянке на основном якоре нужно ограничить перемещение судна или ориентировать его определенным образом относительно направления ветра или течения. Аспомогательный якорь может быть использован для снятия судна с мели.

К группе аспомогательных якорей относится кормовой якорь — стоп-анкер и легкие завозные якоря — верты. Вес стоп-анкера обычно равен одной трети веса стального якоря.

В практике нашел применение только один конструктивный признак классификации якорей — количество лап и рогов. В этом отношении рог и лапа — понятия равнозначные так как число их у якорей всегда одинаково.

Количество лап называется от нуля до четырех и более, поэтому различают якоря безрогие, однорогие (однолапые), двуторгие и многорогие. К безрогим относятся мертвые якоря и некоторые своеобразные конструкции — грибовидный якорь, винтовой и т. д., — которые используются обычно для закрепления плавучих маяков и швартовых рефдеровых бочек.

Доковый и ледовый якоря составляют группу однорогих якорей. Наиболее многочисленная группа двуторгих якорей занимает ведущее место в якорных операциях. Двуторгие якоря, в свою очередь, делятся на несколько групп: якоря с неподвижными лапами и штоком, якоря с поворотными лапами, якоря с поворотными лапами и штоками.

В отечественной практике широко применяются адмиралтейские якоря, якоря Холла и Матрасова.

Многоголовые якоря-каноны в морской практике используются редко.

Безрогие якоря. Самыми простыми и наиболее распространеными в группе безрогих якорей являются массивные якорные якоря (рис. 165, а). Выполняются они из чугуна или железобетона в виде усеченных многогранников пирамиды. Донная часть такого якоря имеет обычно выемку, которая облегчает засасывание якоря в грунт. Чтобы исключить возможность попадания воздушной подушки, якори имеют несколько вертикальных трубок для отвода воздуха. В верхней части располагается рама для закрепления якорного каната.

Держащая сила мертвых якорей не превышает их собственного веса (в воздухе). Чтобы увеличить надежность стоянки, мертвые якоря часто укладывают в специально выпуклую воронку.

Разновидностью мертвых якорей можно считать сегментные якоря якорь (рис. 165, б). Он лучше походит вцепление с грунтом и имеет держащую силу, в два и половины раза превышающую собственный вес якоря.

Грибовидный якорь (рис. 166) используется для закрепления плавучих маяков и других объектов в районах с большими приливно-отливными течениями или сильными ветрами. На судах грибовидный якорь нашел ограниченное применение из-за



Рис. 165. Массивный (а) и сегментный (б) якоря



Рис. 166. Грибовидный якорь.

удобной в отношении хранения формы. При больших размерах этот якорь имеет хорошую держащую способность. Коэффициент держащей силы изменяется в пределах 6—10, в зависимости от веса якоря.

У малых грибовидных якорей пространство между верхушкой и поверхностью гриба часто забивается грунтом, что значительно затрудняет повторное забирание и уменьшает надежность якорной стоянки.

Винтовой якорь при его установке зачищается специальным ключом вручную в грунт. Укрепление в верхней части скоба под действием собственного веса и веса якорного каната откидаются, освобождая место для ключа. Однако несмотря на то что держащая сила винтовых якорей в десятки раз превышает собственный вес, они находят очень ограниченное применение и обычно используются лишь для постановки бочек в районах с мицами глубинами.

Двуторгие якоря. В современной морской практике находят широкое применение только два типа однорогих (однолапых) якорей — доковый и ледовый, отличающиеся одной характерной особенностью: при постановке они должны быть ориентированы лапой вниз.

Доковый якорь предназначен для неподвижного закрепления доков и докоглубительных судов. Большая парусность закрепляемых

объектов и необходимость точно фиксировать их положение определяет требования, предъявляемые к якорям. Они должны иметь большую держащую силу и минимальный дрейф при забрасывании. Кроме того, относительно малая глубина районов возможного использования доковых якорей делает особенно опасной торчащую над грунтом лапу.

На рис. 167 показан современный доковый якорь. Он имеет широкую гладкую чашу, далеко отстоящую от верхней Рим, расположенный на троцки, предназначенный для закрепления нини вспомогательного якорного зашита. При постановке висящий на двух якорных канатах якорь опускается на грунт в горизонтальном положении лапой вниз.

Большое отстояние лапы от верхней привело к необходимости увеличить прочность рога, поэтому его поперечное сечение имеет форму, вытянутую в направлении продольной плоскости якоря.

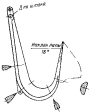
Рис. 167 Доковый якорь

Доковый якорь имеет длинные штоки, который после взвода лапы в грунт располагается горизонтально, обеспечивая устойчивое рабочее положение якоря. Якорь хорошо сохраняет держащую силу при изменении направления усилия передаваемого от якорного каната.

Коэффициент держащей силы доковых якорей изменяется в довольно узких пределах 10–12 (большая цифра относится к песчаному грунту).

Ледовые якори (рис. 168) используются на ледоколах и судах ледового плавания. В качестве якорных канатов применяются стальные тросы. Поставленная ледовая якоря осу ществляется следующим образом: после выгрузки на лед якорь относится кручку или отворяется на сажах на некоторое расстояние от судна и закрепляется во льду.

Держащая сила ледового якоря не имеет прямой связи с его весом, который не должен превышать 130–180 кг. Она определяется прочностью льда и прочностью лапы якоря. Для увеличения жесткости лапы якоря и его веретено обычно имеют двутавровое сечение.



Доковый якорь имеет длинные штоки, который после взвода лапы в грунт располагается горизонтально, обеспечивая устойчивое рабочее положение якоря. Якорь хорошо сохраняет держащую силу при изменении направления усилия передаваемого от якорного каната.

Коэффициент держащей силы доковых якорей изменяется в довольно узких пределах 10–12 (большая цифра относится к песчаному грунту).

Ледовые якори (рис. 168) используются на ледоколах и судах ледового плавания. В качестве якорных канатов применяются стальные тросы. Поставленная ледовая якоря осуществляется следующим образом: после выгрузки на лед якорь относится кручку или отворяется на сажах на некоторое расстояние от судна и закрепляется во льду.

Держащая сила ледового якоря не имеет прямой связи с его весом, который не должен превышать 130–180 кг. Она определяется прочностью льда и прочностью лапы якоря. Для увеличения жесткости лапы якоря и его веретено обычно имеют двутавровое сечение.

Рис. 168 Ледовый якорь



Другие якори. По конструктивному признаку двулапые якоря могут быть разделены на три группы: якоря с исподняющими лапами и штоком, бесштоковые якоря с поворотными лапами и якоря с поворотными лапами повышенной держащей силы. В первую группу входит всего один якорь — адмиралтейский. Конструктивных типов бесштоковых якорей с поворотными лапами очень много, но наибольшее распространение в отечественной практике получил якорь Холла.

Первые якоря с поворотными лапами и штоком появились сравнительно недавно. К этой группе относятся якоря Матросова, Даффорта и южный становой якорь. Можно считать, что их конструктивные особенности отражают тенденции современного развития якорей.

Адмиралтейский якорь (см. рис. 160, б) имеет два рога, каждый из которых заканчивается лапой. Узел соединения рогов к веретену называется трендом. Шток якоря расположен перпендикулярно к плоскости лап.

Адмиралтейский якорь отличается прочностью и надежностью. Коэффициент его держащей силы колеблется в довольно узких пределах — 9–12. Так как при увеличении веса якоря полностью сохраняет геометрическое подобие, то размеры элементов якоря можно выразить при помощи постоянных коэффициентов и некоторого характерного размера называемого модулем якоря.

Модулем адмиралтейского якоря является диаметр веретена + тренда

$$m = 22.69 \sqrt[3]{Q} \quad (106)$$

где m — модуль якоря мм

Q — вес якоря, кг

Веретено, лапы, шток и скoba якоря обычно выковываются из стали. Только у якорей больших размеров веретено и лапы могут быть литыми. В связи с тем, что торчащий шток усложняет размещение и закрепление якоря при хранении его на ватубе используется складывающийся шток с изогнутым концом, который позволяет штоку занять положение вдоль веретена.

Якорь Холла (рис. 160, б). В этом якоре якорные лапы вместе с головой образуют подвижную часть, которая может разворачиваться относительно веретена.

Одним из достоинств якоря Холла является простота соединения веретена с подвижной частью. Устройство этого узла (шарнира) показано на рис. 169. В голове якоря у основания лап делается сквозное отверстие, в которое снизу вставляется веретено. После того как голова, расширяющиеся на веретене, войдут в специальные выемки, вставляются штифты, ограничивающие движение штока винта. При повороте лап предельное положение ограничено кромкой выреза в голове якоря. Модуль якоря Холла равен диаметру поперечного сечения круглого веретена или диаметру

круга, площадь которого равна площади внутреннего сечения веретена у тrena. Связь между модулем и весом якоря определяется выражением

$$m = 18.5 \sqrt[3]{Q}. \quad (107)$$

Расстояние между центрами тяжести площади лап составляет 6 м. Этот размер в большей степени определяет устойчивость якоря в грунте и величину держащей силы. (Более подробно мы остановимся на этом в следующем параграфе.)

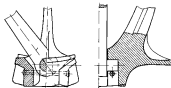


Рис. 169. Устройство якоря Холла

Якорь Матросова (рис. 170) имеет лапы, вынутые издоль веретена. Расстояние между центрами тяжести площади этих лап составляет 3 лт. Модуль якоря Матросова

$$m = 14 \sqrt[3]{Q}. \quad (108)$$

Максимальный угол наклона лап по отношению к оси веретена 30–35°.

Устойчивость якоря обеспечивается выступами на лапах, выполняющими функции штока. Отсутствие штока на веретене позволяет использовать для этого якоря обычные хлозы. Якорь Матросова имеет существенный недостаток: при повороте лап у тrena якоря образуется узкое пространство, которое часто забивается грунтом. При этом надежность якоря резко уменьшается, так как он теряет возможность повторного забирания грунта. Если у основания лап расстояние между их внутренними кромками увеличено, то вероятность того, что пространство между лапами и веретеном забьется грунтом, уменьшается.

В настоящее время якори Матросова делают весом до 500 кг, а сварные — до 180 кг.

Якорь Данфорта был запатентован в 1939 г. Интересна история его создания. Анализируя исторический материал, Данфорт убедился в больших преимуществах древнего китайского якоря

у которого шток располагается у тrena. Используя эту концептуальную особенность, Данфорт создал якорь с большой держащей способностью. У якоря Данфорта (рис. 171) длина лапы составляет 60% длины веретена. Ребро жесткости, вдающее у тrena кромки лап, постепенно расширяется и в нижней части у основания лап соединяется с массивной головой.

Длина штока составляет 0,70–0,75 длины веретена. Ось штока совмещается с осью шарнирного соединения головы якоря, и предельное положение лап ограничивается тем же способом как и у якоря Холла.

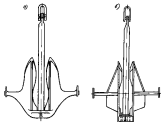


Рис. 170. Якорь Матросова. а — лапы, б — схема.

Увеличение веса резко понижает эффективность якоря Данфорта, однако во всех случаях его держащая способность выше, чем у якоря Холла. В зарубежной практике широко используются якоря Данфорта весом до 800 кг.

Общий недостатком якорей Матросова и Данфорта является недостаточная прочность лап и штока (при работе на каменистом грунте они часто изгибаются).

Новый стальной якорь. Наиболее распространенные в морской практике якори имеют большие недостатки. Адмиралтейский якорь неудобен обслуживать и хранить; у якоря Холла недостаточно держащая сила, у якоря Матросова и Данфорта с ростом веса уменьшается держащая сила недостаточно прочность лап и т. д. Все это послужило причиной для постоянных попыток со временем конструкции якоря, который можно было бы использовать за морских судах в качестве основного, становового якоря.

Удлиненную конструкцию создали сотрудники Аглайского адмиралтейства. Стальной якорь АСЧ (рис. 172) имеет лапы, вынутые

з долю веретена. Торцовные кромки лап обрашут с осью веретена острый угол. Для увеличения устойчивости на грунте якорь имеет разлитую голову. Шарнирное соединение веретена аналогично соединению в якоре Холла. Так как голова якоря, имеющая

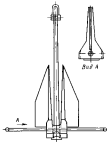


Рис. 171. Якорь Дампера

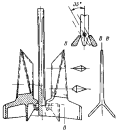


Рис. 172. Новик станический якорь (ACI-6)

в поперечном сечении V-образную форму, не может сбалансировать вытянутую часть веретена лапы, последние выполнены пустотелыми. Внутри располагается диaphragma, увеличивающая прочность лапы.

Многолапые якори (рис. 173) число лап у различных видов якорей этой группы варьируется от 3 до 5. Чаще всего применяются четырехлапые якори. Обычно лапы к веретено таких якорей винтами крепятся и потом соединяются при помощи сварки.

Разновидностью многолапых якорей являются поисковые якори или так называемые драги. Они отличаются тем, что не имеют заостренных лап. Разновидностью многолапых якорей являются поисковые якори или так называемые драги. Они отличаются тем, что не имеют заостренных лап.



Рис. 173. Многолапые якори

§ 72. Понятие якорей на грунте

Современный якорь должен отвечать следующим трем основным требованиям:

- иметь высокую стабильную держащую силу (напомним, что величина держащей силы характеризуется коэффициентом держащей силы);
- быть прочными и надежными в работе;
- быть простым и удобным в эксплуатации. (Его положение в закреплении на судне должно обеспечивать безотказную отдачу.)

Кроме того, якорь должен:

- легко отрываться от грунта при выбирании якорного каната быть достаточно тяжелым, чтобы преодолевать сопротивление цепи при отдаче якоря;
- не иметь торчащей над грунтом лапы, так как при перемещении судна якорная цепь может защемляться за нее и вывернуть якорь иметь возможно меньшее число деталей.

Желательно также, чтобы скорость забирания якорем грунта была возможна большей, а держащая сила якоря с увеличением угла подъема якорного каната у скобы резко же уменьшалась (Это свойство называется способностью якоря «держать на коротком конце»).

Процессы, происходящие при забирании якорем грунта, настолько сложны, что до сих пор не удается создать достоверной схемы этого явления и тем более описание его математически. Создание новых типов якорей и их совершенствование осуществляется главным образом путем широкого экспериментирования, идя до исследование натурных якорей. Это позволяет в какой-то степени выявить основные факторы, определяющие эффективность якоря.

Рассмотрим поведение на грунте адмиралтейского якоря и якоря Холла.

Возможны два исходных положения адмиралтейского якоря на грунте. На рис. 174, а шток якоря находится в плоскости перпендикулярной к поверхности грунта. При достаточной длине якорного каната его натяжение направлено от якорной скобы вниз. В том случае, когда это натяжение не совпадает с плоскостью осей веретена и штока, образуется момент, опрокидывающий якорь.

На рис. 174, б шток якоря лежит на грунте; это положение является исходным для забирания грунта. Лапа врезается в грунт за счет натяжения якорного каната и собственного веса якоря. Целесообразно, чтобы равнодействующая этих усилий в точке С совпадала с направлением касательной к лапе, так как движение в этом направлении лапа встречает минимальное сопротивление грунта. Лежащий на грунте шток исключает возможность вращения якоря относительно оси веретена.

Нужно отметить, что адмиралтейский якорь быстро забирает грунт, достаточно легко выходит из него при выбирании якорного каната, хорошо держит на коротком конце, прост и технологичен. Однако конструкция якоря, особенно винческое штоке, делает процесс уборки и крепления по-ходовому очень сложным и трудоемким.

Именно поэтому адмиралтейский якорь потерял роль основного и был вытеснен другими, более удобными для уборки якорями.

У якоря с поворотными лапами веретено не имеет штока, что позволяет втягивать их в якорь. При этом значительно упро-



Рис. 174. Положение адмиралтейского якоря из грунта:
а — неустойчивое; б — устойчивое.

щается процесс отдачи: достаточно освободить якорную цепь и якорь под действием собственного веса выходит из якоря. В рабочем положении обе лапы якоря находят в сцепление с грунтом.

Величина держащей силы определяется объемом грунта, привлекаемым якорем в работе. С этой точки зрения лапы, имеющие большую площадь, должны быть более выгодными. На рис. 175 приведены экспериментальные кривые для лап различной формы, работающих в однородном грунте; видно, что при увеличении площади на 25 и 50% держащая сила значительно увеличивается.

Максимальную держащую силу якоря развивает только в том случае, если направление усилия от якорного каната совпадает с плоскостью грунта. И наоборот, при увеличении угла погружения якорного каната у скобы якоря держащая сила быстро уменьшается, что объясняется уменьшением объема грунта, привлекаемого к работе лапами якоря.

На рис. 176, а показан механизм этого явления. Площадь, заштрихованная крестообразно, соответствует объему грунта в том случае, когда якорный канат наклонен к плоскости грунта на угол β . Для якоря Холла уменьшение коэффициента держащей силы в зависимости от угла β показано на рис. 176, б.

Описанное свойство якорей имеет большое значение, так как оно является исходным для определения необходимой длины якорного каната.

В большой степени держащая сила зависит от максимального угла наклона лап по отношению к веретену. В этом отношении экспериментальные исследования позволяют сделать некоторые выводы:

1. Для каждого типа якоря существует угол наклона лап, обеспечивающий максимальную держащую силу.

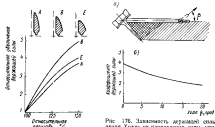


Рис. 175. Изменение держащей силы в зависимости от увеличения площади лап якоря

2. Длинные вытянутые вдоль веретена лапы способствуют возрастанию держащей силы. С увеличением длины лап угол их наклона по отношению к веретену, соответствующий максимальной держащей силе, уменьшается.

3. Увеличение длины лап вместе с увеличением держащей силы делает якорь более чувствительным к изменению угла на лапах якоря.

Большое влияние на величину держащей силы оказывает также качество поверхности лап. Максимальная держащая сила обеспечивается гладкими блокными лапами. Если лапы имеют одно продольное ребро жесткости, держащая сила уменьшается примерно на 25%.

Якоря Холла забирают грунт двумя лапами однако фактическая держащая сила якорей Холла всего в 3—4 раза превышает их собственный вес. Прячущий якорь способен

многих якорей с поворотными лапами является неустойчивость их рабочего положения вызываемая неоднородными свойствами грунта.

Якорь с центральным центром тяжести сохраняет свободу вращения относительно трех взаимно перпендикулярных осей проходящих через этот центр. Вращение вокруг горизонтальной оси не оказывается на величине держащей силы, так как оно определяет заглубление якоря в грунте. Отметим, что момент реакции грунта относительно центра тяжести якоря всегда способствует более глубокому забиранию якоря.



Рис. 177. Изменение держащей силы при изменении наклона якоря в углах на 10°.
Линии — типы профилей (см. рис. 150).

А. В. Е — тип профилей (см. рис. 150)

Рис. 177. Изменение держащей силы при изменении наклона якоря в углах на 10°.
Линии — типы профилей (см. рис. 150).

Практически якорь не препятствует — якорь переворачивается из грунта и теряет держащую силу. После этого весь процесс забирания повторяется снова.

Величина момента, возникающего из-за неоднородности грунта, пропорциональна расстоянию между лапами. У адмиралтейского якоря стабильность держащей силы может быть объяснена отсутствием этого момента.

Анализа работы якорей с поворотными лапами позволил на море путь их усовершенствования. Держащая способность якоря становится более стабильной при сближении лап, так как близко расположенные лапы соприкасаются с более однородным грунтом. Кроме того, увеличивается плечно сил, образующих «выворачивающий» момент, и увеличивается устойчивость якоря в грунте.

Эксперименты подтвердили вывод об увеличении коэффициента держащей силы якорей при уменьшении расстояния между лапами. Однако якори повышенной держащей силы не лишены существенных недостатков. При сближении лап пространство между лапами и веретеном забирается грунтом. Это, в свою очередь, затрудняет повторное забирание, если якорь выходит из грунта и переворачивается лапами вверх. У большинства якорей со сближенными лапами величина коэффициента держащей силы с уве-

личением веса якоря значительно снижается. Объяснения этому нахождению в настоящее время еще не найдено.

Рассмотрим процесс забирания грунта якорем с поворотными лапами. Попадая за грунт, якорь при отдаче обязательно ложится плашмя. Если у адмиралтейского якоря лапа входит в грунт под действием собственного веса и натяжения цепи, то у якоря с поворотными лапами предварительно должен быть создан некоторый наклон лап. Для этого в якоре Холла у основания лап имеется широкий фланец, который погружается в грунт и при движении якоря создает момент нужного направления. В некоторых других типах якорей начальный наклон создается за счет утолщения корней ной части лап.

Особенностью якорей с поворотными лапами является конструкция подвижной части, которая должна быть балансирована относительно оси шарнира. Если балансировка выполнена правильно, то достаточно небольшого толчка при контакте лап с обшивкой, чтобы подвижная часть заняла положение, необязательное для входа веретена в якорь. При забирании плохо сбалансированный якорь лапы могут занять положение, показанное на рис. 178. Оно представляет большую опасность, так как при дальнейшем забирании якорного каната якорь может заклиниться

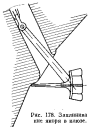


Рис. 178. Задавливание якоря в якоре.

§ 73 Конструкция якорных канатов

Под воздействием различных внешних сил судно стремится изменить положение, в котором оно удерживается якорем и якорным канатом. Якорные канаты, обеспечивающие прочную связь судна с лежащим на грунте якорем, должны отвечать следующим требованиям:

1. Диаметр каната должен быть достаточным, чтобы обеспечить горизонтальную передачу усилия к якорю. Известно, что наименьшая держащая сила якоря соответствует горизонтальному приложению усилия. При недостаточном диаметре каната держащая способность большинства якорей резко падает.

2. Свойства якорного каната должны обеспечивать возможно более полное поглощение рывков и колебаний, способных нарушить сцепление якоря с грунтом или привести к разрыву якорного каната.

3. Якорный канат должен удовлетворять общепромышленным требованиям, к которым следует отнести достаточную надежность, технологичность, удобство в эксплуатации и низкую стоимость.

До начала XIX в. якорные канаты изготавливались из различных растительных тростов. Они имели большой диаметр и изгибающие их было связано со значительными трудностями. Кроме того, они требовали длительной просушки для предотвращения от гнили.

Появление первой якорной цепи относится к 1806 г. и связана с именем Самуэля Брауна (Англия).

Якорные цепи не претерпели никаких изменений и до настоящего времени используются за большинством морских судов различного класса.

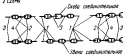


Рис. 179. Компоновка якорных цепей.

1 — обхватывающее звено; 2 — узловое звено; 3 — концевое звено; 4 — скоба; 5 — концевая скоба.

якоре на большой глубине. Цепные якорные канаты используются при стоянке на глубинах, не превышающих 200 м.

Якорные цепи всегда изготавливаются калиброванными, т. е. размеры их звеньев выдерживаются с точностью, достаточной для безотказной работы цепи на звездочки якорного механизма.

Цепной якорный канат состоит из отдельных смычек длиной по ~25 м. Это облегчает изготовление и транспортировку цепи и позволяет легко заменять изношенные участки цепи. Смычки, крепящиеся к корпусу судна, называются коренными; якорная или кирическая, непосредственно следует за якорем.

В зависимости от способа соединения смычек существуют две схемы компоновки якорной цепи (рис. 179). В каждой из них наиболее интересными местами являются узлы крепления цепи к якорю, соединение смычек и крепление коренной смычки к корпусу судна:

1. Крепление концевой смычки к якорю осуществляется при помощи концевой скобы. Так как эта скоба не может быть заведена в обычное звено, даже если в нем отсутствует контфорс, то не непосредственно за ней располагается концевое звено калибра которого на 20% больше калибра якорной цепи.

Чтобы исключить крашение цепи при падении якоря, в концевую смычку обязательно включают вертлюг. Соединение вертлюга осуществляется при помощи увеличенных звеньев, калибр которых по отношению к калибру цепи увеличивается на 15%.

2. Для соединения смычек могут быть использованы соединительные скобы и соединительные звенья. Компоновка цепи с соединительными скобами показана на рис. 179, схема I.

Размеры скоб не позволяют завести их в обычное звено, поэтому смычки заканчиваются концевыми звеньями. Скоба должна быть обязательно направлена согнутой стороной к якорю. При изгибаании цепи эта сторона скобы лучше согласуется с впадиной на звездочке якорного механизма.

Недостатком рассматриваемой схемы является большая разница в размерах элементов цепи. Длина общего звена раза в 6 калибров цепи длина же соединительной скобы составляет 8-9 калибров.



Рис. 180. Соединительное звено.

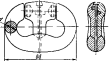


Рис. 181. Соединительное звено для типов цепей Кентера.

Из-за того что соединительная скоба не помещается между звеньями, цепь сильными ударами проскакивает по звездочке. Этот недостаток можно устранить, если использовать соединительные звенья, длина которых равна длине обычных звеньев (рис. 179, схема II).

В отечественной практике используются два типа соединительных звеньев: звено Кентера (рис. 180) и звено, применяемое для литьих цепей с большим калибром (рис. 181).

3. До недавнего времени крепление коренной смычки к корпусу осуществлялось жалко-гаком — небольшой цепкой смычкой, защищающейся глатвой-гаком. В этом случае отдача цепи могла произойти только из пепного ящика. Необходимость быстрой отдачи может возникнуть при пожаре на соседнем судне и в других случаях, когда судно должно быстро покинуть стоянку.

В современной практике используются различные типы устройств, позволяющие осуществлять отдачу коренной конца цепи непосредственно с верхней палубы. На рис. 182 а показано устройство для отдачи цепи, закрепленное на крыше цепного ящика. Концевое звено удерживается гаком, конец которого упирается в задержник, укрепленный на фигурном рычаге. К одному из концов рычага крепится тяга, обеспечивающая за счет рычажного привода отдачу цепи с палубы. Второй вариант устройства (рис. 182, б) предназначен для установки на верти-

кальной переборке и практически не отличается от первого варианта.

Операции и надзор. Внимательный уход предотвращает возможные разрывы якорных цепей. Он включает: очистку от ржавчины, периодические осмотры и прокручивание звеньев, замену изношенных звеньев и участков цепи. В соответствии с нормой Регистра СССР цепь должна быть заменена, если износ звена

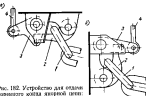


Рис. 182. Устройство для отдачи якорного конца якорной цепи:
а — на jaki для крепления на
хомуте цепного ладка; б — на жи для крепления
на переборке.
1 — якорный якорь; 2 — тас; 3 — драк; 4 — тас в рено.

сил 20% площади поперечного сечения звена. Часто практикуется замена концевой смычки на менее изношенную коренную. Для защиты от коррозии цепь покрывается кубис-лаком. Одно из звеньев смычки окрашивается в какой-нибудь яркий цвет (разные для каждой смычки), что позволяет определить длину вытравленной цепи. Всегда нужно проверять укладку цепи в цепном ящике, чтобы предотвратить возникновение узлов и петель.

§ 74. Якорные канаты на стальных и синтетических тросах

Стальные тросы в составе якорного каната чаще всего комбинируются с цепями. Иногда якорные канаты дополняются сопротивляемыми грузами, которыми могут служить якоря, цепи больших размеров и т. д. С одной стороны, это определяется большой жесткостью стальных тросов и необходимости увеличения эластичности за счет большого прохождения,



Рис. 183. Комбинированный якорный канат

а с другой — интенсивным износом части якорного каната, расположенной у якоря, из-за частого соприкосновения с грунтом. На рис. 183 приведен один из типов якорного каната, включающий стальной трос и цепную смычку

Свообразны якорные канаты из синтетических тросов. Из-за небольшой разницы между удельным весом воды и материала из которого изготавливается канат, последний занимает положение, близкое к прямой линии, соединяющей судно и якорь. Однако исключительно высокая упругость синтетических тросов обеспечивает достаточную податливость и без провисания якорного каната.

Представление об упругости может быть получено из следующих данных: стальные тросы разгибаются, растягиваясь всего на 2%; разрывное удлинение синтетических тросов составляет 40—45%. Цепная смычка, которая обычно располагается у якоря, должна обеспечить горизонтальную передачу усилия в якорной скобе и предохранять якорный канат от истирания о грунт.

ГЛАВА 20 ОПРЕДЕЛЕНИЕ ОСНОВНЫХ ЭЛЕМЕНТОВ ЯКОРНОГО УСТРОЙСТВА

§ 75. Рекомендации Правил постройки

Правила постройки различных классификационных обществ позволяют достаточно просто определить размеры основных элементов якорного устройства.

число и вес станинов якорей
длину и размер поперечного сечения якорного каната;
вес вспомогательных якорей и размеры соответствующих якорных канатов.

Рассмотрим рекомендации некоторых Правил постройки

Регистр СССР. Размеры элементов якорного вооружения на значаются с зависимостью от якорной характеристики, значение которой может быть определено по формуле

$$N = k_m [L(B + H) + \sum S] \quad (109)$$

где L — длина судна, м

B — ширина судна, м;

H — высота борта до верхней палубы, м

$$\sum S = S_w + S_p + S_k$$

Здесь S_k — поправка на надстройки, определяемая по формуле

$$S_k = k_1 \sum h_i$$

где l и h — длина и высота надстройки, м

$k_1 = 0,75$ при суммарной длине надстроек меньшей или равной $0,5l$;

$k_1 = 1,5 \frac{I}{L}$ при длине надстроек большей 0,5L

S_p — поправка на рубки, определяемая по формуле

$$S_p = k_2 \sum I h$$

где I и h — длина и высота рубки, м;

$k_3 = 0,5$ при длине рубки меньшей 0,5L;

$k_4 = \frac{I}{L}$ при длине рубки большей 0,5L;

S_e — поправка на повышенную палубу определяемая по формуле $S_e = I b$,

где I и b — длина и высота квартердека, м;

Коэффициент $k = 1$ для самоходных судов и $k = 1,3$ для не самоходных. Этими коэффициентами учитывается возможность не использовать движители для уменьшения усилия, передаваемого от судна к якорю.

Коэффициент m в формуле (109) отражает изменение условий при стоянке на якоре для судов различных категорий плавания для судов I категории плавания $m = 1,0$;
для судов II категории плавания $m = 0,9$;
для судов III категории плавания $m = 0,8$;
для судов IV категории плавания $m = 0,7$.

Якорное снаряжение определяется по таблице Правил постройки. В Правилах постройки указывается также на необходимость снабжения судов ледового плавания специальными ледовыми якорями и стальными тросами в качестве якорных канатов; определяется возможность применения якорей, отличающихся от основного типа (якорей Холла); возможность использования нечеткой повышенной прочности и т. д.

Английский Ллойд для определения якорной характеристики дает формулу

$$N = (B + T)L + 0,85L(H - T) + 0,75(b + r), \quad (110)$$

где использованы те же обозначения, что и в предыдущем случае. Отметим, что в Правилах постройки Регистра СССР в Английском Ллойде якорная характеристика имеет размерность площади (квадратичную).

В Германском Ллойде для определения размеров якорного снаряжения рекомендуется кубическая характеристика

$$N = 0,75LBH + 0,5(I + 0,25b) \quad (111)$$

Норвежское Бюро Верitas приводит кубическую характеристику

$$N = \delta LBH + \sum kQ \quad (112)$$

где δ — коэффициент общей полноты;

$\sum kQ$ — поправка на кубатуру надстроек и рубок

Таким образом в современной практике существуют два типа якорных характеристик — квадратичные и кубические.

Несомненно, что в них заложен некоторый физический смысл. Например, квадратичная характеристика Регистра СССР складывается из величин, пропорциональных величинам склоненной по верности и площади нарезки.

Кубические якорные характеристики пропорциональны объему судна или его массе, которая определяет инерционное воздействие судна на якорный канал и на якорь.

К использованию характеристик для определения размеров якорей обращались уже очень давно. Так, в России существовало правило, согласно которому вес якоря в пудах равнялся площади погруженного килья в квадратных аршинах.

9.78 Определение основных элементов якорного устройства

В Правилах постройки Регистра СССР и других классификационных обществ обобщен опыт эксплуатации якорных устройств. Все данные представлены в виде таблиц, позволяющих определить размеры основных элементов устройства в зависимости от некоторой эмпирической якорной характеристики. Но в таком виде значение силы, характеристики напряженного состояния и величины необходимых запасов прочности в этих рекомендациях не приводится. В то же время без них нельзя оценить их надежности, а также рациональности устройства, что совершенно необходимо для целесообразного проектирования и для объективной критической оценки существующей практики.

Расчетный способ позволяет оценить основные факторы, влияющие на конструктивные размеры элементов якорного устройства. Однако из-за принятых допущений и неопределенности внешних, в особенности динамических, сил этот расчет будет носить условный характер и как всякий условный расчет не может представить реальной ценности без сопоставления его с данными практики. Только сопоставление поможет найти практические коэффициенты, позволяющие избежать ошибок при проектировании.

В рассматриваемом случае такими коэффициентами являются запас прочности якорного каната λ и коэффициент расчетной эффективности якоря $k_{\text{я}}$, представляющий собой отношение пределенного на якорь расчетного усилия к весу якоря.

Для определения элементов якорного вооружения расчетным путем должны быть заданы:

тип и назначение судна;

главные размерения, размеры надстроек и рубок

глубина якорной стоянки;

предполагаемое течение условия (t с состоянием моря и силь ветра).

Отметим, что глубина, на которую рассчитаны устройства регламентированы Правилами постройки, включается в пределах 80–150 м в зависимости от размеров судна.

Последовательность расчета:

1. Определяется внешняя статическая сила действующая на судно;

2. Из условия статики находятся предварительные размеры якорного каната — длина и поперечное сечение;

3. Определяется динамическая добавка натяжения, малое напряжение якорного каната и усилие, действующее на якорь;

4. Определяется необходимый вес якоря и запас прочности предварительно подобранный якорного каната. Если запас прочности получается ниже допустимого, то расчет повторяют, архивы полученные в первом приближении являются исходными.

Внешние силы, действующие на стоящее на якоре судно. Полное усилие действующее на судно, будет

$$R = R_a + R_t + R_{b, \alpha}, \quad (113)$$

где R_a — усилие от ветра;

R_t — усилие от течения;

$R_{b, \alpha}$ — сопротивление застопоренных винтов.

Усилие от ветра R_a поддержано существенным изменением из-за больших отклонений в скорости, вызываемых порывами и шквалами. Порывы, являющиеся следствием турбулентности потока воздуха у земли, представляют большую опасность, так как они всегда накладываются на сильный штормовой ветер. Изменение скорости достигает 100% от среднего значения, а изменение направления — 30–40°. В практических расчетах влияние порывов учитывается поправкой к средней скорости ветра. Эффективная скорость ветра

$$\sigma_{av} = v_0 \sqrt{1 + \frac{2}{n} \left(\frac{\sigma}{\sigma_0} \right) + \left(\frac{\sigma}{\sigma_0} \right)^2} \quad (114)$$

где σ_0 — среднее значение скорости ветра;

σ — дополнительная скорость ветра при порыве.

Расчетное значение усилия от ветра

$$R_a = k_a S_a U_{av}^2, \quad (115)$$

где k_a — коэффициент ветрового сопротивления. Если судно расположено носом за ветер,

$$k_a = 0,0001 m \cdot \text{сек}^2 / m^4.$$

S — приведенная площадь парусности равная

$$S_a = S_b + 0,3 S_p, \quad (116)$$

где S_b и S_p — площади проекций на плоскость миделя надводной части корпуса и надстроек m^2 .

При определении v_{av} следует принимать скорость штормового ветра с увеличением скорости в порыве на 50%.

Отметим, что эффективная скорость ветра очень редко превышает 30–35 узлов.

Усилие от течения может быть определено по приближенной формуле

$$R_t = C_{t,0} \frac{U^2}{2} \Omega \cdot L \quad (117)$$

где $C_{t,0}$ — коэффициент трения, который изменяется в зависимости от числа Рейнольдса и средней величиной обрастающей корпуса судна;

$\frac{U^2}{2}$ — скоростьный напор

Ω — смоченная поверхность, m^2 .

При определении R_t можно принять скорость течения $\sigma = 5$ узлов. Обычно большие скорости морских течений встречаются очень редко.

Сопротивление застопоренных винта

$$R_{b, \alpha} = 0,005 D_v^2 \varphi^2, \quad (118)$$

где 0 — дисковое отношение винта;

D_v — диаметр винта, м;

φ — скорость течения, узлы.

При заданной скорости течения величина сопротивления дружи выступающих частей можно пренебречь.

Положение якорного каната и его напряжение в сплошных условиях.

Для определения положения, занимаемого якорным канатом, и вычисления его напряжения в статических условиях можно использовать зависимость, относящуюся к статике гибких жгутов.

Рассмотрим основные зависимости. Положение, занимаемое якорным канатом определяется уравнением линии

$$y = \frac{T_0}{u} \left(\operatorname{ch} \frac{uy}{T_0} - 1 \right) \quad (119)$$

где u — постоянный вес якорного каната в воде, kg/m ,

T_0 — постоянная горизонтальная проекция напряжения, равная действующему на судно усилию, кгс

Начало координат (рис. 184) совмещено с точкой "на грунте", соответствующей рабочему положению якоря (якорный канат не лежит на грунте). Если выполнено требование относительно необходимой длины якорного каната, в соответствии с которым угол

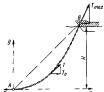


Рис. 184 Участок якорного каната

подъема каната у якорной скобы равен нулю то на якорь действует усилие T_a .

Статическое напряжение в любой точке якорного каната определяется выражением

$$T = T_a + \gamma H \quad (120)$$

Максимальное статическое напряжение (у края)

$$T_{\max} = T_a + \gamma H_r$$

где H_r — глубина стоянки.

Длина якорного каната от начала координат до произвольной точки

$$S_p = \frac{T_a}{\gamma} \sin \frac{y_t}{T_a} = \frac{\sqrt{T_a^2 - r^2}}{\gamma} \quad (121)$$

Полная длина якорного каната (проецирующая)

$$S = \frac{\sqrt{T_{\max}^2 - T_a^2}}{\gamma} = H_r \sqrt{\frac{2T_a}{\gamma H_r} - 1} \quad (122)$$

где величина $\sqrt{T_{\max}^2 - T_a^2}$ представляет собой вертикальную проекцию максимального напряжения якорного каната.

Зависимость, определяющая максимальное напряжение якорного каната, достаточно проста, и ее можно использовать для выбора предварительного значенияоперечного сечения якорного каната. При этом следует принимать 7—9-кратный запас прочности (отношение пробного напряжения цепи или разрывного усилия троса к расчетному статическому усилию в канате T_{\max}).

Динамическая составляющая напряжения якорного каната.

Колебания, совершаемые якорем, оканчиваются при стоянке судна на якоре из автоливкового моря, приводят к покалению в якорном канате значительных добавочных усилий, для определения которых может быть использована формула

$$\Delta T = \frac{c^2 S}{2700}, \quad (123)$$

где c — обобщенный коэффициент сопротивления якорного каната. Для тросов $c^2 = 1$; для цепей $c^2 = 1 - d = B$ (ширина звена);

S — длина якорного каната (см. формулу (122)) и

c_0 — скорость спрямления, м/сек;

x — характеристика проекции

Для определения скорости c_0 нужно знать амплитуды и периоды колебаний якорной оконечности при продольном качке судна. Для определения величины c_0 нужно по уравнению (119)

* Вид формулы (123) в физически смысл величины c_0 см. в разделе обзора главы.

построить график, характеризующий положение якорного каната, и измерять проекцию каната относительно линии AB (см. рис. 184). Отношение этой величины к длине отрезка AB в пределах искажено величину

Определение требуемой массы якоря в процентах прочности якорного каната.

Запас прочности якорного каната α и коэффициент расчетной эффективности якоря k_{eff} были получены на основе анализа Правил постройки Регистра СССР.

Для расчетов можно рекомендовать значения $\alpha = 2,1 \pm 2,3$, $k_{\text{eff}} = 8 \pm 10$, обеспечивающие для проектируемого устройства равную надежность по сравнению с устройствами, основные элементы которых определяются по рекомендациям Правил постройки.

Коэффициенты α и k_{eff} сохраняют практически постоянные значения во всем диапазоне изменения якорных характеристик судов.

Расчетная эффективность якоря k_{eff} превышает коэффициент держащей силы якоря Холла, определенный экспериментально при статическом приложении силы. Однако данные, полученные при динамическом приложении усилия, передаваемого якорным канатом, свидетельствуют о значительном возрастании соответствующего коэффициента держащей силы.

В заключение отметим, что применение расчетного метода целесообразно (а зачастую и необходимо) в тех случаях, когда параметры якорной стоянки (глубина, внешние условия, размеры судна и т. д.) выходят за пределы, предписываемые Правилами постройки. Например, это может иметь место во всех случаях, когда канаты изготавливаются из стальных или синтетических троос.

Использование расчетного метода целесообразно и в том отношении, что он дает более полное представление о работе основных элементов якорного устройства. Так, при постоянной длине якорный канат практически полностью определяет прояснение якорного каната. Уменьшение якорного веса и соответствующее уменьшение характеристики прояснения и приводят к резкому возрастанию динамической составляющей напряжения.

Было подсчитано, что при уменьшении калибра якорной цепи на одну четверть, запас прочности уменьшается примерно в 4 раза.

Таким образом, только при обеспечении достаточного прояснения возможна надежная работа якорного каната. Некоторый эффект создается за счет того, что при увеличении прояснения возрастает податливость якорной системы, удерживающей судно. Это приводит к увеличению периода качки и соответственно уменьшает динамическое воздействие судна на якорный канал.

Прояснение имеет большое значение и для тех якорных каналов, масса которых невелика. В этих случаях для увеличения прояснения можно рекомендовать включение в якорный канал массивных цепных смычек и сосредоточенных грузов.

§ 77 Расчет элементов якорного устройства

Числовой пример

Необходимо определить основные элементы якорного узла рабочего яруса для траулерного судна со следующими главными размерениями:

Длина	$L = 120 \text{ м}$
Ширина	$B = 14 \text{ м}$
Осадка	$T = 7,5 \text{ м}$
Высота борта	$H = 11 \text{ м}$
Коэффициент общей плавучести	$\delta = 0,73$
Коэффициент плавучести надстройки	$\delta_1 = 0,96$
Суммарная длина надстроек	$L_1 = 60 \text{ м}$
Длина рубок	$L_2 = 14 \text{ м}$
Глубина якорной стоянки	$H_f = 80 \text{ м}$

1. Для определения основных элементов якорного устройства по Правилам постройки Регистра СССР необходимо найти якорную характеристику

$$S = k_1 (L + B + H) + \sum S_i$$

где $k = m = 1$, $\sum S = S_0 + S_0$.
Проверка на подтверждение

$$S_0 = k_1 \sum L_i \delta = 0,75 \cdot 60 \cdot 2,5 = 112,5$$

Проверка на рубки

$$S_0 = k_2 / \delta = \frac{14}{190} [4 \cdot 2,5 - 4] =$$

$$N = 120 [14 \cdot 1,1] + 112,5 - 4,1 = 3116,4.$$

В соответствии с рекомендациями Правил постройки судно должно иметь три стволовых якоря общим весом 3800 кг (вес каждого якоря 3870 кг) и якорную линию калибром 55 мм. Длина якорной линии с один якорем — 250 м (суммарная длина 500 м).

2. Проведенный расчет выразился в элементах:

а) Положение и спасательные катапульты якорного яруса. Для определения данного условия выделяются следующими условиями: склон к берегу — 11 градусов по шкале Вороты (25 м/км);

скорость плавания — 3 узла

Давление якоря на дно по формуле

$$R_1 = k_3 S_{12} v^2$$

где k_3 — часовой коэффициент; $k_3 = 0,0000$;

S_{12} — приведенная площадь парусности

$$S_{12} = S_0 + 0,1 S_0$$

S_0 — площадь проекций надстроек и рубок, $S_0 = 95 \text{ м}^2$.

Здесь S_{12} — площадь проекции на плоскость надводной части корпуса судна

$$S_{12} = (H - T) B = 3,5 \cdot 14 = 49 \text{ м}^2$$

$$S_{12} = 95 + 0,1 \cdot 95 = 100 \text{ м}^2$$

Эффективная скорость ветра при среднем значении $v_0 = 25 \text{ м/с}$ в 50%-ном количестве скорости в гурзе

$$v_{10} = 25 \sqrt{1 + \frac{2}{\pi} (0,5) + \frac{1}{2} (0,5)^2} = 30 \text{ м/с.}$$

$$R_1 = 0,0001 \cdot 110 \cdot 30^2 = 9,9 \text{ т.}$$

Реакцию течения при скорости $v = 3$ узла определим по предложеной формуле

$$R_2 = \frac{F_K v^2}{A}$$

где F_K — площадь мидель-шпангоута и

$$F_K = MBT = 0,96 \cdot 14 \cdot 7,5 = 91 \text{ м}^2$$

v — скорость, узлы;

A — амплитудный коэффициент и для транспорта яруса судна можно принять $A = 400$;

$$R_2 = \frac{10 \cdot 3^2}{400} = 2,3 \text{ т.}$$

Сопротивление застывшего якоря

$$R_{3,1} = 0,006 \cdot 60^2 v^2 \text{ т}$$

Здесь D_1 — диаметр якоря; $D_1 = 5 \text{ м}$,
 $\frac{1}{2}$ — дисковое отношение якоря; $\theta = 0,3$,
 v — скорость течения; $v = 3$ узлов.

$$R_{3,1} = 0,006 \cdot 0,1 \cdot 5^2 \cdot 3^2 = 0,4 \text{ т.}$$

Внешнее усилие $R = 9,9 + 2,3 + 0,4 = 12,6 \text{ т.}$

Судно стоит на двух якорях, поэтому $T_d = 0,5R = 6,3 \text{ т.}$

Якоряают якорь выпрямлено. Давление превышающей части может быть определено по формуле

$$\gamma = R_d \sqrt{\frac{2T_d}{\rho H} + 1}$$

где γ — затонувший вес якорей или. Для временной цепи (если тяжел в воде $\gamma = 22,5 \text{ кг/м}$)

$$\gamma = 80 \sqrt{\frac{2 \cdot 6300}{32,5 \cdot 80} + 1} = 160$$

Участок цепи, лежащий на дне, равен 90 м.

Положение якорного яруса характеризуется уравнением

$$y = \frac{T_d}{\gamma} \left(\sin \frac{\pi x}{T_d} - 1 \right) + 120 \left(\sin \frac{x}{120} - 1 \right)$$

Расчет проводят аналогично табл. 23.

Характеристика превышения

$$x = \frac{1}{7,65}$$

Положение якорного каната

Таблица 23

α	$\frac{T_0}{T_0}$	$\alpha = \frac{T_0}{T}$	При	IVК №
1	II	III	IV	V
30	0.25	1.0314	0.0314	3.8
60	0.50	1.1276	0.1276	15.3
90	0.75	1.2347	0.2347	36.4
120	1.00	1.5631	0.5631	65.2
150	1.25	1.8884	0.8884	107.5

Максимальное статическое напряжение якорного каната

$$T_{\max} = T_0 + \mu T_0 = 6.3 + 0.0625 \cdot 80 = 10.5 \text{ кн}$$

б) Динамическая составляющая напряжения. Эта составляющая может быть определена по формуле

$$\Delta T = \frac{\alpha^2 S}{200 \pi^2},$$

так α — общий коэффициент сопротивления

$$\alpha = \frac{c^2 p - 3.64}{2} - \frac{1.302 \cdot 3.6 \cdot 0.053}{2} = 9.7$$

Для определения скорости срывом каната нужно найти параметр

$$\frac{dS}{dt} = \frac{c^2 S}{12736 \pi^2 T},$$

где $c^2 S$ — модуль упругости каната. Чтобы найти эту величину, канатируем по условиям испытания цепи, в соответствии с которым упругое растяжение при свободной затяжке составляет 5–8,5%. Пробное напряжение для якорной цепи — 78 кн; таким образом,

$$c^2 S = \frac{78000}{9.7} = 1360000 \text{ кн/см}^2$$

$$S = \frac{9.7 \cdot 1697.42}{12736 \cdot 1360000} = 0.286$$

Для определения параметра φ был выполнен расчет продольных каналов на регулирование положения при отсутствии якоря. При этом линия волн был сглажнута для якоря судна.

На основе этого расчета якорь выбран из носовой оконечности с $\varphi = 8.75$ сек., а соответствующее значение скорости квадратичной $v_0 = 4.9$ м/сек.

Используя график из стр. 600, найдем значение скорости срыва каната v_0 .

в) Максимальной скорости $v_0 = \frac{v_0}{v_0} = 0.64$

Динамическое напряжение на якоре

$$\Delta T = \frac{9.7 \cdot 0.64 \cdot 4.9^2 \cdot 100 \cdot 7.82^2}{270} = 27200 \text{ кн}$$

г) Оська криволинейной якорной цепи. Оська канату максимального напряжения

$$T_{\max} = T_{\text{кан}} + \Delta T = 10.5 + 27.2 = 37.7 \text{ кн}$$

Условно, передаваемое из якоря (к учёту влияния участка ОБН) давление на рунку

$$T_{\text{кан}} = T_0 + \Delta T \quad \text{уб.} \quad v = 6.3 + 27.2 = 47.2 = 27.8 \text{ кн}$$

Зависимость цепи

$$\alpha = \frac{T_{\text{кан}}}{T_{\text{кан}}} = \frac{78.0}{37.7} = 2.07$$

и коэффициент расчетной эффективности якоря $A_{\text{расч}} = \frac{26.75}{2.07} = 13$ лежит в допустимых пределах

ГЛАВА 21

КОНСТРУКТИВНЫЕ ЭЛЕМЕНТЫ ЯКОРНОГО УСТРОЙСТВА

§ 78 Якорные якори

Якорные якори выполняют на судах две важные функции: обеспечивают беспрепятственный проход якорной цепи через элементы корабельных конструкций при отдаче и выбирании якоря; позволяют удобно разместить бесштоковый якорь в походном положении и быстро отдать его в случае необходимости.

При движении от якорного механизма (см. рис. 161) якорная цепь пересекает плоскость палубы, проходит наклонно через переднюю часть внутреннего помещения носовой оконечности судна и пересекает плоскость борта, направляется винка. При пересечении плоскостей палубы и борта ось якорного каната имеет склон. В этих местах располагаются палубный и бортовой расструбы. Оба расструба соединяются якорной трубой (рис. 185).

Форма рабочей поверхности расструбов якоря должна способствовать плавному изменению направления движения якорной цепи. Это достигается увеличением радиусов закрутления поверхности, по которым пробегает якорная цепь при отдаче и выбирании якоря. При недостаточно плавном закрутлении рабочей по поверхности большую опасность представляет изгиб звена, результатом которого может явиться его деформации и даже поломка.

Выбор формы бортового расструба является самой сложной задачей при проектировании якоря, так как при выборе якорной цепи якорь должен автоматически занимать положение необходимое для его походного закрепления.

На рис. 186 показаны три последовательных положения якоря. В начальном положении (I) за счет изменения формы лежней рабочей части бортового раструба можно значительно облегчить вход веретена в якорь. Форма раструба, показанная на рисунке при маклном усилии, позволяет развернуть якорь для входа в якорь. В походном положении (III) ориентированные вверх лапы якоря должны быть плотно прижаты к раструбу якоря.

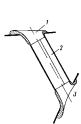


Рис. 186. На якорь якоря.
1 — якорный раструб; 2 — якорь;
3 — бортовой раструб

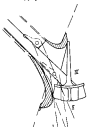


Рис. 186. Положение якоря при втапливании в якорь

Правильно спроектированный якорный якорь должен удовлетворять следующим основным требованиям:

якорь должен свободно входить в якорь при втапливании и выходить при отдаче;

зевко якорной шейки при проходе через якорь не должно испытывать изгиба;

при движении судна якорь не должен вызывать дополнительного сопротивления, образования брызг и попадания на палубу воды;

якорь, расположенный в якоре, не должен приводить к повреждению корпуса при швартовке или при ударах о различные плавающие предметы и лед;

при выбирании якорь должна быть исключена возможность задевания его лап за форштевень. Длина якоря должна быть достаточной для размещения веретена;

якорный якорь должен иметь устройство для обвязки якорной цепи.

Эти требования определяют расположение якоря, наклон его оси и горизонтальной и диаметральной плоскостями и конструкцию якоря.

Однако создать якорь, удовлетворяющий всем перечисленным требованиям, не представляется возможным, так как они в большинстве случаев противоречат. Например, для более легкого входа якоря в якорь нужно, чтобы наклон оси якоря к горизонту был большим, что достигается смещением бортового раструба вниз. Но при этом увеличивается снос цепи на палубном раструбе, возрастает дополнительное сопротивление и увеличивается количество попадающей на палубу воды.

Смещение бортового раструба к форштевню позволяет значительно уменьшить снос цепи при стоянке на якоре, но при этом увеличивается вероятность задевания лапами форштевня и т. д.

Положение якоря в большой степени определяется типом и расположением якорных механизма. Например, если применяется брашпиль, то отстояние палубного раструба от ДП является заданным, так как он должен находиться на линии движения якорной цепи от звездочки брашпilia.

Несложно легче выбрать положение якоря в том случае, когда якорным механизмом является шнек. Однако при всех условиях якоря следует располагать таким образом, чтобы увеличить угол склона звездочки цепи и исключить задевание якорем форштевня.

В зависимости от особенностей проектируемого судна на нем может быть использован один из трех типов якорей: обычный, открыый и якорь с ящичкой.

Нормальные или обычные, якоря находят применение на большинстве морских транспортных пассажирских и вспомогательных судов.

Бортовой раструб (рис. 187 а) якоря представляет собой эллиптическую стальную откатку. Фланцы раструба привариваются к бортовой обшивке, толщина которой в районе установки якоря увеличивается. Последнее вызвано значительными динамическими нагрузками при движении цепи в кошмарных ударах при выбирании якоря.

На небольших судах лягущие бортовые раструбы могут быть заменены сварными (рис. 187 б), применение которых несколько

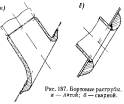


Рис. 187. Бортовые раструбы:
а — лягущий; б — сварной.

ограничено, так как в них же удается получить рабочих поверхности с большими радиусами закруглений.

Бортовой и палубный раструбы сдвоены якорной трубой. Нижняя ее половина при движении цепи выполняет роль желоба к подверженна значительному механическому износу. Толщина этой части трубы должна быть не менее половины толщины соответствующей якорной цепи.

Положение якорной трубы клюза в пространстве определяется наклоном ее оси к горизонтальной плоскости и углом между ДП судна и вертикальной плоскостью, проведенной через ось клюза (рис. 188). Увеличение наклона оси трубы улучшает выход якоря из якоря. Не рекомендуется, чтобы этот угол был меньше 30°. Угол между вертикальной плоскостью и ДП изменяется в пределах 10—35°.

Направление движения якорной цепи относительно палубного раструба клюза определяется положением якорного механизма и

Рис. 188. Положение якорной трубы.

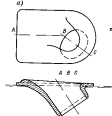


Рис. 188. Положение якорной трубы:



самого раструба. Часть раструба, обращенная к якорному механизму, делается массивной, с мягкими скруглениями, уменьшающими износ цепи.

Как и бортовые раструбы палубные раструбы могут быть литыми или сварными.

На рис. 189 показан якорной палубный раструб. На малых судах применяют сварные конструкции (рис. 189, б).

Для определения размеров клюза можно рекомендовать следующие зависимости.

Для якоря Холла диаметр трубы клюза

$$D = (3.5 \div 3.9) \sqrt[3]{Q} \text{ см} \quad (124)$$

Длина трубы

$$L_a = (15 \div 16.5) \sqrt[3]{Q} \text{ см} \quad (125)$$

где Q — вес якоря, кг

Для якоря Чатросова

$$D_a = (4 \div 5) \sqrt[3]{Q} \text{ см}$$

$$L_a = 20 \sqrt[3]{Q} \text{ см} \quad (126)$$

На некоторых морских судах длина якорной трубы обычного клюза бывает недостаточной поэтому приходится использовать якоря с укороченным вертепом или располагать палубный раструб выше уровня палубы на специальном фундаменте.

В отечественной практике основательная проверка конструктивных элементов клюзов, безотказного входа якоря в клюз и его выхода производится на моделях, выполненных в натуральную величину из дерева. Часто это позволяет избежать сложных работ по подгонке, изменению формы раструбов, а иногда и изменению положения клюза при строительстве судна.

Открытый клюз. Применение обычных клюзов на морских быстроходных судах приводит к некоторому снижению скорости. Кроме того, при ходе на кавалерийском море вода вода через клюз попадала на палубу и затрудняла работу экипажа.

Чтобы избежать этих недостатков, применяют открытые клюзы, которые располагаются в месте соединения палубного страйтера и кирстера. Основной частью клюза является массивная отважка износа якоря для прохода якорной цепи и размещения вертепа при позднем положении якоря. Лапы якоря при этом пружинят к специальному способу, образующему перегородку над якорем. Вертеп якоря в позднем положении располагается почти горизонтально что часто затрудняет отдачу якоря.



Рис. 189. Якорные клюзы с якорем

На рис. 190 показан **клюз с нишей**. Втянутые в клюз якоря размещаются в нише таким образом, что ни одна из его частей не выступает за плоскость бортовой обшивки.

Клюзы с нишами имеют следующие преимущества:
снижается возможность повреждения судна при швартовных операциях, при буксировке и при движении во льдах;
увеличивается прилегание якоря к обшивке за счет изменения и зажима внутренней поверхности клюза;

у излюбленных судов повышается сопротивление выступающего якоря и уменьшается количество попадающей на палубу воды;
улучшается внешний вид судна.

Клюзы с нишами очень часто применяются на буксирах, ледоколах и судах телесного плавания, эскимосских судах и т. д.

§ 79 Цепные стопоры и стопоры для позднего закрывания якоря

В зависимости от выполняемых функций цепи ще стопора делятся на маневренные и стационарные.

Маневренные стопоры препятствуют передвижению якоря из якорных механизмов (шпиль или брашпиль) при маневрировании якоря судна или при ремонте якорных механизмов. В современной морской практике применяются два типа маневренных стопоров: винтовой и стопор с закладным пальцем, или «закладкой».

В винтовом стопоре (рис. 191, а) движение цепи ограничено, если горизонтально ориентированное звено упирается в две шеки, которые укреплены шарниром. В открытом положении щеки дают возможность цепи свободно скользить по желобу в фундаменте стопора. Вращение щек осуществляется винтом с противоположными нарезками. Чтобы цепь при движении не могла определить зигит, стопор имеет ограничивающую скобу. Винтовые стопоры устанавливаются на судах, калибр цепей которых не превышает 72 мм.

Закладной стопор (рис. 191, б) состоит из двух неподвижных щек, позволяющих цепи свободно проходить между ними по плоскости, соответствующей форме нижней части вертикально ориентированного звена.

На одной из щек в прорези укреплена закладная пал, имеющая возможность свободно входить в вырез противоположной щеки. Наклон выреза таков, что усилие, создаваемое застопоренным звеном, зажимывает пал.

Стопор рекомендуется для цепей с калибром превышающим 72 мм.

Использование маневренных стопоров для закрывания цепи при длительной стоянке на якоре допускается только в виде исключения при благоприятных погодных условиях.

Оба рассмотренных стопора фиксируют закрепляемое звено неподвижно. При попытке остановить винтовым стопором движущуюся цепь происходит следующее: во время прохода через стопор вертикально ориентированного звена щеки сближаются и торпедообразное звено упирается в них своей передней частью — происходит мгновенная остановка цепи.

Возникающий при этом рывок чрезвычайно опасен, так как он может привести к разрыву цепи. Поэтому перед стопорением он может привести к разрыву цепи. Поэтому перед стопорением

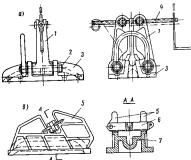


Рис. 191. Цепные стопоры: а — винтовой; б — закладной.
щеки 1 — щеки; 2 — винт; 3 — скоба; 4 — щека с нарезом;
5 — винт; 6 — закладной пал; 7 — якорь.

цепь должна быть заторможена и остановлена ленточным тормозом якорного механизма.

Стационарный стопор. При длительной стоянке для якорей со средним калибром применяется специальный стационарный стопор. Он представляет собой короткую смычку, один конец которой застопоривается на палубе, в которой заканчивается массивным гальваником. Калибр смычки равен калибру основной цепи судна.

После того как стопор зайдет, якорную цепь слегка сдвигают, чтобы передать нагрузку на цепь стопора. При малых калибрах (до 25 мм) стационарный стопор часто снабжен винтовым трапецием для выбирания стабилизации.

Цепные стопорные стопоры применяются только для цепей калибром до 43 мм. Большой вес стопорных стопоров затрудняет их использование для более толстых цепей, для стопорения которых используется тормоз якорных механизмов. Стопорный стопор и его крепление к палубе рассчитываются на разрывное усилие якорной цепи

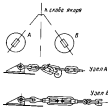


Рис. 192. Стопор для крепления якоря

лены специальные дополнительные рамные связи

Чтобы исключить возможные перемещения якоря, втянутого в якорь, необходимо обеспечить его походное крепление. Для этой цели служат несколько типов стопоров. Наиболее распространенным является цепной стопор, состоящий из цепи, талрепа и глаголь-рака. Закрепление якоря таким стопором показано на рис. 192.

9.88. Цепные ящики и цепные якоря

Цепные ящики предназначены на судах для размещения и хранения якорных цепей.

Форма цепного ящика должна обеспечивать равномерное заполнение его объема якорной цепью, которая попадает в ящик через специальный цепной якорь. В практиковавшихся ранее прямоугольных ящиках, чтобы равномерно заполнить объем и исключить образование петель, приходилось расстаскивать цепь специальными крючками вручную. В современных круглых цепных ящиках укладка цепи происходит автоматически, так как скользящая цепь при стравливании располагается актиком внутри круга с диаметром, равным примерно 30–35 калибрам цепи.

Расположение цепных ящиков в значительной степени определяет компоновку якорного устройства в целом. Движение цепи от звездочки к ящику будет достаточно надежным только в том

случае, если ось цепного якоря будет близка к вертикали, в верхней раструб цепи будет расположена в непосредственной близости от звездочки якорного механизма. Иными словами, положение цепного ящика наложит определенные ограничения на положение якорного механизма, которое в свою очередь, тесно связано с расположением якорных ящиков и размещением стопоров и других элементов якорного устройства.

На транспортных судах цепные ящики обычно располагаются в форпике — непосредственно у таранной переборки; вынесение их за таранную переборку уменьшает полезную кубатуру якорного тракта. Только на быстроходных судах с очень остройкой обводами якорной оконечности цепные ящики располагают в корту от таранной переборки, так как объем форпика оказывается недостаточным для размещения цепных ящиков нужной формы.

Так как якорная цепь имеет значительный вес цепкообразно размещать цепные ящики возможно ниже.

Для определения объема, занимаемого якорной цепью можно рекомендовать эмпирическую зависимость

$$V = 0,085d^4 \quad (127)$$

где V — объем 100 м цепи уложенной в цепной ящик м^3
 d — калибр цепи, см.

При определении кубатуры цепного ящика следует также учитывать, что его верхняя часть (высотой около 1800 мм) должна оставаться свободной: это пространство может понадобиться для распутывания якорной цепи.

Приведем несколько практические рекомендации относительно конструкции цепных ящиков.

Наиболее рациональными являются цилиндрические ящики, диаметр которых равен 35 калибрам соответствующей якорной цепи; такие ящики всегда делаются отдельно для цепи каждого борта. Желательно, чтобы цепные ящики другой формы также делались для цепей каждого борта, так как цепи при этом меньше запутываются. В крайнем случае общий цепной ящик должен иметь переборку разделяющую цепи разных бортов.

Если цепной ящик располагается в корту от таранной переборки, то он обязательно должны быть непроницаемыми. Непроницаемые конструкции предпочтительнее и при расположении цепного ящика в форпике, так как это предотвращает распространение воды и грязи, которые могут попасть вместе с якорной цепью.

Внутри цепных ящиков имеют деревянную зашивку и решетчатый деревянный настил, позволяющий изолировать цепь от скапливающейся воды и грязи. Для откачки воды обычно предусматривается ручной насос, а очистка от грязи производится периодически вручную (для чего проводится отдача всей цепи). Устройство для отдачи якорного конца якорной цепи располагается в верхней части (см. рис. 161).

Цепные якоря обеспечивают беспрепятственное движение якоря под давлением цепного механизма в цепной ящик и обратно. Цепной ящик представляет собой трубу, которая в верхней и нижней

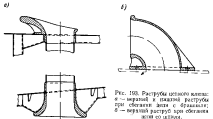


Рис. 193. Раствруб цепного якоря:
а — верхний в пакетах растворы при сбегании якоря с брампами;
б — верхний раствор при сбегании якоря со шкотов.

частях защищается растворами (рис. 193). Положение цепного якоря практически полностью определяется положением цепного механизма и якорного механизма. Некоторое смещение галубного раствора может быть вызвано из-за изменением наклона раствора якоря.

В том случае, когда якорным механизмом является брампиль, верхний раствор смещают несколько вперед по отношению к оси звездочки. Это делается для того, чтобы увеличить угол охвата звездочки, который должен быть не меньше 120° . Однако следует учитывать, что при большом смещении раствора якоря цепь может задержаться на галубе перед якорем.

Верхний раствор цепного якоря зачастую обединяют с фундаментом брампила.

При использовании шипов угол охвата звездочки цепью может достигать 180° ; цепь подходит к шкоту и оббегает с него в горизонтальном направлении. Форма верхнего раствора цепного якоря, соответствующая такому направлению движения цепи, показана на рис. 193.

Рис. 194. Хранение запасного якоря.

к шкоту и оббегает с него в горизонтальном направлении. Форма верхнего раствора цепного якоря, соответствующая такому направлению движения цепи, показана на рис. 193.

Длина трубы цепного якоря зависит от расположения шкивного ящика по высоте судна. Вынутренний диаметр трубы якоря принимают равным 7—8 калибров якорной цепи.

Хранение запасных якорей. Согласно Нормам Регистра СССР на большинстве судов должно быть три стационарных якоря, один из которых является запасным. Существуют также вспомогательные якоря, которые хранятся на палубе, неподалеку от якорного устройства. Должны быть предусмотрены также грузовые средства для перемещения якорей при их замене. На рис. 194 показан один из вариантов расположения и закрепления запасного якоря

§ 81 Якорные механизмы

В настоящем параграфе рассмотрены лишь основные свойства механизмов, обеспечивающих работу якорного устройства. Обычно проектированием этих механизмов занимаются специалисты-механики, что и определило наименование специального курса «Судовые налубные и вспомогательные механизмы».

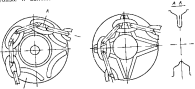


Рис. 195. Элементы якорных механизмов.

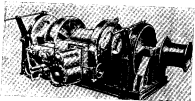
Остановимся сначала на основной детали любого якорного механизма — цепном кулачковом барабане (звездочке). В зависимости от направления оси звездочки якорные механизмы делятся на две группы.

Горизонтальное направление оси является отличительной чертой брампилей. У шкипов ось звездочки вертикальна. Главное требование, предъявляемое при проектировании звездочки, заключается в том, чтобы в любом положении для выступа звездочки находились в зацеплении с цепью (рис. 196).

Достигается это увеличением как угла охвата звездочки цепью, так и числа зубьев. У шкипов с большим углом охвата (до 180°) применяются звездочки с четырьмя зубьями; у брампилей угол охвата составляет примерно 130° и число зубьев увеличивается обычно до пяти.

Брашилки (рис. 196) предназначены для обслуживания одно временно цепей левого и правого бортов. Только в последнее время на крупнотонажных танкерах начинают находить применение раздельные полубрашилки, смещающиеся к соответствующему борту.

а)



б)

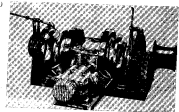


Рис. 196 Паровой (а) и электрический (б) брашилки

Брашилки не занимают внутренних помещений, так как все механизмы располагаются на палубе. Они обеспечивают раздельную работу звездочек левого и правого бортов. Использование фрикционных муфт позволяет смыгнуть ударные нагрузки и обеспечить плавное включение звездочек. Отдача якоря производится за счет его собственного веса и веса цепи. Регулирование скорости при этом осуществляется при помощи ленточного тормоза. Обычно

брашиль имеет два вспомогательных барабана турачек, предназначенные для швартовых операций.

Шпили (рис. 197) предназначены для работы только с одной цепью. Весь механизм обычно разделен на две части, из которых одна, состоящая из звездочки и швартового барабана, располагается над палубой, а вторая, включающая редуктор и двигатель — в помещении под палубой. Положение оси звездочки швартового барабана позволяет ограниченно вариировать в горизонтальной плоскости направление движения цепи и швартовых тросов; наряду с горизонтальным движением цепи и поперечительным загроможде-



Рис. 197 Шпиль крупнотонажного танкера

нием верхней палубы это является существенным преимуществом шпилей. К преимуществам следует отнести также легкое положение центра тяжести и значительно более простую конструкцию фундаментов.

На транспортных судах внутреннее помещение которых используется для перевозки грузов, стремится возможно большее число механизмов вынести на палубу, освобождая помещение бака для различных кладовых. Этим обусловлено широкое использование брашилков. Кроме того, размещение всех якорных механизмов только на палубе позволяет сократить количество обслуживающего персонала. При увеличении размеров судов радиально спроектировать якорное устройство с брашилками не удается. Однако и в этом случае также стремится расположить все якорные механизмы на палубе. На рис. 198 показана палуба бака крупнотонажного танкера, оборудованного полубрашилками.

Приводы палубных механизмов. По типу привода механизмы делятся на ручные, паровые, электрические и гидравлические. Ручной привод сохраняет самостоятельное значение только на очень ограниченном количестве судов, но как исполнительный, резервный, он все еще имеет большое значение.

Длительное время основное место на судах занимал паровой привод, обладающий рядом преимуществ:

низкой начальной стоимостью;

способностью выдерживать большие перегрузки и долго находиться под полной нагрузкой;

снижение мощности судовой электростанции;

возможностью работать во взрывопасной зоне.

Однако паровой привод имел и существенные недостатки, например:

сложность передачи пара в место потребления и большие потери в паропроводах, необходимость предварительного прогрева всей системы, что значительно задерживает пуск механизмов, особенно в холодное время; недостаточно гибкая регулировка скоростей;

необходимость предусматривать специальные котлы для привода палубных механизмов, для получения пара на судах с двигателевым внутренним горением.

Благодаря пароизобаричности паровой привод широко применяется на нефтеналивных судах. На танкерах пар используется для подогрева нефтепродуктов и для зачистки грузовых танков. Таким образом, не только

палубные механизмы являются потребителями пара.

Преимущества электрического привода сводятся в основном к следующему:

автоматический контроль за режимами работы механизмов, постоянная готовность и работа; высокий К.п.д.;

незначительные потери при передаче энергии пальубным механизмам.

Кроме того, электрический привод не требует высоких квалификаций персонала и обеспечивает лучшие условия для работы.

Если для обслуживания палубных механизмов выбран электрический привод, то следует подумать, на каком токе он будет работать — постоянном или переменном. Не останавливаясь за

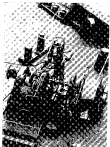


Рис. 198. Палубная машина.

этот подробно, подчеркнем, что регулировка скорости в электродвигателях постоянного тока очень проста, и они могут работать в различных режимах с большой эффективностью. Однако электродвигатели переменного тока дешевые, надежные в эксплуатации, лучше сочетаются с общесудовой системой электроснабжения.

Преимущества электродвигателей переменного тока позволяют с большой выгодой применять комбинированный электрооборудованием привод, который, обладая всеми преимуществами электродвигателей, обеспечивает отличную регулировку скорости и воспринимает значительные и длительные перегрузки.

К недостаткам этого привода нужно отнести большую стоимость и увеличение сложности, вызванное дополнительным звеном в цепи передачи энергии.

Для якорных механизмов не требуется широкого диапазона регулировки скоростей. В связи с тем, что цепь при отдаче движется под действием собственного веса, отпадает необходимость и в холостом ходе. Это позволяет отдать предпочтение электродвигателю переменного тока.

Определение мощности якорных механизмов. Процесс выбирания якоря делится на три этапа: подтягивание судна к якорю, отрывание якоря от грунта, выбирание якорной цепи и самого якоря.

При подтягивании судна к якорю усилие в якорном канате изменяется с изменением держащей силы якоря. По мере уменьшения длины якорной цепи угол ее подхода к склону порта увеличивается, и держащая сила якоря быстро уменьшается. Так, при угле 25° коэффициент держащей силы якоря Холла равен 2.

Установлено, что усилие при отрыве якоря от грунта также равно его удвоенному весу.

В общем случае усилие в якорном канате будет больше в начальной стадии подтягивания, особенно при скользкой погоде, когда судно испытывает значительное давление ветра. Однако в этом случае значительная часть действующей на судно силы гасится упором двигателей, поэтому наибольшее усилие должно быть развязано якорными механизмами при отрыве якоря от грунта. Принимая среднюю глубину стоянки равной 80 м, можно подсчитать, что все цепи составят около двух весов якоря.

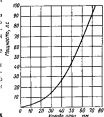


Рис. 199. Зависимость фактической массы якоря (захватов) от длины цепи.

Вредные сопротивления, возникающие при движении цепи от клюва до якорного механизма, составляют $\sim 30\%$ от усилия за тяжение цепи. В целом усилие, развиваемое запасом или брашнами лем судна при отрыве якоря, может достигать 5,5–6 весов якоря.

В современной практике скорость выбирания якорной цепи колеблется в пределах 12–20 м/мин. При отрыве якоря от грунта скорость условно считается равной половине скорости выбирания.

При подтягивании якоря к клюву скорость снижается до 3–5 м/мин.

На рис. 199 показана кривая изменения мощности якорных механизмов в зависимости от калибра якорной цепи. Эта зависимость с достаточной для практических расчетов точностью может быть выражена эмпирической формулой

$$M = 115d^2, \quad (128)$$

где M — мощность механизма, л. с.
 d — калибр цепи, см.

ГЛАВА 22

ОСОБЕННОСТИ ЯКОРНЫХ УСТРОЙСТВ РАЗЛИЧНЫХ СУДОВ И ПЛАВУЩИХ СООРУЖЕНИЙ

§ 82 Якорные устройства морских транспортных и пассажирских судов

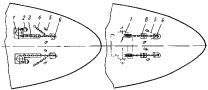
Выше мы рассмотрели назначение, принципы работы, методы расчета и конструирование элементов якорного устройства. Остаётся теперь на компоновку якорных устройств в целом, на особенности их конструктивного оформления в зависимости от типа, размеров и назначения судна или плавучего сооружения.

Группа морских транспортных и пассажирских судов по составу самая многочисленная. В неё входят сухогрузные суда, танкеры, лесовозы и суда других типов, главным назначением которых является транспортировка различных грузов.

Вес и количество якорей на каждом судне определено Привилегиями Регистра СССР. Минимальное количество стаковых якорей — два. На судах длиной 50 м и больше должно быть три стаковых якоря, из которых один — запасной.

Якорные канаты всегда цепные; их размеры также регламентируются Регистром СССР. На рис. 200 показаны варианты компоновки при использовании различных якорных механизмов. Для грузовых судов применяются, как правило, нормальные якори и только в некоторых случаях для пассажирских судов предусматриваются якори с нишней.

Морские транспортные и пассажирские суда в большинстве случаев имеют стоп-анкер с соответствующим якорным канатом и механизмом, которые образуют коромое якорное устройство. Стоп-анкер используется при стоянке судна лагом к ветру за носовым и кормовым якорями; при необходимости торможения



от устройства морских транспортных судов. Однако для каждого из названных типов судов эти устройства имеют характерные особенности.

Ледоколы и суда ледового плавания снабжаются якорями якорями (от двух до четырех) и стальными тросами длиной до 150 м. Обслуживание ледовых якорей не требует дополнительных устройств, так как все их специально привинчиваются к таким расчетом, чтобы якорь можно было перенести или отвести от судна на санках. Не предусматриваются и специальные механизмы, так как в случае необходимости могут быть использованы палубные механизмы других устройств — грузовые лебедки, автогидравлические шпили, цепи и брашины основного якорного устройства и т. д.

Стальные якоря ледоколов и судов ледового плавания всегда размещаются в клюзах с цепями.

На буксирах и промысловых судах, особенно, на малых судах этих типов, плацдарм, предназначенный для размещения якорного устройства, сравнительно невелик. Поэтому приходится использовать цепи, обслуживающие два якорных каната, или якорные механизмы с ручным приводом.

Так как при уменьшении размеров судов соответственно уменьшаются и размеры якорей, то зачехленный эффект может быть достигнут за счет применения якорей повышенной держащей силы. Трудности, связанные с размещением на малых судах якорных цепей, заставляют использовать якорные канаты стальных и органические тросы.

Якоря повышенной держащей силы и тросовые якорные канаты, обслуживающие легкими лебедками, характерны также для якорных устройств судов на подводных крыльях, пассажирских теплоходах прибрежного плавания и различных катеров.

§ 83 Глубоководные якорные устройства

В зависимости от глубины предполагаемой якорной стоянки существуют два качественно различных типа глубоководных якорных устройств:

с цепями;

со стальными или синтетическими тросами.

В первом случае глубина, на которую опускается якорь, ограничена возможностью использования якорных цепей.

Длина свободно спущенной цепи, в которой максимальное усилие равно пробному напряжению, ~1200 м. При нормальной глубине (80 м) и держащей силе якоря, равной четырем его весам, максимальное усилие соответствует весу 240 ж спущенной цепи (обычно вес якоря близок к весу 40 ж цепи). Таким образом, максимальное напряжение якорной цепи соответствует 5-кратному запасу прочности. Если увеличить глубину якорной стоянки

сократя 5-кратный запас прочности, то придется ограничить внешнюю силу, действующую на судно.

Так, при увеличении глубины до 200 м, передаваемое на якорь усилие не должно превышать веса 40 ж якорной цепи, или веса якоря, т. е. стоянка на этой глубине возможна только при строгом ограничении погодных условий. С дальнейшим увеличением глубины необходимо заменять якорные цепи различными тросами.

Итак, якорное устройство, предназначенное для глубин до 200 м, ничем не отличается от обычного, если не считать увеличения длины цепи и размеров цепных ящиков.

Замена цепей стальными и синтетическими тросами полностью изменяет якорное устройство. Для повышения надежности очень часто используют адмиралтейские якоря, а вместо цепей и брашилей — специальные лебедки. Изменяется конструкция стопора, якоря и всех других элементов якорного устройства. Большую сложность представляет создание надежного тросового стопора. В существующих конструкциях из-за скольжения смытия нарушается прочность тросов.

Глубоководные якорные устройства широкого применения на гидрографических, промысловых судах, судах-спасателях и т. д. Например, отечественное гидрографическое судно «Витязь» осуществляло постановку на якорь на глубине около 11 000 м.

§ 84 Якорная стоянка плавучих доков

К якорному устройству плавучих доков предъявляются очень высокие требования по ограничению перемещений дока в точному сохранению места стоянки. Особенно это относится к крупным докам, для погружения которых приходится рыть специальные



Рис. 202. Положение якорных цепей дока: а — обычное; б — перекрестное

котлованы. Характерно симметричное расположение якорей относительно продольной и поперечной плоскостей симметрии дока; это необходимо для исключения боковых в продольных горизонтальных сила при взлетании и погружении дока.

Существуют два способа постановки плавучего дока на якорь с прямым расположением якорных канатов (рис. 202, а)

с перекрещивающимися якорными канатами», которые ведут под доком к сторону противоположного борта (рис. 202, б).

Первый способ является более простым, но он требует большей по размерам акватории и затрудняет подход судов и плавучих кранов к доку.

Второй способ сложнее и требует установки направляющих блоков на углах между бортами и днищем в месте прохода якорного каната. Существуют также другие способы фиксирования дока — при помощи свай, за счет шарнирных распорок между доком и набережной и т. д.

При определении веса якорей, применяемых для закрепления доков, пользуются формулой, которая определяет усилие на каждый якорь в зависимости от общего усилия, действующего на док, и числа якорей

$$P_a = \frac{pS_1 + kS_1 v^2}{4} \quad (129)$$

где S_1 — площадь парусности вместе со стоящим в доке судном м^2 ;

p — давление ветра на 1 м^2 поверхности дока ($\sim 120 \text{ кН}/\text{м}^2$)

S_1 — площадь погруженной поверхности дока

v — скорость течения;

k — коэффициент, колеблющийся в пределах 45—70 в зависимости от конструкции дока;

n — число якорей участвующих в восприятии внешних сил.

Для доков применяются следующие типы якорей: доковые, «мертвые» железобетонные и реже анкерные и сегментные. Проверка прочности якорной цепи, подобранный в соответствии с якорем, осуществляется определением расчетного натяжения при ураганном ветре. Величина натяжения не должна превышать половины пробной нагрузки. Длина цепей принимается равной 4—5 глубинам дна котлована.

Плавучие доки не имеют ни специальных якорных механизмов ни других элементов обычных якорных устройств, поэтому для крепления цепей используются рамы, укрепленные по бортам судна в нижней части.

Якорное устройство транспортных доков практически не отличается от якорного устройства обычного транспортного судна. Разница лишь в том, что они имеют два стоп-якоря с соответствующими механизмами. Раскрепляясь четырьмя якорями, транспортный док собственными средствами обеспечивает неподвижную стоянку в период доковых операций.

Вес стоп-якоря определяется по обычной норме: треть веса стакового якоря.

РАЗДЕЛ ПЯТЫЙ

Швартовные и буксирные устройства

ГЛАВА 23

ШВАРТОВНОЕ УСТРОЙСТВО

§ 66 Общие положения

Все операции по закреплению судна у причала, у борта другого судна или плавучего сооружения в морской практике принято называть швартовкой. Совокупность средств для выполнения этих операций называется швартовным агрегатом.

Основные элементы швартовного устройства — швартовы, кисти, киповые планки, клюзы, краны, якори, механизмы — остаются практически неизменными независимо от типа, назначения и размеров судна.

Со временем появление первых средств для закрепления судов элементы швартовного устройства значительно усовершенствовались, но сама операция швартовки в техническом отношении осталась на старом уровне. В этом можно убедиться, наблюдая швартовку достаточно крупного судна, выполняемую без помощи буксиров при отдельном ветре и течении. Нередко эта операция длится более часа.

Наиболее существенным изменениям подверглись швартовные механизмы, которые стали необходимы для выбирания швартовых троек в связи с ростом размеров судов.

Первые ручные швартовные шкивы появились примерно в XI—XII вв. В 1830 г. был построен первый паровой брандспиль со специальными барабанами для обслуживания швартовых операций. Увеличение размеров судов и повышение требований к надежности их закрепления заставляют в настоящее время использовать на судах некоторых типов автоматические швартовные лебедки.

Нужно отметить, что авария швартовного устройства чрезвычайно опасна для жизни людей. При разрыве туто натянутый швартовный трос с огромной скоростью и силой стремится сорваться в спираль, разрушая все на своем пути.

Рассмотрим подробнее перечисленные элементы швартовного устройства.

§ 88. Швартовы

Швартовами называются стальные, растительные или синтетические тросы, обеспечивающие связь судна с причалом или килем-либо плавучим сооружением.

Из большего числа требований, которым должны удовлетворять канаты, используемые в качестве швартовов, следует выделить два основных — достаточную прочность и упругость. Швартовы, линия которых сравнительно мала, должны оказывать противодействие двум системам сил — статическим, в котором можно отнести давление ветра и реакцию течения, и динамическим — усилиям волновой природы и усилиям, связанным с изменением положения судна при погрузочно-разгрузочных операциях и при изменениях уровня воды. В последнем случае придется задавать соответствующие перемещения судна, а погружения в швартовах определять исходя из заданного значания абсолютной деформации.

В связи с малой длиной связки эти деформации всегда приводят к разрыву швартовов, имеющих большую жесткость. Например, относительное удлинение, соответствующее разрыву стального троса, равно 0,02, следовательно, при длине швартовов 20 м предельное перемещение судна составит только 0,4 м. Таким образом, упругая связка будет обеспечивать более надежное крепление судна, чем жесткие швартовы даже больших размеров.

В этом отношении большие перспективы имеют синтетические тросы, у которых высокая прочность сочетается со значительной упругостью. Для более полной характеристики тросов, используемых в качестве швартовых канатов, целесообразно иметь энергетический признак. В табл. 24 приведены значения работы, необходимой для разрыва различных типов гибких связей. Примущества синтетических тросов совершенно очевидны.

Таблица 24

Динамическая прочность различных тросов

Тип троса	Работа на разрыв в кг при нормальном	Относительная работа при разрыве троса	
		при разных диаметрах	при разных прочности
Линия сухая	550	1,0	1,0
— мокрая	340	0,6	0,6
Нейлон сухой	4750	8,0	2,8
— мокрый	4220	5	2,5
Декор	2220	4,5	2,0

Растительные тросы сохраняют свое значение благодаря их упругости, но они сильно подвержены гниению и из-за больших размеров очень неудобны в эксплуатации. Однако растительные тросы совершенно взрывобезопасны, поэтому до недавнего времени они были единственными тросами, с которыми можно было выполнять швартовые операции в средней части нефтеналивных судов.

Остакованные на факторах, определяющих усталость в имитированных якорях. В этом отношении существует аналогия между якорным и швартовным устройствами. Так же, как и в якорном устройстве, напряжение троса при швартовке определяется воздействием ветра, течения и волнения. Но кроме этого при швартовке следует учитывать еще два фактора:

изменение осадки при посажке и разгрузке;

изменение уровня воды при приливах и отливах.

Что касается ветрового сна, то для их определения могут быть полностью использованы данные параграфа 76 с учетом, что ветер может быть направлен произвольно. Это должно найти отражение в выборе площади парусности.

Существенные поправки необходимо сделать на усадку в швартовном канате за счет волнения. Однако этот вопрос пока еще совершенно не исследован. Практика показывает, что в некоторых случаях действительные усилия значительно превышают ожидаемые. Так, в годы второй мировой войны при высадке союзных англо-американских войск в Нормандии были установлены величины для образования искусственной гавани. Но во время вторжения несколько судов было выброшено на берег так как из-за волнения все швартовы порвались.

Попытки произвести количественный учет волнения также окончились безуспешными. Однако с достаточной степенью уверенности можно констатировать следующие положения:

1. Если период волн равен периоду продольных колебаний судна, то возникающий резонанс приводит к разному возрастанию усилий в швартовах. В этих условиях начальная слабина приводит к значительному накоплению кинетической энергии и срыву судна.

2. Установлено, что тугие швартовы значительно уменьшают воздействия волн на судно. Для судов водоизмещением 5 000—30 000 т, зашвартованных обычным способом, ослабления периодичности волн находятся в районе 1,5 мин., что встречается достаточно часто. Если велик уменьшить эффект резонанса за счет изменения конструкции закрепления, то необходима более туяя швартовка и дополнительные устройства для поглощения энергии волн.

3. Усилия, возникающие в швартовах при изменениях уровня воды, связанных с приливами и отливами, чрезвычайно велики. В этом случае возникает необходимость справляться или выбирать канаты (тросы) — обычно вручную или при помощи автоматических лебедок. Аналогичное влияние оказывает изменение осадки

при погрузочно-разгрузочных операциях. Особенное значение это имеет для танкеров и судов для перевозки опасного или навалочного грузов, так как они имеют эффективные грузовые средства.

Следует остановиться на некоторых случаях выходящих за рамки обычных эксплуатационных условий.

Часто в закрытых акваториях возникают одиночные волны приводящие к значительному изменению уровня воды. В узких каналах из-за листяжек швартов, забранных изнутри, могут появляться прорывы судна. Например, в одном из портов был случай, когда все швартовы судна оказались порваными после того, как по каналу прошел большой ледокол. Иногда большие усилия в швартовах возникают из-за давления льда.

Все эти случаи не являются расчетными. Швартовы должны воспринять возрастающие усилия за счет существующего запаса прочности; если это невозможно, необходимо изменить их длину под нагрузку и реакцию течения. Это подтверждается тем, что диаметр и длина швартов установлена в зависимости от якорной характеристики, физическая сущность которой была обсуждена выше. Для расчета может быть использован случай симметричного приложения гибкой нити в воздухе.

В заключение отметим, что необходимая эластичность швартов, как правило, зависит от упругости материала.

§ 87. Кнехты

Кнехты — это трубы различной конструкции, предназначенные для закрепления швартовов. За конструктивном отношении различают одиночные и парные кнехты. По способу изготовления кнехты могут быть разделены на сварные и литые. Наиболее удобны для закрепления швартов парные кнехты, позволяющие общести трос посыпьмикам.

Прямые либо парные кнехты (рис. 203) используются для швартовых канатов средних и больших размеров. На литой фланцевой панели, имеющей отверстия для закрепления на палубе, расположены две трубы. Выступ на основании, соединяющий две трубы, служит для увеличения их изгибной жесткости. Труба заканчивается закругленным буртиком, который предотвращает скольжение каната. С внешней стороны на трубах имеются выступы, препятствующие сползанию троса. Для швартовов малых диаметров (до 20 мм) используются парные сварные кнехты; в отличие от литых они имеют только ограничивающий буртик (рис. 203, а).

В последние годы для средних и больших швартовов все более широкое распространение получают прямые кнехты, забранные в палубу (рис. 203, б). Палуба в районе их размещения утолщается. В этом месте должна быть расположена какая-нибудь противная

связь (палубного набора). Разновидностью этого типа являются кнехты с наклоном тумб во внешнюю сторону. В этом случае трос стремится смыкаться книзу, уменьшая изгиб тумбы. Однако вряд ли это обжалование при этом технологическое усложнение может быть оправдано описанным преимуществом, тем более, что исполь-



Рис. 203. Прямые парные кнехты.
а — литой; б — сварной

зование крестовых кнехтов (рис. 204) могут быть литыми или сварными и используются для швартовов небольших диаметров. В технологическом отношении крестовые кнехты отличаются большой сложностью, однако преимуществом их является разнообразие в закреплении тросов, вплоть до возможности одновременного крепления нескольких швартов.

Крестовые одиночные литые и сварные кнехты сохранились только на малых судах или как средство закрепления ненагруженных спицей.

Швартов, обгибающий тумбу кнехта, теряет некоторую часть своего натяжения за счет изгиба и трения о поверхность трубы. Натяжение в ветви швартова за тумбой согласно зависимости Эйлера будет

$$T_1 = T_0 e^{-\lambda \theta}, \quad (129)$$

где T_1 — натяжение в ветви швартова до кнехта;

λ — коэффициент трения. Для пенькового каната $\lambda = 0,30-0,35$; для стального $\lambda = 0,10-0,15$

n — число восьмерок;

α — угол охвата трубы кнехта раз-

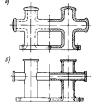


Рис. 204. Парные крестовые кнехты: а — литой; б — сварной

При обнаже швартова на парном кнехте восьмерками $\alpha = 4$. Число восьмерок редко бывает больше пяти, но уже и в этом случае напряжение в последней ветви стального швартова примерно в 400 раз меньше, чем усилие в основной ветви. Суммируя все усилия, действующие из тумбы парного кнехта, можно определить равнодействующую вызывающую изгиб тумбы. Например, для пяти восьмерок

$$R = 2.5T_1$$

где T_1 — напряжение в основной ветви швартова.

Площадь приложения суммарного усилия R равно половине высоты тумбы от ее основания.

Кнехты, используемые в современной практике, стандартизованы, поэтому нет надобности выполнять даже проверочные расчеты их прочности. Однако для нестандартного оборудования такая необходимость может возникнуть; в этом случае могут оказаться полезными следующие рекомендации. Если усилие в основной ветви швартова равно его разрывной нагрузке, то допускаемые напряжения для стальных кнехтов принимаются равными 0,96 предела текучести материала ($\sigma_t = 0,95\sigma_u$). Для чугуна ($\sigma_t = 0,35\sigma_u$, где σ_u — временное сопротивление).

Выше отмечалось, что размеры швартовых тросяв определяются по Правилам постройки Регистра СССР в зависимости от морской характеристики. Диаметр кнехтов также регламентируется Правилами постройки, но в зависимости от размера швартов (табл. 25).

Размеры швартовых кнехтов

Табл. № 25

Номинальный диаметр швартов, мм	80	100	120	140	170	200	250	300	350	400	450	500
Диаметр стальной гонки, мм	5	10,8	15,9	21,5	19,5	22,3	26,3	30,0	33,5	37,0	40,5	45,5
Передача зондажного троса, мм	5	80	125	95	130	200	225	280	250	300	325	350

§ 68 Кнопевые планки и клюзы

Кнопевые планки и клюзы необходимы для того, чтобы исключить повреждения швартовых тросяв при проходе их через ограждение палубы.

В зависимости от типа ограждения палубы используются два вида устройств для проводки швартовых тросяв. При листом или открытом ограждении используются кнопевые планки. Если же швартовы должны проходить через фальшборд то применяются клюзы.

Однако в последние годы в результате быстрого совершенствования швартового оборудования это условие часто нарушается, и при всех типах ограждения борта применяются универсальные или специальные клюзы.

Конструкция кнопевых планок и клюзов должна способствовать уменьшению трения при движении швартовов.

Кнопевые планки подразделяются на открытые и закрытые. Простейшая форма открытых кноповых планок показана на рис. 205. Такие планки допускаются для растягиваемых тросяв окружностью до 65 мм, так как из-за сравнительно малого радиуса закругления рабочей поверхности кноповой планки швартовы быстро изнашиваются.

Срок эксплуатации трося можно значительно продлить, если применить открытые кноповые планки с рулетками, число которых варьируется от одного до трех (рис. 206, а). Конструкция бокового и среднего рулетов показана на рис. 207.

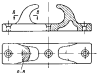


Рис. 205. Прямая кноповая планка

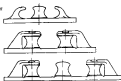


Рис. 206. Кноповые планки с рулетками: а — открытые; б — с прямой оправкой роликами

На современных судах начинают находить широкое применение упрощенные кноповые планки, состоящие из нескольких отдельно стоящих рулеток. Они устанавливаются у фальшбордов с большими вырезами или просто на палубе у ширстрика на фундаментах сарайной конструкции (рис. 206, б).

Чтобы исключить возможность залипания трося, следует обращать особое внимание на величину зазора между рулетками и фундаментом.

Открытые кноповые планки позволяют применять швартовы только снизу или в горизонтальном направлении. В этом отноше-

меньше удобнее закрытые клюевые планки, у которых наметка или откидной рулевы закрывают проем в верхней части и позволяют параллельно направление швартовов в более широких пределах.

При открытых планках швартовы могут под тем или иным углом подниматься вверх при движении судна по каналу со склонами, имеющими значительный перепад высот, при швартовке к судну с более высоким надводным бортом и во многих других случаях, когда открытые клюевые планки не могут выполнять своих функций.

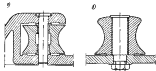


Рис. 208. Базовая (а) и средняя (б) рулевые

Известно, что после ряда аварий при проводке судов в Панамском канале в Правилах постройки классификационных обществ различных стран стали специально оговариваться требования компаний об установке определенного числа закрытых клюевых планок или клюзов в зависимости от размеров судна и необходимого количества лонгоматов, осуществляющих проводку судов.

На рис. 208 показаны два типа закрытых клюевых планок. В первой верхний проем закрывается рулевым, во второй — на меткой.

Клюевые планки стандартной конструкции подбираются по диаметру швартовов.

Швартовные клюзы. Простейшим в конструктивном отношении является листовой бортовой клюз, показанный на рис. 210. Обычно такие клюзы имеют круглую или овальную форму и соединяются с фальшбортом болтами или заклепками. Прослойка по форме стальная или чугунная отлива клюза имеет плавное скругление рабочей поверхности, что исключает реактивный взнос при швартовке.

На рис. 210 показаны памакомы клюза. Конструкция чугунного клюза (рис. 210, а) не позволяет лобиться радиусом скрутки достаточных для больших швартовных троек. Значительно лучше в этом отношении литой стальной клюз (рис. 210, б), который просто привинчивается к палубе.

Обшим недостатком приведенных конструкций является большой износ тросов, вызываемый трением при движении швартовов

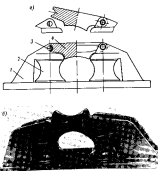


Рис. 216. Клюевые планки: а — с наметкой; б — с откидными рулевыми.

Чертежи: 1 — рулевые, 2 — навесные, 3 — поддержка, 4 — наметка

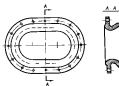


Рис. 210. Швартовные клюзы

в клюве. Поэтому в последние годы появлялись новые конструкции в которых этот недостаток почти полностью устранен.

Самым простым из них является клюв, показанный на рис. 211. Он прочен, прост и позволяет в широких пределах корректировать направление шартсова. Чтобы облегчить проводку огола (петли

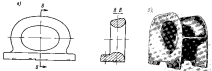


Рис. 210. Узловые клювы: а - линейный чугунный; б - линейный стальной.

в конце троса), вертикальные ролики расставлены широко образуя плавкий зазор. Учитывая, что при проходе винтовых на-луба судна чаще всего находятся ниже уровня берега, констру-

торы сместили горизонтальные ролики вниз; это позволяет шартсому иметь больший зазор вперед. Однако и в этой кон-струкции невозможно избежать зали-вание троса между горизон-тальными и вертикальными ро-ликаами.

На рис. 212 показаны два ю-ниверситетских клюва более сложной конструкции. В первом слу-чае (рис. 212, а) проводящаяся на шариковых подшипниках обойма несет два шкива, пред-назначенных для проводки шарт-сов. Корпус клюва болтами закрепляется на фальцборте, имеющем соответствующий вы-рез. Под действием натяжения шартсова обойма занимает такое

положение, когда трос перпендикулярен к оси шкива.

Все же при больших отклонениях от плоскости шахты шартсов может проходить вне их; в конструкции, имеющей три линии (рис. 212, б), трос всегда попадает на шкивы. К внутренней стороне корпуса винта болтами крепится прочная рамка с роликом.

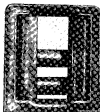


Рис. 211. Университетский клюв.

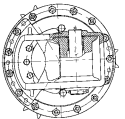


Рис. 212, а. Автоматический клюв.

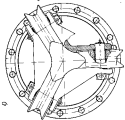


Рис. 212, б. Автоматический клюв.



Рис. 212, в. Автоматический клюв.

За счет изменения положения рамки ось ролика ориентируется в соответствии с предполагаемым направлением движения швартова. Вращающаяся обойма закрепляется в корпусе, который, в свою очередь, приваривается или прикрепляется болтами к фальшборту или отдельному фундаменту на дне.

Следует отметить большую конструктивную сложность автоматических кранцов и необходимость тщательного ухода за ними.

§ 88. Кранцы и привальные брусы

Кранцы в швартовном устройстве играют роль буферов. Они смягчают удары и предотвращают повреждение борта, способствуя распределению нагрузки на большие участки его поверхности.

Постоянные кранцы закрепляются в наиболее вероятных для соприкосновения местах корпуса: временные — заводятся только в период швартовых операций или при маневрировании в узких местах.

Обычно постоянные кранцы находят применение на судах с небольшим наводным бортом. За счет некоторого раз渲ла борта такие суда касаются причала или борта другого судна наиболее широкими местами, совпадающими с линией пересечения борта и палубы. Целесообразно в этом районе расположить постоянный кранец, размер которого может быть определен в зависимости от назначения судна.

Конструкция и материал кранцев должны способствовать максимальному поглощению энергии, т. е. они должны обладать большой способностью деформироваться при достаточно высоком со противлении изменению формы. Кроме того кранцы должны быть стойкими к гниению и трению.

Существенным является также внешний вид судна. Например, вид буксира, обвесанный автобуксировщиками покрышками, которые выполняют роль кранцев, плохо ужимается с современными представлениями о технической эстетике.

Следует отметить что большинство применяемых в настоящее время постоянных кранцев не всегда соответствует предъявляемым к ним требованиям.

На рис. 213 показаны три типа привальных брусьев. Деревянный и металлический брусы крепежными юстировочными болтами удачнее сплошные или полые резиновые привальные брусы в кранцах, при креплении которых остаются специальные зазоры допускающие большое изменение формы.

Резиновые кранцы не впитывают влагу, не гниют и лучше работают при трении. Их большая начальная стесненность быстро оккупается за счет снижения эксплуатационных расходов. Рекомендуется при конструировании рассматривать кранец совместно с фундаментом, который должен способствовать лучшей передаче усилий на прочные связи корпуса судна.

На рис. 227 показан носовой резиновый кранец буксира. Цель, крепящая кранец, имеет талреп и соединяется со специальными обухами. Вертикальный трубчатый резиновый кранец может быть использован для буксиров и других вспомогательных судов

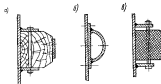


Рис. 213. Привальные брусы: а — деревянный; б — стальной; в — резиновый.

К дополнительным преимуществам резиновых кранцев следует отнести возможность придания им любой формы и хороший внешний вид.

Основные типы морских судов не имеют постоянных кранцев, так как перекрыть бинт берега в работе контакта с другим судном или привальной стенкой желаю. Чаще всего для предохранения корпуса судна от повреждений используют временные кранцы, которые заводят при швартовке или в других случаях, когда существует реальная опасность столкновения. Кранцы опускают с борта на тросах и поддергивают на нужной высоте.

На рис. 214 показан мягкий временный кранец — оплетенный пеньковыми предами парусиновый мячик, заполненный крошеной пробкой. Тросовая оплетка в верхней части образует петлю с коушем для закрепления троса. Эти кранцы пишутся под воду поэтому их следует тщательно просушивать. При швартовке судов на волнении, в особенности в открытом море, мягкие кранцы себя не оправдывают. Размеры кранца (большой — высотой 700 мм, средний — 500 мм и малый — 300 мм) в этих случаях приходится значительно увеличивать или использовать кранцы из других материалов.

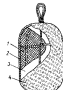


Рис. 214. Мягкий временный кранец.

1 — пеньковая оплетка;
2 — пробка; 3 — трос;
4 — петля.

На рис. 215 показана конструкция более совершенного якоря матового кранца. Однако и это не обеспечивает полного предохранения корпуса судна. Например, у плавучих промысловых баз после нескольких рейсов в районы льда остаточные деформации

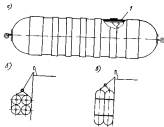


Рис. 215. Плавучий кранец: а — конструкция; б — захватка кранца в горизонтальном положении; в — в вертикальном положении.

различный фланец 2 — якорь

общинки борта настолько велики, что приходится выводить суда из эксплуатации и ставить их на ремонт. Таким образом, проблема швартовки судов в открытом море даже при ограниченном потенции еще ждет своего решения.

§ 80 Выноски

Для хранения швартовых тросов применяются выноски — специальные укрепленные за флангаменте барабаны с якорями бортников. Выноски делаются либо бесприводными, либо с ручным приводом.

Размеру барабана выноски соответствует определенный диаметр тросов. Избыточные напряжения в тросе определяются отношением диаметра барабана к диаметру троса. Минимальное допустимое значение этого отношения — 11—12. На рис. 216 показаны бесприводные выноски с ленточным тормозом и выноски с ручным приводом. У бесприводных выносок ось обычно защищается

квадратным хвостовиком, позволяющим подсоединить механизм привода. Фундамент защищается из труб

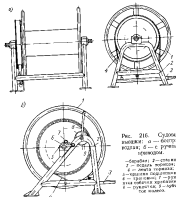


Рис. 216. Судовые выноски: а — с ручным приводом;

б — бесприводные:
1 — стакан;
2 — ось для тросов;
3 — лента тормозная;
4 — барабан подъемника;
5 — тросовая; 6 — привод механизма кранца;
7 — рукоятка; 8 — опорное колесо.

§ 81 Механизмы швартового устройства

Вопрос о качестве и типе швартовых механизмов решается в зависимости от оснащенности судна палубными механизмами и экономической эффективности самих швартовых механизмов. Решениями поискователей являются:

частота швартовых операций;
возможность использования механизмов других устройств;
необходимость контроля длины или затяжения швартовых.

Следует учитывать, что практически на морских судах всех размеров операцию выбирания швартовых механизмов осуществлять вручную. Нежелательно иметь слишком длинные трассы швартовых канатов к лебедкам других устройств, так как они загромождают палубу и увеличивают опасность для находящихся на ней людей.

С точки зрения оснащения механизмами швартовное устройство может быть разбито на три района — московой, кормовой и средней. Для носовой группы швартовок вопрос решается совмещением швартовых и якорных механизмов. Вращатели и шпили обязательно должны иметь вспомогательные барабаны, предназначенные для обслуживания швартовых операций в этом районе. По сравнению с механизмами, имеющими горизонтальную ось барабанов, вертикальная ось вращения барабана шпилей является существенным преимуществом, так как она позволяет принять швартов с любого направления. На лебедку с горизонтальной осью вращения барабана трос должен быть подан в строго определенном направлении, что ограничивает использование этих лебедок при различных направлениях швартовов. Отмеченное преимущество шпилей почти полностью определяет выбор якорного механизма для корового района.

Таким образом, при наличии корового якорного устройства шпиль выполняет две функции.

Вопрос об обслуживании швартовок в средней части судна решается в зависимости от его размеров и наличия палубных мачт. Все транспортные суда, имеющие грузовое устройство с большим количеством грузовых лебедок, как правило, не требуют специальных швартовых механизмов в средней части. Скорость изменения осадки у этих судов при грузовых операциях неизменительна и позволяет обходиться без автоматического контроля за натяжением швартов.

Большая эффективность средств погрузки и соответственно большая скорость изменения осадки паруса с отсутствием мачт и мачт других устройств делают рациональной установку на пекоторых судах автоматических швартовых лебедок. К таким судам можно отнести танкеры суда для массового и мешалочного грузов и т. д.

Автоматические швартовые лебедки по типу привода делятся на паровые, электрические и электрогидравлические. Наибольшее удельное значение имеет паровой привод, особенно для нефтеналивных судов.

Рассмотрим паровую автоматическую швартовную лебедку, механизм контроля которой схематически показан на рис. 217. После достижения швартовом определенного натяжения оператор переводит лебедку на автоматический контроль. При постоянном усилии в швартове лебедка не будет изменять длину троса, так как натяжение в швартове уравновешивается давлением пара в пневмодрах. Если равновесие нарушится и натяжение в тросе, например, увеличится, то под его действием барабан начинает спиралевидно вращаться.

При вращении барабана вал начинает вращаться и приводит в действие автомат с двумя предельными контактами, который контролирует клапан паропровода. После некоторого вращения

валом один из контактов срабатывает, и автомат открывает доступ пару, который извращает всю систему в исходное равновесное состояние.

Большое распространение получила планетарный механизм (рис. 218). Натяжение швартова изменяется при вращении бараба-

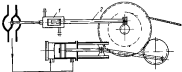


Рис. 217. Схема паровой автоматической швартовной лебедки:
— азимут-руль трубы; — азимут оправы

бала, который приводится в движение через центральную шестерню планетарного механизма. Возникающее при этом перемещение зубчатой рейки контролируется специальной пружиной. В момент, когда натяжение пружины достигнет заданной величины,

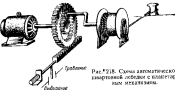


Рис. 218. Схема автоматической швартовной лебедки с планетарным механизмом.

двигатель отключается. При этом зубчатый обод планетарного механизма испытывающий действие натяжения швартова и пружины, находится в равновесии.

Если натяжение в швартове увеличится, зубчатая рейка начнет перемещаться и включит мотор для срывывания определенного количества троса. Как только рост усилия в швартове прекратится, пружина вернет всю систему в состояние исходного равновесия.

Оценки различных систем швартовных устройств показывают, что в настоящее время системы со стальными или синтетическими тросами и автоматическими лебедками по эксплуатационным показателям превосходят все остальные. Она лучше воспринимает динамические усилия, обеспечивает належный контроль натяжения швартовов, безопасна в эксплуатации. Кроме того, у нее исключена стоимость обслуживания.

Применение этой системы сокращает время стоянки и объем ручного труда, затрачиваемого при швартовых операциях, а также уменьшает число несчастных случаев из-за обрывов канатов или их соскальзывания с турбин лебедок.

Экономический анализ показал, что затраты на установку автоматических швартовных лебедок на танкеры или рудовозы окупается менее чем за три года.

На нефтеналивных судах Правила постройки допускают использование стальных швартовных канатов только в носовой и кормовой частях судна.

Для выбора мощности швартовных механизмов можно использовать следующие рекомендации: рабочая скорость 10—20 м/мин, холостая скорость превышает рабочую в 2—2,5 раза. Тяговое усилие может быть рассчитано в соответствии с рекомендациями, приведенными в других разделах, причем сила ветра, если таковая не отоваривается специально, приводится максимально возможной. Для приближенной оценки можно использовать зависимость, согласно которой тяговое усилие швартового барабана судов длиной до 130 м равно удвоенной якорной характеристике. Для более длинных судов

$$T = (14 - 15)N^2$$

где N — якорная характеристика;

T — усилие на швартовом барабане, кг

Одно из требований Правил постройки заключается в том, что приход должен развивать двойную номинальную тягу за 15 секунд.

§ 92 Типы швартовых операций

Можно назвать следующие основные разновидности швартовных операций:

- 1 Швартовка к причалу или к судну бортом поперечную
- 2 Швартовка бортом с зазором.
- 3 Швартовка кормой.
- 4 Постановка на бочку.

Первый случай является самым распространенным. Он обеспечивает наиболее удобную связь с берегом и максимальный фронт погрузочно-разгрузочных работ. При постановке судна параллельно причальной стенке удается закрепить его наиболее наилучшим способом.

Недостаток швартовки бортом заключается в том, что для судна требуется большая длина причальной стеки; кроме того затрудняется отход и подход судна к причалу.

Швартовка поперечную возможна при оборудованной причале к при достаточной глубине акватории. Если хотя бы один из этих факторов отсутствует, судно должно находиться от берега на некотором расстоянии. При таком способе швартовки обязательно должно быть ограничено перемещение судна в сторону берега. Это достигается использованием якорного устройства (рис. 219, а), закрепленном за бечку, поставившейся между берегом и судном промежуток барж или каких-либо других мелкошельдящих судов (рис. 219, б).

Схема завода швартовов

для двух первых способов

швартовки показана на рис.

220. В зависимости от условий стоянки и размеров судна из общего числа швартовов может быть привлечена только часть

При швартовке кормой судно занимает очень мало места у причальной стеки

и его отход не связан с какими-либо трудностями. Однако в других отстояниях этот способ связан с большими недостатками. Не имея возможности закрепить судно достаточно жестко и ограничить его вращение относительно кормы только швартовами, приходится дополнителью использовать якорь или бочку. При слишком бортовом вете эти якоря могут оказаться недостаточными, а судно придется либо перевешиваться, либо отвести его от причала. Если учсть, что при швартовке кормой получается очень небольшой фронт работ, то станет понятно, почему для транспортных и пассажирских судов этот способ используется крайне редко.

Распространенной швартовкой операцией является мачтовая

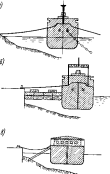


Рис. 219. Схемы швартовки: а — с использованием якоря и креплением за бочку; б — с застопоркой мелкошельдящих барж; в — с упором

судно по бокам. Обычно бочки имеют массивную якорную цепь — бридель, который соединяет ее с мертвым якорем. Рым на верхней части бочки предназначен для закрепления швартова.

Часть от массивной якорной цепи, полностью расположенной на грунте, идет вверх легкой тросовой бриделя, поддерживаемый поплавком. С судна выбирают поплавок и бридель, поднимают якорную цепь и соединяют ее с цепью судна.

Количество бочек, за которое закрепляется судно, зависит от ограничений, накладываемых на перемещения судна. Не следует забывать, что стоящее за одной бочкой (якоре) судно при изменении направления ветра может занять любое место в районе

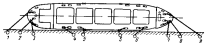


Рис. 220. Швартовка бортом

1 — швартовка продольной якорной цепью; 2 — продольный якорной цепью; 3 — якорь продольной якорной цепью; 4 — якорь продольной якорной цепью; 5 — якорь продольной якорной цепью; 6 — якорь продольной якорной цепью; 7 — якорь продольной якорной цепью; 8 — продольный якорной цепью; 9 — продольной якорной цепью.

ограниченном окружностью, радиус которой определяется суммой длины судна, швартова и бриделя. Так как в небольшой или занятой судами акватории такие перемещения недопустимы, радиус возможного дрейфа ограничивает постакционной судна сразу на несколько бочек.

Различные описываемые средства для закрепления судна являются швартовными системами, используемые для разгрузки крупнотоннажных танкеров. Многие порты не в состоянии принимать суда, имеющие большую осадку и вынужденные разгружать их на внешнем рейде.

Чтобы исключить обрывы шлангов, соединяющих судно с берегом, в первых якорно-швартовых системах ограничивали перенос судна танкера. Однако операции закрепления судна были очень сложными и занимали много времени. Новое, более совершенное направление заключается в ограничении перемещений бочки, к которой подводится стационарной системой разгрузки и к которой швартуется танкер.

§ 93 Подбор элементов швартового устройства

1. Размеры якоря определяются в зависимости от якорной характеристики N (см. гл. 20). Преда прочности приволочек стальных тросов, используемых для швартовки, должна находиться в интервале 130—160 kg/mm^2 . Тросы, рекомендуемые Правилами постройки, предполагаются достаточно гибкими, не менее 300

чтм с семью органическими сердечниками. Число приволочек швартовых тросов должно быть не меньше 144, а для изнестного, облученного автоматической лебедкой — не менее 186. На растягивающихся тросах рекомендуются миннилеские и сизальские и только для малых судов — пеньковые.

2. Для определения числа кинектов может быть использована табл. 26, где число кинектов за оба борта склоняется с водонизмещением судна.

Число кинектов (за оба борта)

Таблица 26

Район	Поверх водонизмещение судна, т					
	10—125—126—700	300—1000	1001—3000	3001—7000	7001—25 000	25 000—45 000
Неская оконечность	2	2	4	4	4	6
Средняя часть	2	2	4	5	8	10
Кормовая оконечность	2	3	4	4	4	6

Указанное в таблице число кинектов уточняется в зависимости от специфики швартовых операций данного судна. Такое уточнение может иметь место, например, для промысловых судов, паромов и других специальных судов.

3. Количество кинектов или кинектовых планок принимается равным количеству кинектов. Взаимное расположение кинектов, кинектовых планок и кинектов рассчитывается таким образом, чтобы можно было застопорить цепной стопор. Цепной стопор представляет собой небольшую закрепленную на палубе цепь, которая позволяет передавать патинутый швартовому механизму на кинектах.

Элементы швартового устройства должны занимать на палубе возможно меньше места, поэтому кинекты обычно располагаются вдоль борта. На рис. 221 показано взаимное расположение кинектовых планок, кинектов и кинектов. Расстояние L принимается равным не меньше чем 10 диаметрам кинектов для малых судов и не меньше чем 6 диаметрам — для средних и больших судов. Для удобства работы кинект должен отстоять от борта на расстоянии не меньше 1,5 его диаметра.

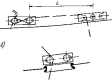


Рис. 221. Рассадочные кинекты: а — по отношению к кинектовым планкам; б — по отношению к швартовному якорю.

Иногда клеммы располагают непосредственно за вырезом в фальшборте и предназначают как для закрепления так и для отвода швартовов к механизму.

На судах всех типов пару автоблоков обязательно устанавливают таким образом, чтобы трос сбегал на них с турецкими башмаками. Эти автоблоки служат для проводки буксирных тросов.

4. Швартовые механизмы. Швартовы, размещаемые в носовой части судов, водонаполнение которых не превышает 28 000 т, могут обслуживаться дополнительными барабанами якорных механизмов. У больших судов в носовой части устанавливаются специальные швартовые шинши. Вызвано это тем, что с увеличением диаметра швартова число возможных шагов на турбине уменьшается, и обеспечить надежную передачу усилия от механизма к швартову и обратно не удается.

Допускается соединение специальных швартовых барабанов с якорными механизмами. Например, на рис. 198 была показана паровая швартовая лебедка, объединенная с полубашней при правом борту.

Короткая грушка швартов при отсутствии в корне какой-либо вспомогательной лебедки должна обслуживаться автопилом или автоматической швартовой лебедкой. На больших судах (водоизмещение больше 28 000 т) должны предусматриваться стационарные швартовые механизмы, не связанные с кормовым якорным устройством.

Остановимся на компоновке и некоторых особенностях швартовых устройств на морских судах различных типов. Пассажирские морские суда в подавляющем большинстве случаев закрепляются швартовами носовой и кормовой групп.

Типичное расположение элементов швартового устройства на морских судах для генерального груза приведено на рис. 222, а. Как уже отмечалось, средние швартовы на таких судах обслуживаются лебедками грузового устройства, поэтому расположение клемм выбирается с таким расчетом, чтобы облегчить использование этих лебедок (недалеко от механизков пространства).

Отличительная черта малых наливных судов является быстрое изменение осадки при погрузке и разгрузке, приводящее к отсутствию в средней части механизмов, которые могли бы выполнять функцию тяговых органов для швартового устройства. На таких судах стальные тросы используются как швартозы только в носовой и кормовой частях; шаровое распространение в последнее время получают заряженоэластичные синтетические тросы. На рис. 222, б показано типичное расположение швартового оборудования танкера водоизмещением около 30 000 т с набженением автоматическими швартовыми лебедками.

Швартовое устройство рулевых и углеродов и целом такое же как и у морских судов, если не считать ограничений, налагаемых на прочность.

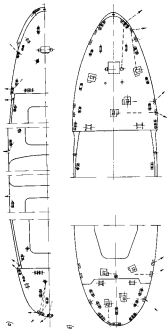


Рис. 222. Расположение лебедок швартов в строительстве судов: а — за струптурой судна; б — на танкере; в — на универсальном судне; г — на грузовом судне.

Говоря о развитии швартового устройства, следует остановиться на следующих моментах. При швартовке наиболее сложными являются подача швартова на берег и маневрирование при подходе судна к причалу, особенно при неблагоприятных ветрах и течениях. Поэтому, наибольшее внимание конструкторов должно быть направлено именно на эту сторону швартовых операций. Многие решения способствуют облегчению передачи за берег швартова, однако более рациональным следует признать другое направление — улучшение маневренности судна что достигается различными подруливающими устройствами.

Положительным является то, что при этом не только упрощаются швартовые операции, но и улучшаются необходимые для эффективной эксплуатации судна маневренные качества на малых ходах.

В заключение подчеркнем, что ни автоматизация, ни механизация в целом не являются самоцелью или задачей, поэтому только экономическая целесообразность и снижение объема тяжелого ручного труда могут служить достаточным основанием их внесения.

ГЛАВА 24

БУКСИРНОЕ УСТРОЙСТВО

§ 84. Общесудовое буксирное устройство

Каждое судно может оказаться в таком положении, когда оно лишается возможности двигаться самостоятельно и его приходится брать за буксир, чтобы отвести в порт для ремонта. Каждое самоходное судно должно быть в состоянии встать на буксир любое другое судно, нуждающееся в такой помощи.

Комплекс средств, позволяющих судну буксировать другой зажимчивый объект или самому быть зажатым из буксира, составляет буксирное устройство. Наряду с этим существуют суда, специально предназначенные для выполнения буксирных операций в оказании помощи судам при их маневрировании в портах и на валах.

Выполнение первых буксирных операций связано с появлением судов с механической тягой. Первые буксиры использовались для того, чтобы отвести парусные суда от берега на расстояние, достаточное для их самостоятельного маневрирования. Позднее в прибрежных районах буксиры иногда ловили парусные суда по порту назначению; очень быстро в перевозках такого рода парусные суда были заменены баржами. В настоящее время перевозки в лягушках и баржах занимают большое место в общем объеме морских и, особенно, речных перевозок.

Буксирные устройства могут быть разделены на общесудовые устройства, необходимые каждому судну, и устройства специальных судов-буксиров.

Существуют три способа буксировки, отличающиеся взаимным расположением буксируемого и буксирующего судов.

В морских условиях основным способом буксировки является кильватерный, при котором буксируемое судно следует за буксирующим на буксирном канате той или иной длины (рис. 223, а). В этом случае оба судна, соединенные гибкой связью, могут совершать значительные относительные перемещения, что особенноично в условиях открытого моря при большом волнении. Воз-

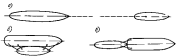


Рис. 223. Способы буксировки: а — кильватерный; б — линейный; в — тяговый.

можность увеличивать длину буксирного каната является важным преимуществом с точки зрения сопротивления буксируемого судна, так как при этом уменьшается амплитуда струи, отбрасываемой зданием буксира.

Недостатком кильватерного способа является плохая маневренность, которая застывает в стесненных местах или изза конфликтов, ограничивающих расстояние между судами. Поэтому при буксировке в портах, где роль маневренности возрастает, приходится даже отказываться от кильватерной буксировки и прибегать к буксировке лягушкой, т. е. бортом к борту (рис. 223, б). Такая буксировка, при которой буксирующее судно припарковывается к буксируемому, возможна лишь при полном отсутствии волнения, так как иначе нельзя задержать скрепить суда и избежать повреждений борта при ударах одного судна о другое.

Третий способ — бригиринг подъемом (рис. 223, в) — возник в результате стремления увеличить маневренность буксира «снизу» и одновременно уменьшить отрицательный эффект струи, образуемой его зданием.

Связанные достаточно жестко буксир и воз представляют собой как бы единое здание, при этом буксир может осуществлять движение и контролировать его. В то же время конструкции соединения буксира и воза допускает некоторые относительные вертикальные перемещения, причем которых может быть великое.

Однако буксироно толканием,первые осуществленные на Великих Озерах (в Америке) и широкую распространение на внутренних водных путях, малопригодны для морских условий.

Рассмотрим общесудовое буксирное устройство. Основным элементом его является буксирный канат, обеспечивающий прочную и эластичную связь между судами. Размеры буксирных канатов задаются Правилами постройки в зависимости от якорной характеристики.

Из-за больших динамических нагрузок, возникающих при движении судов на волннистом море, большое значение приобретают:

а)



б)

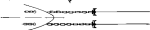


Рис. 224. Использование якорей в составе буксирных канатов: а — с одним буксирным трофеем, б — с двумя трофеями.

тает упругость связи между судами. Податливость соединения осуществляющего пропускаемого буксирным канатом, определяется упругостью его материала и занимаемым им положением.

При движении буксируемого и буксирующего судов на воде или величина продольных перемещений концов буксирного каната может быть очень большой, поэтому приходится использовать все резервы увеличения податливости: увеличивать длину буксирного каната, увеличивать его массу за счет тяжелых цепных смывок якорей и других массивных грузов, заключать в буксирный канат амортизаторы (вставки из синтетических или растительных тростов, пружинные амортизаторы и т. д.). На рис. 224 показана комбинация буксирного трофея с использованием якорей и якорных цепей буксируемого судна. При буксировке специальным судном буксиром целесообразнее использовать автоматические буксирные лебедки, которые позволяют избежать чрезмерного усаживания якорей буксирных канатов, особенно при буксировке больших судов и плавучих объектов.

Для закрепления буксирного каната в носовой оконечности каждого судна имеются пары специальных буксирных клюков, положение которых согласуется с исполнительными борбазами

якорных механизмов. В том случае, когда судно само является буксирующим, буксирный канат закрепляется на специальном буксирном клюке в корме.

В аварийной обстановке можно закрепить буксирный канат двумя способами. В первом случае буксирный троек закрепляется на коротких подвесках на уровне ширстрика вокруг всего корпуса (общий браса). Во втором случае петля, образованная буксирным канатом, закрепляется за фундамент палубных механизмов, рубку, палубу и т. д. (местная братва).

Для вывода буксирного каната в носовой и кормовой оконечности служат киповые клинья или буксирные клизы, конструкции которых аналогичны швартовным клизам. Недостатку аварийне-



Рис. 225. Буксирный канат с клюком.

нию и проводке буксирного каната способствует использование якорных цепей и якорных клизов. При этом могут иметь место два варианта комбинации буксирных троек: присоединение обеих якорных цепей к одному буксирному троеку; присоединение двух цепей к двум буксирным троекам. Второй способ несколько сложнее, но зато обеспечивает некоторое преимущество в маневренности, особенно при коротких буксирных канатах.

При проектировании буксирного устройства транспортных и пассажирских судов необходимо придерживаться одного важного принципа: вносить в конструкцию судна минимальное количество изменений. Буксировка таких судов в условиях открытия моря происходит довольно редко, а усилия, возникающие при перемещении их в коротах буксирных, с успехом могут быть восприняты элементами швартовного устройства.

В то же время для несамоходных судов, перевозящие которых осуществляется буксиронкой, весь процесс проектирования следует вести с учетом особенностей их движения.

Не останавливаясь на этом вопросе подробнее, отметим, что самой существенной проблемой является донеймость движения буксируемого судна. Большие отклонения барка от курса не только неминуемы, так как заметно склоняются на сопротивление ветра, но и опасны, потому что буксир может быть перевернут или ком отломленного буксирного трофа.

Интересным предложением для повышения устойчивости движению буксируемых судов является заключение в буксирный канат парома (рис. 225). Благодаря особенности конструкции паро-

ван при отклонении баржи от курса смещается в обратную сторону, увеличивая тем самым выравнивающее действие натяжения буксирного каната.

§ 95 Буксиры и их буксирное устройство

Современные буксиры выполняют большое количество самых различных операций, например: вывод и вывод судов из порта; буксировка грузовых барж и ляжиков; перемещение судов внутри акватории порта; спасательные операции; буксировка на различные расстояния плавучих кранов, лодок и т. д. Наиболее важными характеристиками буксиров является упор движителей и маневренность, что вытекает из характера выполняемых ими операций. В настоящее время при проектировании судов этого класса основным показателем является эффективность работы буксира с аквом.

Если в проектном задании скорость при буксировании специально не оговаривается, то ее принимают равной 3—7 узлов.

Очень серьезным вопросом является устойчивость буксиров как при буксировке, так и при свободном ходе, когда большая часть корфуса открывается из-за волны, образующейся между носовой и кормовой группами волн.

Большое внимание при проектировании буксиров следует уделять винтам. Проблема эта чрезвычайно сложна, особенно если учесть большое многообразие режимов работы. У современных буксирных единиц в насадках обеспечивают практическое постоянное соотношение между упором и мощностью главной установки, находящейся в пределах 0,01—0,15 м/л. с. Многие авторы уверяют, что применение насадок может повысить эффективность винта на 25—30%. Однако при этом резко ухудшается работа руля на заднем ходу.

При определении места крепления буксирного каната нужно стремиться уменьшить воздействие натяжения каната на макареные качества буксира. Например, при креплении троса в корме повороту буксира будет препятствовать момент натяжения каната и который совместителем войдет половина длины судна. Для уменьшения момента нужно сместить точку крепления к центру тяжести.

Требование устойчивости буксира на курсе не позволяет полностью совместить точку крепления буксирного троса с центром тяжести судна, и на современных буксирах ее отстояние признается равным 10% длины судна в корму.

При повороте буксира канат имеет направление, параллельное или почти параллельное. Поэтому для предохранения людей и механизмов в этом районе устанавливаются буксирные арки. Таким образом, надстройки приходится концентрировать в первой половине судна, что определяет характерный контур этого класса судов (рис. 226).

Большое внимание следует уделять также краинам буксиров. Основную роль играют носовая и кормовая постоянные краины. Каждый из них представляет собой чехол из парусины, заполненный микропористой резиной или каким-нибудь другим эластич-



Рис. 226. Боковой вид буксира

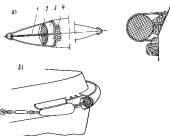


Рис. 227. Краины буксира. а — обитые, б — резиновые.
1 — обедчика; 2 — замковое; 3 — парусиновый чехол; 4 — сканка

ным ненамокающим материалом. Прочной связью является сердечник из стальной проволоки. Краинец покрывается стальной или пеньковой оплёткой. На рис. 227 показана типичная конструкция буксирного краинца и узлы его крепления к корпусу буксира.

6.98 Элементы буквенного устройства

Наиболее важными этапами быстрого устройства являются:

устройство для закрепления букинных краев
букинские арки;
букинские лебедки.

Устройство для закрепления буксирных занавесей до типа 3,08
должно отвечать следующим требованиям:

обезгнить быструю зеваку бакенбарда коната:

максимально поглощать энергию рывков и ударов возникающих при боксировке.

быть простым и понятным.

изменять направление бунсирного каната в широких пределах

Кроме того, это устройство должно быть расположено за пределами палубой.

На первых буксирах канаты закреплялись на массивных тумбах, которые впоследствии были заменены спиральными гаками, изменявшими положение при перемещении каната с борта на борт. Поскольку это не обеспечивало быстрой отдачу буксируемого каната, у места его закрепления постоянно должен был находиться дежурный с топором. Однако если можно разрубить пеньковый канат в обычных условиях, то справиться с канатом, покрытым льдом, особенно если он постоянно перемещается, не всегда легко.

В современных устройствах для отдачи клянта, находящегося под действием некоторого напряжения, достаточно освободить шарнирно закрепленный так. На рис. 228 показаны различные конструкции блокираторов. На морских и портовых буксирях находят применение таки III и IV типов. Так I типа обычно является запасным, а так II типа может быть использован из речных буксиров.

Система отдачи буксируемого груза имеет важное значение для безопасного плавания буксира. Принцип показывает, что большое число серебряных аварий буксиров было вызвано выходом из строя устройства автоматической отдачи каната. Принцип работы этих устройств заключается в том, что при достижении буксиром определенного крена или величины тяги, которая преодолевает удерживающий им трос,

В настоящее время существует много различных вариантов устройства для автоматической отдачи буксирного троса. Наиболее перспективным является устройство, в котором используется принцип сообщающихся сосудов. Вызывающее креном изменение уровня ртути в двух вертикальных сообщающихся трубках в определенный момент приводят к срабатыванию электрического устройства, отдающего стопор гака.

Важное значение отводится проблеме амортизации. Сравнение податливости даже короткого провисающего буксирного троса с податливостью пружинных амортизаторов показывает, что

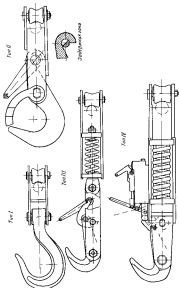


FIG. 28. *Tetra hyperborea*, male.

чтобы последних в зоне действия закрепления не возникли бы волны судов очень мала. Однако амортизаторы такого эффективно гасят ударные волны, возникающие в буксируемом трофе. Можно показать, что при отрывании от жесткой опоры параметры ударной волны — интенсивность и период — практически не изменяются.



Рис. 229. Буксирный трос Monarch.

таким же компанией Monarch, показана на рис. 229. При расположении нагрузки сжатие пружины осуществляется двумя криволинейными рычагами. При увеличении натяжения и сближении концов рычагов пластины, сжимающие пружину, удаляются, что и приводит к повышению жесткости.

Закрепляются буксирующие гаки на специальных буксирующих дугах при помощи штырей или роликовых кареток. В первом случае каток гака может перемещаться по высокой дуге, которая имеет в сечении овальную форму. Чтобы гак сохранил горизонтальное положение, под нем делается несколько полозков (рис. 230).

Крепление гака при помощи штыря показано на рис. 231. На этом рисунке виден буксирующий трос, который проходит к лебедке, расположенной во внутреннем помещении. Второй вариант крепления несколько иначе однако он не обеспечивает такой свободы перемещений гака, как в случае его крепления на дуге.

Предельные положения при вращении гаков в горизонтальной плоскости конструктивно ограничиваются. Чтобы исключить перемещения буксирующего троса внос от точки крепления гака и тем самым ограничить поворот последнего, используются различные

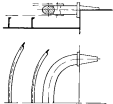


Рис. 230. Буксирный дуга.

ограничители. На рис. 232 показан ограничитель совмещенный с фальшбортом.

Буксируемые арки. Буксируемые арки предназначены для защиты людей, а также предметов на палубе от повреждений буксирующим канатом.



Рис. 231. Крепление буксирующего троса на штыре.

На рис. 233 показана буксирующая арка, укрепленная на фальшбортовых киляхах. Подкрепляющая стойка установлена в ДП. Вся конструкция выполнена из труб.

Высота арок определяется положением буксирующего троса, проходящего от гака до панели фальшборта в кирзе букоса.

Буксируемые лебедки. Морские буксиры, которые часто используются для перегонки различных плавучих объектов или судов, потерпевших аварию, обычно оснащаются специальными буксирующими лебедками. Рынки, возникающие при движении буксира и буксируемого объекта на волнении, не приведут к опасным последствиям только в том случае, если буксирующий трос будет иметь достаточную длину. Однако при значительном увеличении длины

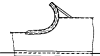


Рис. 232. Ограничитель буксирующего троса на фальшборте.

буксирного каната резко ухудшается маневренность системы буксир—возд. Регулирование длины буксирного каната достаточно быстро и эффективно осуществляется с помощью буксирных лебедок. Чрезвычайно полезной является установка на морских буксирах автоматических буксирных лебедок, принцип работы которых аналогичен автоматическим швартовным лебедкам.

Буксирные лебедки должны обеспечивать тяжение троса за счет хода судна, а также сположение троса при неработающем двигателе лебедки. Лебедки буксиров неограниченного района плавания устанавливаются в специальных запасных помещениях

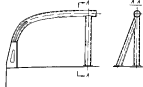


Рис. 233. Буксирные арки

На морских буксирах имеющих ограничения в районе плавания, их помещают просто на верхней палубе. При этом используется проводка троса через блок, установленный вместо гака. На портовых буксирах специальных лебедок нет совсем. Однако на таких буксирах необходимо иметь легкую лебедку для выбирания проходника — легкого троса, служащего для передачи основного буксирного каната.

Буксировка судов во льдах. Способ буксировки судов во льдах определяется ледовыми условиями. При этом во всех случаях длина буксирного троса должна быть значительно меньше, чем при работе на открытой воде. Это объясняется тем, что снижением управляемости буксируемого судна даже при сравнительно легкой ледовой обстановке. Чем серьезнее ледовая обстановка и чем быстрее заливается канал, оставляемый ледоколом, тем короче должна быть буксирный трос. Такой трос не только облегчает движение судна, но и улучшает его управляемость, уменьшая рыскливость, а следовательно и возможность повреждения о кромки льда.

Расстояние между судами зачастую сокращается до 30—40 м. Это требует постоянного внимания персонала на буксируемом судне, чтобы успеть дать задний ход и погасить инерцию судна при внезапной остановке буксирующего ледокола. Часто при ледо-

вой буксировке ледокол и буксируемое судно движутся вплотную друг за другом. При этом в корме ледоколов делают специальную выемку, куда входит форштевень буксируемого судна, а судно, следующее за ледоколом, дополнительно раскрепляется стальными тросами или цепями.

Океанская буксировка. Буксирозахватная дюйм, ядо стронсмен или, наоборот, уже закончившие свою жизнь судов различных несамоходных судов и других плавучих объектов в современной морской практике не является чисто чрезвычайным. Впервые такая буксировка была осуществлена в 1905—1906 гг., когда из Англии на Магелланские острова был приведен на буксире плавучий док. Разстояние 13 000 миль было преодолено за 106 дней.

С тех пор мореплавность, тяговое усилие, автономность и другие качества океанских буксиров значительно улучшились. Накоплен значительный опыт, позволяющий замытого увеличить дальность перехода между портами-убежищами с заправкой в море без остановки. Появился также опыт проектирования оборудования для буксировки, что не менее важно. Сюда относятся длина, размеры и компоновка буксирного каната, методы закрепления способа противодействия ветру и волнам и т. д.

Надостаточное внимание в обеспечении надежности элементов буксирного устройства, выбору времени и маршрута чревато серьезными последствиями. Вернемся к случаю буксировки английского корабля «Сан-Паулу» из Рио-де-Жанейро в Англию. В переходе участвовали океанский буксир-спасатель «Фастлер» мощностью 3500 л. с. и буксир «Декстеррэз». Буксирный канат со стоком из 3 смычек якорного каната линейного корабля и 650 м стального троса диаметром ~130 мм. В качестве амортизатора был включен манильский трос окружностью 560 мм в длиной ~200 м.

Во время сильного шторма в Северной Атлантике винная цепь линейного корабля не поддержала, после чего его гавель была уже неизбежной. Этот случай выходит за рамки обычных, так как буксируемый корабль был недостаточно хорошо подготовлен к риску. Однако после разрыва буксирного троса ярд ли какое-либо судно, лишенное собственных средств движения, смогло бы вJECT в подобных условиях. Это позволяет основной причиной гибели «Сан-Паулу» считать несовершенство буксирного устройства и неправильный выбор маршрута и времени перехода.

§ 97. Некоторые рекомендации для расчета буксирных тросов

Расчеты буксирных тросов в настоящее время базируются на следующих положениях, выдвинутых академиком А. Н. Крыловым в его статье «Технические соображения о буксировке судов».

1. Размеры буксирных тросов должны определяться в зависимости от состояния моря для чего используются три характеристики волнения:

T_1 — при тихой погоде,

T_2 — при винзапном шквале, когда натяжение достигает величины упора движителей на швартовном режиме;

T_3 — наибольшее натяжение, которое в самом тихом случае не должно превышать половины разрывной нагрузки троса.

Наибольшее натяжение T_3 возникает в результате изменения расстояния между судами при буксировке на волнение и может в несколько раз превосходить среднее значение натяжения.

2. При определении максимального натяжения вводится допущение о малом влиянии натяжения буксирного троса на участие судна в орбитальном движении частицы воды.

3. Пренесение буксирного троса принимается малым.

4. Весь процесс рассматривается как статический.

5. Полная податливость сиян, соединяющей буксир и судно определяется как сумма податливости проникания и упругого удлинения.

Наиболее тяжелым расчетным условием является такое, при котором происходит продольные колебания буксира относительно неподвижного (из-за шквального ветра) вала, а натяжение троса достигает половины разрывного усилия. Избежать больших перегрузок буксирных канатов можно за счет увеличения скорости, изменения направления буксировки, увеличения длины каната, а также в результате конструктивных мер по увеличению защищенности. Использование запасностей, приведенных в разделе «Габаритные схемы» (см. стр. 334), позволяет учесть упругие свойства буксирного каната и параметры колебаний судна на волнении. Сокращая допущения о полном участии судна в орбитальном движении, мы делаем тем большую ошибку в безопасную сторону, чем меньше судно.

Расчет может быть выполнен либо для определения допустимых условий буксировок судна при использовании его штатного буксирного троса, либо для определения прочных размеров тросов при заданных условных буксировках.

Для буксирных судов расчет чаще всего выполняется во второй схеме. В этом случае должны быть заданы следующие величины:

размер сечения и длина буксирного каната

размерения судна, которые необходимы для нахождения соотношения воды и давления ветра при буксировке

Порядок выполнения расчета:

1. Для данной скорости и силы ветра определяется полное со противление судна, представляющее горизонтальную проекцию натяжения буксирного каната.

2. Определяется стрелка и характеристика проникания буксирного каната. Длина буксирного троса с достаточной точностью может быть принята за расстояние между судами.

3. Определяется допустимое динамическое натяжение, равное разности

$$P_{\text{разр}} - T,$$

где T — усилие в тросе при заданной силе ветра

$P_{\text{разр}}$ — разрывное натяжение троса

Зная динамическую составляющую натяжения, можно найти максимальное значение скорости спрямления троса.

4. Используя графики раздела шестого, находят значение характеристики φ и соответствующие комбинации t и A , представляющие период и амплитуду колебаний судна. От этих величин переходят к параметрам волнения, допустимого для принятой силы ветра.

Во втором случае, изменения порядок расчета, определяют ма-ксимальную скорость спрямления и динамическую добавку натяжения (ΔT). Суммарное натяжение $T + \Delta T$ не должно превышать $0,5 P_{\text{разр}}$. При этом приходится выполнять несколько приближенных вычислений. Можно использовать приближенные зависимости; например, для определения разрывного сопротивления троса существует формула Регистра СССР

$$P_{\text{разр}} = 0,01 n N_b \quad (130)$$

где $P_{\text{разр}}$ — разрывное сопротивление троса, л. с.

N_b — мощность буксира, л. с.;

n — запас прочности, изменяющийся от 6 до 8

Длина буксирного троса может быть приближенно задана в зависимости от мощности буксира. Она изменяется от 460 м при $N_b = 500$ л. с. до 800 м при $N_b = 3000$ л. с.

РАЗДЕЛ ШЕСТОЙ

Гибкие связи в судовых устройствах

ГЛАВА 26

РАСЧЕТ ГИБКИХ СВЯЗЕЙ

§ 90 Общие положения

К гибким связям относятся стальные, растительные, синтетические тросы и цепи, используемые практически во всех судовых устройствах. Однако место, которое занимают эти связи в каждом устройстве, различно.

В портном, запортом и буксирном устройствах цепи и различные тросы представляют собой основной элемент, определяющий конструктивные особенности устройства в целом. Расчет усилий в гибких связях и определение их размеров является главной задачей при проектировании перечисленных устройств.

В грузовом и спасательном устройстве гибкие связи не являются основным элементом, хотя работа грузовых стрел, палубных кранов и якорьблок без гибких связей невозможна.

Значительная роль гибких связей и в других устройствах — сигнальном, леерном, промысловом и т. д.

Расчет, конструктивные особенности, свойства, способы изготовления различных типов гибких связей и другие вопросы, которые рассматриваются в этом разделе, являются общими для многих судовых устройств.

Классификация гибких связей и их свойства. Основным свойством различных типов тросов и цепей является эластичность, т. е. практическое полное отсутствие сопротивления изгибу. В цепях это свойство возникает благодаря подвижному соединению отдельных звеньев, в тросях — за счет колой изгибной жесткости образующих трос элементов и их взаимного соединения, допускающего относительные перемещения.

По характеру выполняемых функций гибкие связи могут быть разделены на три группы:

1 — стоячий такелаж, представляющий собой связи, которые осуществляют неподвижное раскрепление той или иной конструкции. Примером может служить стоячий такелаж грузовых и сигнальных мачт;

2 — бегущий такелаж, включающий снасти работающие на блоках либо для изменения направления приложенного усилия либо для получения выигрыша в силе или расстоянии (в зависи-
мости от характера решаемой задачи).

3 — движущие, изогнутое и брасируемые коммы.

В зависимости от того, какую функцию выполняет рассматриваемая гибкая связь, она должна обладать теми или иными свойствами, основными из которых являются прочность вес и упругость.

Прочность характеризуется разрывным усилием. Для некого ряда связей используется характеристика прочности, связанная с нагрузкой при испытаниях.

Вес гибкой связи характеризуется относительной величиной — потонным весом, который представляет собой вес элемента гибкой связи единичной длины.

Упругость определяется величиной относительных деформаций возникающих при приложении нагрузки.

Сложность точной оценки этого свойства заключается в том, что зависимость между деформациями и напряжением в гибких связях не имеет линейного характера. Представление о гибкости может быть получено по величинам разрывного удлинения — относительной деформации, соответствующей разрывной нагрузке. И иногда упругость характеризуется величиной относительной деформации при нагрузке, равной определенной доле от разрывной.

Отмеченные свойства являются общими для всех гибких связей. Остальные свойства, присущие тому или иному типу гибких связей, мы коснемся позже.

В некоторых случаях, особенно при математической обработке, удобнее оперировать не реальной связью, а ее теоретической моделью, так называемой гибкой нитью обладающей всеми или частью свойств реальной связи. Какие свойства должны быть учтены в рассматриваемой задаче в каком из них можно пре-
небречь, можно решить только в каждом конкретном случае.

§ 91 Формы и напряжение гибких нитей в статических условиях

В реальных условиях гибкие связи находятся в постоянном движении. Однако не во всех случаях динамические факторы показывают большое влияние, что позволяет ограничиться расчетом, включающим определение положения и напряжения связей только в статических условиях.

В настоящем параграфе мы рассмотрим три задачи:

- равновесие гибкой нити под действием собственного веса,
- равновесие гибкой нити, находящейся в потоке, скорость которого постоянна;
- некоторые случаи равновесия якоря с переменной массой и со средоточенным грузом.

Равнозеис гибкой нити под действием собственного веса. Рассмотрим равнозеис гибкой тяжелой нити находящейся под действием только собственного веса.

Определение может предполагать что вес единицы объема нити превышает удельный вес среды, в которой она находится, т. е. нить имеет отрицательную плавучесть. Момент, возникающий при изгибе гибких связок, пренебрежимо мал, что позволяет считать нить гибкой.

В сформулированной постановке задача решена и приводит к хорошо исследованному в теоретической механике уравнению цепной линии. Если расстояние от начала координат в самой нижней точке нити (рис. 234), то уравнение цепной линии будет иметь вид

$$y = \frac{T_0}{\gamma} \left(\operatorname{cl} \frac{yx}{T_0} - 1 \right) \quad (131)$$

где T_0 — горизонтальная проекция натяжения нити;

γ — погонный вес нити
Основные свойства цепной линии формируются следующими образом:

1. Горизонтальные проекции натяжения постоянны во всех точках нити.

2. Минимальное натяжение нити равно значению горизонтальной проекции натяжения

3. Натяжение в любой точке линейно связано с ее ординатой

$$T = T_0 \operatorname{ch} \frac{yx}{T_0} \quad (132)$$

Длина нити от начала координат до точки с абсциссой x будет

$$S = \frac{T_0}{\gamma} \operatorname{sh} \frac{yx}{T_0} \quad (133)$$

Используя для исключения x выражение (131) можно получить зависимость S от ординаты y

$$S = \frac{T_0}{\gamma} \sqrt{\left(\frac{yx}{T_0} \right)^2 - 2 \left(\frac{yx}{T_0} \right)} \quad (134)$$

Уравнение участка нити (рис. 234) при пересечении начало координат на левую его границу имеет вид

$$y_1 = \frac{T_0}{\gamma} \left[\operatorname{cl} \frac{y}{T_0} (x_1 - x_0) - \operatorname{cl} \frac{y_0}{T_0} \right] = \frac{2T_0}{\gamma} \operatorname{sh} \frac{y(x_1 + 2x_0)}{2T_0} \operatorname{ch} \frac{y_0}{2T_0} \quad (135)$$

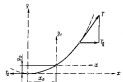


Рис. 234. Правящая нить

Для некоторых задач представляет интерес уравнение нити проинецированной между двумя расположенным на одной высоте точками, расстояние между которыми задано и равно I .

Принимая $x_0 = -\frac{I}{2}$ и направление ось y вниз, получим

$$y = 2 \frac{T_0}{\gamma} \operatorname{sh} \frac{yI}{2T_0} \operatorname{sh} \frac{y(I-x)}{2T_0} \quad (136)$$

Связь между длиной нити, расстоянием I и горизонтальной проекцией натяжения T_0 определяется выражением

$$\frac{2T_0}{\gamma} \operatorname{sh} \frac{yI}{2T_0} = S \quad (137)$$

Для наклонного участка цепной линии при заданной длине и разности высот точек подпись можно записать

$$\operatorname{ch} \frac{yH}{T_0} = \operatorname{ch} \frac{yL}{T_0} = H$$

$$\operatorname{sh} \frac{yH}{T_0} = \operatorname{sh} \frac{yL}{T_0} = S$$

где x_1 и x_2 — абсциссы правой и левой точек подвеса.
 H — разность их высот ($y_2 - y_1$).

Решив эти выражения последовательно относительно x_1 и x_2 получим

$$x_1 = \frac{T_0}{\gamma} \ln \left(\sqrt{\left[\frac{y}{2T_0} (S+H) \right]^2 + \frac{S+H}{S-H}} - \frac{y}{2T_0} (S+H) \right)$$

$$x_2 = \frac{T_0}{\gamma} \ln \left(\sqrt{\left[\frac{y}{2T_0} (S+H) \right]^2 + \frac{S+H}{S-H}} + \frac{y}{2T_0} (S+H) \right) \quad (138)$$

Если задано расстояние между концами нити по горизонтали ($x_1 - x_2 = I$), то выражения (138) позволяют в зависимости от постановки задачи определить одну из трех величин — S , H и T_0 . Не представляет труда и определение угла наклона в конечных точках.

При рассмотрении симметрических провисающих нитей с большим натяжением (рис. 235) иногда удобнее пользоваться упрощенными выражениями. Положение нити характеризуется уравнением

$$y = \frac{Y}{2T_0} (M - z^2) \quad (139)$$

которое получается удержанием первых членов при разложении гиперболических функций в выражении (136) в степенной ряд. Оценка погрешности показывает, что с 5% -ной ошибкой выражение (139) можно использовать вместо точного для тех случаев когда стрелка проникания достигает $\frac{1}{4} I$.

Таким образом, выражение (130) может быть использовано для расчетов буксирных и швартовых тросов. Раскладывая в выражении (137) гиперболический синус в степенной ряд и удерживая два члена, можно получить достаточно точную формулу для определения горизонтальной проекции натяжения

$$T_0 = \frac{\gamma l^2}{V^2 24(\beta - 1)} \quad (140)$$

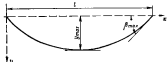


Рис. 255 Симметричная проложенная линь

Можно заметить, что предельное условие выполнено так как только при бесконечном натяжении нить не имеет проекции ($S = l$)

Равновесие гибкой линии, находящейся в потоке, скорость которого постоянна. Рассмотрим равновесие элемента линии dS под

действием силы его веса γdS , реакции потока $R dS$ и реакции отброшенных частей представленных в виде арокий натяжений по оси координат. Сила, образующаяся при набегании потока на элемент линии единичной длины

$$R = c \frac{p v^2}{2} d \sin^2 \beta \quad (141)$$



Рис. 256 Равновесие элемента линии

где c — коэффициент сопротивления

d — диаметр линии;

$\frac{p v^2}{2}$ — скоростной напор

Так как $c \frac{p v^2}{2} d = e$, то $R = e \sin^2 \beta$

Проекция всех сил на горизонтальную и вертикальную оси

$$T \cos \beta + e(T \cos \beta) - T \cos \beta + R \sin \beta dS = 0$$

$$T \sin \beta + e(T \sin \beta) - T \sin \beta - \gamma dS = R \cos \beta dS = 0$$

После дифференцирования и подстановки значения R решение полученной системы относительно dS и dT имеет вид

$$\begin{aligned} dT &= \gamma dS \\ T d\beta &= (c \sin \beta + \gamma \sin \beta) dS. \end{aligned} \quad (142)$$

Первое уравнение можно быть непосредственно интегрировано

$$T = c_1 + \gamma S \quad (143)$$

Интегрирование второго уравнения также же является трудностей, так как переменные в нем разделяются. Учитывая только что получившее выражение для T имеем

$$\frac{dS}{\lambda \sin \beta + \sin \beta} = \frac{dT}{T},$$

где отношение $\frac{c}{\gamma}$ заменено на λ .

Откуда

$$T = c_2 \left(\frac{2 \lambda \sin \beta - 1 - \sqrt{4 \lambda^2 + 1}}{2 \lambda \cos \beta - 1 + \sqrt{4 \lambda^2 + 1}} \right)^{\frac{1}{\sqrt{4 \lambda^2 + 1}}} \quad (144)$$

Используя выражение (143) можно связать β и y

Из очевидного соотношения $dx = dy \sin \beta$ может быть получено выражение, связывающее x и угол подъема нити над горизонтальной плоскостью β . Произвольные постоянные c_1 , c_2 могут быть определены из граничных условий, которые связаны с характером решаемой задачи.

Некоторые случаи равновесия линий с переменной массой и со средоточенными грузами. Приведенные выше решения показывают, что натяжение проложенной линии не остается постоянным. В выражении (132), определяющем натяжение линии, второй член включает ординату и потенциал веса. Эта переменная величина может играть различную роль в зависимости от значения составляющих натяжения. В том случае, когда она велика, определение прочных размеров связана по максимальному усилию становится нерациональным, так как большая ее часть остается недопользованной. Поэтому в некоторых случаях может быть поставлена задача о расчете связи с переменным сечением.

1. Рассмотрим один тип таких связей с постоянными напряжениями по длине линии. Условие постоянства напряжений позволяет связать вес линии с существующим в ней натяжением

$$\sigma = \frac{T}{F} = \text{const} \quad T = \sigma F = \frac{1}{r} \gamma \quad (145)$$

где σ — напряжение в нити;

F — площадь сечения нити;

r — коэффициент, зависящий от типа связи

Используя уравнение равновесия нити (142) и отбрасывая члены учитывающие действие потока жидкости, получим

$$\frac{dT}{dy} = P \quad \frac{d\beta}{dy} = \frac{\gamma}{T} \sin \beta$$

Подставляя значение γ из уравнения (143) получим

$$\frac{dT}{dy} - rT \frac{d\beta}{dy} = r \sin \beta$$

Интегрирование первого уравнения дает

$$T = c_1 e^{ry} \quad (146)$$

второго —

$$\cos \beta = c_2 e^{-ry} \quad (147)$$

Если рассмотреть произведение этих выражений

$$T \cos \beta = c_1 c_2$$

то можно заключить, что в этом случае горизонтальная проекция натяжения постоянна.

Используя соотношение $dy = dr \operatorname{tg} \beta$ и исключив с него посредством β из выражения (147) получим

$$\frac{dy}{dx} = \sqrt{\frac{c_1^2 r^2}{c_2^2} - 1} \quad (148)$$

После разделения переменных и интегрирования получим

$$c_2 e^{-ry} = \cos(rx + c_3)$$

и окончательно

$$y = \frac{1}{r} \ln \frac{c_2}{\cos(rx + c_3)} \quad (149)$$

Не останавливаясь на математических выкладках приведем выражения для длины нити

$$S = \frac{1}{r} \ln \left(c_2 + \sqrt{c_2^2 r^2 - 1} \right) + c_4 \quad (150)$$

Все производные постоянные, так же как и в предыдущем случае могут быть определены из граничных условий применительно к каждой частной задаче.

2. Изучение различных устройств свидетельствует, что в судоходстве широкое применение лебедки связи, имеющие участки с различными погонными весами или включающие сосредоточенные грузы. Рассмотрим некоторые из этих комбинаций.

Нить, состоящая из двух участков с различной массой. Такая нить может быть представлена уравнением двух ее участков с различными погонными весами γ_1 и γ_2 , совмещенных в одной

точке (рис. 237). Начало координат одной из этих двух цепных линий смешено по относению к основным осям на E и S откуда $y = y' - \xi$, $x = x' - \zeta$.

Бегги, отмеченные на рис. 237 пунктиром, отбрасываются.

Точка совмещения нитей должна находиться в равновесии, для чего необходимо, чтобы натяжение оставшихся частей и их углы наклона были равны. Именно эти два условия — равенство натяжений $T_1 = T_2$ ($y_0 + D$) и равенство тангенсов углов наклона

$$\pm \frac{T_1 \xi_0}{T_2} = \operatorname{sh} \beta_2 \frac{\gamma_2 + 1}{T_2}$$

позволят найти величины ξ и ζ

$$\xi = \xi_0 \left(\frac{\gamma_1}{\gamma_2} - 1 \right)$$

$$\zeta = \zeta_0 \left(\frac{\gamma_1}{\gamma_2} - 1 \right) \quad (151)$$

Таким образом, уравнение нижней ветви составной нити

$$y = \frac{T_2}{\gamma_2} \operatorname{ch} \frac{\beta_2 x}{T_2} \quad (152)$$

верхней ветви

$$y = \frac{T_2}{\gamma_2} \operatorname{ch} \frac{\beta_2 \left[(x - \xi_0) + \xi_0 \frac{T_1}{\gamma_1} \right]}{T_2} + y_0 \left(1 - \frac{\gamma_1}{\gamma_2} \right) \quad (153)$$

Если задана длина один из ветвей составной нити то исчислить это выражение

$$\xi = \frac{T_2}{\gamma_2} \operatorname{sh} \frac{\beta_2 S}{T_2}$$

можно определять координаты точки совмещения. Рассмотренный случай соответствует симметричному проложению нити из трех участков, крайние из которых имеют одинаковую длину и постоянный вес.

Составная нить, включающая сосредоточенным грузом. Участки нитей до и после сосредоточенного груза описываются уравнениями цепных линий. В этом случае существенны также явления изменения величин, характеризующих положение точки совмещения. Составим уравнение равновесия точки C (рис. 238):

$$T_1 \cos \beta_1 = T_2 \cos \beta_2; \\ T_1 \sin \beta_1 + P = T_2 \sin \beta_2; \quad (154)$$

где T_1 и T_2 — реакции отброшенных ветвей;

$$\beta_1$$
 и β_2 — углы наклона касательных в точке C ; P — вес сосредоточенного груза.

Так как условие постоянства горизонтальных проекций настежи сохраняется то первое уравнение имеет вид

$$T_1 \cos \beta_1 = T_2 \cos \beta_2 = T_0$$

Если длина x погонный вес одной из ветвей заданы, то можно определить граничные данные для второй ветви. Из очевидного условия статики для первого участка нити (учитывая, что $\beta = 0$ при $x = 0$)

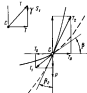


Рис. 128. Равновесные точки сопряжения сосновой нити.

Так как $\operatorname{tg} \beta_2 = \frac{T_0 S_1}{T_2}$ то значения T_2 и $\cos \beta_2$ могут быть выражены через известные или заданные величины. Совершенно очевидно, что трудно предусмотреть все возможные случаи, возникающие в судовой практике, однако принятых расчетных схем достаточно, чтобы определить положение и натяжение нити в большинстве встречающихся задач.

§ 100. Колебания гибких нитей

В реальных условиях гибкие нити очень часто испытывают большие динамические нагрузки, определяющие в значительной степени их прочные размеры. Эти нагрузки возникают при колебаниях и рывках, ненаблюдаемых при эксплуатации судовых устройств. Рассматривая соотношения статических и динамических факторов и соответствующих решений, отметим, что статика является начальным этапом задачи об определении нужных размеров гибких элементов.

з.д.

Особенностью динамических явлений в большинстве судовых устройств является то, что усилия, приводящие к колебаниям и рывкам, чрезвычайно велики. Это позволяет считать перемещениями одной из точек заданными и превратить возможные изменения их параметров в результат изменения усилий в нити. Например, колебания якорного каната, стоящего за кормой судна, вызываются вертикальной и килевой качкой из волнения, которые вызываются усилиями, значительно превосходящими среднее натяжение якорного каната. Величины перемещений при колебаниях зачастую невелики, и для некоторых задач могут считаться малыми по сравнению с длиной нити. Это позволяет сделать ряд упрощающих допущений, основным из которых является возможность использовать статическое уравнение положения нити, считая, что отклонения от положения равновесия невелики.

Изучая колебания провисающей нити, можно принять еще одно существенное допущение, что провисание является малым. Очевидно, что динамическая составляющая натяжения должна накладываться на максимальные усилия, применявшиеся нити.

Подчеркнем значительное упрощение математической стороны анализа для линий с малым провисанием так как в этом случае можно допустить $\Delta S = Ax$ а натяжение считать равным его горизонтальной проекции. Для оценки количественных пределов этого допущения используем уравнение провисающей нити

$$y = \frac{Y}{2T_0} (l - x^2)$$

откуда можно получить угол наклона

$$\operatorname{tg} \beta = \frac{Y}{2T_0} (l - 2x)$$

максимальное значение которого

$$\operatorname{tg} \beta_{\max} = \frac{Y}{2T_0}$$

Если максимальное провисание обозначить y_{\max} то можно для натяжения T_0 получить выражение

$$T_0 = \frac{W^2}{8y_{\max}} \quad (157)$$

что подтверждает высказанное положение о связи провисания и натяжения. Тангенс максимального угла наклона может быть записан в виде

$$\operatorname{tg} \beta_{\max} = \frac{4y_{\max}}{l}$$

или

$$\sqrt{\frac{1}{\cos^2 \beta_{\max}} - 1} = \frac{4y_{\max}}{l}$$

Так как

$$\frac{T}{T_0} = \frac{\Delta S}{\Delta x} = \frac{1}{\cos \beta}$$

то при ошибке в 10% допущение о малом провисании будет справедливым до $y_{\text{max}} = \frac{1}{8}$.

В заключение остановимся еще на одном существенном факторе, подтверждающем необходимость исследования нитей с малым провисанием. Скорость, с которой нить изменяет свое положение при колебании одной из ее опор, в знаменательной степени зависит от провисания. Так, если правый конец имеет скорость v_t (рис. 239),

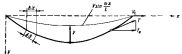


Рис. 239. Схема срываения нити.

вертикальная скорость в середине нити обозначена через v_t и имеет синусоидальный закон распределения по длине нити то можно получить уравнение равенства работ

$$T_0 v_t = T \int_0^l v \sin \frac{\pi x}{l} dx$$

Отсюда

$$T_0 v_t = 2 \gamma v \frac{l}{\pi}$$

Если подставить значение T_0 то

$$v = v_t \frac{\pi l}{16 y_{\text{max}}} \approx 0.2 \frac{v_0 l}{y_{\text{max}}} \quad (158)$$

Таким образом, скорость с уменьшением провисания возрастает, что, в свою очередь, связано с ростом сопротивления среды и инерционных усилий.

Все вышеизложенное позволяет сделать следующие выводы

1. Амплитуды заданных колебаний одного из концов нити малы по сравнению с ее длиной. Это позволяет описывать положение нити уравнениями статики.

2. Влияние изменения катушек нити на параметры исходных колебаний судна можно считать пренебрежимо малым.

3. Провисание считается малым, что позволяет принять $\Delta S \approx \Delta x$, $T = T_0$.

Колебания гибкой нестяжимой нити при перемещениях одной из точек подвеса. Проанализируем колебания и все связанные с ними явления для гибкой нити с малым провисанием. Пронизываемые по направлению колебания одной из точек подвеса могут быть разложены на две составляющие, из которых одна направлена по линии, соединяющей точки подвеса, а вторая — перпендикулярна к ней.

Колебания при вертикальных гармонических перемещениях одной точки подвеса. Рассматривая равнодействующую нити отклоненного от положения равновесия на величину $y(x, t)$, и учитывая силы инерции получим дифференциальное уравнение колебания нити

$$\frac{dy}{dt^2} + \omega^2 \frac{dy}{dx^2}, \quad (159)$$

т.е.

$$a = \sqrt{T \frac{E}{Y}}$$

a — погонный вес нити.

Принимая в момент времени $t = 0$ линейное распределение скорости, можем записать начальные условия в виде

$$y|_{x=0} = 0, \quad y'|_{x=0} = \frac{2\pi k}{\tau} \frac{x}{l}$$

Уставив на концах нити

$$y|_{x=l} = 0, \quad y|_{x=0} = b \sin \frac{2\pi}{\tau}$$

где b и τ — амплитуда и период колебания точки подвеса.

Решение уравнения (159) ищем в виде суммы $y = U - U_0$, где U_0 — любая функция удовлетворяющая граничным условиям. Представим

$$U_0 = \Phi(x) \sin \frac{2\pi}{\tau} \quad (160)$$

а $\Phi(x)$ определим, используя предельное условие, согласно которому при бесконечном погружении нить будет иметь форму луча исходящего из левой точки подвеса. Таким образом

$$U_0 = \frac{kx}{l} \sin \frac{2\pi}{\tau}$$

$$y = U - U_0 = \frac{kx}{l} \sin \frac{2\pi}{\tau}$$

Подставив это выражение в уравнение (159) получим

$$\frac{\partial^2 U}{\partial t^2} = \frac{\partial^2 U}{\partial x^2} - \chi \sin \frac{2\pi}{\tau}$$

$$\chi = \frac{\hbar}{l} \left(\frac{2\pi}{\tau} \right)^2$$

Представляя значение U как сумму двух составляющих, из которых одна характеризует вынужденные, а другая свободные колебания, и решая соответствующие уравнения, получим окончательное выражение:

$$y = \sum_n \frac{2\pi}{\omega_n} \left[\frac{4}{\tau} \sin \omega_n t + \frac{\frac{2\pi}{\tau} \sin \omega_n t - \omega_n \sin \frac{2\pi t}{\tau}}{1 - \left(\frac{\omega_n t}{2\pi} \right)^2} \right] \sin \frac{n\pi x}{l} - \frac{\hbar}{l} \sin \frac{2\pi t}{\tau} \quad (161)$$

тогда

$$\omega_n = \frac{\omega_{\text{ах}}}{l}$$

Таким образом, изменение формы будет известно. Интегрирование инерционных сил позволит определить вертикальную составляющую натяжения, углы наклона и, следовательно, полное натяжение, которое является основной искомой величиной. Кроме того, горизонтальная проекция T_0 увеличивается на ΔT_0 ,

$$\Delta T_0 = \frac{\omega_0^2 S}{2} \left(\frac{S}{\tau l} \right) \left(1 - \frac{R^2}{S^2} \right) \quad (162)$$

где ω_0 — среднее значение интенсивности инерционных усилий. Колебание нити, возмущенное горизонтальными перемещениями одной из точек подвеса. Решение этой задачи в точной постановке связано с большими трудностями, так как приводит к сложной системе нелинейных дифференциальных уравнений второго порядка в частных производных с неоднородными граничными условиями. Поэтому примем ряд упрощающих положений:

1. Для определения скорости перемещения средней точки нити используем выражение (158)

$$\dot{v} = \frac{v_1}{\sin \varphi}$$

получим вначале

2. Будем учитывать только вертикальные перемещения, что оправдано при малых прогибах.

Перемещение точки подвеса приводит к вынужденным колебаниям нити, вертикальные составляющие которых приближенно могут быть заданы

$$y_0(x_1 t) = \tilde{y} \sin \frac{2\pi t}{\tau} \psi(x) \quad (163)$$

Уравнение колебания будет иметь вид

$$\frac{\partial^2 y}{\partial t^2} - \omega^2 \frac{\partial^2 y}{\partial x^2} + f(x_1 t) \quad (164)$$

где

$$f(x_1 t) = -\frac{\partial y_0}{\partial t};$$

при граничных и начальных условиях

$$y|_{t=0} = y|_{x=0} = y|_{x=l} = y'|_{x=0} = 0$$

Решение будем искать в виде

$$y(x_1 t) = \sum_{n=1}^{\infty} T_n(t) \sin \frac{n\pi x}{l}$$

откуда

$$f(x_1 t) = \sum_{n=1}^{\infty} [T_n(t) + \omega_n^2 T_n(t)] \sin \frac{n\pi x}{l}.$$

Обозначив

$$T_n(t) + \omega_n^2 T_n(t) = f_n(t)$$

так

$$f_n(t) = \frac{2}{l} \int_0^l f(x_1 t) \sin \frac{n\pi x}{l} dx$$

получим

$$T_n(t) = \frac{1}{\omega_n^2} \int_0^l f_n(t_1) \sin \omega_n(t - t_1) dt_1$$

Для заданного $y_0(x_1 t)$ получим

$$f_n(t) = \frac{2\pi}{l} \left(\frac{2\pi}{\tau} \right) \sin \frac{2\pi t}{\tau} \int_0^l \psi(x) \sin \frac{n\pi x}{l} dx.$$

Например, если $\psi(x) = \sin \frac{2\pi x}{l}$, то при всех значениях n кроме $n = 1$ в последнем выражении интеграл равен нулю. Тогда

$$y(x_1 t) = \frac{\tilde{y}}{\omega_1^2} \frac{\frac{2\pi}{\tau} \sin \omega_1 t - \omega_1 \sin \frac{2\pi t}{\tau}}{1 - \left(\frac{\omega_1 t}{2\pi} \right)^2} \sin \frac{n\pi x}{l} \quad (165)$$

так

$$\theta = \frac{\omega_1}{l}$$

Заданным перемещением в этом случае можно считать вертикальные перемещения средней части нити. Это перемещение, как уже упоминалось выше, можно выразить через горизонтальное перемещение нити, используя отношение прописанное в длине нити. Изменение напряжения нити в дальнейшем можно определить, учитывая дополнительную инерционную нагрузку, как это было сделано в предыдущем случае.

Колебание нити с учетом сопротивления среды. При решении задачи о колебании нити в воздухе мы автоматически принимали допущение о малом сопротивлении среды. Однако в более плотной среде допущение о малости сопротивления не будет справедливым. Сопротивление, возникающее при движении, например, в воде, приведет к существенным коррекциям как напряжения, так и положения нити. Задачу также можно разделить на две — в зависимости от направления перемещений точек подвеса, приводящих к колебанию нити.

1. **Перемещения гибкой нити, исключаящие вертикальные перемещения точек подвеса.** Считая (как и в предыдущих случаях) горизонтальную проекцию напряжения постоянной и пренебрегая все другие допущения, получим уравнение

$$\frac{dy}{dx^2} = a^2 \left(\frac{dy}{dx} \right)^2 \quad (166)$$

которое представляет собой условие равновесия элемента нити без учета инерционных сил.

В этом выражении

$$a^2 = \frac{c}{T_s} - \frac{c\rho}{2} d \frac{1}{T_b}$$

где c — коэффициент сопротивления;

ρ — массовая плотность воды (среды);

d — диаметр нити.

Если в диапазоне возможного изменения скорости допустить линейную зависимость сопротивления от скорости, то придем к хорошо исследованному в математической физике уравнению теплопроводности

$$\frac{\partial^2 y}{\partial x^2} = a^2 \frac{\partial y}{\partial x} \quad (167)$$

Здесь

$$a = \frac{c_1}{T}$$

где c_1 — коэффициент сопротивления, учитывающий линейную зависимость сопротивления от скорости

Не оставляя в сторону из промежуточных выкладках, приведем окончательное выражение для y , соответствующее следующим начальным и граничным условиям:

$$y|_{x=0} = 0 \quad y|_{x=0} = y_0 \quad y|_{x=t} = b \sin \frac{2\pi t}{\tau} = \\ = \frac{2\pi}{\tau} \cos \frac{2\pi t}{\tau} + \frac{2b}{\tau} e^{-a^2 t} \quad (168)$$

где

$$a_0 = \frac{\pi c_1}{12}.$$

Анализ решения позволяет сделать вывод, что в интересном для практика диапазоне изменений параметров T_s , c , d и I будут перемещаться только небольшие участки нити у точек подвеса (колеблющиеся точки) что является следствием интенсивного сопротивления среды. Для этих диапазонов размеры колеблющихся участков достигают всего лишь $I/20$ длины нити.

Таким образом, учитывая допущения о малости колебаний точек подвеса, можно сделать вывод, что форма и положение нити практически не изменяются и основное значение по-видимому имеют перемещения другого направления.

2. **Колебания изогнутоей нити при горизонтальных перемещениях точек подвеса.** В точной постановке решение задачи не может быть получено из-за большой сложности. Поэтому во всем допущении предыдущих задач добавим следующее: учитывая ранее сказанное о значениях вертикальных и горизонтальных скоростей, будем учитывать только вертикальные составляющие и примем закон их распределения

$$v_z = v_0 \sin \frac{\pi x}{l}, \quad (168)$$

где v — амплитудное значение скорости средней точки нити.

Уравнение равновесия элемента нити в тот момент, когда v достигает максимального значения, со всеми допущениями будет иметь вид

$$\frac{dy}{dx^2} = \frac{cv^2}{T_s} \sin^2 \frac{\pi x}{l} - \frac{Y}{T_s} \quad (169)$$

$$\text{где } c = \frac{c_1 d}{2}$$

После двукратного интегрирования и исключения произвольных постоянных используя условия

$$\frac{dy}{dx} = 0 \text{ при } x = \frac{l}{2}$$

$$y = 0 \text{ при } x = 0 \text{ и } x = l$$

получим

$$y = \frac{c\pi^2}{T_0} \left[\frac{4x}{l} - \frac{x^2}{l^2} + \frac{P}{8\pi^2} \left(1 - \cos \frac{2\pi x}{l} \right) \right] + \frac{T}{T_0} \left(\frac{x^2}{2} - \frac{x^3}{3!} \right) \quad (170)$$

Введем понятие о характеристиках проясняющих под которыми будем понимать отношение максимальной стрелки проясняния к давлению (хорде) нити

$$\kappa = \frac{R_{\text{нит}}}{l}$$

Включив эту характеристику в выражение (170)

$$\kappa = \frac{c\pi^2}{T_0} \left[\frac{4x}{l} - \frac{x^2}{l^2} \right] + \frac{M}{8\pi^2}$$

и приняв приближение $\pi^2 \approx 10$, получим

$$\kappa = \frac{1}{T_0} \left[\frac{c\pi^2}{10l} + \frac{M}{8} \right]$$

откуда горизонтальная проекция напряжения будет

$$T_0 = \frac{1}{\kappa} \left[\frac{c\pi^2}{10l} + \frac{M}{8} \right] \quad (171)$$

Второй член в этом выражении представляет собой статическое напряжение проясняющей нити

$$T_0 = T_{0\text{ст}} + \frac{c\pi^2}{200l^2}, \quad (172)$$

в котором дополнительного использована связь (157), v_0 — наибольшая скорость горизонтального перемещения опоры

Однако даже самая приближенная оценка величины добавки к статическому напряжению приводит к совершенно искривленным завышенным значениям разрывных усилий тресов. Объяснить это можно лишь предположением о нерастяжимости нити

Рассмотрим влияние упругости на колебание нити при зеро дополнительных перемещениях одной из опор. Перемещение точки под весом складывается из растяжения якоря и изменения ее формы — спрямления. Обе составляющие связаны между собой, так как растяжение вызывает увеличение напряжения причиной которого является спрямление.

Обозначим часть полной скорости опоры, приводящую к спрямлению нити через φ . Анализируя величину φ мы можем опериро-

вать лишь результатами прошлого решения. Вторая часть полной скорости, связанная с растяжением, зависит от упругих характеристик материала и увеличения напряжения, вызываемого спрямлением.

$$\Delta T = \frac{d}{2768l^3} (\Delta v)^2 \quad (173)$$

Растяжение нити

$$\Delta T = \Delta T \frac{S}{cd^2}$$

где S — длина нити;

c — модуль упругости

d — диаметр.

Таким образом скорость растяжения (принимая $l \approx S$)

$$\delta_T = \frac{c}{\omega^2} \cdot \frac{P}{2264d^3} \cdot \frac{dv^2}{dt}. \quad (174)$$

Скорость опоры складывается из двух величин

$$v = \mu \frac{dv^2}{dt} - v_0 f(t) \quad (175)$$

т.е.

$$\mu = \frac{c\pi^2}{\omega^2 d^2 \delta_T} \quad (176)$$

v — амплитудное значение скорости точки

$f(t)$ — базареманова функция времени характеризующая изменение скорости.

Решение этого уравнения позволит найти максимальное значение скорости спрямления, которое определят динамическую составляющую напряжения. Так как нас будут интересовать максимальные суммарные напряжения нити, то мы можем рассматривать только тот участок функции $f(t)$, который соответствует увеличению напряжения (когда направление скорости совпадает с положительным направлением оси x). В этом интервале скорость вырастает от нуля до максимальной величины и убывает опять до нуля.

Для упрощения задачи предположим, что скорость v изменяется линейно: тогда для интервала $0 \leq t \leq \frac{\pi}{\omega}$ закон изменения скорости будет

$$f(t) = \frac{4t}{\pi}$$

и уравнение примет вид

$$\varphi = \mu \frac{dv^2}{dt} - \frac{4t}{\pi} v_0 \quad (177)$$

а его решение может быть найдено в виде $v = \eta f$. После подстановки в исходное уравнение, получим

$$\eta^2 + 2 \frac{1}{4\mu} \eta - 2 \frac{v_0}{\mu} = 0$$

что позволяет найти величину η .

Сократив

$$0 = \frac{\epsilon}{4\mu} \left[\sqrt{\frac{32v_0}{\pi}} + 1 - 1 \right] \quad (178)$$

О отношение скорости v к амплитудному значению v_0 будет максимальным на границе промежутка при $t = \frac{\tau}{4}$:

$$\frac{v}{v_0} = \frac{\pi}{16\mu t} \left[\sqrt{\frac{32v_0}{\pi}} + 1 - 1 \right]$$

если обозначить $\frac{v_0 t}{\tau} = \varphi$, то

$$\frac{v}{v_0} = \frac{1}{2\varphi} \left(1 + \sqrt{4\varphi + 1} - 1 \right) \quad (179)$$

В интервале от $\frac{\tau}{4}$ до $\frac{\tau}{2}$ скорость должна уменьшаться от v_0 до 0, поэтому при отсчете времени от момента $\frac{\tau}{4}$, уравнение (175) примет вид

$$v + \mu \frac{dv}{dt} = v_0 \left(1 - \frac{4t}{\tau} \right) \quad (180)$$

Используя замену $v^2 = U$, можно привести выражение (180) к уравнению, общий вид которых будет

$$g' = f(x) g^n + q(x) g^{-1} h(x)$$

Решение может быть найдено в виде

$$g = \left(\frac{h}{f} \right)^{\frac{1}{n+1}} U^{\frac{1}{n}}$$

Не останавливаясь на промежуточных выкладках, приведем окончательное выражение

$$\left(\frac{4t}{\tau} - 1 \right) - C \frac{\exp \left[\frac{1}{\sqrt{8\mu - 1}} \operatorname{arctg} \frac{2\mu t + 1}{\sqrt{4\mu - 1}} \right]}{(4\mu^2 + t - 1)^{\frac{1}{2}}} \quad (181)$$

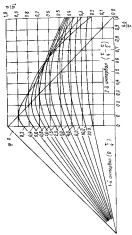


Рис. 245. Изменение относительной скорости спектра $\frac{v}{v_0}$ в зависимости от t/τ

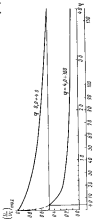


Рис. 246. Изменение относительной скорости спектра $\frac{v}{v_0}$ в зависимости от t/τ

для $\varphi > 0,25$

$$\left(\frac{4t}{\tau} - 1\right) - C \left[\frac{2qz + 1 - \sqrt{1 - 4q}}{2qz + 1 + \sqrt{1 - 4q}} \right]^{\frac{1}{2\sqrt{1-4q}}} = \frac{1}{(qz^2 + z + 1)^{\frac{1}{2}}}; \quad (182)$$

для $\varphi < 0,25$

$$z = \frac{\tau}{qz} \frac{1}{\left(\frac{4t}{\tau} - 1\right)}$$

которое и будет искомым отношением скорости z к фактической скорости точки подвеса. Использование полученных выражений связано с некоторыми трудностями, так как зависимость скорости z от времени не может быть получена в явном виде. Чтобы исключить произвольную постоянную C , необходимо использовать на начальном условие для этого интервала, а именно:

$$\text{при } t = 0, z = -\frac{\sigma}{\omega_1} = -\frac{1}{2q} (V\sqrt{4\varphi - 1} - 1)$$

Подбирая значения z , превышающие по абсолютной величине начальное, можно получить комбинацию соответствующих значений времени и скорости. Полная зависимость решения от пары метра φ позволяет на основании расчетов построить зависимость отношения $\frac{z}{z_0}$ от времени $\frac{t}{\tau}$ для различных значений φ , а также зависимость максимальных значений $\frac{v}{v_0}$ непосредственно от величины φ . Эти зависимости графически представлены на рис. 240 и 241. Определяя максимальное значение v , можно найти динамическую добавку напряжения, используя для этого выражение

$$\Delta T = \frac{c v^2}{270 \pi^2}.$$

ГЛАВА 20

СТАЛЬНЫЕ ТРОСЫ

§ 101. Материя и конструкция стальных тросов

Среди различных типов гибких связей стальные тросы заняли в настоящее время основное место. До середины XIX в. их применение было ограничено невысокой прочностью проволоки. Однако около ста лет назад был изобретен метод термической обработки стали, придающей ей вязкость, достаточную для холостого волочения. Метод заключается в нагреве стали до $\sim 800^\circ$ с последующим остыванием в сплющенной форме при 400° . Метод был

запатентован, и проволока получила название «патентная» (сам процесс иногда называется «патентированием»).

Первое применение проволочные тросы нашли в шахтных подъемниках, но очень скоро их стали использовать и в судостроении.

В основу классификации стальных тросов могут быть положены многие признаки: предел прочности и вязкость материала; диаметр и форма сечения проволочек; число и материал сердечников; число и форма придел; направление свинки; характер взаимного касания проволочек и т. д.

Материал тросов. Основными характеристиками материала является прочность и вязкость. Стали, используемые для производства тросов, имеют примерно следующий химический состав: углерод — 0,30—0,35%; марганец — 0,40—0,70%; кремний — 0,17—0,87%; сера и фосфор — не более 0,04%; хром — не больше 0,15%. Увеличение содержания углерода приводит к повышению прочности, но ухудшает вязкость; примерно так же влияет на качество стали кремний. Марганец, входящий в жидкую сталь, способствует уменьшению содержания серы и кислорода. Хром снижает вязкость, поэтому его содержание также ограничивается. Предел прочности исходного материала 50—70 кг/мм². В результате изменения структуры и наката при волочении предел прочности проволочек резко возрастает и достигает 130—220 кг/мм².

Вязкость — очень важное свойство материала тросов. Для проволоки стальных тросов она определяется числом перегибов на 180° и скручиваний на 360° выдерживаемых проволокой до разрушения.

ГОСТ предписывает использовать для тросов три марки материала — В, I, II к которым предъявляются определенные требования. Например, у материалов марки В (имеющих более высокую прочность) допускается только 15% отклонения предела прочности от среднего значения, а то время как для марок I и II допускаются отклонения 20 и 25%. Различные требования предъявляются и к вязкости. Связь между прочностью и вязкостью материала показана в табл. 27.

Таблица 27

Прочность и вязкость стальных проволок ($d = 2,8$ мм)

Предел прочности σ_u , кг/мм ²	Число перегибов			Число скручиваний		
	В	I	II	В	I	II
110—130	13	12	10	28	23	18
140—160	12	11	8	26	21	16
160—170	11	10	8	24	19	14
180—190	10	9	7	22	17	12
200	9	8	6	20	15	10

Свойства стали определяют назначение тросов, изготавливаемых из сталей разных марок; например, тросы из стали марки В используются в устройствах для подъема людей и в других ответственных конструкциях. Отметим, что в судовых условиях используются тросы только из стали марок В и I, у которых предел прочности проволочек изменяется от 140 до 170 кгс/мм². Эти ограничения объясняются большими нагрузками связей, выполняемых из стальных тросов, и чрезвычайно тяжелыми условиями эксплуатации (большой динамичностью нагрузок и активной коррозионной средой). Ограничение предела прочности проволочек стальных накатов вызвано необходимостью иметь достаточную вязкость.

Стальные тросы могут быть выполнены из свинца и оцинкованной проволоки. Покрытие, в состав которого входит цинк и алюминий, предназначено для защиты троса от коррозии. Прочность покрытий определяется назначением проволоки из цилиндра, диаметр которого равен двум диаметрам проволоки. При этом покрытие не должно отслеживаться или трескаться. Химическая стойкость проверяется загружением в раствор медного купороса.

Конструкция стальных тросов. Процесс изготовления троса складывается из изготовления проволоки [патентирование, волочение, оцинкование (если это необходимо)] и изготовление собственно троса (спинка предай и сплавка троса).

Рассмотрим конструкцию тросов.

Проволочные стальные тросы бывают круглыми и фасонными. Толщина проволочек в тросе может быть одинаковой либо различной. Тросы из проволочек разных диаметров дороже, так как изготовление их сложнее, но благодаря увеличенному диаметру внешних проволок они долговечнее. В некоторых случаях при увеличении диаметра внешних проволочек удается увеличить площадь контакта и уменьшить контактные напряжения.

Диаметр проволочек тросов, применяемых в морской практике строго ограничивается и изменяется от 0,4 до 3 мм. Объясняется это тем, что при уменьшении диаметра проволочек трос имеет повышенную гибкость; но механическая прочность таких проволочек очень мала и вероятность их разрыва при соприкосновении с различными предметами увеличивается. Разорвавшиеся проволочки опасны, так как проникают к тканям при работе руками.

Первым этапом изготовления троса является скрутка проволочек в предай. Такая предай представляет собой простейший трос. Если центральную проволоку оплети в один или несколько слоев другими проволоками, то получающаяся при этом трос называется спиральным (рис. 242, а) или тросом обимаркой скрепки. У троса двойной скрепки центральная предай или сердечник оплетен один или несколькими рядами предай, каждая из которых может иметь свой органический сердечник. Минимальное количество предай —

три. Тросы, применяемые в судовых условиях, должны иметь не менее шести предай, так как при соединении тросов разрыв одной предай не приводит к большому ослаблению троса.

Предай в современных стальных тросах бывают круглыми, трех гранными, овальными и плоскими (рис. 242). Самые распространенные — круглопрядные тросы. Однако у них площадь контакта предай с предай и троса — с рабочей поверхностью (поверхностью барабана или блока) очень мала, поэтому местные напряжения в них уменьшаются и срок службы троса сокращается. Можно

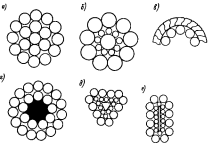


Рис. 242. Типы предай: а — спиральный трос; б — из проволок с разными диаметрами; в — из фасонной проволоки; г — с органическим сердечником; д — треугольный; е — плоский.

избавиться от этого недостатка, изменив форму предай но это резко повысит сложность изготовления.

Тросы предай скрепки образуются из тросов двойной скрепки называемых спрэйдлами. Число предай в таких тросах 36 и более. Самые жесткие — спиральные тросы, которые практически неприменимы при работе в динамических условиях. Они быстро раскручиваются даже при разрыве одной или двух проволочек. Очень распространены тросы двойной скрепки. Они достаточно гибки и упруги, их легко соединять и при соответствующем способе скрепки они не раскручиваются.

В тяжелых динамических условиях часто применяются тросы трайной скрепки (кабельной работы), такие очень гибкие и упругие

Из-за более широкой поверхности они быстрее поддаются износу.

Существуют два способа свинки — односторонним и крестовым. При односторонней свинке направление свинки проволочек в пряди и прядей в трофе однаковое; при крестовой свинке эти направления противоположны.

Тросы односторонней свинки меньше изнашиваются на барабанах, так как поперечное направление проволочек к оси троса обеспечивает лучшее соприкосновение с рабочей поверхностью. Эти тросы отличаются несколько большей гибкостью, но они быстро раскручиваются, что затрудняет их использование. Тросы крестовой свинки не раскручиваются и находят широкое применение, космотря на несколько более быстрый износ и меньшую гибкость.

По направлению различают прямую (изверг — направо) свинку и левую. Это имеет значение при закреплении троса на барабанах поскольку левитупный трос стремится отклоняться в сторону, совпадающую с направлением свинки.

Касание проволочек может быть точечным, линейным и поверхностным. Если зигуга проволочек разных слоев придали разные и оси проволочек перекрываются, то возникает точечное касание. Контактные усилия при этом очень велики и приводят к возникновению пластических деформаций, увеличивают трение между слоями и в итоге значительно сокращают срок службы.

Используя определенное сочетание «шагов» и применяя прово-
локи с различными диаметрами, можно получить линейный кон-
такт, при котором все недостатки, изложенные выше, будут значи-
тельно сокращены. Линейный контакт дает равномерное распре-
деление усилий, в несколько раз сокращает трение между слоями. В последнее время стали применять проволочки с фасонным про-
филем (рис. 242, б), который позволяет осуществлять поверх-
ностный контакт между проволоками, а также между тросами и ра-
бочей поверхностью.

Органические сердечники делаются из водонефелевых, льна, манниха и джута, пропитанных смазкой. Сердечники выполняют две очень важные для эксплуатации тросов функции. Во-первых, они служат как бы упругим основанием для проволочек и прядей, позволяя им натягиваться и изменять форму. Во-вторых, при увеличении напряжения проволочки сжимаются и выдавливают на сердечника смазку, проникая между проволочками, смазка уменьшает коррозию и трение.

К недостаткам тросов с органическими сердечниками следует отнести уменьшение поперечной жесткости. В большей степени это относится к стальным тросам с шестью и большими сердечниками которые не рекомендуются при многослойной навивке на барабаны. Тросы, находящие широкое применение в судостроении, показаны на рис. 243.

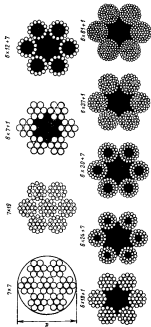


Рис. 243. Конструкции стальных тросов

§ 102 Механические свойства тросов

Суммарное и действительное разрывные усилия. Для стальных тросов существуют две характеристики предельной прочности. Первая представляет собой сумму разрывных сопротивлений проволочек и называется суммарным разрывным сопротивлением. Так как фактическая разрывная прочность несколько меньше суммарного сопротивления, то вводится вторая характеристика — действительное разрывное сопротивление.

Потери прочности зависят от числа слоев характера касания и т. д. Но основная причина заключается в различном искривлении проволочек в тросе и их разной длине, способствующих неравномерному распределению нагрузки.

Суммарное разрывное сопротивление

$$T_c = F_c \sigma_a \quad (183)$$

где F_c — суммарная площадь поперечных сечений проволочек; σ_a — предел прочности проволочек.

Приближенная формула для определения действительного разрывного сопротивления

$$T = T_c \cos^m \alpha \cos^n \varphi \quad (184)$$

где α — угол сканки приядей;

φ — угол сканки троса;

m — число слоев проволочек в прияди;

n — число слоев приядей в тросе.

Экспериментальная проверка подтверждает правильность этой зависимости. Угол сканки приядей стальных тросов, применяемых в судостроении, колеблется от 12 до 18°.

Среднее значение угла сканки троса $\varphi \approx 15 + 16^\circ$.

Модуль упругости. Впервые в судостроении вопрос о величине модуля упругости стальных тросов возник при проектировании мачт, раскрепленных тросовыми винтами. Расчеты, которые были выполнены в предположении, что $E_{sp} = E_{сталь}$, показали большие расхождения с экспериментальными данными. Это объяснялось несоответствием принятой в расчете величины модуля упругости стальных тросов его фактическому значению.

Остановимся на наиболее существенных факторах, влияющих на модуль упругости стальных тросов.

Модуль упругости троса прямо пропорционален отношению суммарной площади сечений проволочек к площади троса. Для различных конструкций тросов это отношение различно. С увеличением числа проволочек в тросе и с уменьшением относительного шага (отношение шага к диаметру), характеризующего угол наклона проволочек, модуль упругости уменьшается.

Срок эксплуатации. С увеличением времени работы троса в результате упаковки проволочек и приядей модуль упругости

быстро возрастает. Многие исследователи считают, что модуль использованых тросов в два раза выше модуля новых.

Эффект нагрузки. С увеличением нагрузки модуль упругости троса также возрастает. Объяснить это можно тем, что при малых нагрузках постепенно исчерпывается возможность деформирования, так как проволочки ссылаются в трос уплотняются. В среднем можно рекомендовать следующие цифры: при достижении ими грузки, равной половине разрывной, модуль увеличивается на ~60% от первоначального значения. Для нахождения модуля упругости новых канатов академиком Дениником получены такие зависимости:

$$\text{для спирального каната } E_{tp} = E \cos^4 \alpha;$$

$$\text{для каната двойной сканки } E_{tp} = E \cos^4 \alpha \cos^4 \varphi$$

где E — модуль упругости стяжки.

Однако значения, соответствующие этим выражениям, не сколько завышены, поэтому для расчетов новых тросов можно рекомендовать следующие средние значения:

$$\text{для одинарной сканки } E_{tp} = 0.68E$$

$$\text{для двойной сканки } E_{tp} = 0.40E \quad (185)$$

$$\text{для тройной сканки } E_{tp} = 0.21E$$

Гибкость является одной из самых важных характеристик стальных тросов, так как она определяет зависимость между диаметром троса и диаметрами блоков, барабанов, кисток, а также изгибание состояния тросов при изгибе вокруг этих элементов.

Для качественной оценки гибкости можно использовать два коэффициента:

1 Коэффициент плотности, представляющим соотношение суммарной площади проволочек к площади троса,

$$K = \frac{\pi d^2}{\pi D^2} \quad (186)$$

где d — диаметр проволочек;

D — число проволочек;

d — диаметр троса.

2 Коэффициент гибкости

$$K_g = \frac{d}{D} \quad (187)$$

В табл. 28 приведены значения коэффициентов для наиболее употребляемых тросов с качественной оценкой их гибкости.

Выносимость стальных тросов. Разрушение троса начинается с разрыва проволочек. Установлено, что после разрыва ~10% общего числа проволочек процесс разрушения становится чрезвычайно быстрым. Это и явилось причиной установления нормы

Таблица 28

Коэффициенты плотности (K_p) и гибкости (K_f) стальных тросов

Конструкция	K_p	K_f	Описание
6x7+1	0,48	9,3	Неподвижный
6x19+1	0,46	15,5	Наподобия
6x37+1	0,48	21,5	Гибкий
8x19+1	0,42	19,0	*
8x34+7	0,42	18,5	*
8x61+1	0,48	28,0	Очень гибкий
8x37+1	0,42	26,5	*
6x30+7	0,39	21,5	*
18x19+1	0,51	26,0	*

согласно которым трос считается непротиводным, если на длине в один метр число разорванных проволочек достигло 10% от их общего числа.

Причиной разрушений в большинстве случаев является контактный эффект. По данным испытаний, прочность изношенных тросов мало отличается от прочности новых тросов; это свидетельствует об усталостном характере разрушения. В местах пересечения проволочек возникают большие контактные напряжения и усталостные трещины. Исследования, проведенные на стальных образцах, показали, что разрушение поверхности, аналогичное появлявшемуся на проволоке в месте контакта, сокращает число перегибов до разрушения на 30%.

Выносимость троса определяется особенностями и условиями работы. К конструктивным особенностям мы относим коэффициенты

Таблица 29

Число повторных перегибов стальных тросов до их разрушения в зависимости от залеса прочностей и конструкции

Залес прочностей	6x19+1		6x30+1		6x37+1	
	$\frac{D}{d} = 30$	$\frac{D}{d} = 30$	$\frac{D}{d} = 30$	$\frac{D}{d} = 30$	$\frac{D}{d} = 0$	$\frac{D}{d} = 0$
5	95 000	92 000	33 000	60 000	40 000	80 000
6	34 000	67 000	45 000	85 000	54 000	95 000
7	42 000	90 000	59 000	112 000	—	—
8	56 000	112 000	73 000	120 000	90 000	170 000

гибкости и плотности, характер касания и способ свинки. Условия работы включают отношение диаметра блока к диаметру троса, качество рабочей поверхности барабана или блока, напряжение в тросе.

Проанализируем влияние некоторых из этих факторов, опираясь на результат экспериментов. В табл. 29 составленной для

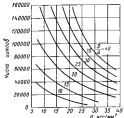


Рис. 244. Число циклов (износимых перегибов), износимых тросом конструкции 6x19+1 до разрушения.

Удаётся установить практическую пропорциональность количества циклов (при однократном $\frac{D}{d}$) произведению коэффициентов плотности и гибкости. Срок службы троса или число циклов пробегания по блоку в значительной степени зависит от отношения диаметров блоков и троса и действующих в тросе напряжений.

§ 183 Особенности расчета стальных тросов

В зависимости от условий работы существуют три различные схемы расчета стальных тросов:

при простом растяжении;

при огибании неподвижного барабана;

при работе на врачающемся блоке.

Простое растяжение. В этом случае расчет можно вести по средним напряжениям

$$\sigma = \frac{T}{F_e} \quad (187a)$$

где T — усилие в тросе;

F_e — суммарная площадь проволок в тросе

Зависимость коэффициента Θ

Точный контакт				Линейный контакт			
6x16	6x36	6x37	6x61	18x19	6x 9	6x27	6x37
0,074	0,073	0,092	0,090	0,070	0,090	0,081	0,073

Допускаемое усилие при сжатии неподвижного барабана

$$T = \frac{T_{sp}}{\alpha}$$

где α — запас прочности учитывающий степень ответственности конструкции и условия работы.

Прочность троса на вращающемся блоке. Работа троса на вращающемся барабане или блоке принципиально меняет критерии оценки прочности и подход к расчету. Периодически изменяющиеся касательные напряжения придают и необходимость учитывать установочные напряжения, роль которых возрастает, если учесть, что в месте соединения проволочек возникает очень сложное напряженное состояние. В этом случае критической считается нагрузка, при которой находит выдергивает только 100 повторных воротков.

Полученные расчетные зависимости являются обобщением большого числа экспериментальных исследований. Анализ этих данных [13] позволяет установить, что между контактными напряжениями τ и выражением $\sigma_{sp} + \Phi_{rel}$ (где σ_{sp} — критические напряжения, а Φ_{rel} — напряжение изгиба) существует линейная зависимость

$$\frac{100(\sigma_{sp} + \Phi_{rel})}{\sigma_{sp}} + \frac{\tau}{\delta} - 1 = 0$$

В этом выражении α и δ определяют положение отрезка на плюсности с осью τ и δ . $\frac{\sigma_{sp} + \Phi_{rel}}{\sigma_{sp}}$ 100%. Контактные напряжения могут быть найдены по формуле Герца — Беттена откорректированной экспериментально

$$\tau = A \sqrt{\frac{\sigma d}{D}}$$

где A — коэффициент, учитывающий структуру троса и материальную поверхность (принимается по данным Колчина см. табл. 31).

Использование этой формулы для определения напряжения растяжения в тросе усложняется необходимостью определить суммарную площадь сечения проволочек. Поэтому в некоторых случаях пользуются формулой

$$\sigma = \frac{T}{F} \quad (188)$$

где $F = \frac{\pi d^2}{4}$ — полная площадь троса.

Полная площадь троса может быть связана с суммарной площадью проволочек

$$F_c = K_a F$$

где K_a — коэффициент плотности.

Прочность троса, огибающего неподвижный барабан, определение напряжения в пачкнутом и изогнутом тросе связано с большими трудностями. Наиболее точные и надежные результаты получаются при использовании энергетического метода. Но останавливаются на его здравом изложении, приведем окончательную зависимость для определения напряжений изогнутого троса

$$\sigma_{sp} = \Theta E \frac{\delta}{D} \quad (189)$$

где $E = 2,1 \cdot 10^4$ кас/мм²;

δ — диаметр проволочки

D — диаметр блока;

Θ — коэффициент характеризующий деформацию проволочек

$$\Theta = \sum_i \frac{6m_i}{a_i [20(1 + \sin^2 \alpha_i) + E \cos^2 \alpha_i]} \quad (190)$$

где α — угол подъема проволочек

a — модуль единицы;

m — расстояние от центра каната до центра пряди

m_i — число проволочек рассматриваемого слоя.

В табл. 30 приведены средние значения Θ для разных трося. Расчет прочности ведется по кратическому узанию, вращающемуся в разрыве трося на неподвижном барабане

$$T_{sp} = F_c (\sigma_{sp} - \Theta E \frac{\delta}{D}) \quad (191)$$

где F_c — площадь сечения проволочек;

Θ — коэффициент синуса, представляющий отношение разрывного усилия трося к суммарному сопротивлению всех проволочек

σ_{sp} — предел прочности проволочек

Таблица 31

Значение коэффициента A

Материал работной поверхности	Температурный коэффициент				Зависимость коэффициента			
	без нагрузки	без нагрузки	без нагрузки	без нагрузки	без нагрузки	без нагрузки	без нагрузки	
Чугун	120	126	132	140	142	108	116	125
Сталь	126	134	138	146	148	113	120	131
АМ-58	90	107	110	118	120	90	97	104

Таким образом

$$\frac{1}{\alpha} \cdot \frac{100(\sigma_{kp} + \sigma_{kp}^F)}{\sigma_s} + \frac{1}{b} A \sqrt{\frac{\sigma_{kp} d}{D}} = 1$$

Для критических напряжений получаем зависимость

$$\sigma_{kp} = \left[\alpha - \frac{100\sigma_{kp}^F}{\sigma_s} - \frac{Ae}{b} \sqrt{\frac{\sigma_{kp} d}{D}} \right] \cdot 100, \quad (194)$$

где значение $\alpha = 138$, $b = 136$ получены экспериментально.

Уравнение можно всего решается подбором. Критическое усилие $T_{kp} = \sigma_{kp} F$ допускаемое усилие $T = \frac{T_{kp}}{\lambda}$, где λ — запас прочности.

Выражение (194) может быть переписано в виде

$$\sigma_{kp} = \psi \sigma_s, \quad * \quad (195)$$

где коэффициент ψ учитывает потерю прочности на вращающемся блоке.

Для расчетов можно рекомендовать приближенные значения, которые приведены в табл. 32 и получены в предположении, что в выражении (194) σ_{kp} под корнем заменено величиной σ_s .

Таблица 32

Значение коэффициента ψ

Материал блока	D/d									
	15	20	30	40	50	60	70	80	90	10
Стальной	0.39	0.45	0.50	0.55	0.59	0.60	0.64	0.68	0.71	0.74
Чугунный	0.40	0.47	0.52	0.57	0.61	0.63	0.67	0.69	0.73	0.76

Принимая эти значения независимо от структуры трося мы допускаем ошибку порядка 5%.

Итак, суммируя сказанное относительно расчета стальных троев, отметим следующее:

1. В случае простого растяжения предельное состояние трося характеризуется его разрывным усилием. Допустимая рабочая нагрузка представляет собой некоторую часть разрывного усилия трося. Запас прочности должен быть взаимно с учетом специфики работы и степени ответственности гибкой связки.

2. При освобождении неподвижного барабана нужно учитывать изгибающие напряжения, возникающие в тросе. Сохраняя запас прочности таким, каким он был принят в предыдущем случае, мы по лучим уменьшенное допустимое растягивающее напряжение.

3. Для трося на вращающемся блоке предельное состояние определяется критической нагрузкой, соответствующей 100 тек дам. Критическое напряжение связывается с пределом прочности коэффициента ψ , который для всех конструкций троев изменяется в зависимости от отношения $\frac{D}{d}$.

При определении размера трося нужно обеспечить минимально допустимое количество циклов пробеганий трося на блоке. При этом напряжения в тросе не должны быть больше, чем напряжения при обгибании троем блока такого же диаметра без движения.

В области, ограниченной этими условиями, может быть найдено большое количество решений, для которых будут варьироваться запасы прочности отношения $\frac{D}{d}$ конструкции трося или соответствующие коэффициенты гибкости и плотности. Рациональное решение может быть найдено как результат удовлетворения двух требований — необходимости уменьшить размеры троев и размеры блоков.

§ 104 Конструктивное оформление и эксплуатация стальных троев

Многое в оформлении и эксплуатации стальных троев зависит от специфики судовых устройств. Однако некоторые конструктивные элементы троев остаются постоянными для всех устройств. К ним можно отнести оформление концов троев, приспособления для выбирания слабины и т. д.

Конструкция концов троев. Самой простой конструкцией является обрубленный конец с предохранением против расклешения (рис. 245, а). В практике такая конструкция используется очень редко, поэтому ее можно рассматривать как временную или вспомогательную.

Для троев, закрепленных за кишки багги, тумбы, утки и т. д., должен быть предусмотрен огол, образующийся со

ним тросом. Заделка конца для образования огона производится при помощи зажимов или сплесен, когда прида распущенного конца последовательно навязываются в трос. С уменьшением размежа оголовков увеличивается кривизна троса и газовое, удельная нагрузка на его внутреннюю поверхность, что приводит к наруше-

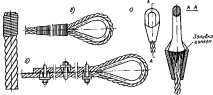


Рис. 245. Заделка концов тросов: а — образованный конец с маркой; б — заделка путем зажимания; в — заделка сплесенами; г — присоединение втулки.

нию формы и прочности троса. Этот недостаток частично устраняется при заделке конца с помощью коуша (рис. 245 б и в).

Однако такая заделка приводит к быстрому изнашиванию троса в месте соединения (из-за нарушения плавности или прочности) и сильному загибу оголовка коуша троса. Тросовые втулки или тро-совые наконечники (рис. 245, г) отличаются рядом дополнительных преимуществ, к которым в первую очередь следует отнести: значительно более прочное, чем сплесень, соединение с тросом; меньшую подверженность повреждениям; более короткое соединение, что имеет значение для бегущего танделака (если учесть, что сплесень не может войти на базе).

На рис. 246 показаны три типа втулок: открытая, закрытая и за-крытая с дополнительным отверстием (коуш).

Процесс соединения троса с втулкой очень прост. Часть троса, равная по длине 1,3 длины конической части расплетается, очи-

332

щается от смазки, вставляется во втулку и зашивается цинком или белым металлом.

Приспособления для выбирания слабины

Винтовой талреп. Во многих снастях, особенно в стоячих тяжелах, большое значение имеет предварительное натяжение. Винтовой талреп является основным средством для выбирания слабины и создания нужного предварительного натяжения.

Талреп состоит из центральной трубы, зачеканывающейся гайка с противоположными нарезками. Винты, входящие в эти гайки, имеют приспособления для закрепления тросов.

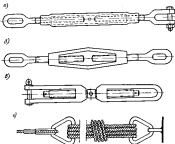


Рис. 247. Типы талрепов: а — закрытый; б — открытый; в — с одним винтом; г — тро-совой.

На рис. 247 показаны талрепы различных типов. Интересна конструкция талрепа без трубы, в котором гайки соединяются со скобами для крепления тросов и закручиваются на винт с противоположными нарезками. Иногда талрепы снабжаются с глаткой гайкой для быстрой отдачи.

Линейный талреп. Один из недостатков винтовых талрепов — относительно малое сокращение, которое ограничивается для них винтами. Этот недостаток отсутствует у более древних линейных талрепов, используемых, правда, только для слабой язгу жилых спасей (рис. 247, г). Срочная отдача такого талрепа не представляет труда — для этого нужно просто разрубить трос.

Сжатие стальных тросов значительно увеличивает срок их службы. Чаще всего трос смазывают непосредственно при изго-

твадения перед тем как проволочки и сердечники закручивают в пряди. После изготовления трос такие покрывают смазкой. В процессе эксплуатации трос смазывают противогнилением через занавес; обычно смазку можно нанести просто щеткой.

Вместе, особенно нуждающихся в смазке, состав износится в горячем состоянии для лучшего прохождения внутрь. Смазка должна обладать такими свойствами, как спекаемость с металлом, проникающая способность, сопротивление стеканию при температурах до $+50^{\circ}$ эластичность и т. д. Лучше всего эти требования удовлетворяет смазка на основе технического вазелина.

Особенности эксплуатации и хранения. Большую роль в увеличении долговечности тросов играет их правильная эксплуатация и хранение. При разматывании нужно избегать закручивания троса, образования кальцинатов, петель. Рекомендуется перед навеской на мачту накинуть трос в линию, чтобы частично избавить их от напряжений, возникающих из-за закручивания при хранении.

При полном отсутствии натяжения трос все же стремится закрутиться, поэтому необходимо различными средствами обеспечивать хотя бы небольшое натяжение даже при отсутствии рабочей нагрузки.

Наиболее существенные требования, предъявляемые к тросам при эксплуатации, следующие:

1. Соответствие диаметра троса диаметру блока и барабана
2. Соответствие профиля желоба блока или барабана диаметру троса.
3. Хорошее состояние всех поверхностей с которыми трос соприкасается при работе

Очень важно правильно определить размеры барабанов и расположение отводного блока, особенно если должна быть обеспечена автоматическая укладка троса на барабан. Рассмотрим для этого последний (крайний) шлаг троса, для которого условие автоматической укладки будет наиболее трудновыполнимым. Необходимо, чтобы точка пересечения осей тросов в плоскости (С) отстояла от диаметра дальше, чем точка В, положение которой по казано на рис. 248. Для отношения $\frac{D}{d}$, определяю равного 30 величина α примерно составляет $8d$. Таким образом предельный угол отклонения троса определяется значением $\lg \alpha = \frac{1}{8}$ или

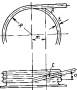


Рис. 248. К определению угла α самонавивки троса.

$\alpha \sim 7^{\circ}$, что обеспечивается отстоянием отводного блока от барабана, равного примерно четырем длиням барабана.

Уменьшение этого расстояния приведет к неравномерному навиванию троса и большому их износу.

Хранение стальных тросов осуществляется на специальных волокнах. Если же предполагается скорое использование троса, то его необходимо дополнительно смазать и закрыть брезентовым чехлом. Вышки размещаются непосредственно в местах использования тросов.

ГЛАВА 27

РАСТИТЕЛЬНЫЕ И СИНТЕТИЧЕСКИЕ ТРОСЫ

§ 105 Классификация растительных тросов и их изготовление

Использование первых растительных тросов в судовой практике относится, по-видимому, к глубокой древности. Но вскоре слу-
чае есть все основания считать, что их применяли задолго до ис-
пользования других видов гибких связей.

Изключительное разнообразие растительных тросов опре-
деляется большим количеством водоклиматических растений, а тип ко-
лонки определяет их название и является основой для класси-
фикации.

В отечественной практике самое широкое распространение по-
лучил леняжник (макрок), исходным сырьем для них является ю-
мора, дающая волокна длиной до 2 м. Для изготовления особенно
прочных тросов юморку тщательно выщипывают и отбирают вол-
окна длиной не меньше 60 см. Очищая изнутри, они идут на изготовление второ-
степенных «бородавочных» тросов.

При хорошем качестве сырья и тщательном изготовлении леня-
жниковые тросы являются чуть ли не самыми прочными, однако по
весу и гибкости в немецком состоянии, особенно при низких тем-
пературах, они уступают широко распространенным в мировой
практике машинским тросам.

Манильские тросы делаются из волокон природного банана —
абакса, распространенного в юго-восточной Азии. Волокна эбаки
достигают 4,5 м длины. Высокая прочность, малый вес (трос плав-
ает на воде) стойкость к гниению делают эти тросы одними из
лучших для использования в судовой практике.

Следующими по распространности являются сагакские
тросы, которые изготавливаются из волокон тропического столет-

ника. Сизальские троны близки по свойствам манильским, но они более хрупки.

Очень неплохая прочность у хлопчатобумажных тронон. Распространенные в Азии джутовые троны (сырье для которых является растение джут) также уступают в прочности пеньковым и манильским тронон.

Из кокосового волокна изготавливаются кокосовые троны; они обладают большой эластичностью, но по прочности уступают пеньковым и манильским.

При оценке свойств растительных материалов прежде всего следует отметить их высокую эластичность, дешевизну и удобство для работы руками. Однако низкая по сравнению со сталью и органическими полимерами прочность, подверженность гниению и нестабильность свойств ограничивают области их использования.

Первым этапом изготовления тронон является сшивание кабошок в каболки. Каболки отличаются номерами, характеризующими их толщину. В основу нумерации положено число, определяющее количество десятиметровых мотков кабошок на 1 кг. В метрической нумерации номер означает длину волокна в метрах, приходящуюся на 1 кг; таким образом, эта величина обратно пропорциональна диаметру кабошок. В зависимости от прочности тронон подразделяются на различные группы, по которым можно определить ответственность работы для которой они предназначены

Относительная прочность кабошок

Нормальные	100
Повышенные	110
Специальные	120
Особого назначения	135

Вторым этапом изготовления является сшивание каболок в пряди. Направление сшивки придаёт противоположное направлению спинки каболок. Минимальное количество каболок в пряди — две.

Придан в растительных тронон не имеют самостоятельного значения, но сенки прядей образуют канаты простой работы. В зависимости от числа прядей — три или четыре — канат называется трех- или четырехпрядным.

Направление сшивки каболок и каната — слева — вверх — на право — принимается для тронон прямого спуска. Канаты обратного спуска с обратным направлением сшивки, применяются очень редко. При переходе от изготовления прядей к изготовлению тронон направление сшивки меняется, что способствует сохранению тронон формы и препятствует раскручиванию. Для увеличения долговечности (особенно если тронон при эксплуатации находится в воде или сырости) каболки смолят древесной смолой. Смоленный тронон уступает прямому в прочности, зато смола предохраняет его от гниения.

§ 108 Свойства и применение растительных тронон

Размер растительного тронон определяется не диаметром а длиной его окружности, так как при определении диаметра в зависимости от положения измерительного инструмента могут быть получены различные значения.

Вес растительного тронон можно определить по приближенной формуле

$$t = 0,0088d^2 \text{ (для тронон работы)}$$

или

$$t = 0,0080c^2 \text{ (для кабельной работы)}$$

где t — вес 100 м тронон, кг

c — окружность тронон, мм

Вес просмоленных тронон на 15—16% больше, чем обычных.

Прочность тронон зависит от прочности каболок, но не равна их суммарной прочности. Каболки при скручивании сгибаются по-разному, и нагрузка между ними распределяется неравномерно. Поэтому прочность тронон будет ниже суммарной прочности каболок. Для тонких канатов простой сшивки (тросовой работы) эта разница невелика, но для толстых канатов кабельной работы она достигает 40%.

Характеристикой прочности является разрывная нагрузка зависящая от длины окружности тронон с м.

Прочность растительных тронон

Пеньковый трехпрядный обычный	$0,45d^2$
“ “ смольный	$0,45d^2$
Манильский трехпрядный	$0,54d^2$
Сизальский	$0,38d^2$
Хлопчатобумажный	$0,30d^2$

Эти данные относятся к нормальной прочности каболок.

Положительным качеством растительных тронон является их большая упругость. Упругое удлинение при рабочей нагрузке составляет: для пеньковых тронон — 8—9%, для манильских — 10% и для сизальских — 6—7%. Удлинение при разрывной нагрузке составляет в среднем 15—20%.

Если учсть, что рабочие нагрузки находятся в пределах 1/5—1/6 от разрывной, то станет понятной величинность связи между деформацией и напряжением тронон. Известно, что до некоторого предела деформация тронон складывается как из растяжения волокон, так и изменения их формы, т. е. из спиралевидной и уплотнения. Это вполне объясняет большую упругость канатов кабельной работы.

В судовой практике растительные тронон благодаря их гибкости, эластичности и удобству при ручной работе находят очень широкое

Таблица 19

Сравнение прочности и веса манильских и нейлоновых тросов

Скорость, м/с	Рабочая прочность, кг				Вес на 100 м длины, кг		
	Манка		Нейлон		Манка		Нейлон
	Средняя	Максимальная	Средняя	Максимальная	Средний	Средний	Средний
115	9 900	8 700	19 100	16 700	87,5	83	88,5
150	17 100	14 000	31 000	27 000	156,0	40	159,0
180	23 400	18 600	40 600	35 200	212,0	302	217,0
205	29 700	23 400	51 000	44 200	278,0	365	285,0
250	37 400	28 800	62 000	54 000	332,0	342	360,0

удалении источника). При нагреве до 100° в течение 10 дней растворимый трос теряет 40% прочности. Нейлоновые тросы плавятся при температуре 250° при открытом пламени; после удаления пламени они затвердевают и плавление прекращается. При десятикратном нагреве трос теряет только 25% прочности. (Капрон горит, однако специальная химическая обработка предохраняет его от загорания).

Наконги, синтетические тросы очень редки. Например, при нагрузке, равной 10% разрывной, удлинение нейлона составляет 15% от исходной длины, а у манильских тросов — только 5%. Упругая составляющая в деформации синтетических тросов значительно выше, чем растительных. Они хорошо выдерживают частые повторяющиеся растяжения. Обычно трос может растягиваться на 30% своей длины; критической величиной считается 40%; разрывается трос примерно при 50%-ном растяжении.

Особенности синтетических тросов необходимо учитывать при работе: большая величина упругих деформаций при растяжении делает тросы очень опасными при разрыве, при большом на грузах, так как они с огромной скоростью стремятся занять исходное положение.

Коэффициент трения между тросами и рабочими поверхностями значительно меньше. Это требует увеличения количества шлагов на барабане (до четырех, а при тяжелых условиях — до шести) и, кроме того, особого внимания при работе, так как тросы могут соскользнуть с клюшками.

К недостаткам синтетических тросов нужно отнести старение (нейлон, например, теряет прочность от воздействия солнечного света) и возможность повреждения грузовика.

применение. Эти свойства определяют и область их использования. Грузовые стропы, оттяжки легких стрел, лодки изготавливаются из белых тросов; буферные канаты, швартовы — из зеленых и манильских канатов, в основном кабельной работы. Всё же отмечался малый вес манильских тросов, который в сухом состоянии остается на плыву; такие тросы очень выгодны как швартовы, буферные канаты, лесера спасательных шлюпок и спасательных кругов. Большая прочность делает их полезными и в бучем такелаже.

Механический износ троса зависит от износоустойчивости его по поверхности. Более гладкая поверхность у четырех- и пятипрядных тросов.

Срок службы растительных канатов почти целиком зависит от ухода за ними. Основной причиной снижения срока является поддерживаемость гниению. Тросы всегда следят тщательно просушивать и только после этого укладывать в бухты или наматывать на вышки. Растительные тросы необходимо предохранять от попадания влаги, сажи и смазочных масел. Не рекомендуется также хранить их в местах с высокой температурой.

§ 107. Тросы из синтетических материалов

В тридцатых годах группа ученых под руководством доктора В. Карузера получила задание исследовать свойства высокомолекулярных цепей. Было установлено, что некоторые полимеры, к которым прежде всего следует отнести полипропилен, могут образовывать длинные цепи и являются источником волокнообразования.

В 1939 г. появился первый нейлон, а вскоре был испытан и первый трос из этого материала. Последующие исследования показали, что новые материалы (нейлон, капрон, дакрон, верофон) имеют большие преимущества перед тканьми материалами, из которых обычно изготовляли растительные и стальные тросы; они прочнее растительных волокон более упруги, чем сталь, и очень стойки к воздействию влаги. Например, прочность нейлона оказалась в два раза выше, чем у манилы (табл. 33).

Синтетические тросы отличаются следующими особенностями для судовой практики свойствами:

не впитывают влагу, не разбухают, находясь в воде, т. е. практически не подвержены ее воздействию (нейлон и другие материалы особенно стойки к действию кислот и щелочей);

обеспечивают гораздо большую стойкость к истиранию, что сильно увеличивает их долговечность;

стойки к воздействию нефтепродуктов;

имеют гораздо большую температурную стойкость (растительные тросы обугиваются при 150° и продолжают гореть после

§ 108 Типы и свойства цепей

Цепи, находящие применение в судовых устройствах, могут быть разделены на якорные цепи и цепи общего назначения.

Составляются из формы и размерах звеньев цепей. Наибольшее распространение получили цепи с овальными звеньями, которые чаще всего имеют следующие соотношения размеров (рис. 249 а):

$$L = 6d; B = 3,5d$$

где L и B — длина и ширина звена;
 d — калибр цепи (диаметр окружности в поперечном сечении звена).

Если длина звена превышает $6d$ используется форма с прямолинейными участками (рис. 249, б). Радиальное отношение длины звена к калибру позволяет разделить цепи на длиннозвенные (при $L > 5,5d$) и короткозвенные (при $L < 5,5d$). Обычно в звенья вставляются распорки (бониторфры), которые увеличивают прочность звеньев на 10—15% (по сравнению с прочностью звеньев безраспорок). Кроме того, цепи из звеньев с распорками меньше запутываются.

Рис. 249. Форма звеньев цепи:
 a — овальная; b — с прямыми участками.

Если цепь при эксплуатации не должна будет пробегать кулачковый барабан, то при изготовлении звеньев их размеры должны выдерживаться с точностью до $0,10d$. Такие звенья называются межкалиброванными. Для калиброванных цепей выдерживают размер по длине 10 звеньев с точностью до $+0,1 +0,03$ размера шага цепи раннего $L = 2d$.

Прочность и вес цепей. Прочность цепи характеризуется двумя величинами — разрывной и пробкой нагрузками. Обе эти характеристики проверяются испытаниями на цепепробивом стане. Для цепей линейная зависимость между квадратом калибра и характеристиками прочности нарушается при величине калибра больше 70 мм. При меньших калибрах для оценки прочности можно с достаточной точностью использовать следующие зависимости:

разрывное усилие листовой цепи

$$T_{\text{разр}} = (55 - 58) d^2 \text{ кг} \quad (195)$$

где d — калибр звена мм

разрывное усилие сварной цепи

$$T_{\text{разр}} = (39 - 41) d^2 \text{ кг} \quad (197)$$

Погонный вес цепи пропорционален d в тех же пределах по размерам калибра (до 70 мм). Его величину можно определить для всех цепей по формуле

$$\tau = (21 - 22) d^2 \text{ кг/м} \quad (198)$$

где d — калибр, см

Для всех гибких цепей может быть введен термин «диаметр звена», т. е. в длине, при которой связь, будучи подавленной, разрывается от собственного веса. До калибра 70 мм разрывная длина цепей является величиной практически постоянной и составляет для листовых цепей ~ 2500 яд., а для сварных (электроискровых и кузнецко-горновой сварки) ~ 1800 яд. С увеличением калибра звена длина цепи быстро убывает; например, для листовой цепи калибром 82 мм она составляет всего лишь 1900 яд.

§ 109 Изготовление цепей

Для изготовления цепей используются кузнецко-горновая сварка, литье, электрическая сварка и штамповка.

Кузнецко-горновая сварка является самым старым способом изготовления цепей. Не случайно все первые патенты на якорные цепи принадлежали кузнецам.

Материалом для цепей служило мягкое железо. С появлением новых методов сварки их стали применять для изготовления некоторых видов и размеров звеньев. Однако кузнецко-горновой способ не утратил своего значения.

В настоящее время материалом для изготовления цепей методом кузнецко-горновой сварки служат горячекатаная сталь, химический состав которой имеет большое значение, поскольку он может повлиять на качество сварки. Прежде всего это относится к содержанию углерода, которое не должно превышать 0,18%; в противном случае ухудшается способность стали свариваться и появляются трещины при изгибе в холодном состоянии. То же самое относится и к марганцу, содержание которого ограничивается 0,8%. Увеличение содержания фосфора выше 0,04% делает сталь хрупкой (в холодном состоянии), сера — красноломкой (потому ее содержание ограничивается 0,064%), кремний, никель, хром — ухудшают свариваемость.

В отечественной практике для изготовления якорных цепей используются стали марок 3Ц и Ог.2. Предел прочности стали 3Ц, 38—45 кг/мм², относительное удлинение не менее 24 %. Образец в холодном состоянии должен слабиться на 180° без появления трещин в месте изгиба. После сварки предел прочности изделия должен составлять не менее 80 % предела прочности образца

Последовательность изготовления цепи при кузнецко-горячей сварке:

1. Круглая сталь нарежется на пресс ножницах с соответствующими пропусками.
2. Заготовка подвергается гибке на мощных прессах.
3. Процесс ковки начинается с нагрева заготовки до 900—1000°, изгибы концов и отгибки ласок. Затем следует нагрев под сварку до 1300°.
4. Полученное звено склеивается с уже готовым звеном следующим валикоструйным отформовыванием.
5. Заключительная операция — закрепление распорок и отщелки с проверкой размеров по шаблону.

Этот метод очень трудоемкий. Например, для изготовления цепи калибром 40 мм требуется бригада в составе кузнеца и трех молотобойцев. Для механизации некоторых процессов используются различного типа механические молоты, которые позволяют облегчить особенно трудоемкие операции. В настоящее время кузнецко-горячую смарку иногда комбинируют со штамповкой.

Литые цепи. Увеличение калибра звеньев при кузнецко-горячей сварке значительно усложняет их изготовление, поэтому этот метод используется для цепей лишь средних и малых калибров. Большие преимущества имеют цепи, изготовленные отливкой. Отсутствие места сопряжения с пониженной прочностью делает литую цепь более надежной. Прочность цепей повышается также благодаря использованию высококачественных сталей.

Все операции по изготовлению литых цепей легко механизируются, что снижает трудоемкость изготовления. Отпадает необходимость в специальном прокате.

Оборудование для изготовления очень простое, нет вообще необходимости в дорогих и сложных прессах, молотах, сварочных аппаратах и т. д.

Практические наблюдения и научные исследования позволили определить качество материала и характер термической обработки обеспечивающих прочность и износостойкость наделей. Таким материалом оказалась кремненемарганцовистая сталь ЛЭОСГ (содержание углерода 0,26—0,35%, марганца 1,0—1,4%, кремния 0,6—0,8%), которая получает необходимые свойства после тройной термической обработки: нормализации, закалки и отпуска*.

В настоящее время для отливки цепей используют две технологические схемы. По первой схеме сначала отливают свободные звенья, которые потом размещают в специальные формы, где про-

* Нормализация — медленный нагрев до 920—940° с выдержкой в течение нескольких часов и последующим охлаждением на воздухе.

Закалка — разогреваемый прогрев звена до 900°, затем подвергают в закалочной ванне при температуре ее выше 80°.

Отпуск — разогреваемый прогрев при температуре 650—680° с последующими охлаждениями в ванне с холодной водой как и при закалке.

изводят отливку замыкающих звеньев. По второй схеме отливку проводят в один прием.

Свободные звенья отливают в основном «групповым» методом, т. е. в одном блоке одновременно изготавливают ~36 звеньев калибром до 37 мм или ~18 звеньев калибром до 53 мм. Крупные звенья отливаются группами по 8 штук. Затем свободные звенья отделяют от прибыли и зачищают наружные и внутренние «заусенцы» в месте разъема формы. После этого звено вступает в форму для заливки замыкающих звеньев.

На рис. 250 приведена одна из схем отливки звеньев из звеньев средних и крупных калибров в 4 ряда. На рис. 251 показана отливка

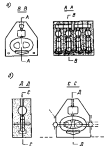


Рис. 250. Схема воспроизводительной отливки цепи: а — отливка свободных звеньев; б — отливка замыкающих звеньев

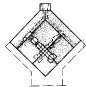


Рис. 251. Схема отливки цепи в один прием

цепи по второй схеме на угловом стади. Полностью отлитую цепь очищают, и она поступает на термическую обработку.

Электроэрозионные цепи. Существуют два способа изготовления цепей с использованием электросварки — стиковка электросварка сопротивления и стиковка электросварка сплавлением. Первый способ применяется только для маленьких калибров — до 19 мм итоговой — для калибров 80 мм и больше.

Материалом для электросвариваемых цепей служат стали марок Ст.10, ЭЦ, Ст.2 и Ст.3. Электросварка при изготовлении цепей комбинируется с механическими цепезапасальными автоматами, которые проходят загибку заготовок и склеивание звеньев.

Изготовление цепей при использовании сварки сплавлением происходит по следующей схеме: а) резка прутков и подача заго-

твок на подогрев; б) стебление звеньев; в) сварка; г) удаление заусенцев и налывистого материала; д) укрепление распорок и формирование звена; е) нормализация.

Штампованные цепи. Наряду с изготовлением частей звеньев для последующего их соединения сваркой штамповка может быть самостоятельным методом производства цепей средних калибров (25—40 мм).

Этот метод обеспечивает высокую прочность и надежность цепей и одновременно позволяет широко автоматизировать производственные процессы.

Для изготовления цепей штамповкой используются стали марок 30Г2 (марганец-никелевая) и 35У (углеродистая). Основное внимание уделяется таким свойствам, как ударная вязкость, способность на усадку и изгиб. Образец при загибе на 180° вокруг оправки, диаметр которой равен двум калибрам, не должен иметь надрывов или трещин. Испытания на осадку проводят на нагретом образце высотой в два калибра. После осадки образца на треть им

соты на нем не должно быть трещин и других пороков.

На рис. 252 показаны два типа обычных звеньев, заготовки которых отштампованы из проката. При их соединении нагретую часть звена с алюминиевой насаживают и проковывают механическим молотом. Металл нагретой части заполняет канавки на отростке и образует прочное соединение.

В заключение приведем некоторые данные, характеризующие различные методы изготовления цепей:

1. Прочность литьих цепей на 40—50% выше, чем цепей, изготовленных кузнецко-горячим методом или электросваркой, что объясняется лучшим качеством стали.

2. Штампованные цепи не нашли широкого распространения из-за дороговизны, вызванной необходимостью иметь мощное кузнецко-прессовое оборудование (особенно для цепей со звеньями средних и больших калибров).

3. Стоимость цепей, изготовленных кузнецко-горячим сваркой и электросваркой, почти одинакова. Литые цепи дороже примерно в два раза.

Испытание цепей. Известно, что дефекты цепей не всегда могут быть обнаружены при внешнем осмотре. Поэтому аварии, вызванные разрывом цепей, всегда бывают неожиданными, по-

скольку в этих случаях не бывает никаких симптомов (как например у стальных тросов, у которых разрыв отдельных прополочек предупреждает о приближающейся аварии).

Это накладывает большую ответственность на испытания при сдаче цепей.

Помимо внешнего осмотра, который включает проверку размеров и выявление видимых недостатков, производят испытание цепей на разрыв и растяжение. Первое испытание выполняется на образце из трех или пяти звеньев. Удлинение неразорвавшихся образцов должно быть не более 7% для цепей кузнецко-горячей сварки и электросварных с распорками и 8% — для цепей без распорок. У литьих цепей удлинение не нормируется. Нагрузка при разрыве должна быть не менее чем на 10% выше установленной разрывной. Испытанию на растяжение на испытательном стане подвергается вся цепь. Нагрузка при этом составляет 65—70% от разрывной и называется пробой.

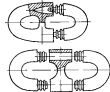


Рис. 252 Заготовки для изготовления цепей штамповкой.

ЛИТЕРАТУРА

1. Альфрамон Н.Ю и Подвысокий Б.В. Морской практика. М.—Л., Госиздат, 1939.
2. Алексеевский Ф. Г. Танклик не работай. М. «Речь судостроения», 1962.
3. Болгачев Л. И. Корабельные устройства и системы. Воениздат, 1963.
4. Болгачевский С. Н. Канки корабля. Л., Судпромгиз, 1964.
5. Бородинов В. В. Петров М. К. Морская букировка. Морское транспортирование, 1966.
6. Васильев М. В. Морская судовая практика. Гострансиздат, 1935.
7. Войтуцкий Я. И., Пиршиц Р. Я. и Титов И. А. Справочник по первым кораблям. Л., Судпромгиз, 1960.
8. Применение листовых снарядов к штампованным листам. Л. Судостроение, 1955.
9. Гуревич А. Н. Рассчет и конструирование судовых грузовых устройств. Л., Судостроение, 1958.
10. Гуревич А. Н. и др. Судовые устройства. Справочник для конструкторов и производственников. Л., «Судостроение», 1967.
11. Хракониский И. И. и Губаков В. Е. Устройства и системы речных судов. М., Речиздат, 1949.
12. Крылов А. Н. Техническое сопровождение и букирование судов. Собрание трудов издательства А. Н. Крылова, т. 9, ч. 2. М.—Л., АН ССР, 1949.
13. Колчин А. И. Стальные канаты. М.—Л., Энергоиздат, 1960.
14. Павленко Г. Е. Сопротивление цепи движению судов. М. Изд. транспортное, 1963.
15. Поздняков В. Л. Судовые устройства. Гострансиздат, 1935.
16. Правила классификации и постройки морских спальных судов. «Морской регистр», 1956.
17. Суринал В. Л. Палубные механизмы. Л., Судостроение, 1951.
18. Федяевский К. К. и Соболев Г. В. Управляемость корабля. Л., Судостроение, 1963.
19. Климен А. С. и Шмаков М. Г. Якорное и швартовное устройство. Л., Издательство, 1961.
20. Юхнин Е. Н. Якорное, швартовное и букировое устройства. Л. Судостроение, 1955.
21. Якушевская Б. Н. Грузовые устройства морских судов. Л. Судостроение, 1956.
22. Доге Н. Л. Forges G. S. Development of Anchors & TRINA. vol 102 1966
23. Ebel F. G. An analysis of shipboard cargo systems. TSMAMFT. vol 66 1958
24. De Haan J. P. Practical shipbuilding, vol B part I. The technical publishing company, Holland, 1967.
25. Henzschke W. Schiffbautechnische Handbuch Bd. 3. VEB Verlag Technik, Berlin, 1962.
26. Hoekstra W. Prinsipieel Dschengeling van Balk Gogen. Cijgo Hard Ing 26-7, 1969.
27. Jaeger H. E. Approximate Calculation of Rudder Torque and Results. International Shipbuilding Progress, 26-10, 1958.
28. Karlsen I. Some considerations concerning slayed ships. European Shipbuilding, vol. 4, 1958.
29. Kinoshita M. On the twisting moment acting upon a Ship Rudder stock. International Shipbuilding Progress, vol. 2, № 10, 1958.
30. Larsen K. D. Review of previously published rudder studies. Stevens Institute of Technology, 1949.
31. Shiba H. Model experiments about maneuverability of ships. 1 Symposium on Ship Maneuverability, 1960.

ОГЛАВЛЕНИЕ

От автора
Введение

РАЗДЕЛ ПЕРВЫЙ

РУЛЕВОЕ УСТРОЙСТВО

Глава 1. Управляемость судна

- § 1. Силы, действующие на руль в судне при маневрировании
- § 2. Навигационная и управляемость судна из курсе
- § 3. Средства обеспечения управляемости

Глава 2. Судовые рули и их расчет

- § 4. Типы рулей
- § 5. Гидравлические характеристики гидроцилиндрового руля
- § 6. Влияние свободной поверхности, требований экипажа и корабля
- § 7. Площадь и число рулей

Глава 3. Конструкция рулей. Баллеры

- § 8. Обычный (небалансированный) руль
- § 9. Балансированный руль
- § 10. Руль с грузом Кюса. Распределенный руль
- § 11. Конструкция и расчет баллера
- § 12. Определение напряжений рулевого устройства

Глава 4. Рулевые приводы

- § 13. Общее положение
- § 14. Типы рулевых приводов
- § 15. Рулевые передачи
- § 16. Рулевые машины
- § 17. Компенсаторные рулевые приводы
- § 18. Особые рулевые приводы

Глава 5. Активные средства управления

- § 19. Активные рули
- § 20. Поворотные паллады
- § 21. Подрулевые устройства

РАЗДЕЛ ВТОРОЙ

СПАСАТЕЛЬНОЕ УСТРОЙСТВО

Глава 6. Коллективные и индивидуальные спасательные средства

- § 22. Общее положение
- § 23. Спасательные средства индивидуального пользования

Глава 7. Спасательные плоты

§ 24. Форма, вместимость и главные размерения спасательных плотиков	78
§ 25. Плавучесть и остойчивость плотиков	81
§ 26. Прочность материала и конструкции плотиков	83
§ 27. Спасательные плоты нефтезахватных судов	92
§ 28. Средства дыхания плотиков	95
§ 29. Спасение плотиков	96

Глава 8. Спасательные плоты

§ 30. Жесткие спасательные плоты	98
§ 31. Надувные спасательные плоты	101

Глава 9. Средства спуска и подъема плотиков

§ 32. Классификация судовых плотиков	105
§ 33. Радиальные и защелкивающие плотобрасыватели	106
§ 34. Гранитационные плотобрасыватели	112
§ 35. Работа гранитационных плотобрасывателей. Физико-химический и силовой	118
§ 36. Конструктивные элементы плотобрасывателя	124
§ 37. Лебедки гранитового устройства	130
§ 38. Проверочный расчет гранитационных плотобрасывателей	131
§ 39. Неоконченные оригинальные конструкции "штык" плотобрасывателей	137
§ 40. Хранение и закрепление плотиков по-подводному	141
§ 41. Особые способы подъема спасательных плотов	144

Глава 10. Спасательные предметы и их размещение на судах

§ 42. Нормы обстановки судов спасательными предметами	146
§ 43. Размещение спасательных средств	148

Конспект, 1981.

РАЗДЕЛ ТРЕТИЙ

ГРУЗОВОЕ УСТРОЙСТВО

Глава 11. Общие сведения о грузовом устройстве судна

§ 44. Назначение и роль грузового устройства	150
§ 45. Судовые грузовые средства и их классификация	151

Глава 12. Грузовые стропы

§ 46. Особенности и работа грузовых строп	155
§ 47. Особенности строп-тросиков	160
§ 48. Контактурные стропы	167

Глава 13. Тяжелая стропа. Грузовые лебедки

§ 49. Грузовая щекольда	170
§ 50. Тяжелый в стяжке	172
§ 51. Судовые грузовые лебедки	174

Глава 14. Расчет грузовых строп

§ 52. Длина строп	177
§ 53. Определение усилий, действующих на стропы и на тяжелаж	179
§ 54. Определение усилий в стропе и тяжелаже при спиральной работе	181
§ 55. Устойчивость и прочность строп	183
§ 56. Расчет логарифмической грузовой стропы	186
§ 57. и И. Александров	189

РАЗДЕЛ ПЯТЫЙ

ШВАРТОВЫЕ И БУКСИРНЫЕ УСТРОЙСТВА

Глава 23. Швартовые устройства

§ 85. Общие положения	281
§ 86. Швартовы	282
§ 87. Ключи	284
§ 88. Комплектные плавки и клюзы	286
§ 89. Крюкими и проводными брексы	290
§ 90. Винты	291
§ 91. Механизмы швартового устройства	295
§ 92. Темы смотримых обзоров	298
§ 93. Подбор элементов швартового устройства	300

Глава 24. Буксирные устройства

§ 94. Обыкновенное буксирное устройство	304
§ 95. Буксиры и их буксирные устройства	306
§ 96. Элементы буксирного устройства	310
§ 97. Некоторые рекомендации для расчета буксирных тросов	315

РАЗДЕЛ ШЕСТАЙ

ГИБКИЕ СВЯЗИ В СУДОВЫХ УСТРОЙСТВАХ

Глава 25. Расчет гибких связей

§ 98. Общие положения	318
§ 99. Форма и расположение гибких связей в стальных рулонах	319
§ 100. Концепция гибких связей	320

Глава 26. Стальные тросы

§ 101. Материал и конструкция стальных тросов	338
§ 102. Механические свойства тросов	344
§ 103. Особенности расчета стальных тросов	347
§ 104. Конструктивное оформление в наклонизделиях стальных тросов	351

Глава 27. Растягивающие и сжимающие тросы

§ 105. Классификация растягивающих тросов и их изготовления	368
§ 106. Свойства и применение растягивающих тросов	369
§ 107. Тросы из синтетических материалов	370

Глава 28. Цепи

§ 108. Типы и свойства цепей	380
§ 109. Изготовление цепей	381
Литература	386

Глава 15. Грузовые матчи транспортных судов

§ 57. Технические и классификации	199
§ 58. Однокомпонентные	201
§ 59. Портовые и Лебедочные матчи	206

Глава 16. Орудийные якоря

§ 60. Судовые талубные якоря	208
§ 61. Сексы судового якорного моруареважа	210
§ 62. Справительные сексы судовых спрэд и якоря	212
§ 63. Мачтовые якоря	215

Глава 17. Грузовые механизмы чрезвычайного действия

§ 64. Транспортеры в локаторы	217
§ 65. Динамомеханические перегружатели	219
§ 66. Симметризаторы судов	220

Глава 18. Опорожнение судовых грузовых якорей

§ 67. Транспортные объемы грузов	221
§ 68. Транспортные механизмы. Усовершенствование конструкции корпуса судна	225

РАЗДЕЛ ЧЕТВЕРТЫЙ

4. Якорное устройство

Глава 19. Якоря и якорные канаты

§ 69. Назначение якорного устройства	230
§ 70. Работы якорей	232
§ 71. Конструктивные особенности и основные характеристики якорей	236
§ 72. Погодные якоря из грунта	243
§ 73. Конструкции якорных канатов	247
§ 74. Якорные канаты из синтетиков и синтетических тросов	250

Глава 20. Определение основных элементов якорного устройства

§ 75. Рекомендации Правил постройки	251
§ 76. Определение основных элементов якорного устройства	255
§ 77. Расчет элементов якорного устройства	259

Глава 21. Конструктивные элементы якорного устройства

§ 78. Якорные канаты	261
§ 79. Цепные стопоры и скотеры для заходного закрепления якоря	266
§ 80. Цепные канаты и цепные скотеры	268
§ 81. Якорные механизмы	271

Глава 22. Особенности якорных устройств различных судов и при их сооружении

§ 82. Якорные устройства морских транспортных и пассажирских судов	276
§ 83. Глубоководные якорные устройства	278
§ 84. Якорные стоянки плавучих дока	279

ЗАМЕЧЕННЫЕ ОПЕЧАТКИ

Стр.	Страница	Напечатано	Следует читать
41	8-я ср	переводится в из- дание	переводят издан-
99	Подпись к рис. 69	а — самонавига- ционные; б — сис- темы Миллс;	а — системы Миллс; б — самонавига- ционные,
193	1-я ср	(стр. 400)	(стр. 349)
194	17-я ср	(стр. 400)	(стр. 179)
215	21-я ср	(см. стр. 400).	(см. стр. 66)
260	2-я ср	стр. 400;	стр. 337;

АЛЕКСАНДРОВ МИХАИЛ ВИДОЛДЖИЧ

СУДОВЫЕ УСТРОЙСТВА

(учебник для кораблестроительных вузов)

Редактор кафедра «Конструкции корпуса и проектирование судов» НКИИ
академик А. Н. Гуревич

Научный редактор А. Н. Шахназарян

Редактор Е. Е. Бровецкая

Технический редактор Д. И. Криккина

Корректоры А. Ф. Адрианова и О. И. Сорыкина

Оформление переплета художника Елагинова В. А.

Сдано в набор 26/III 1968 г. Майкоп Полиграфия к печати 07/IV 1968 г.
Формат издания 84х108—1/32. Тираж 10000 экз. № 10000 Типография № 2000
Майкоп 1968 год Типография № 10000. Дата 20 мая 1968 года. Рукопись титульного листа №
Штабквартира «Судостроение». Ленинград. Д-66, пл. Герцена, 9

Литографская типография № 5 Гидротехнографика и
Комитет по печати при Совете Министров СССР
Ленинград, пл. Маяковского, 10